



Aalborg Universitet

AALBORG
UNIVERSITY

Anholt

Konsolideringsforsøg (Datarapport 1)

Thorsen, Grete; Ibsen, Lars Bo

Publication date:
2006

Document Version
Også kaldet Forlagets PDF

[Link to publication from Aalborg University](#)

Citation for published version (APA):

Thorsen, G., & Ibsen, L. B. (2006). *Anholt: Konsolideringsforsøg (Datarapport 1)*. Department of Civil Engineering, Aalborg University. AAU Geotechnical Engineering Papers Nr. R0604

General rights

Copyright and moral rights for the publications made accessible in the public portal are retained by the authors and/or other copyright owners and it is a condition of accessing publications that users recognise and abide by the legal requirements associated with these rights.

- Users may download and print one copy of any publication from the public portal for the purpose of private study or research.
- You may not further distribute the material or use it for any profit-making activity or commercial gain
- You may freely distribute the URL identifying the publication in the public portal -

Take down policy

If you believe that this document breaches copyright please contact us at vbn@aub.aau.dk providing details, and we will remove access to the work immediately and investigate your claim.



Aalborg Universitet
Geoteknikgruppen
Sohngaardsholmsvej 57
9000 Aalborg
Danmark

Kontaktperson
lektor Grete Thorsen
Tlf.: 98 31 49 82
Fax: 98 31 49 82
e-mail: stt@stofanet.dk

**Anholt
Konsolideringsforsøg
Datarapport**

Udarbejdet Grete Thorsen

Kontrolleret Lars Bo Ibsen

Godkendt

**Anholt
Konsolideringsforsøg
Marint ler, Eem og Jura**

**AAU Geotechnical Engineering Papers
Laboratory testing paper no. R0603
ISSN 1398-6465**

Indholdsfortegnelse

side

1. Indledning.....	3
2. Formål.....	3
3. Forsøgsmateriale.....	3
4. Forsøgsprogram.....	3
5. Tolkning af forsøg.....	4
6. Forsøgsresultater.....	5
7. Kommentarer til forsøgsresultater.....	5
7.1 Sammenligning med Terzaghi-kurve og Casagrande-konstruktion.....	5
7.2 Sammenligning med skønsformel for Tøjningsindeks Q baseret på vandindhold..	6
7.3 Sammenligning med andre forsøg med Eem-ler.....	6
8. Konklusion.....	8
9. Referencer.....	9

Bilag

no.

- | | |
|------------|--|
| 1 | Situationsplan og boreprofil |
| 2.1 – 2.17 | Konsolideringsforsøg. Anholt P1. Ler Eem. |
| 3.1 – 3.17 | Konsolideringsforsøg. Anholt P2. Ler Eem. |
| 4.1 – 4.18 | Konsolideringsforsøg. Anholt k12. Ler Eem. |
| 5.1 – 5.16 | Konsolideringsforsøg. Anholt k 26. Ler, Mellem Jura. |
| 6.1 – 6.15 | Konsolideringsforsøg. Anholt k 98. Ler, Nedre Jura. |
| 7.1 – 7.2 | Arbejdskurver med tilpassede Terzaghi-kurver |

1. Indledning

Denne datarapport indeholder resultater af konsolideringsforsøg med tre prøver af interglacialt ler fra Eem mellemistid, en lerprøve fra Mellem Jura og en lerprøve fra Nedre Jura. Prøverne er udtaget fra kerner fra en geologisk undersøgelsesboring. Boringen er udført i foråret 1990 som led i et forskningsprojekt, GEOKAT-projektet. Geokatprojektet var et forskningsrådsstøttet projekt ved Geologisk Institut, Aarhus Universitet. Den gennemborede lagserie er beskrevet i Dansk Geologisk Forening, Årsskrift for 1990-91 (Nielsen, 1992).

2. Formål

Det væsentligste formål med forsøgene har været at undersøge om det var muligt at bestemme forkonsolideringsspændingen for aflejringerne til vurdering af den geologiske historie.

3. Forsøgsmateriale

Prøverne til konsolideringsforsøgene er udtaget fra kerneprøver, hvilket betyder, at de kan have haft mulighed for at svelle i forbindelse med prøveoptagningen. Efter optagning har prøverne været opbevaret i plastikrør, men de har ikke været opbevaret lufttæt, og der er derfor foregået nogen udtørring af prøverne.

Ved klassifikationsforsøg er bestemt følgende før forsøg:

Prøve P1	Eem	w = 19,8%	$\gamma = 19.8 \text{ kN/m}^3$	e = 0.61	$S_w \sim 88\%$
Prøve P2	Eem	w = 22,5%	$\gamma = 19.5 \text{ kN/m}^3$	e = 0.68	$S_w \sim 91\%$
Prøve k12	Eem	w = 17,8%	$\gamma = 21.3 \text{ kN/m}^3$	e = 0.48	$S_w \sim 96\%$
Prøve k26	mellem Jura	w = 12,3%	$\gamma = 19.0 \text{ kN/m}^3$	e = 0.47	$S_w \sim 75\%$
Prøve k98	nedre Jura	w = 16,8%	$\gamma = 21.2 \text{ kN/m}^3$	e = 0.46	$S_w \sim 99\%$

Prøverne er antaget fuldt vandmættet ved afslutning af konsolideringsforsøget.

For Eem prøverne er skønnet en relativ korndensitet på $d_s = 2.72$, for prøve k26 og k98 er den relative korndensitet skønnet til henholdsvis $d_s = 2.69$ og $d_s = 2.7$

For prøve k12 er bestemt vandindholdet ved flydegrænsen $w_L = 32.1\%$ og vandindholdet ved plasticitetsgrænsen $w_P = 15.4\%$, hvilket giver et plasticitetsindeks $I_P = 16.7\%$

4. Forsøgsprogram

Forsøgene er udført i det danske konsolideringsapparat med prøvestørrelse $H \times D = 35 \times 70 \text{ mm}$ for prøve P1 og $H \times D = 30 \times 60 \text{ mm}$ for de øvrige prøver. Apparaterne havde en lille filtersten i det nederste trykhoved og som drænvej er anvendt $H_d = 0,7 \times D$.

Forsøgene er udført ved trinvis belastning. Ved forsøgene med prøve P1 og P2 er de enkelte belastningstrin afbrudt, når det kunne konstateres, at konsolideringsprocessen var afsluttet og maksimalbelastning er aftaget på én gang. Ved de øvrige forsøg er varigheden af de enkelte belastningstrin søgt afpasset, så krybningsdekhældningen kunne bestemmes på de enkelte belastningstrin og så svellingen var minimal på aflastningstrinene.

5. Tolkning af forsøg

Ved tolkning af tidskurverne er anvendt en adskillelse af konsolideringstøjning og krybningstøjning som angivet af Moust Jacobsen (Jacobsen, 1992). Krybekurverne er beregnet ud fra følgende udtryk $\varepsilon_{kryb} = Q_s \times \log((t_A+t)/t_A)$, hvor Q_s er den maksimale værdi for ε_s .

For tidskurver ved spændinger op til den maksimale værdi af krybningstøjningsindekset, Q_s , er næstens denne værdi anvendt. For tidskurver ved højere spændinger er den aktuelle værdi for krybningstøjningsindekset, ε_s , anvendt i stedet for Q_s .

Tiden, t_A , er fundet som den tid, der giver en krybekurve, der falder sammen med den sidste del af tidskurven, hvorved konsolideringstøjningen, ε_c , bliver konstant med tiden. Samtlige tidskurver med angivet adskillelse af konsolideringskurve og krybekurve fremgår af bilagene.

Tiden, t_A , er kraftigt faldende op til forkonsolideringsspændingen er næstens konstant eller meget svagt faldende. Da der er tale om bortdræning af vand både under konsolideringsprocessen og ved krybning, vil størrelsen af t_A , når materialet er i normalkonsolideret tilstand, sandsynligvis ligesom konsolideringstiden være afhængig af den aktuelle drænvej.

Ved tolkning af konsolideringsforsøgene er foretaget bestemmelse af forkonsolideringsspænding, σ'_{pc} , tøjningsindeks, Q , krybningstøjningsindeks, ε_s , det maksimale krybningstøjningsindeks, Q_s , svarende til normalkonsolideret tilstand, samt konsolideringskoefficient ved $10^0 C$, $c_{k10} = k_{10} \times K / \gamma_w$. Konsolideringskoefficienten er beregnet ud fra følgende udtryk, $c_{k10} = (\pi/4) \times (H_d)^2 / t_c$, hvor t_c er den tid, hvor tidskurvens rette linie i vt – afbildning skærer værdien for konsolideringstøjningen, ε_c . Som drænvej er anvendt $H_d = 0,7 \times D$.

Resultaterne fremgår af bilag 2.1 – 6.1. På grund af de ret korte tidskurver ved forsøgene med prøve 1 og 2 er der noget usikkerhed i bestemmelse af krybningstøjningsindeks..

For hvert belastningstrin er bestemt konsolideringsmodulen, $K = \Delta\sigma'/\Delta\varepsilon_c$, som stort set svarer til tangentmodulen ved belastningstrinnets middelpunkt. Resultaterne fremgår af bilag 2.2 – 6.2.

Forkonsolideringsspændingen, σ'_{pc} , er bestemt ud fra:

- variationen af tiden t_A på de enkelte belastningstrin (bilag 2.1 – 6.1)

samt følgende kriterier (dgr-Bulletin 15, 2001):

- knæk i $\varepsilon_s - \sigma'$ kurven, hvor ε_s når den maksimale værdi, Q_s
- knæk eller spring i $K - \sigma'$ middel kurven
- afbøjning fra en ret linie i $\sigma' - \varepsilon_c$ kurve

Der er fundet rimelig god overensstemmelse mellem de forskellige kriterier.

For prøverne k26 og k98 er de i afsnit 6 anførte værdier for Q og σ'_{pc} minimumsværdier, idet forkonsolideringsspændingen sandsynligvis ikke er næstens i forsøget.

Ved at antage fuld vandmætning ved forsøgets slutning er udregnet et begyndelsesvandindhold ved hvert enkelt belastningstrin, værdierne fremgår af bilag 2.2 - 6.2.

6. Forsøgsresultater

Arbejdskurverne for de enkelte konsolideringsforsøg fremgår af bilag 2-6
Beregnehede og målte værdier samt tolkede parametre er angivet i nedenstående skema:

Prøve	Alder	w	σ'_{pc}	σ'_0	K	Q	Qs	α	OCR	I _p
no.		%	MPa	MPa	MPa	%	%	Qs/Q	σ'_{pc}/σ'_0	%
P1	Eem	22,6	>3	~0,78	~50	9,5?	~0,5	~0,05	~4	
P2	Eem	24,9	>4	~0,78	~60	13?	~0,5	~0,04	~5	
k12	Eem	18,5	>2	~0,8	?	~8	~0,23	~0,03	~2,5	16,7
k26	M-jura	17,5	(~8)	~1,6	~100	(~6)	0,11	~0,02	>5	
k98	N-jura	16,8	(>3)	~3	~150	(~5?)	~0,07	~0,01	>1	

σ'_0 er den beregnede effektive spænding in situ, OCR = forkonsolideringsgrad = σ'_{pc}/σ'_0 . De angivne vandindhold er de beregnede vandindhold for $S_w \sim 100\%$.

7. Kommentarer til forsøgsresultater

7.1 Sammenligning med Terzaghi-kurve og Casagrande-konstruktion

På en Terzaghi-kurve, $\epsilon = Q \times \log((\sigma'_k + \sigma')/\sigma'_k)$, findes kurvens maksimale krumning ved

$$\sigma' = 0.62 \times \sigma'_k,$$

Anvendelse af Casagrande konstruktion:

Tangenten til kurven i det punkt med størst krumning får hældningen $0.38 \times Q$. Ved en vinkel på 30^0 mellem tangent og vandret linie gennem tangentpunktet får vinkelhalveringslinien hældningen $0.18 \times Q$. Skæringspunktet mellem vinkelhalveringslinien og kurvens asymptote, $\epsilon = Q \times \log(\sigma'/\sigma'_k)$, findes ved $\sigma' = 2 \times \sigma'_k$.

På bilag 7 er vist arbejdskurverne for de udførte konsolideringsforsøg med tilpassede Terzaghi-kurver: $\epsilon = \Delta\epsilon_0 + Q \times \log((\sigma'_k + \sigma')/\sigma'_k)$. Terzaghi-kurverne er tilpasset efter følgende princip: Tøjningsindekset Q = den ved forsøget bestemte værdi for Q, σ'_k så lille som mulig og $\Delta\epsilon_0$ er den værdi på arbejdskurvens ϵ – skala, der svarer til $\epsilon = 0$ på Terzaghi-kurven. I nedenstående skema er de herved fundne værdier for σ'_{pc} og Q sammenholdt med de værdier, der er fundet ud fra forsøgene. For prøve k26 og k98 er forkonsolideringsspændingen sandsynligvis ikke nået i forsøget.

I skemaet er angivet værdier for $\Delta\epsilon_0$, hvor positive værdier svarer til, at prøverne har udvidet sig inden forsøgsstart, mens negative værdier tyder på et poreundertryk ved forsøgsstart.

Prøve	Alder	σ'_0 (kPa)	σ'_{pc} (kPa)	Q (%)	σ'_{pc} (kPa)	Q (%)	$\Delta\epsilon_0$ (%)	$\Delta\epsilon_0$ (%)
no.			Forsøg	Forsøg	Terzaghi	Terzaghi		
1	Eem	~780	>2500	9,5?	4000	15	+0,5	
2	Eem	~780	>4000	13?	4000	15		-0,5
k12	Eem	~800	~5000	~8	4000	11	+4,6	
k26	M-jura	~1620	(~8000)	(~6)	(6000)	(9)		-0,45
k98	N-jura	~3040	(>3000)	(~5)	(6000)	(8)		-0,7

7.2 Sammenligning med skønsformel for tøjningsindeks Q baseret på vandindhold

I DS415:84 er anført følgende skønsformel for normalkonsoliderede, gytjeholdige (dyndede) aflejringer: $Q = 60 \times (w-25)/(w+40) \%$, når w indsættes i %. For post- og senglaciale aflejringer fra Skagen 3 boringen (Thorsen, 2006a) er udtrykket $Q = 60 \times w/(w+90) \%$, fundet som en mulig tilnærrelse.

Fig. 1 viser de ud fra arbejdskurverne fundne værdier for tøjningsindeks, Q , sammenholdt med kurven $Q = 60 \times w/(w+90) \%$. Som vandindhold er anvendt de begyndelsesværdier, der er beregnet ud fra antagelse om fuld vandmætning ved forsøgets slutning.

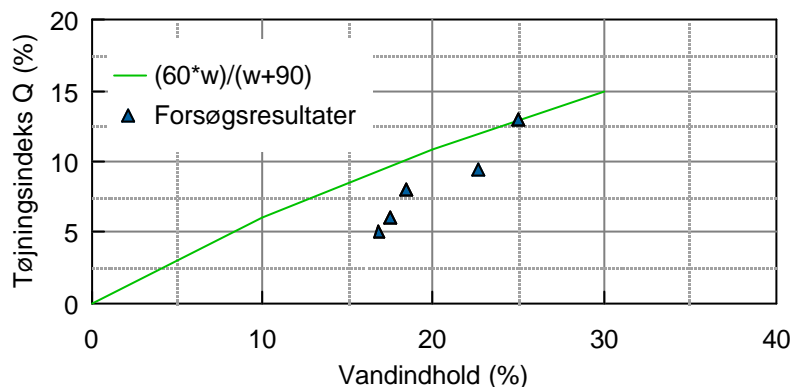


Fig. 1 Tøjningsindeks fra forsøg som funktion af vandindhold

Fig. 2 viser de fundne værdier for tøjningsindeks, Q , der er fundet ved tilpassede Terzaghi-kurver.

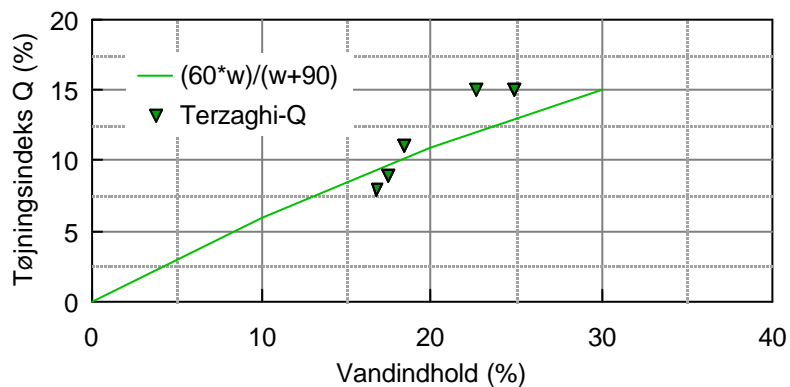


Fig. 2 Tøjningsindeks fra Terzaghi-kurve som funktion af vandindhold

7.3 Sammenligning med andre forsøg med Eem-ler

På fig. 3 er arbejdskurverne for prøve P1, P2 og k12 vist sammen med to arbejdskurver fra forsøg udført på naturfugtige prøver af Eem-ler, Skagen 3, prøve K98 (Thorsen, 2006a) og Nørre Lyngby, prøve A1-P7 (Thorsen, 2006b).

Fig. 4 viser de samme arbejdskurver, men kurverne er forskudt, så ϵ – skalaen svarer til de tilpassede Terzaghi-kurver. Desuden er indtegnet de dertil svarende asymptoter. I signaturforklaringen for arbejdskurverne er angivet værdien for korrektionen, $-\Delta\epsilon_0$, og ved asymptoterne er angivet de anvendte værdier for tøjningsindeks, Q , og forbelastningsspænding, σ'_{pc} .

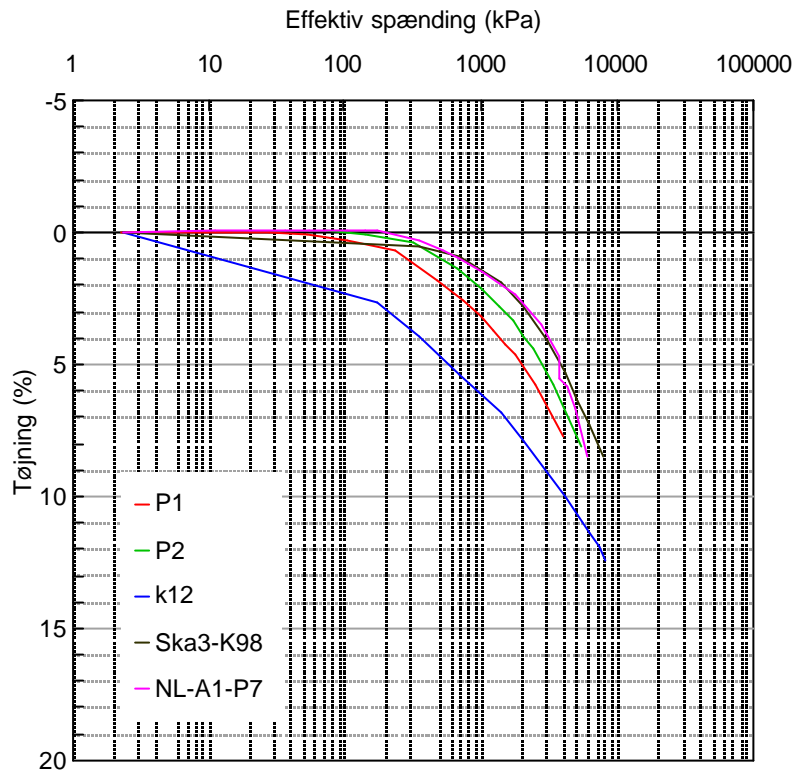


Fig. 3 Arbejdskurver fra P1, P2 og k12 sammenholdt med arbejdskurver fra forsøg med Eemler fra Skagen og Nørre Lyngby.

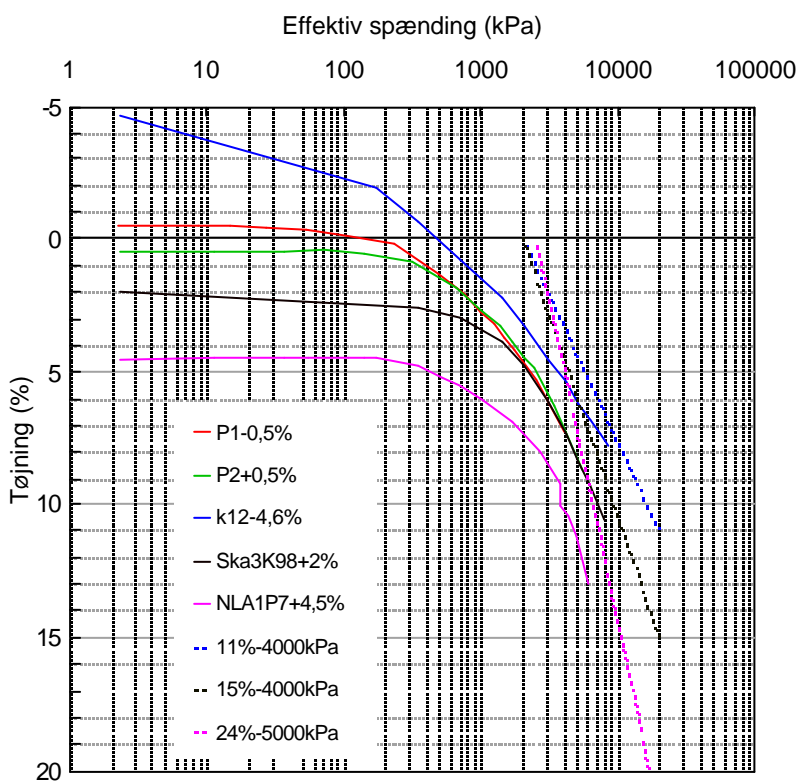


Fig. 4 Arbejdskurver med korrektioner svarende til Terzaghi-kurver samt de dertil svarende assympoteter.

For prøverne P1, P2 og Ska3K98 (beregnede begyndelsesvandindhold på henholdsvis ~23, ~25 og ~27 %) er ved tilpassede Terzaghi-kurver fundet ens værdier for tøjningsindeks, $Q = 15 \%$, og forkonsolideringsspænding, $\sigma'_{pc} = 4000 \text{ kPa}$.

For prøve k12 (beregnet begyndelsesvandindhold på $w = \sim 18 \%$) er fundet tøjningsindeks $Q = 11 \%$ og forkonsolideringsspænding $\sigma'_{pc} = 4000 \text{ kPa}$.

For prøve NLA1P7 (beregnet begyndelsesvandindhold på $w = \sim 29 \%$) er fundet tøjningsindeks $Q = 24 \%$ og forkonsolideringsspænding $\sigma'_{pc} = 5000 \text{ kPa}$.

De aktuelle forsøgsresultater viser ikke markante forskelle, der kan henføres til prøvernes kvalitet.

8. Konklusion

Der er udført 5 konsolideringsforsøg med 5 kerneprøver, 3 prøver af interglaciale ler Eem, 1 af ler fra mellem Jura og 1 af ler fra nedre Jura.

Det væsentligste formål med forsøgene var at forsøge at bestemme aflejringernes forkonsolideringsspænding.

Ved tolkning af forsøgenes tidskurver er anvendt en adskillelse af konsolideringstøjning og krybningstøjning som angivet af Moust Jacobsen (jfr. afsnit 5).

Resultaterne af forsøgene fremgår af afsnit 6.

De aktuelle arbejdskurver er sammenlignet med Terzaghi-kurver med indlagt Casagrandekonstruktion. Resuktaterne fremgår af bilag 7 samt afsnit 7.1.

Prøvematerialet er udtaget af kerneprøver, der efter optagningen har været opbevaret i plastikrør, en ikke lufttæt opbevaring. Forsøgsresultaterne kunne derfor være påvirket af en eventuel ændring af prøvematerialet efter optagning. Der er derfor foretaget en sammenligning med resultater fra andre forsøg (jfr. afsnit 7.2 og 7.3).

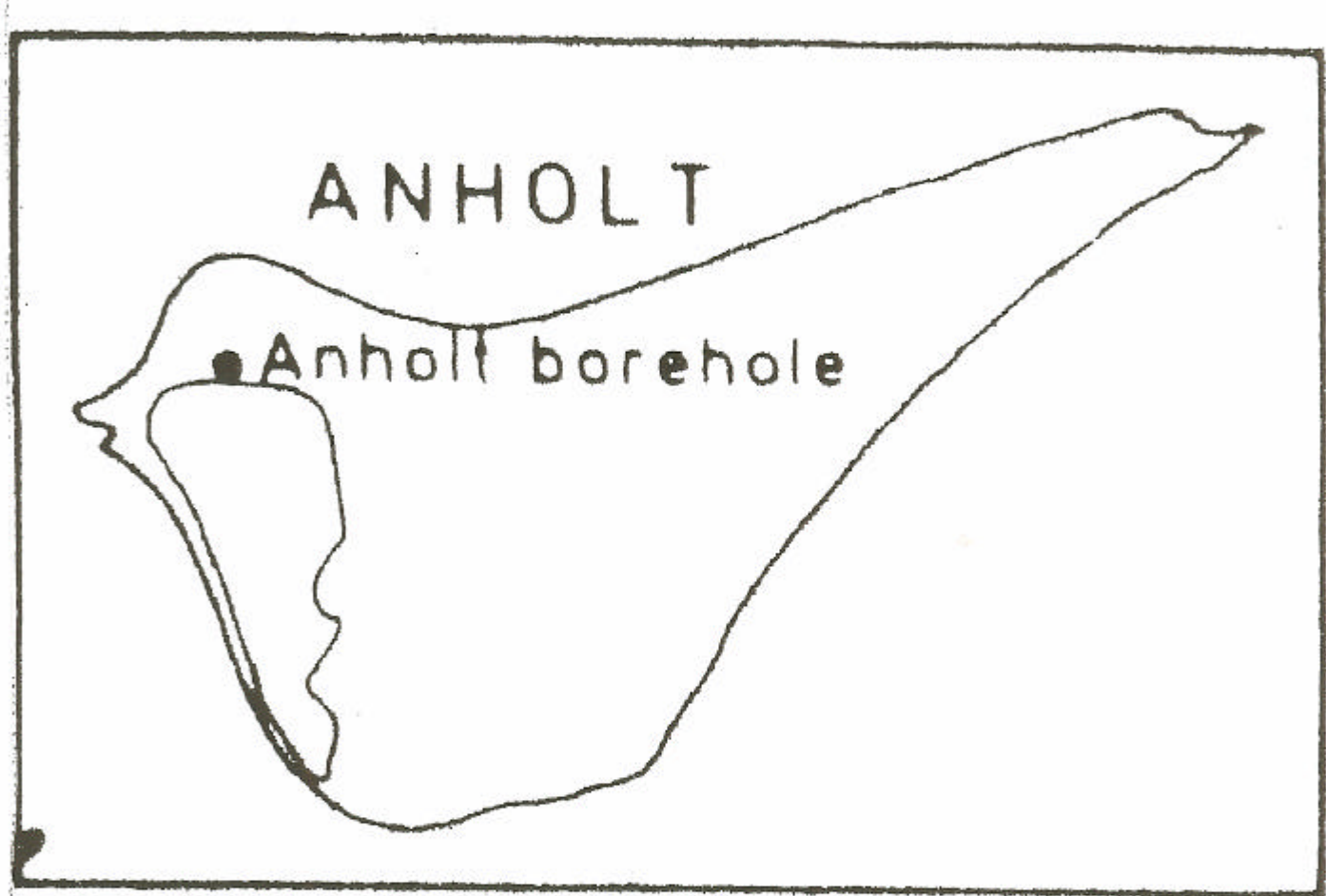
Den foreliggende sammenligning mellem resultaterne af konsolideringsforsøg med kerneprøverne af Eem-ler fra Anholt med en naturfugtig kerneprøve af Eem-ler fra Skagen og en intakt rørprøve af Eem-ler fra Nørre Lyngby viser ikke markante forskelle, der kan henføres til prøvernes kvalitet.

Forkonsolideringsspændingen for Eem-leret er fundet til $\sigma'_{pc} \sim 4000 \text{ kPa}$, og for mellem og nedre juraler til $\sigma'_{pc} \sim 6000 \text{ kPa}$.

I forsøgene med prøverne fra Jura er normalkonsolideret tilstand næppe nået. Forkonsolideringsspændingen er sandsynligvis højere end den maksimale spænding under forsøget.

9. Referencer

- DS415:84: *Dansk Ingeniørforenings norm for fundering*. 1984. ISBN 87-571-0765-3.
- Dgf-Bulletin 15: *Laboratoriehåndbogen, afsnit 5, konsolideringsforsøg*. Dgf's laboratoriekommité, December 2001. ISBN NO 87-89833-12-0.
- Jacobsen, H. Moust, 1992: *Bestemmelse af forbelastningstryk i laboratoriet*. Proceedings Nordisk Geoteknikermøde NGM-92, Aalborg. Danish Geotechnical Society, Bulletin 9, Vol.2, pp 455-460 ISBN 87-983058-7-5.
- Nielsen, O.B., 1992: *Lithologi, lithostratigrafi og aflejringsmiljø i Anholtboringen*. Dansk Geologisk Forening, Årsskrift for 1990-91, pp 67-72, København 1992.
- Thorsen, G. 1996: *Oedometer tests – an aid in determination of the geological load history?* Bulletin of the Geological Society of Denmark. Vol. 43 pp. 41-50. Copenhagen 1996
- Thorsen, G. 2006a: *Skagen 3. Konsolideringsforsøg. Postglaciale marint silt og ler. Senglaciale marint ler. Glaciale ler fra Weichsel og Eem*. Datarapport. AAU Geotechnical Engineering Papers. Laboratory testing paper no. R0601, ISSN 1398-6465
- Thorsen, G. 2006b: *Nørre Lyngby. Konsolideringsforsøg. Senglaciale marint ler. Glaciale ler og marint ler fra Eem*. Datarapport no.2. AAU Geotechnical Engineering Papers. Laboratory testing paper no. R0602, ISSN 1398-6465

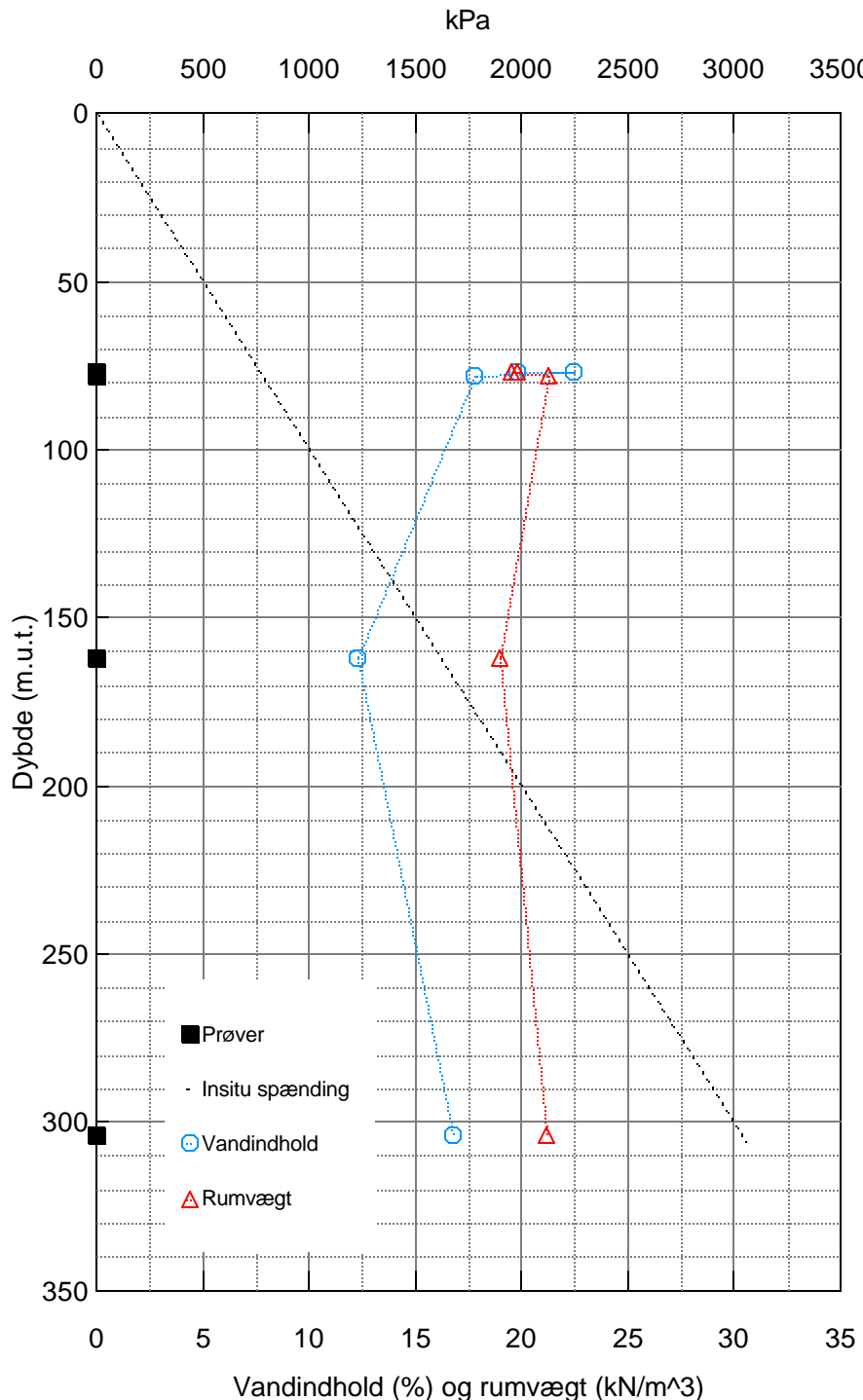


Efter: Nielsen: Lithologi, Anholtboringen, fig.1, Geologisk Forening, Årsskrift for 1990-91. (1992)

Job: Anholt	AAU
	Encl. No: 1.1
Executed:	gt
Approved:	Check:

Geotechnical Engineering group
Department of Civilengineering
Aalborg University

Anholtboringen
 Udtagne prøver til konsolideringsforsøg
 samt vandindhold og rumvægt for de udtagne prøver



Vekslende sandede og
 lerede sedimenter
 (ikke marine)

LER, marint, EEM
 Smeltevandssand
 MORÆNELER, SAALE
 Varierende ikke-marine
 ler og sandlag med
 cm-tynne brunkulslag

ØVRE JURA

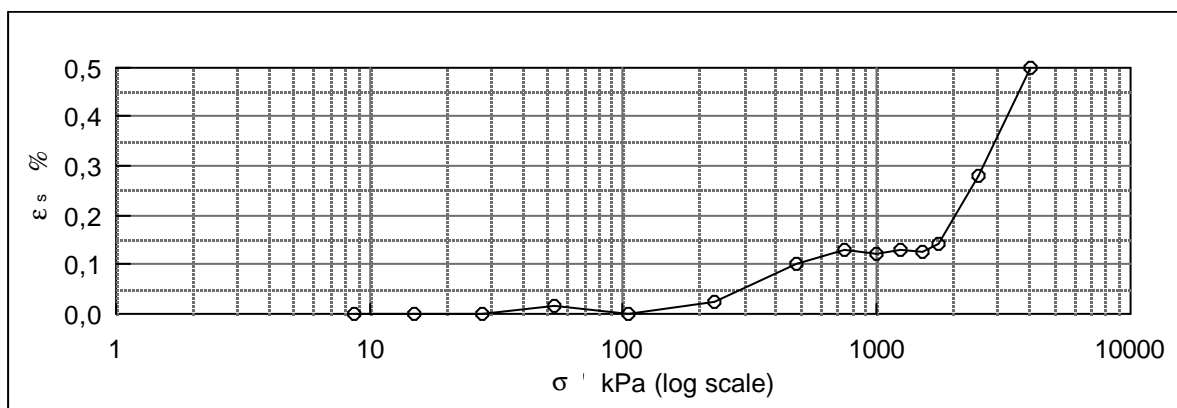
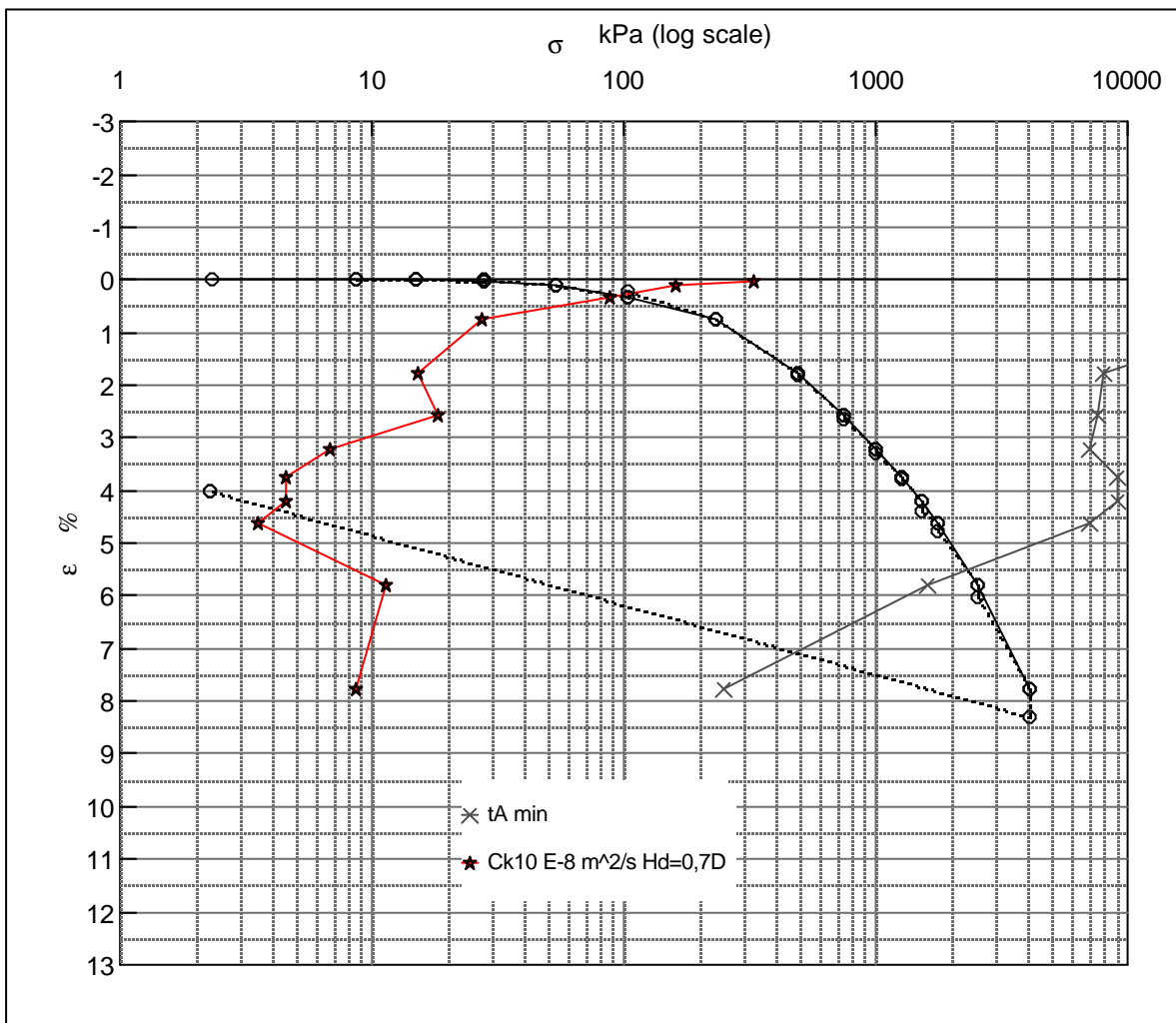
Homogen marint ler
 med mm-tynne
 stormssandlag
 (Fjerritslev formations
 member)

NEDRE JURA

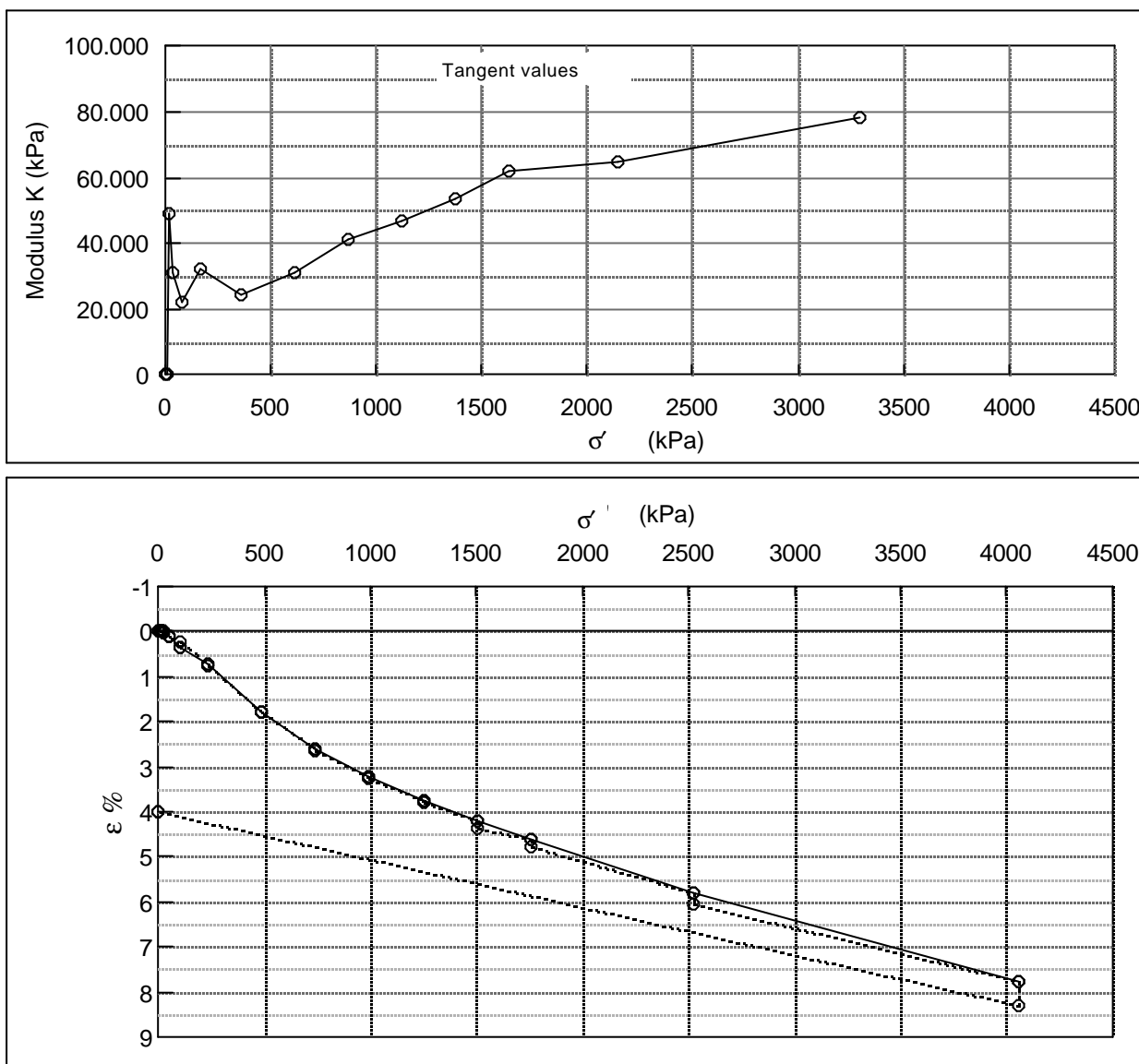
Boring stop

Job: Anholt		AAU
Encl. No:	gt	1.2
Executed:	gt	Check:
Approved:		

Description of soil:			Before	After	
Clay	Eemian	Glacial	Water content %	~19.8	~20.2
Bor no :		Overburden pressure σ' o	~780 kPa	Bulk density Mg / m ³	2,02
Lab. no: Pr 1		Vane strength c _v	kPa	Grain density Mg / m ³	~2.72
Level : 76.7 m.b.s	CPT - value	q _c	MPa	Void ratio	~0.61
				Degr. of Saturation %	~88
				Dimension H x D mm	35x70
					33.6x70

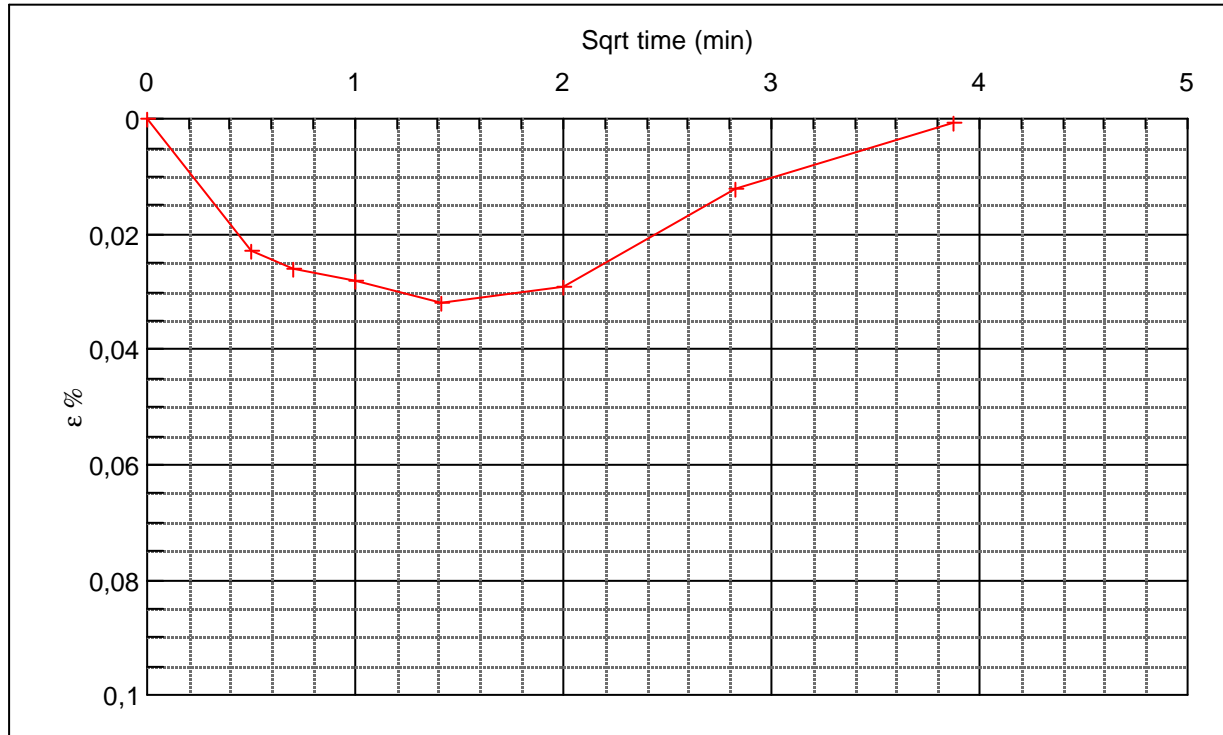
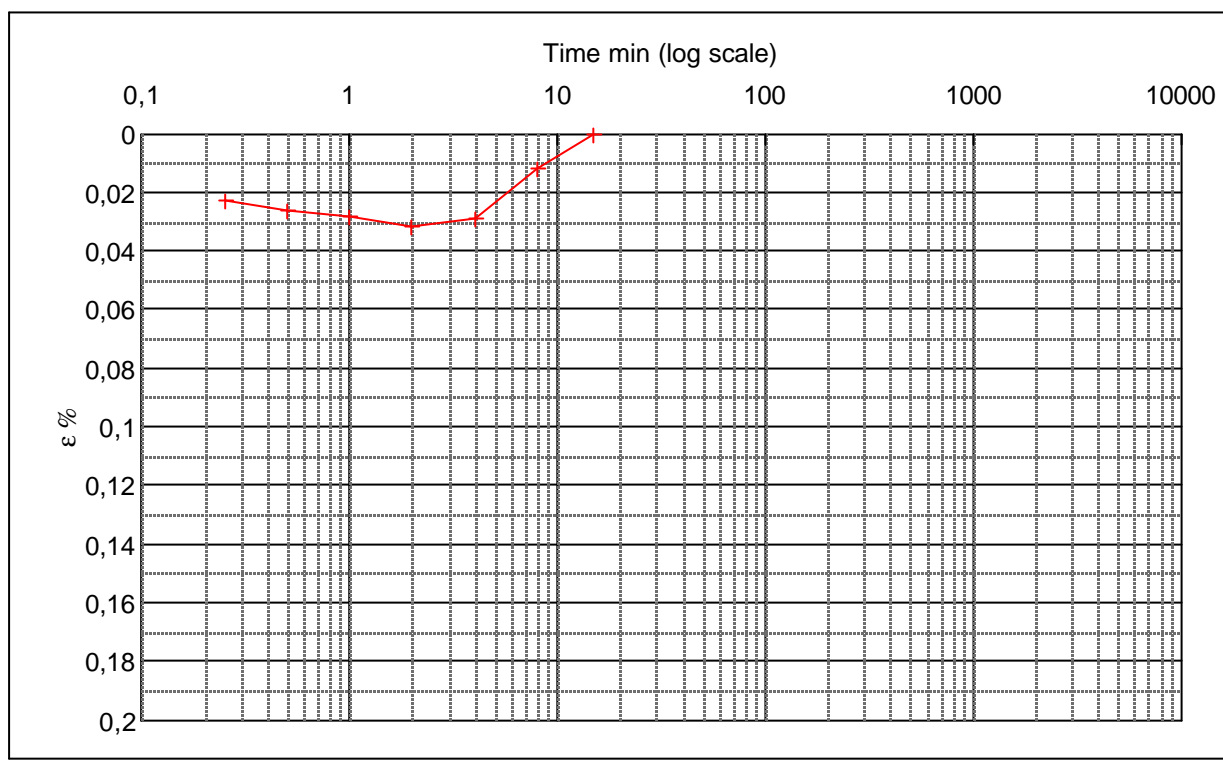


Job: Anholt	AAU
Encl. No	2.1
Executed: AMS/mj/gt	Check:
Approved:	



Test results	σ'	ε_c	ε_s	Ck10	σ'_m	K	w
	kPa	%	% / lct	m ² /s	kPa	kPa	%
Q 9,5 % ?	2,3	0,00	-	-	-	-	22,6
Qs ~0,5 %	8,7	0,00	0,00	0	5,5		22,6
σ_{pc} >2500 kPa	15,0	0,00	0,00	0	11,9		22,6
	27,8	0,03	0,00	3,3E-06	21,4	49020,7	22,6
	53,3	0,11	0,02	1,6E-06	40,5	31086,3	22,5
	104,3	0,34	0,00	8,8E-07	78,8	21974,8	22,4
	231,7	0,74	0,03	2,7E-07	168,0	32266,8	22,2
	486,6	1,77	0,10	1,5E-07	359,2	24557,6	21,5
	741,5	2,59	0,13	1,8E-07	614,1	31200,5	21,1
	996,4	3,20	0,12	6,8E-08	869,0	41515,9	20,7
	1.251,3	3,75	0,13	4,5E-08	1.123,9	46944,3	20,4
	1.506,2	4,22	0,13	4,5E-08	1.378,8	53891,7	20,1
	1.761,2	4,63	0,14	3,5E-08	1.633,7	62172,6	19,9
	2.525,9	5,81	0,28	1,1E-07	2.143,5	64862,0	19,2
	4.055,3	7,76	0,50	8,6E-08	3.290,6	78473,4	18,0
	2,3	4,00	0,00	0	2.028,8	107850,8	20,2
Remark: "Genbelastningsgren" Normalkonsolideret tilstand næppe nået	Job: Anholt					AAU	
						Encl. No 2.2	
	Executed: AMS/mj/gt					Check:	
	Approved:						

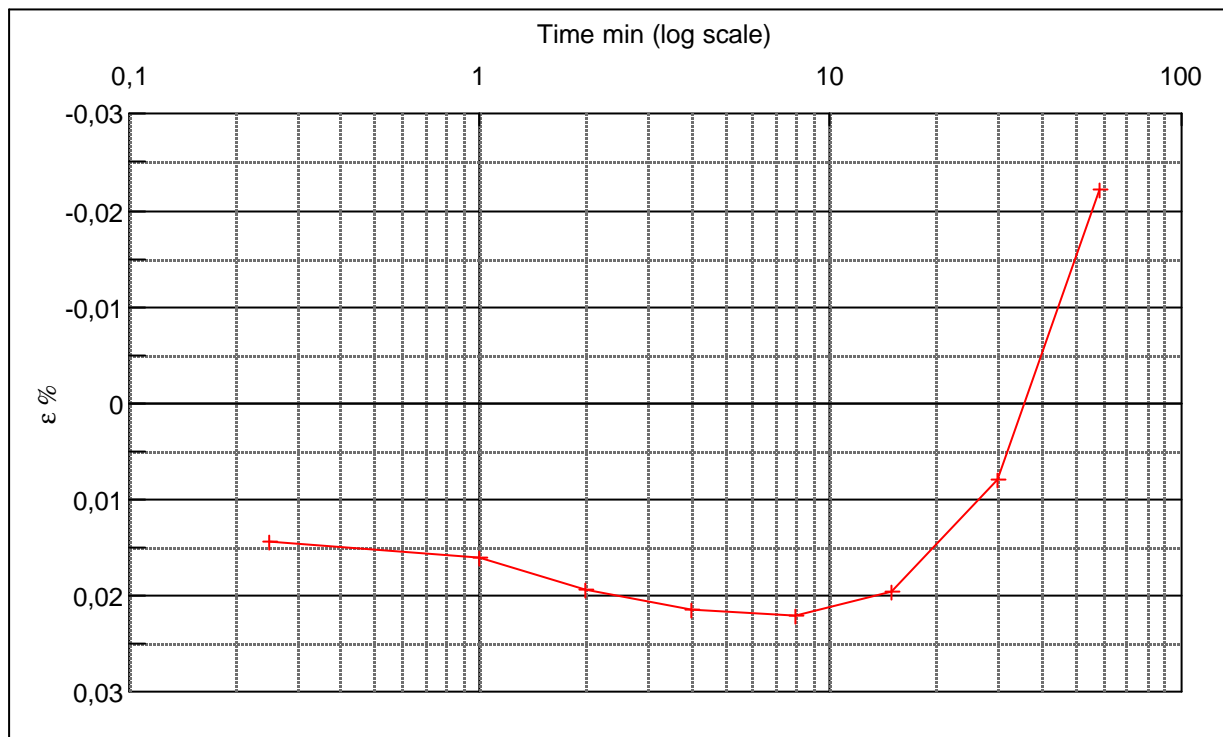
Step no	σ	kPa	ε	%	ε_i	tc in sec	K i kPa	k10 m/sec	ck10 m^2/sec
	Before	2,29	ε_0	0,00	ε_c %	ε_s			
1	After	8,67	$\varepsilon_{\#}$	0,001					
					ε_{kyb}				



Material: Clay Eemian Glacial	Bor no : Lab. no: Pr 1	Depth: 76.7 m.b.s Insitu stress. ~780 kPa
----------------------------------	---------------------------	--

Job:	Anholt	AAU
		Encl. No 2.3
Executed:	AMS/mj/gt	Check:
Approved:		

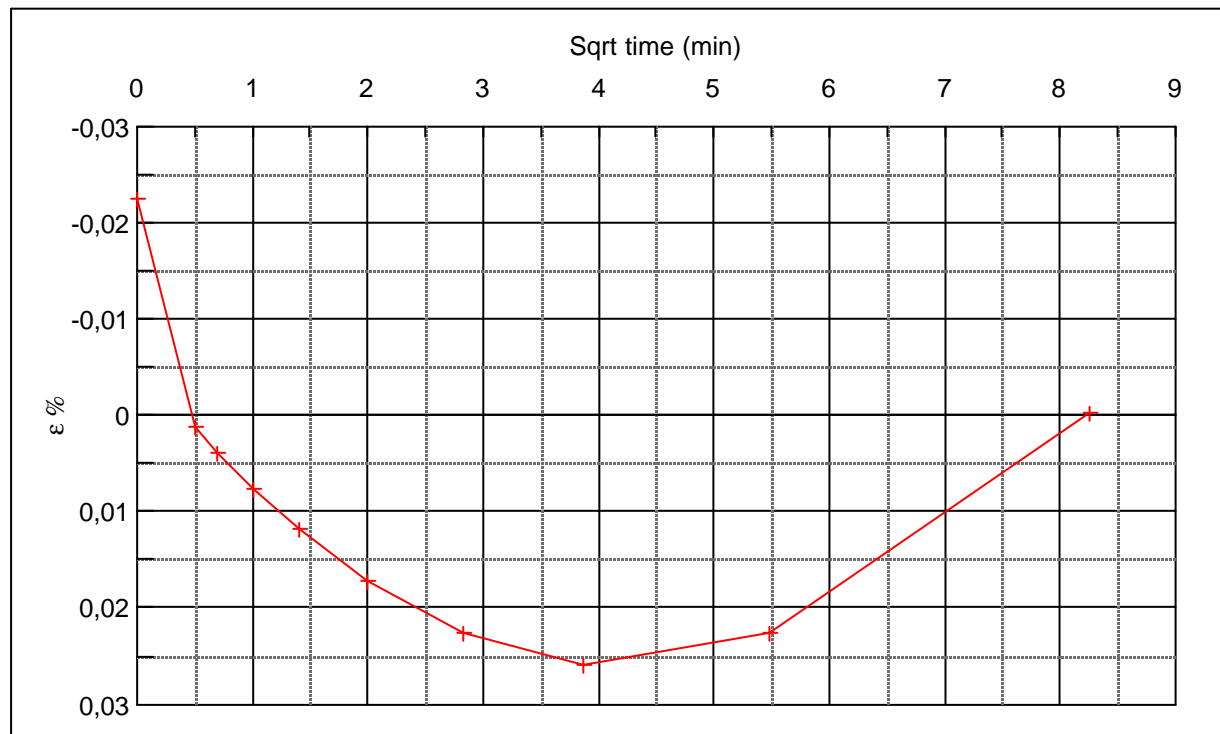
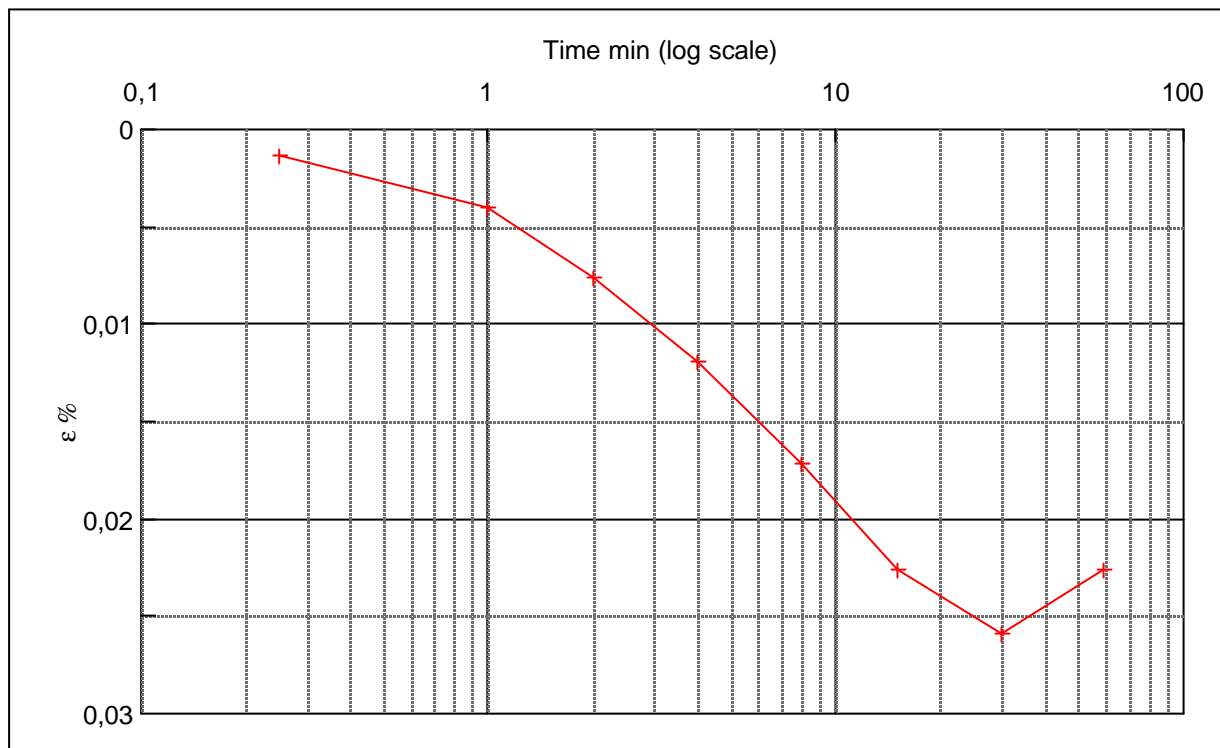
Step no 2	σ	kPa	ε	%	ε_i	tc in sec K _i kPa k ₁₀ m/sec c _{k10} m ² /sec
	Before	8,7	ε_0	0,001		
	After	15,0	$\varepsilon_{\#}$	(0,022)		
			ε_{kyb}			



Material: Clay Eemian Glacial	
Bor no :	Depth: 76.7 m.b.s
Lab. no: Pr 1	Insitu stress. ~780 kPa

Job: Anholt	AAU
	Encl. No 2.4
Executed:	AMS/mj/gt
Approved:	Check:

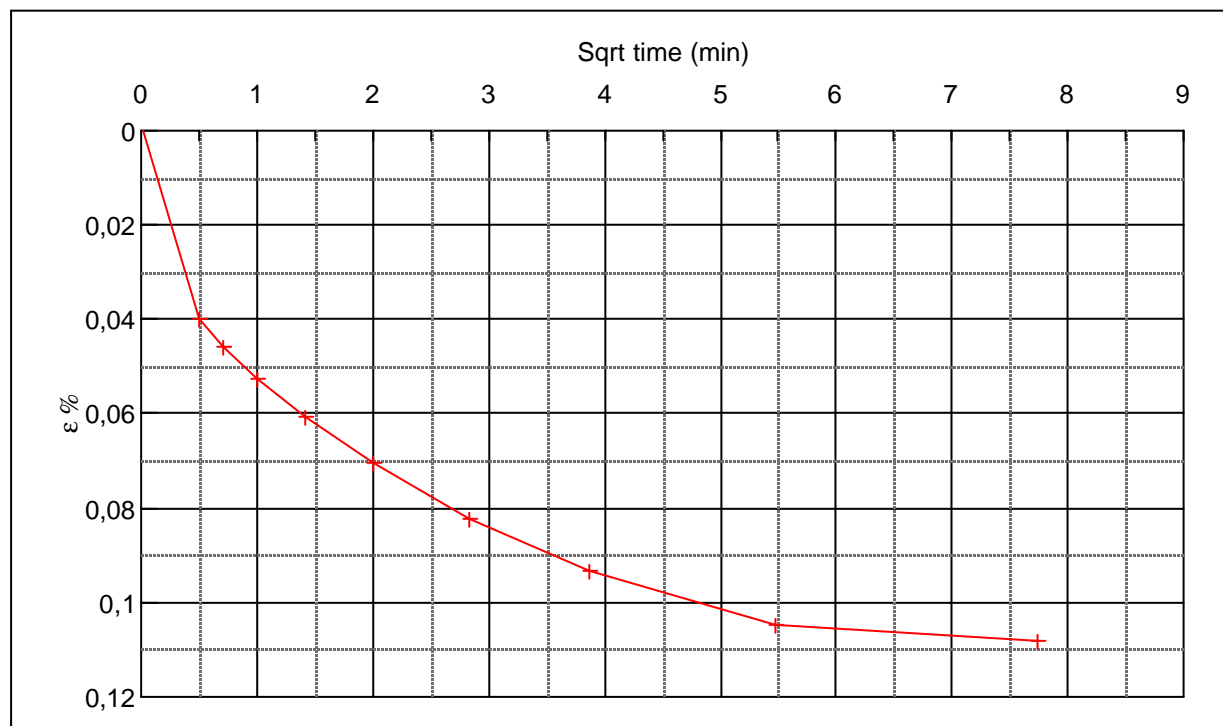
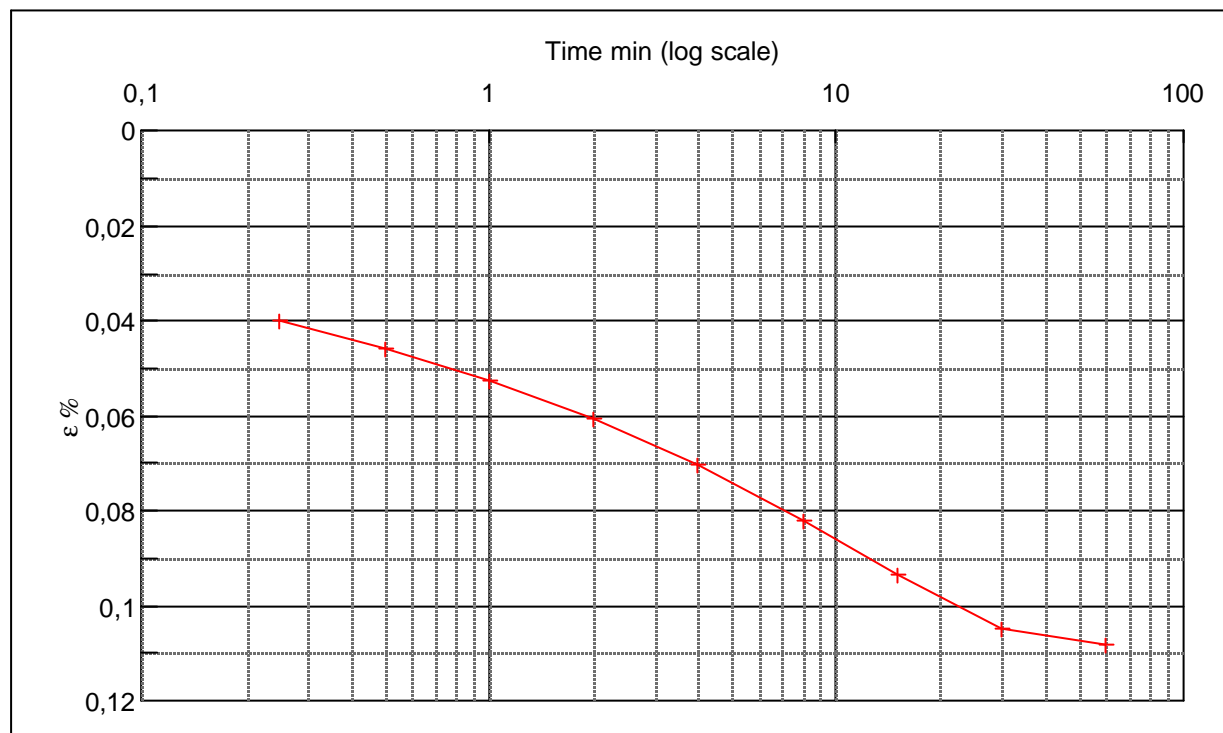
Step no 3	σ	kPa	ϵ	%	ϵ_i		tc in sec	405,6
	Before	15,0	ϵ_0	(0,022)	ϵ_c %	0,026	K i kPa	26.318
	After	27,8	$\epsilon_{\#}$	0,000	ϵ_s		k10 m/sec	1,2E-09
					ϵ_{kryb}		ck10 m ² /sec	3,25E-06



Material: Clay Eemian Glacial	
Bor no : Lab. no: Pr 1	Depth: 76.7 m.b.s In situ stress. ~780 kPa

Job: Anholt	AAU
Encl. No 2.5	
Executed: AMS/mj/gt	Check:
Approved:	

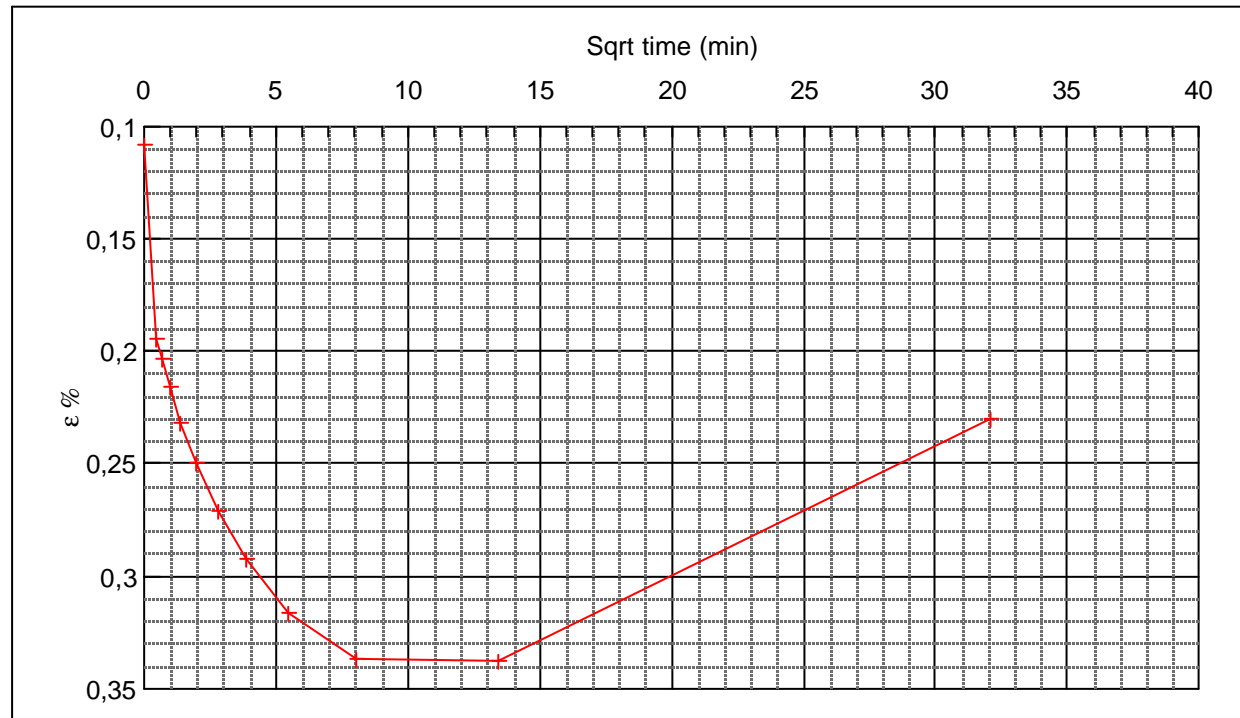
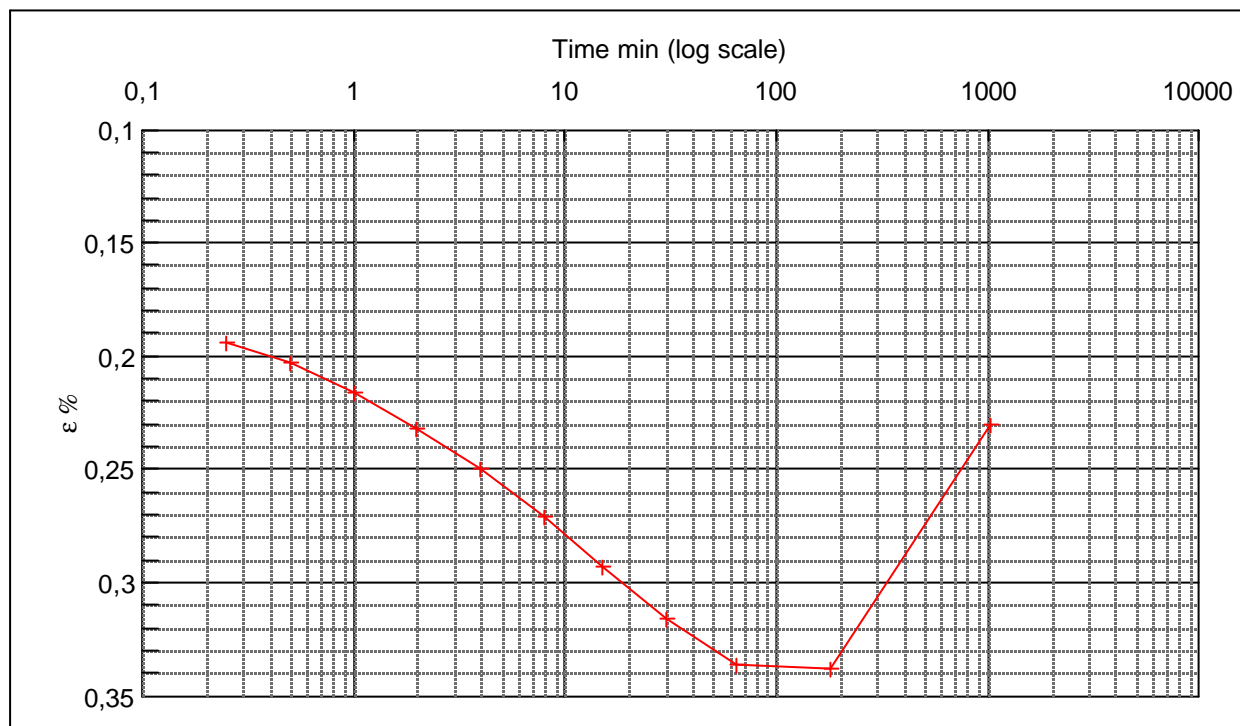
Step no 4	σ	kPa	ϵ	%	ϵ_i		tc in sec	821,4
	Before	27,8	ϵ_0	(0,00)	$\epsilon_c \%$	0,11	K i kPa	23.540
	After	53,3	$\epsilon_{\#}$	0,11	ϵ_s	0,02	k10 m/sec	6,7E-10
					ϵ_{kryb}	0,00	ck10 m ² /sec	1,61E-06



Material: Clay Eemian Glacial	
Bor no : Lab. no:	Depth: 76.7 m.b.s Insitu stress. ~780 kPa
Pr 1	

Job: Anholt	AAU
	Encl. No 2.6
Executed: AMS/mj/gt	Check:
Approved:	

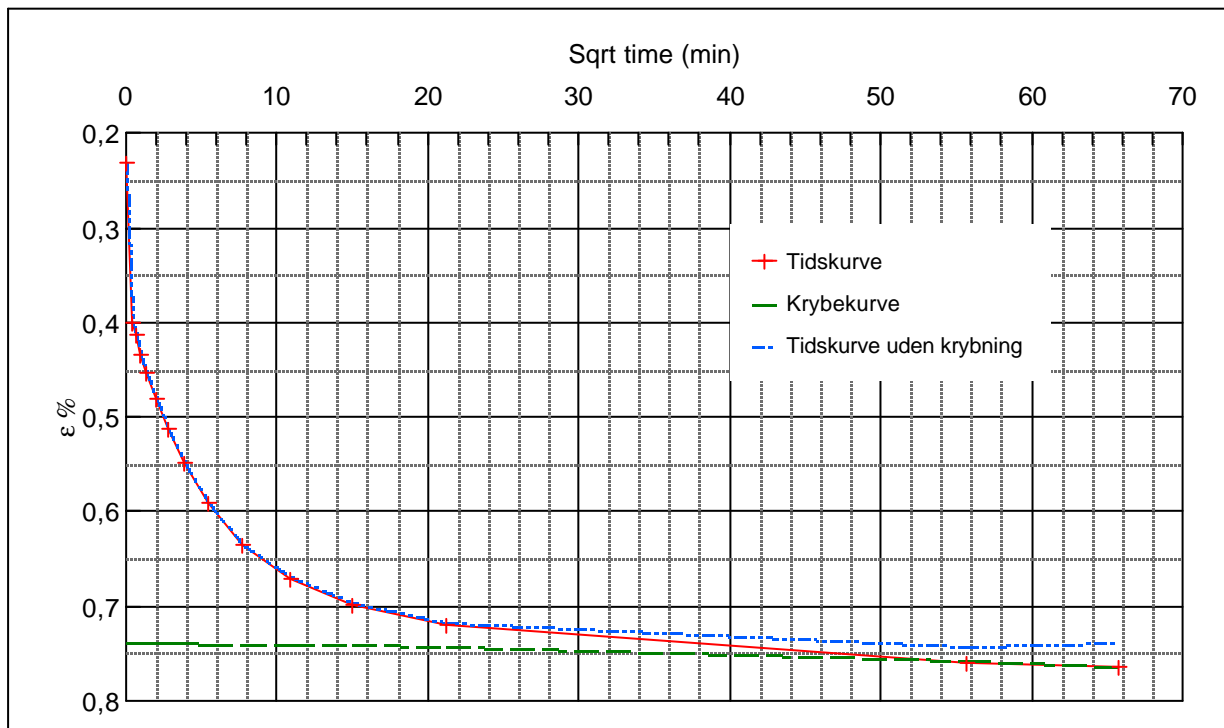
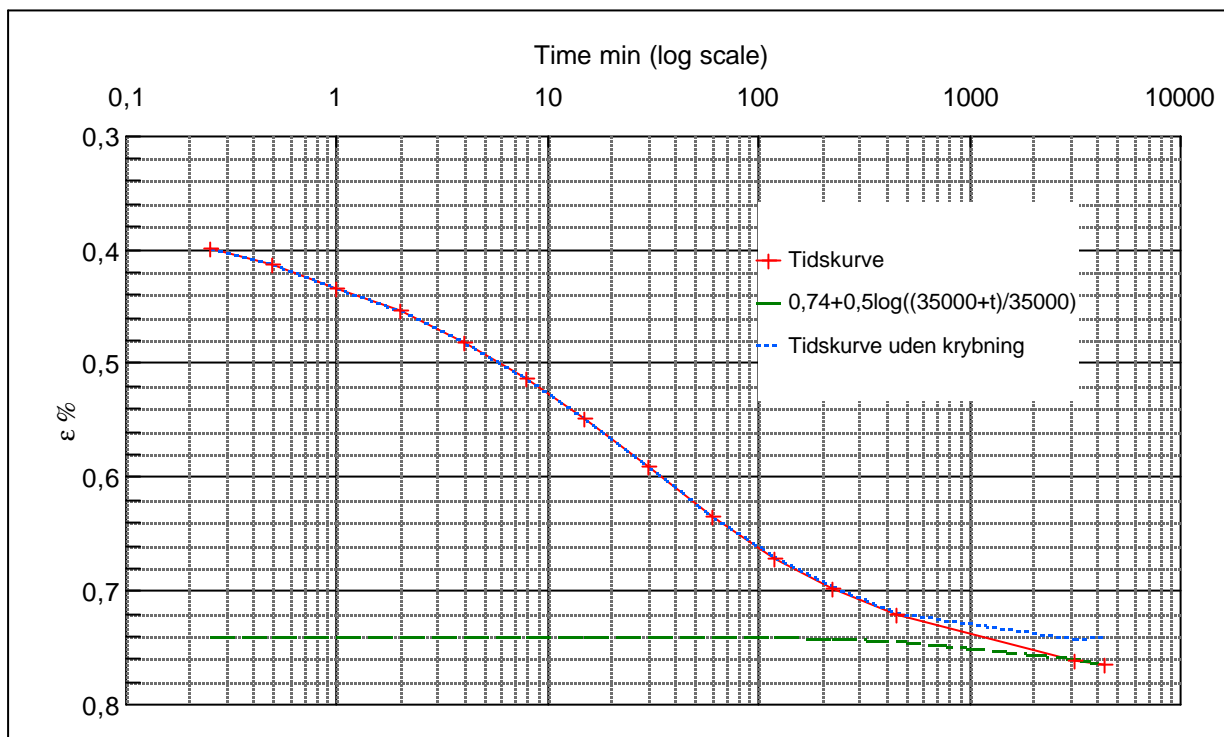
Step no 5	σ	kPa	ε	%	ε_i		tc in sec	1500
	Before	53,3	ε_0	0,11	$\varepsilon_c \%$	0,34	K i kPa	22.002
	After	104,3	$\varepsilon_{\#}$	0,23	ε_s		k10 m/sec	3,9E-10
					ε_{kyb}	-0,11	$c k10 m^2 / sec$	8,80E-07



Material: Clay Eemian Glacial	Bor no : Lab. no:	Depth: Insitu stress ~780 kPa
Pr 1		

Job: Anholt	AAU
Encl. No 2.7	
Executed: AMS/mj/gt	Check:
Approved:	

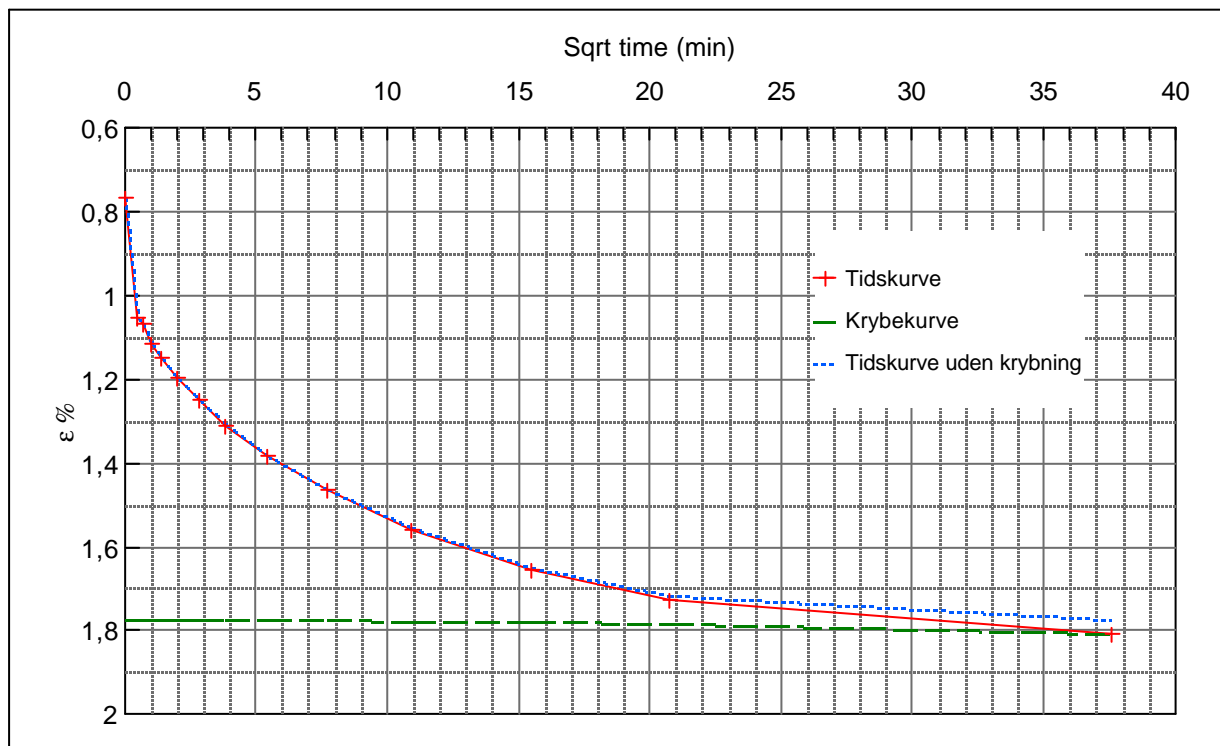
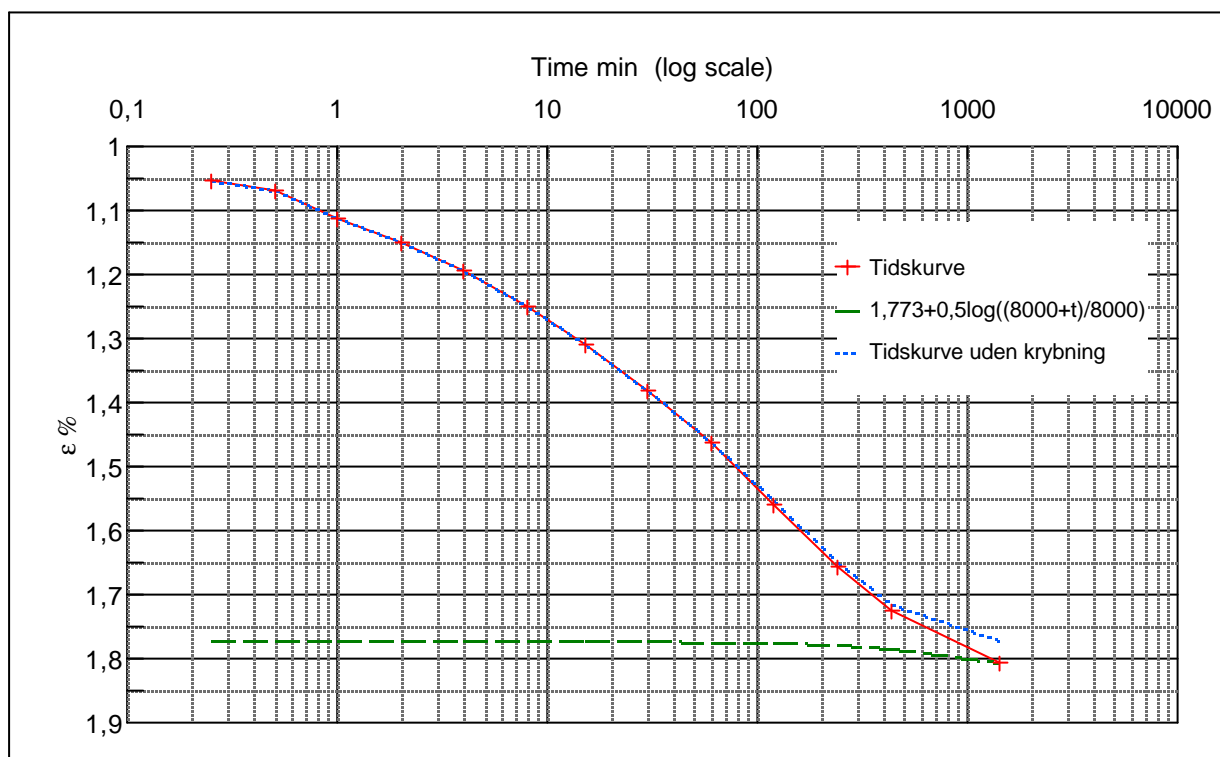
Step no 6	σ	kPa	ϵ	%	ϵ_i		tc in sec	4860
	Before	104,3	ϵ_0	0,23	$\epsilon_c \%$	0,74	K i kPa	25.238
	After	231,7	$\epsilon_{\#}$	0,77	ϵ_s	0,03	k10 m/sec	1,1E-10
			ϵ_{kryb}	0,03			ck10 m ² /sec	2,72E-07



Material: Clay Eemian Glacial	
Bor no : Lab. no:	
Pr 1	Depth: 76.7 m.b.s Insitu stress. ~780 kPa

Job: Anholt	AAU
Encl. No 2.8	
Executed: AMS/mj/gt	Check:
Approved:	

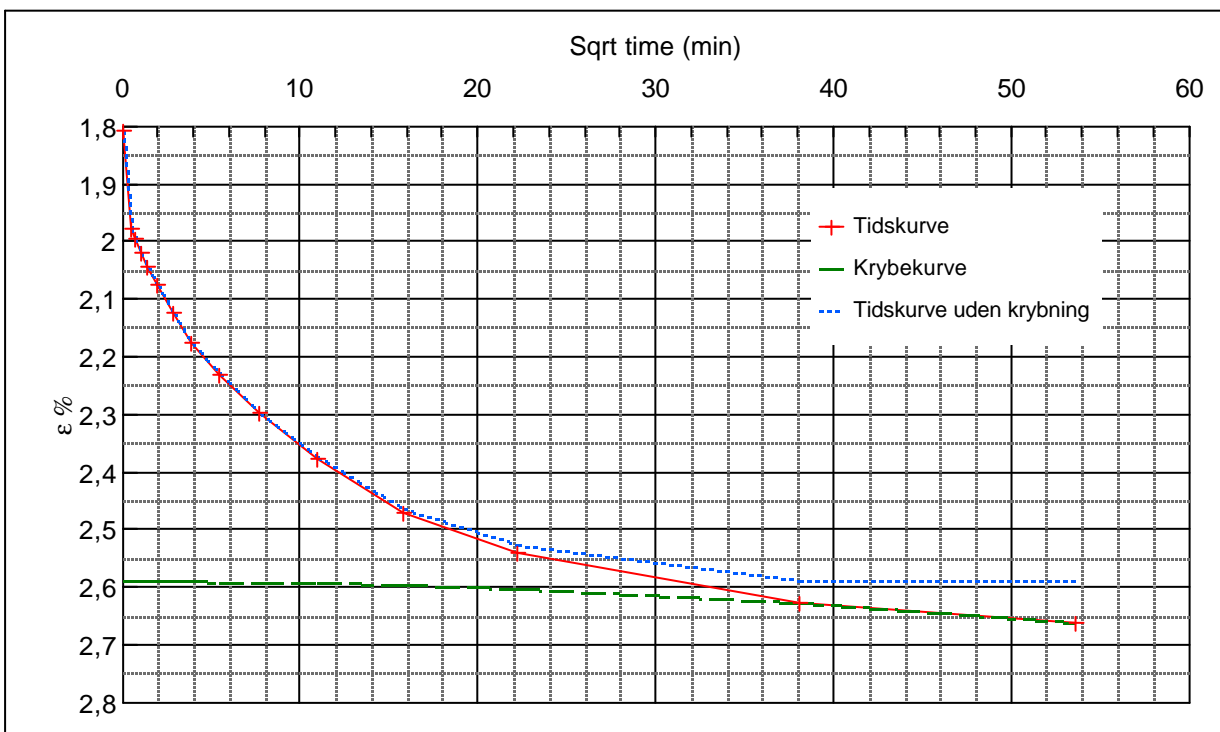
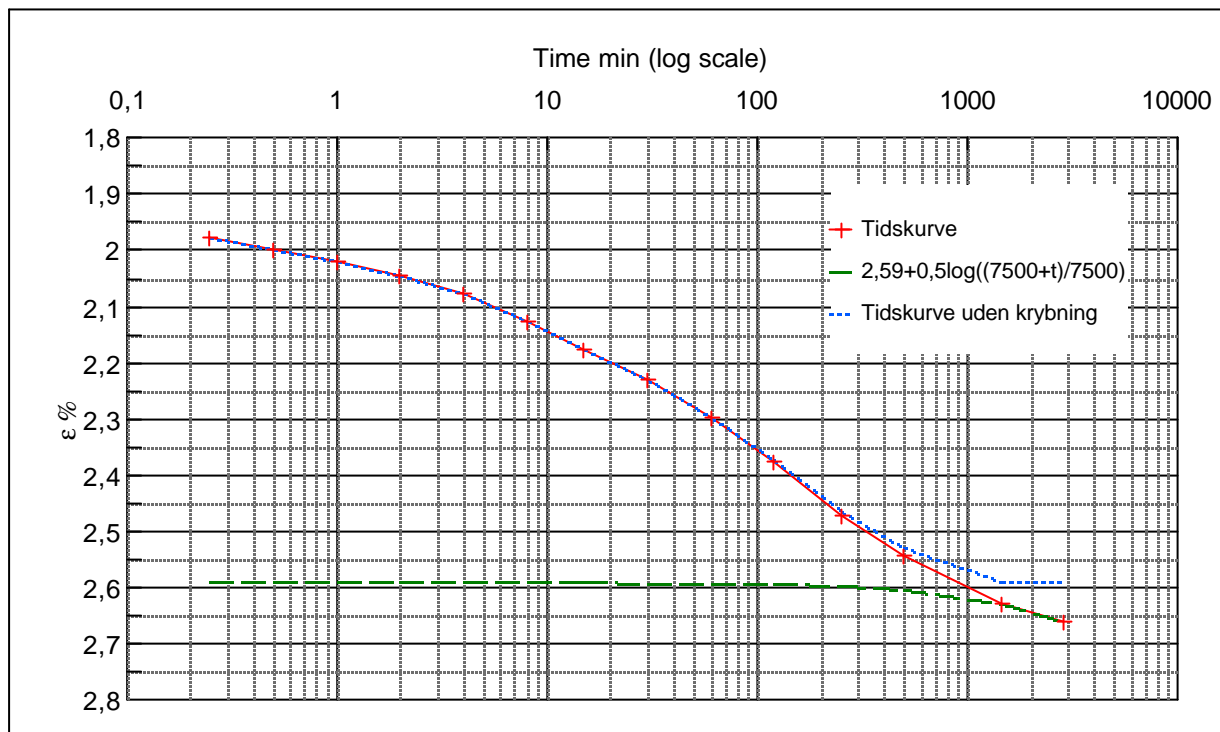
Step no 7	σ	kPa	ε	%	ε_i	tc in sec	8640	
	Before	231,7	ε_0	0,77	$\varepsilon_c \%$	1,77	K i kPa	25.288
	After	486,6	$\varepsilon_{\#}$	1,81	ε_s	0,1	k10 m/sec	5,9E-11
					ε_{kyb}	0,03	ck10 m ² /sec	1,53E-07



Material: Clay Eemian Glacial	Bor no : Lab. no: Pr 1	Depth: 76.7 m.b.s Insitu stress. ~780 kPa
----------------------------------	---------------------------	--

Job: Anholt	AAU
	Encl. No 2.9
Executed: AMS/mj/gt	Check:
Approved:	

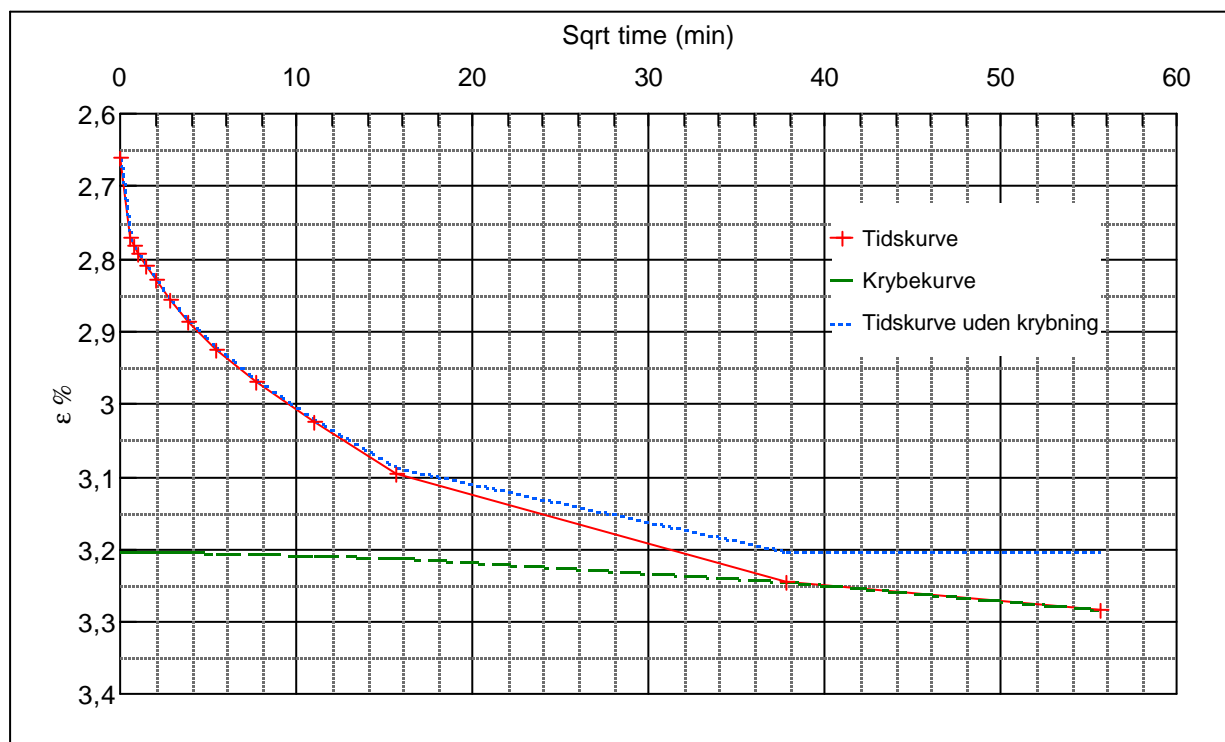
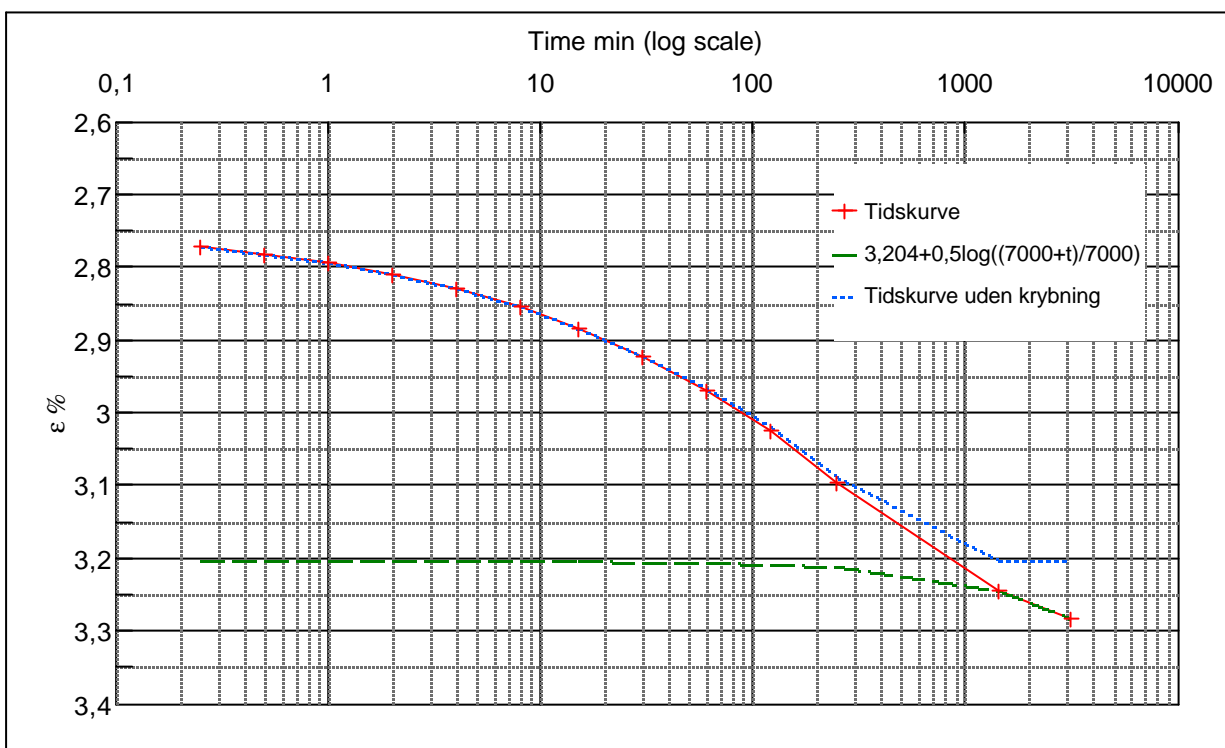
Step no 8	σ	kPa	ϵ	%	ϵ_i		tc in sec	7260
	Before	486,6	ϵ_0	1,81	$\epsilon_c \%$	2,59	K i kPa	32.585
	After	741,5	$\epsilon_{\#}$	2,66	ϵ_s	0,13	k10 m/sec	5,5E-11
					ϵ_{kryb}	0,07	ck10 m ² /sec	1,82E-07



Material: Clay Eemian Glacial
Bor no : Lab. no: Pr 1
Depth: 76.7 m.b.s Insitu stress. ~780 kPa

Job: Anholt	AAU
Encl. No 2.10	
Executed: AMS/mj/gt	Check:
Approved:	

Step no 9	σ	kPa	ϵ	%	ϵ_i		tc in sec	19440
	Before	741,5	ϵ_0	2,66	$\epsilon_c \%$	3,20	K i kPa	46.932
	After	996,4	$\epsilon_{\#}$	3,28	ϵ_s	0,12	k10 m/sec	1,4E-11
					ϵ_{kyb}	0,08	ck10 m ² /sec	6,79E-08



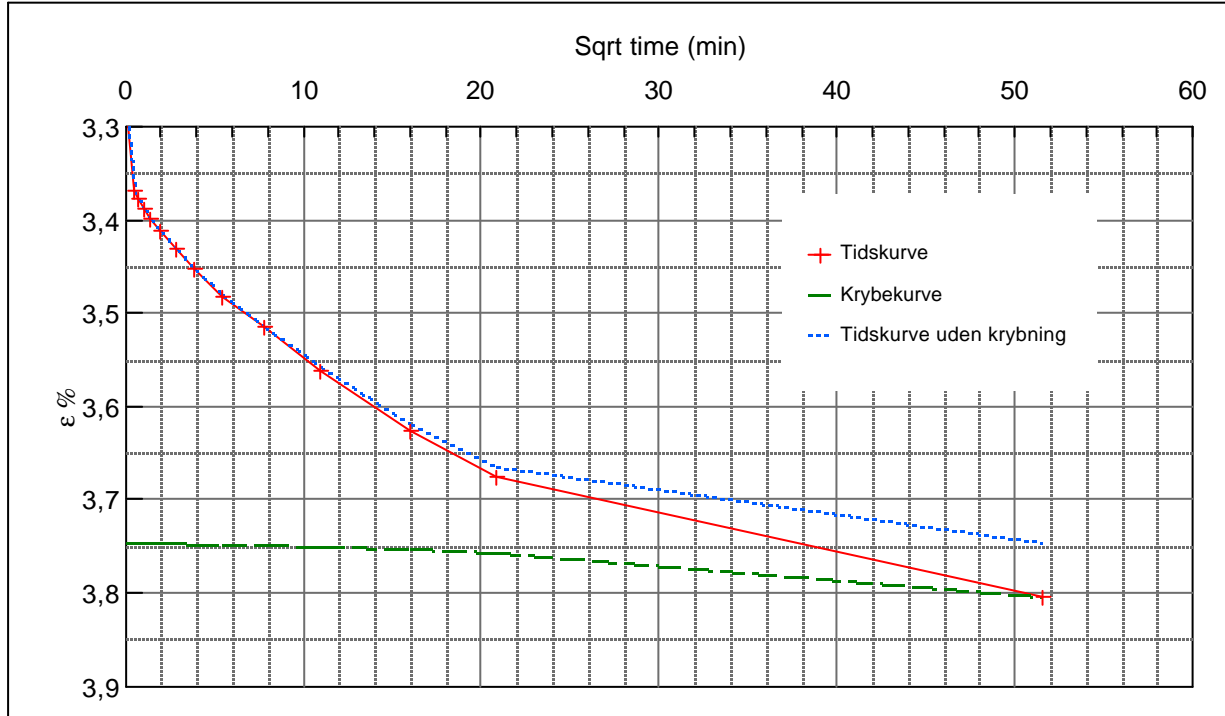
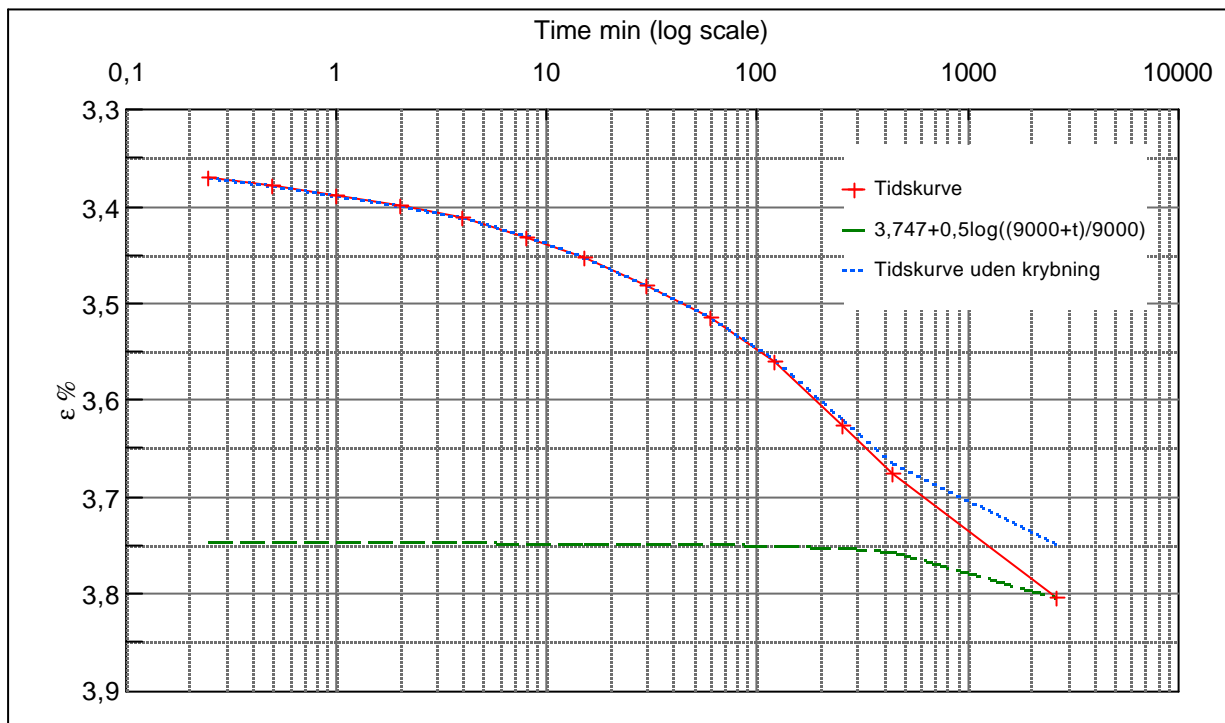
Material: Clay Eemian Glacial	Bor no : Lab. no: Pr 1	Depth: 76.7 m.b.s Insitu stress. ~780 kPa
----------------------------------	---------------------------	--

Job: Anholt	AAU
	Encl. No 2.11
Executed: AMS/mj/gt	Check:
Approved:	

Step no	σ	kPa	ϵ	%	ϵ_i		tc in sec	29040
10	Before	996,4	ϵ_0	3,28	$\epsilon_c \%$	3,75	K i kPa	55.056
	After	1.251,3	$\epsilon_{\#}$	3,80	ϵ_s	0,13	k10 m/sec	8,10E-12

ϵ_{kyb} 0,06

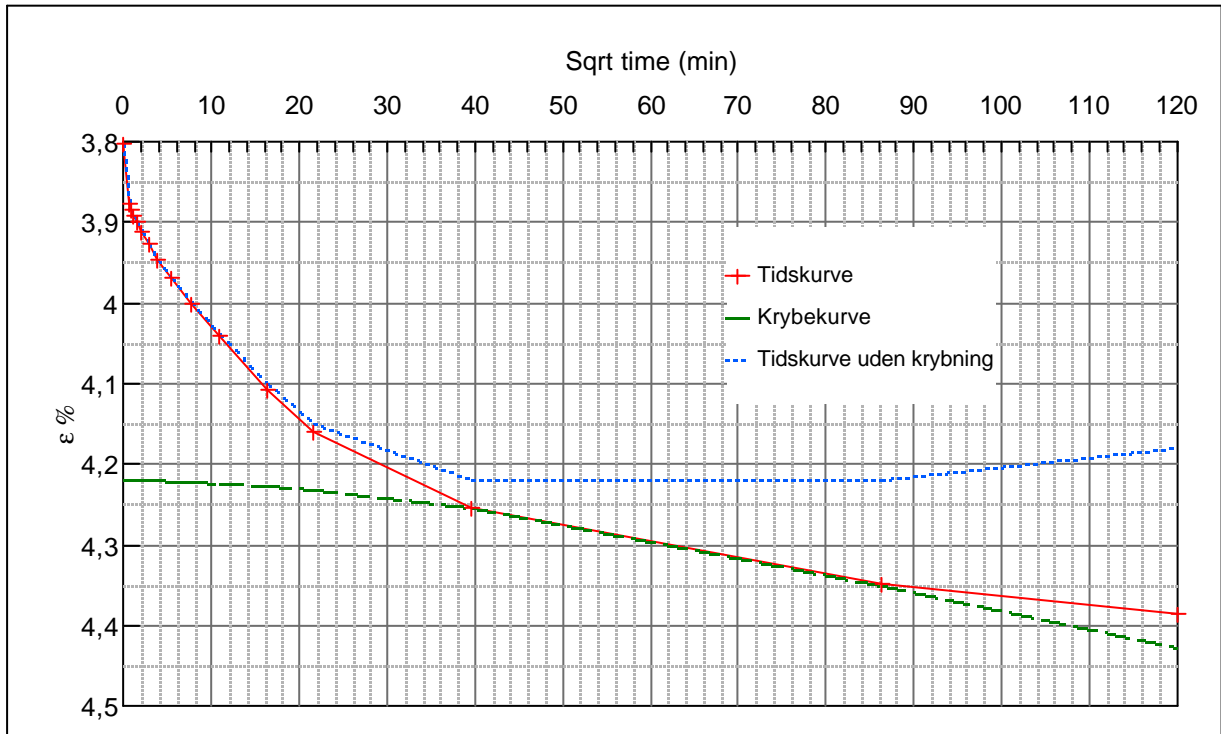
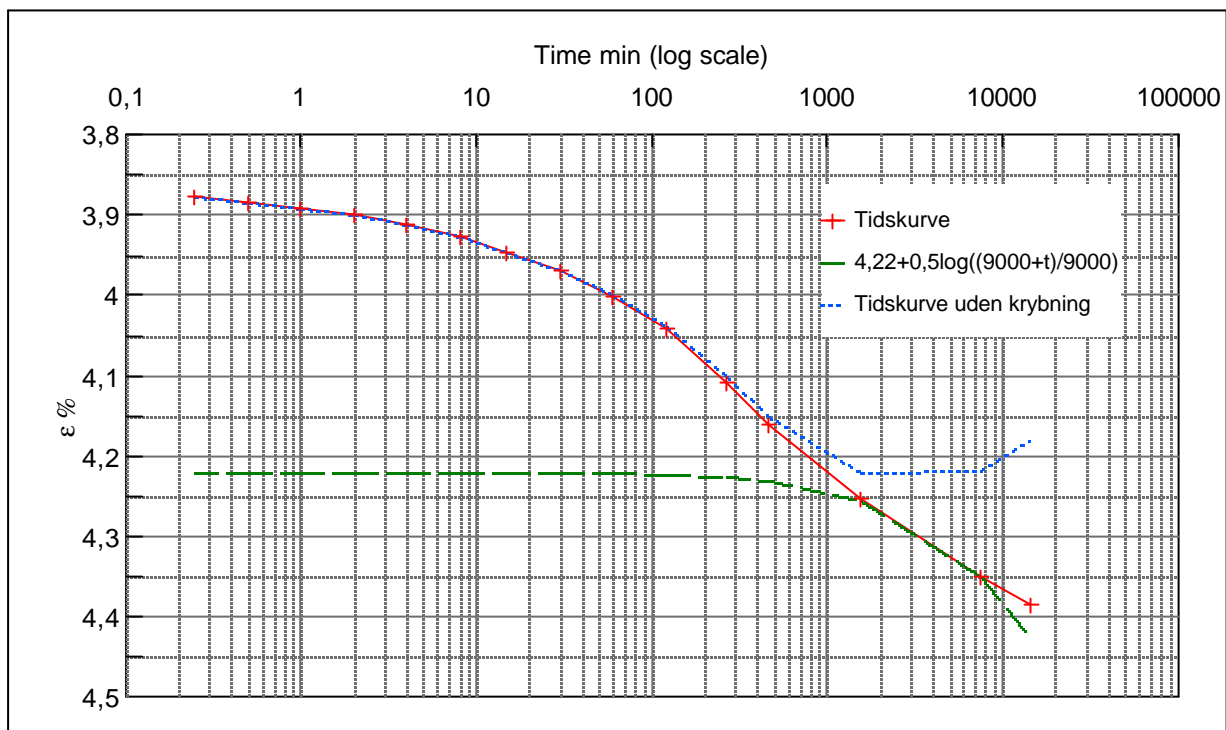
ck10 m²/sec 4,55E-08



Material: Clay Eemian Glacial	
Bor no : Lab. no:	Depth: 76.7 m.b.s Insitu stress. ~780 kPa

Job: Anholt	AAU
Encl. No 2.12	
Executed: AMS/mj/gt	Check:
Approved:	

Step no 11	σ	kPa	ϵ	%	ϵ_i		tc in sec	29040
	Before	1.251,3	ϵ_0	3,80	$\epsilon_c \%$	4,22	K i kPa	61.192
	After	1.506,2	$\epsilon_{\#}$	4,39	ϵ_s	0,13	k10 m/sec	7,3E-12
					ϵ_{kryb}	0,17	ck10 m ² /sec	4,55E-08

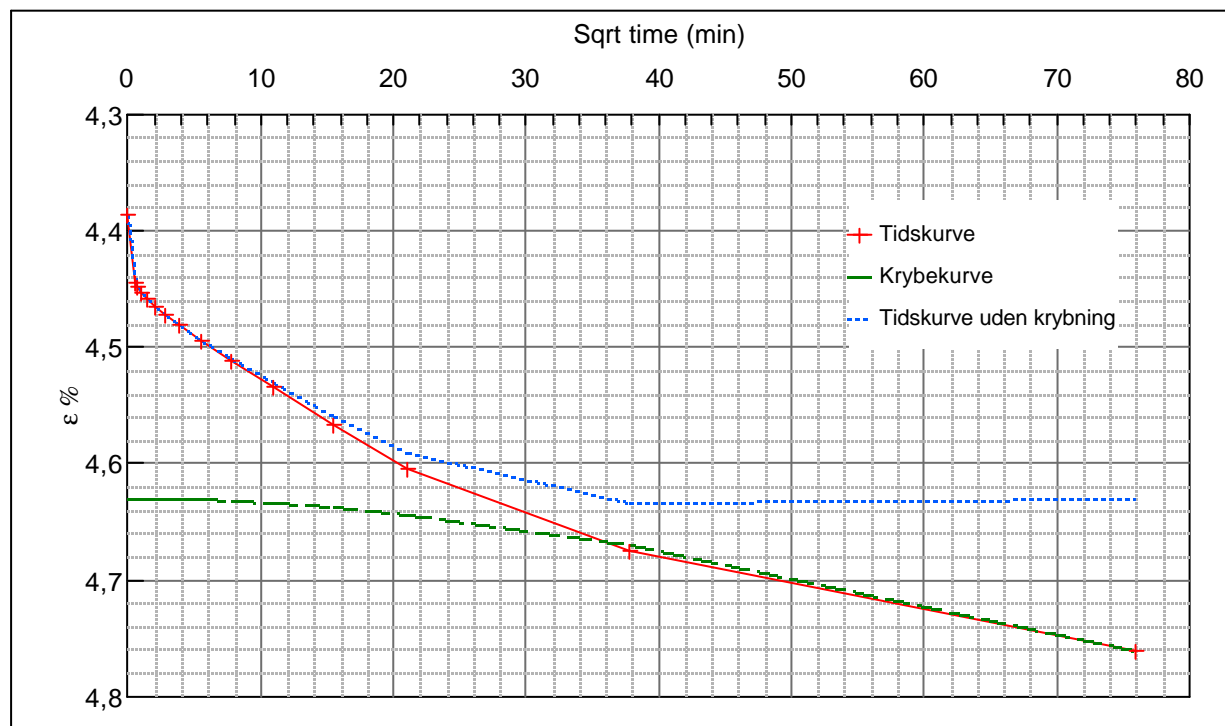
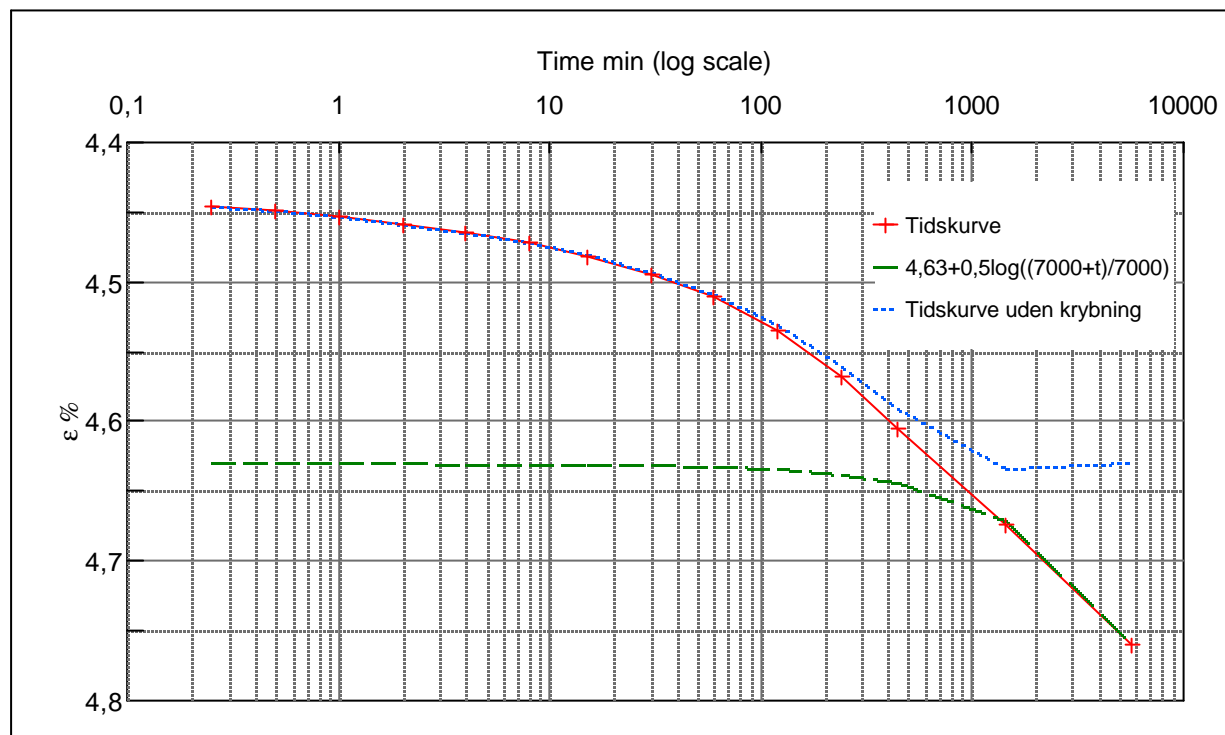


Material: Clay Eemian Glacial	
Bor no : Lab. no: Pr 1	Depth: 76.7 m.b.s Insitu stress. ~780 kPa

Job: Anholt	AAU
Encl. No 2.13	
Executed: AMS/mj/gt	Check:
Approved:	

Step no 12	σ	kPa	ε	%	ε_i		tc in sec	37500
	Before	1.506,2	ε_0	4,39	$\varepsilon_c \%$	4,63	K i kPa	104.348
	After	1.761,2	$\varepsilon_{\#}$	4,76	ε_s	0,14	k10 m/sec	3,3E-12

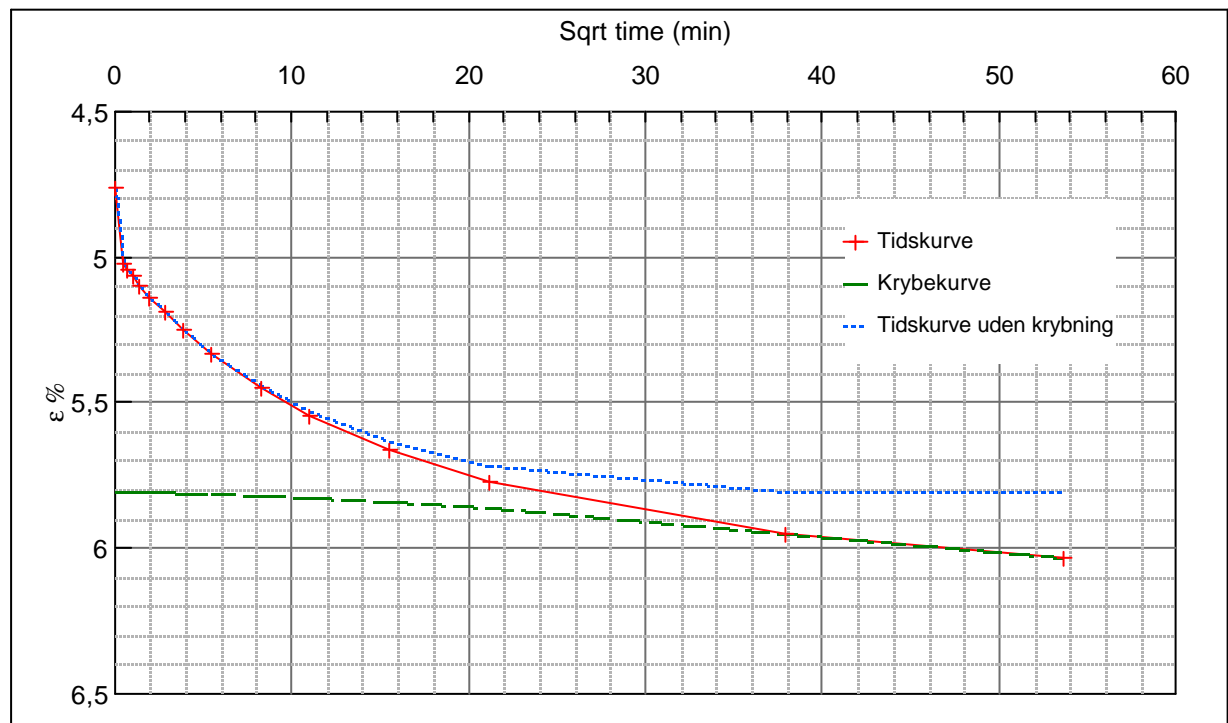
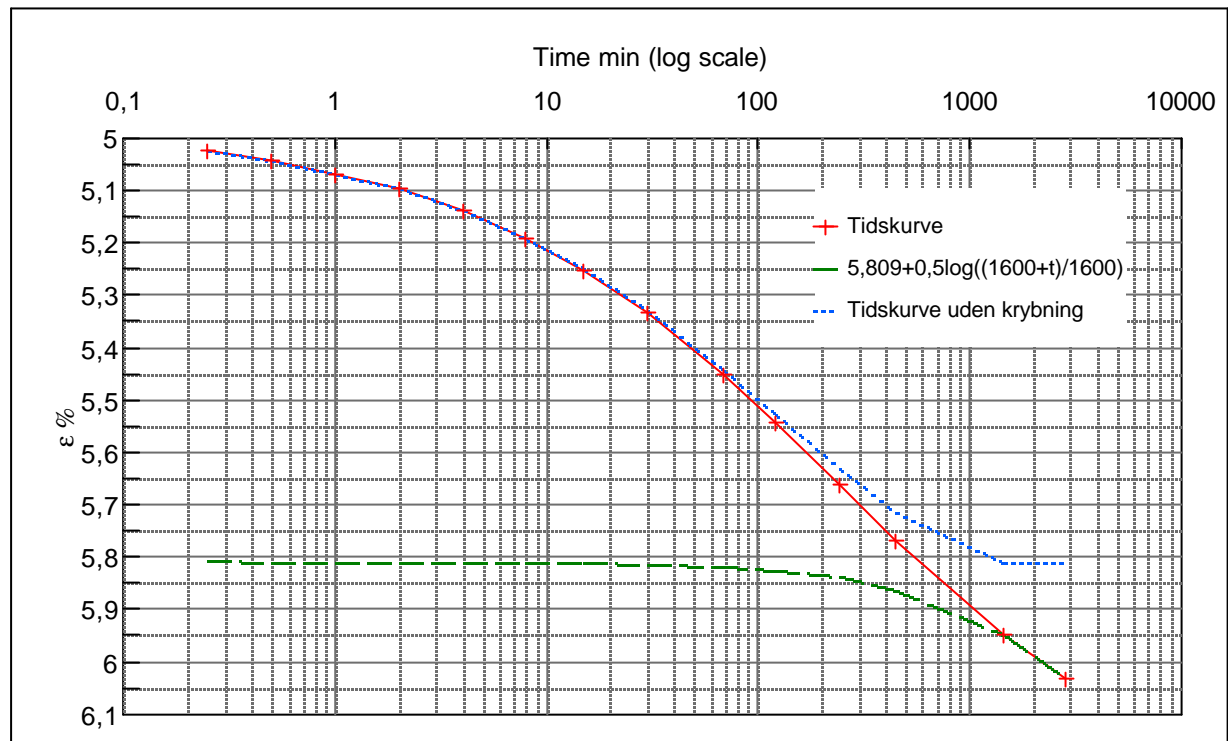
ε kryb	0,13	tc10 m ² /sec	3,52E-08
--------------------	------	--------------------------	----------



Material: Clay Eemian Glacial	
Bor no : Lab. no: Pr 1	Depth: 76.7 m.b.s Insitu stress. ~780 kPa

Job: Anholt	Anholt	AAU
	Encl. No 2.14	
Executed: AMS/mj/gt		Check:
Approved:		

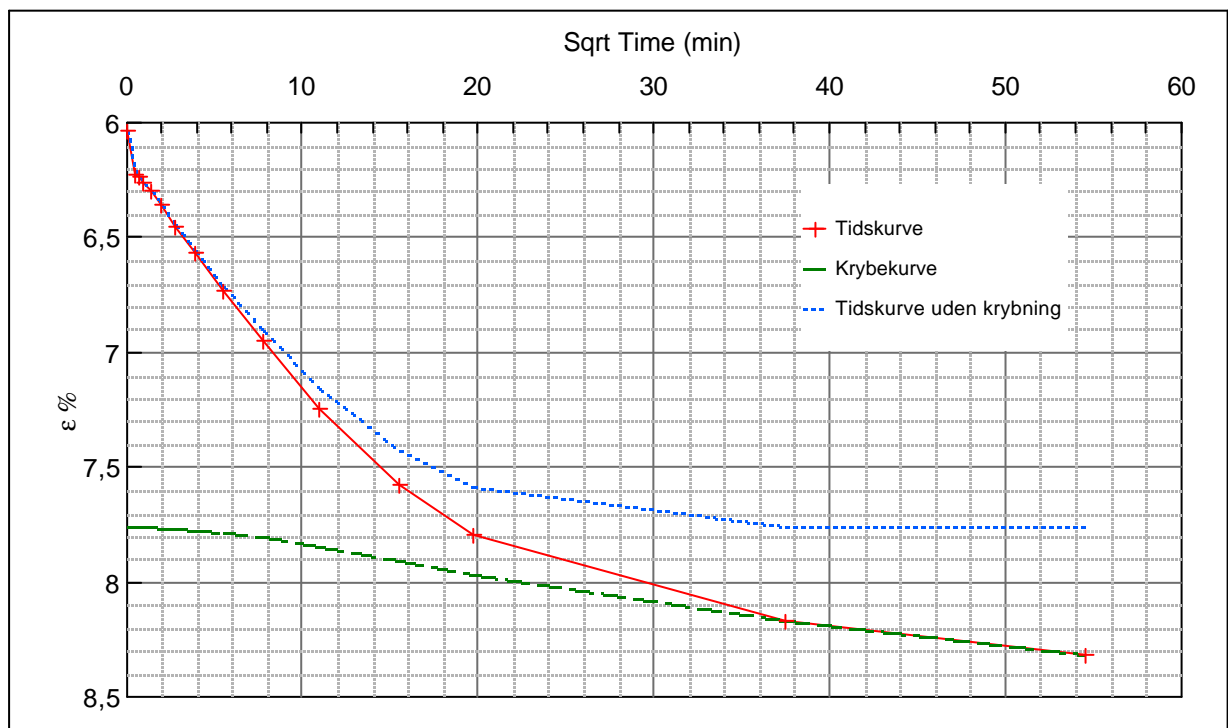
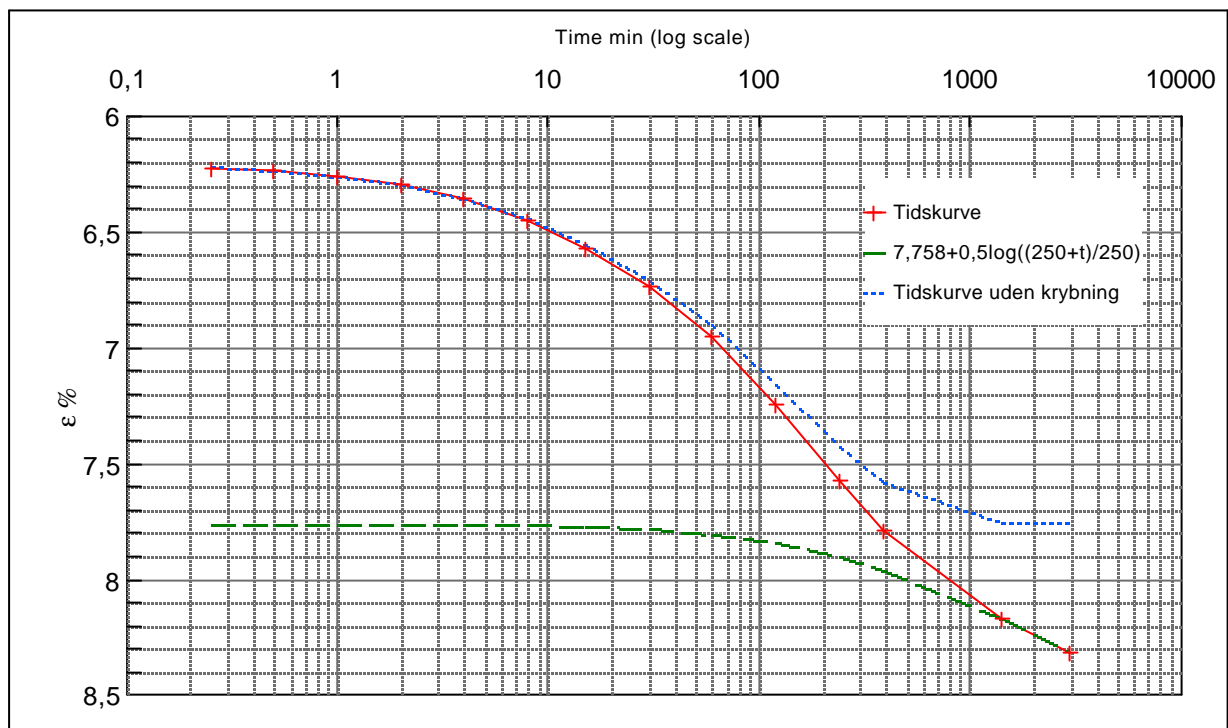
Step no 13	σ	kPa	ϵ	%	ϵ_i		tc in sec	11760
	Before	1.761,2	ϵ_0	4,76	$\epsilon_c \%$	5,81	K i kPa	72.910
	After	2.525,9	$\epsilon_{\#}$	6,03	ϵ_s	0,28	k10 m/sec	1,5E-11
					ϵ_{kryb}	0,22	ck10 m ² /sec	1,12E-07



Material: Clay Eemian Glacial	Bor no : Lab. no: Pr 1	Depth: 76.7 m.b.s Insitu stress. ~780 kPa
----------------------------------	---------------------------	--

Job: Anholt	Anholt	AAU
	Encl. No 2.15	
Executed: AMS/mj/gt	Check:	
Approved:		

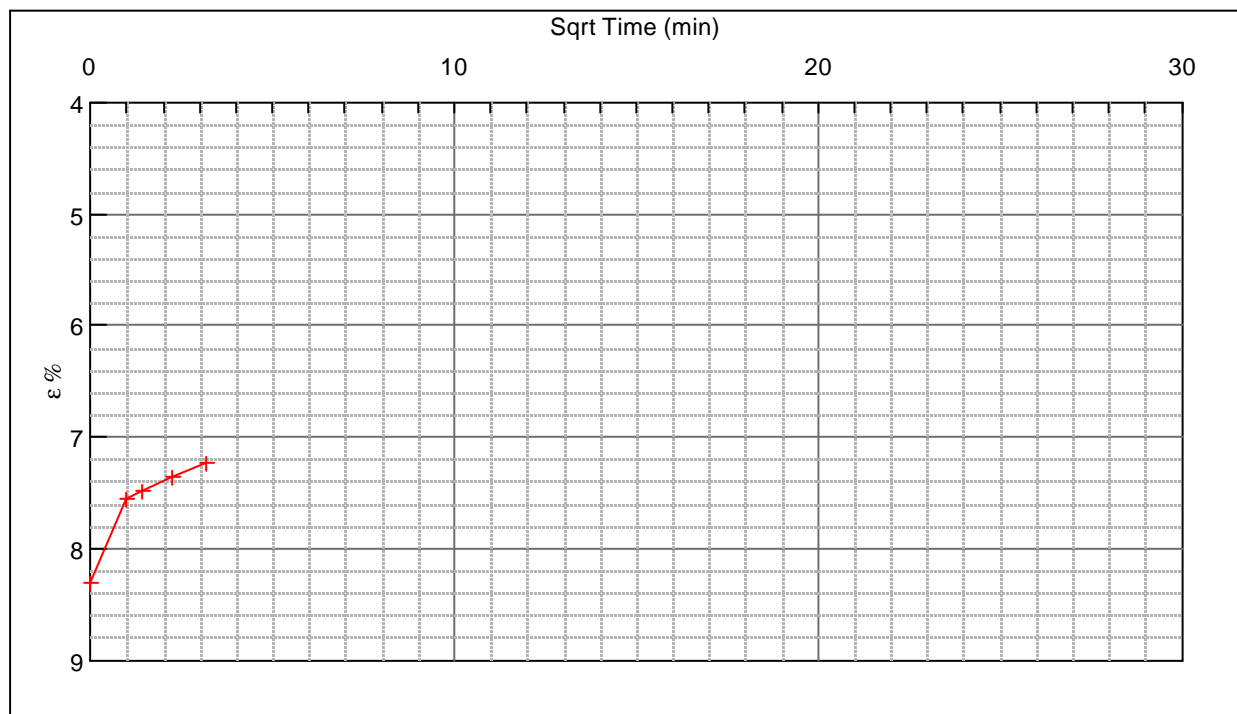
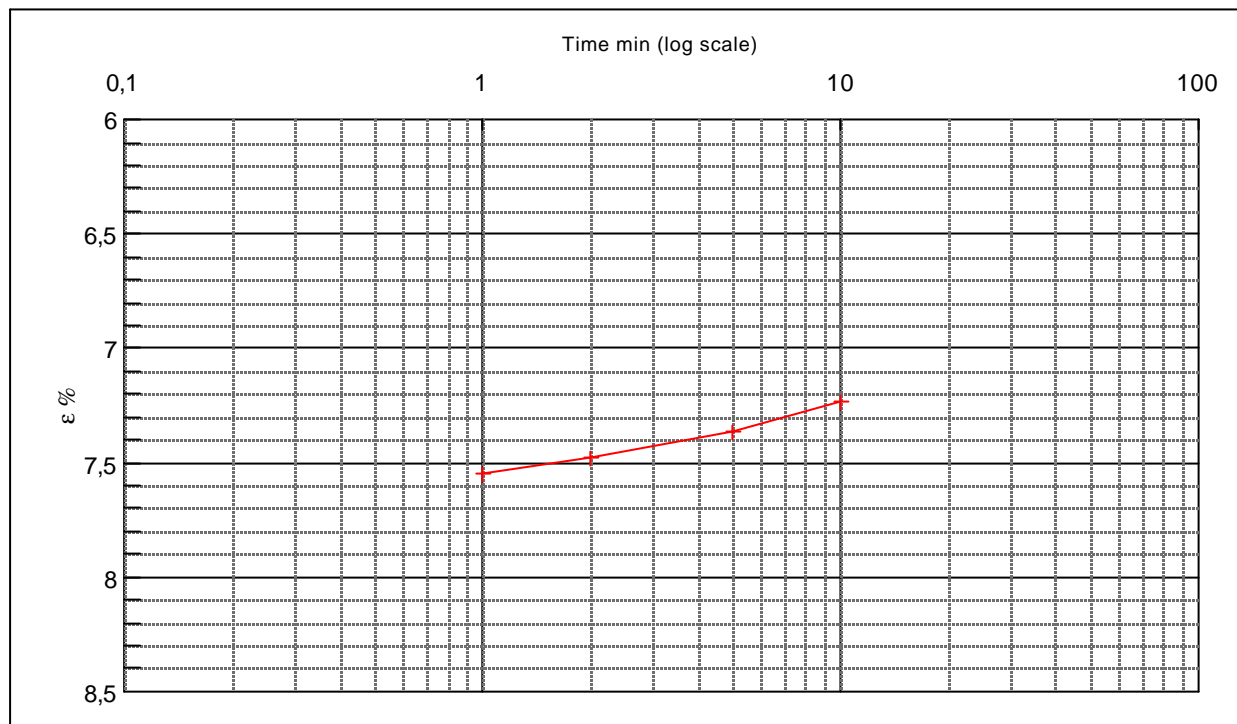
Step no 14	σ	kPa	ε	%	ε_i		tc in sec	15360
	Before	2.525,9	ε_0	6,03	$\varepsilon_c \%$	7,76	K i kPa	88.649
	After	4.055,3	$\varepsilon_{\#}$	8,31	ε_s	0,5	k10 m/sec	9,5E-12
			ε_{kyb}	0,55			ck10 m ² /sec	8,59E-08



Material: Clay Eemian Glacial	Bor no : Lab. no:	Depth: Insitu stress ~780 kPa
Pr 1		

Job: Anholt	AAU
Encl. No 2.16	
Executed: AMS/mj/gt	Check:
Approved:	

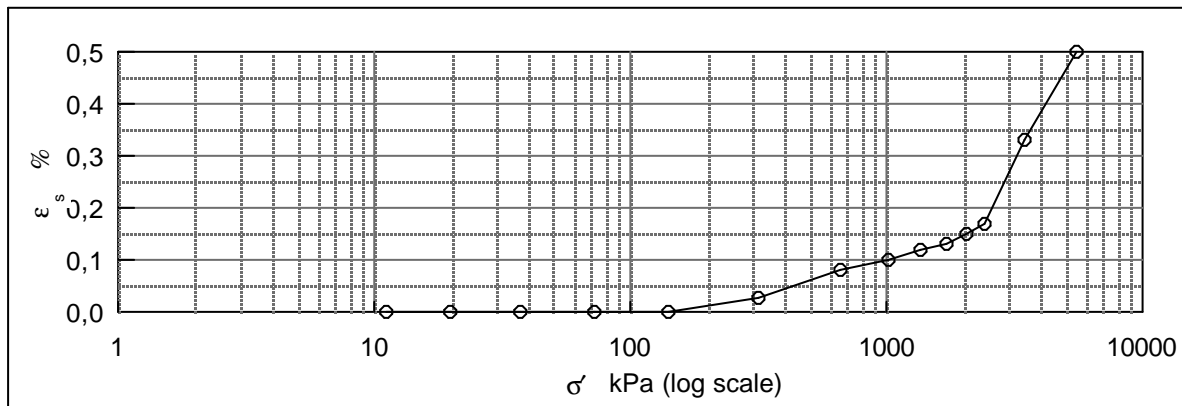
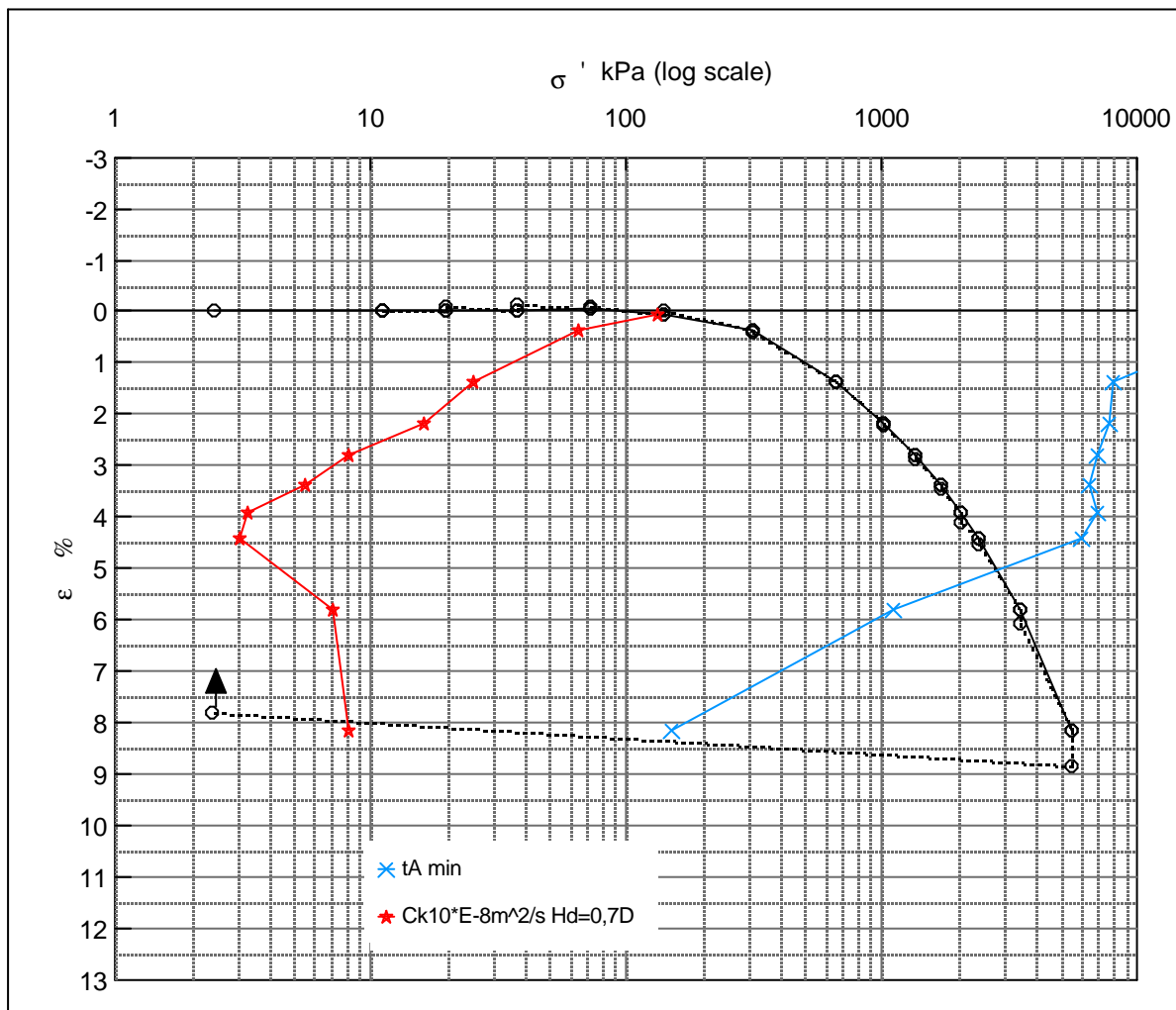
Step no 15	σ	kPa	ε	%	ε_i		tc in sec
	Before	4.055,3	ε_0	7,55	ε_c %	4	K i kPa
	After	2,29	$\varepsilon_{\sim \#}$	4	ε_s		k10 m/sec
					ε_{kyb}		ck10 m ² /sec



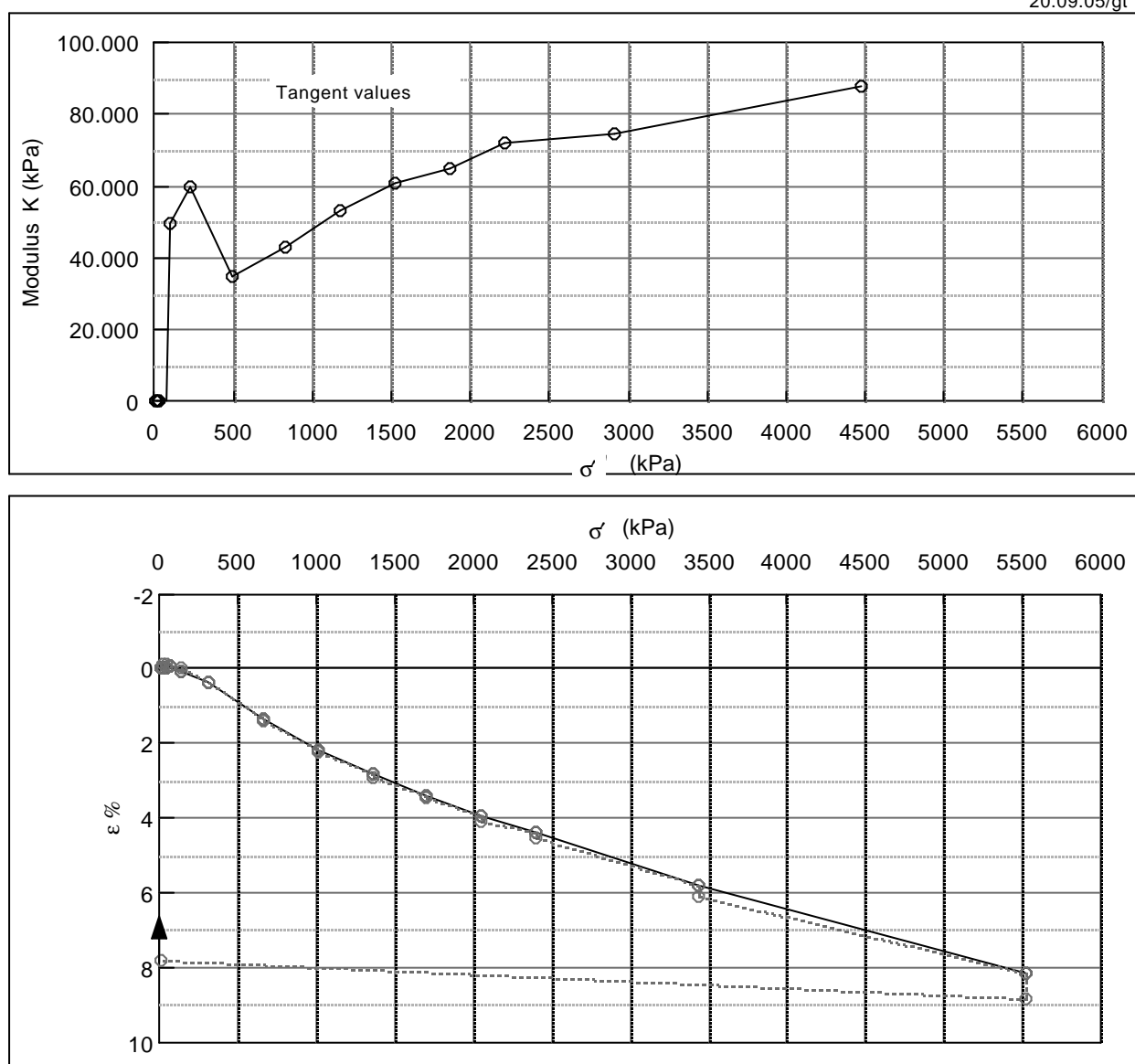
Material: Clay Eemian Glacial	
Bor no : Lab. no:	Depth: 76.7 m.b.s Insitu stress. ~780 kPa

Job:	Anholt	AAU
		Encl. No 2.17
Executed:	AMS/mj/gt	Check:
Approved:		

Description of soil:		Before	After
Clay Eemian Glacial			
Bor no :	Overburden pressure σ'_o	~780 kPa	
Lab. no: Pr.2	Vane strength c_v	kPa	
Level : 76.7 m.b.s	CPT - value q_c	MPa	
		Dimension H x D mm	27.7x60
		Water content %	22,5 20,1
		Bulk density Mg/m ³	1,99 2,11
		Grain density Mg/m ³	~2,72
		Void ratio	0,68 0,54
		Degr. of Saturation %	91 100



Job: Anholt	AAU
Encl. No	3.1
Executed: AMS/mj/gt	Check:
Approved:	

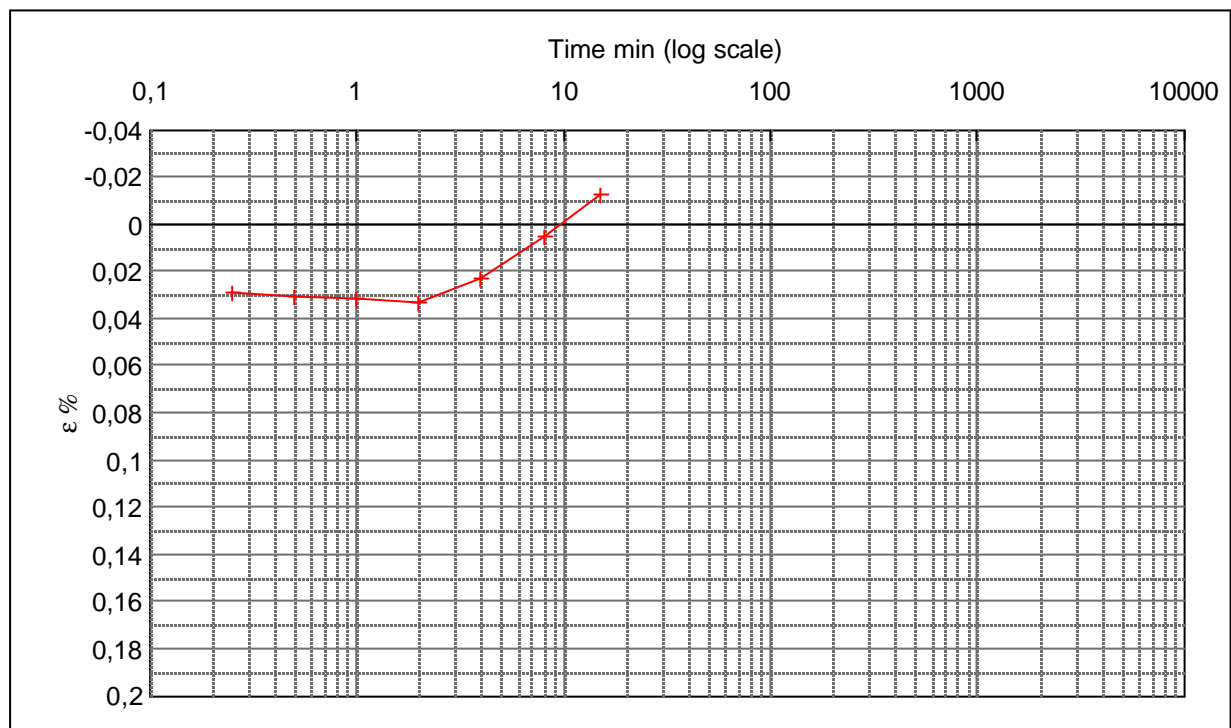


Test results	σ'	ε_c	ε_s	Ck10	σ'_m	K	w
	kPa	%	% / lct	m ² /s	kPa	kPa	%
Q	13 % ?	2,4			-	-	24,9
Qs	~0,5 %	11,1			6,8		24,9
σ'_{pc}	>4000 kPa	19,8			15,4		24,9
	37,1				28,5		24,9
	71,8	(0,07)			54,5	-49565,4	24,9
	141,2	0,07	0,00	1,3E-06	106,5	49565,4	24,8
	314,7	0,36	0,03	6,5E-07	228,0	59820,3	24,6
	661,6	1,35	0,08	2,5E-07	488,2	35046,2	24,0
	1.008,6	2,16	0,10	1,6E-07	835,1	42834,3	23,5
	1.355,6	2,81	0,12	8,2E-08	1.182,1	53378,1	23,1
	1.702,5	3,38	0,13	5,6E-08	1.529,0	60869,8	22,8
	2.049,5	3,92	0,15	3,3E-08	1.876,0	64851,9	22,4
	2.396,4	4,40	0,17	3,1E-08	2.223,0	71982,9	22,2
	3.437,3	5,80	0,33	7,2E-08	2.916,9	74454,5	21,3
	5.519,1	8,17	0,50	8,2E-08	4.478,2	87726,4	19,8
	2,4	7,80			2.760,7	1499083,9	20,1

Remark:
 "Genbelastningsgren"
 Normalkonsolideret tilstand næppe nået

Job:	Anholt	AAU
Encl. No	3.2	
Executed:	AMS/mj/gt	Check:
Approved:		

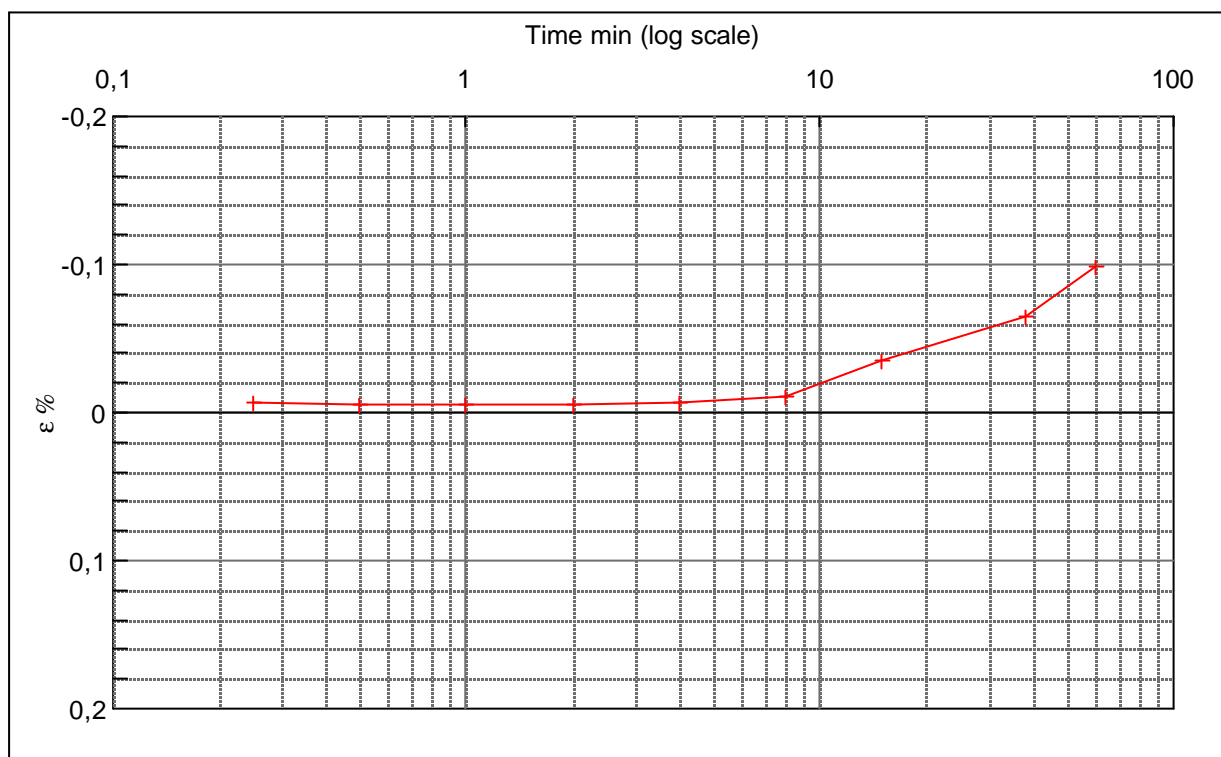
Step no 1	σ	kPa	ε	%	ε_i	tc in sec
	Before	2,43	ε_0	0,000	ε_c %	K i kPa
	After	11,1	$\varepsilon_{\#}$	(0,013)	ε_s	k10 m/sec
			ε	kyb		ck10 m ² /sec



Material:	Clay	Eemian	Glacial
Bor no :		Depth:	76.7 m.b.s
Lab. no:	P2	Insitu stress:	~780 kPa

Job:	Anholt	AAU
		Encl. No 3.3
Executed:	AMS/mj/gt	Check:
Approved:		

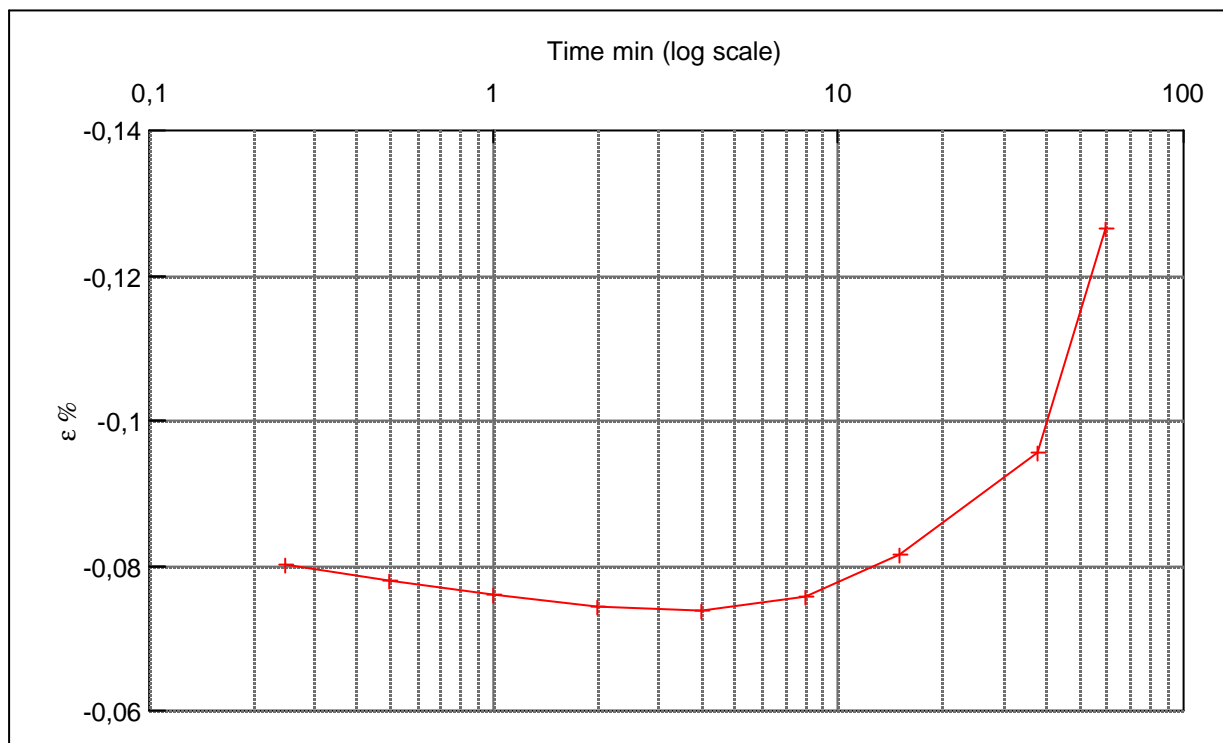
Step no	σ	kPa	ε	%	ε_i	tc in sec	K i kPa	k10 m/sec	ck10 m^2 /sec	
	Before	11,1	ε_0	(0,012)	ε_c %					
2	After	19,8	$\varepsilon_{\#}$	(0,099)	ε_s					
					ε_{kyb}					



Material:	Clay	Eemian	Glacial
Bor no :		Depth:	76.7 m.b.s
Lab. no:	P2	Insitu stress.	~780 kPa

Job:	Anholt	AAU
		Encl. No
		3.4
Executed:	AMS/mj/gt	Check:
Approved:		

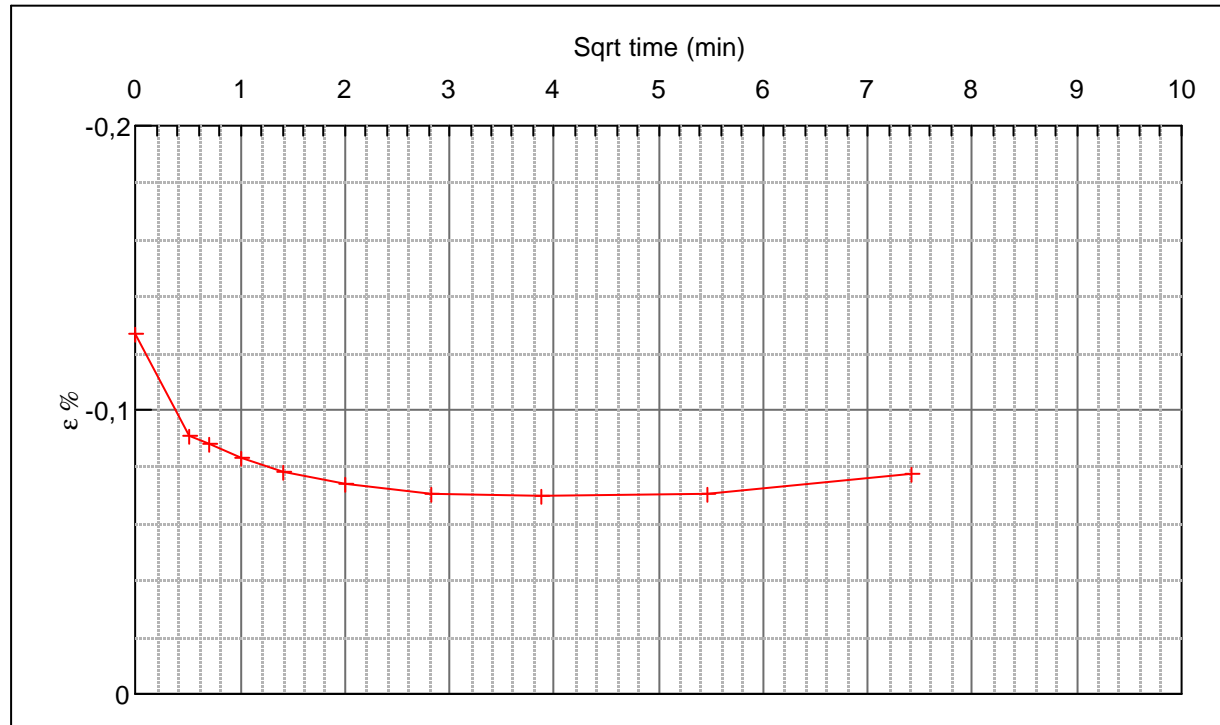
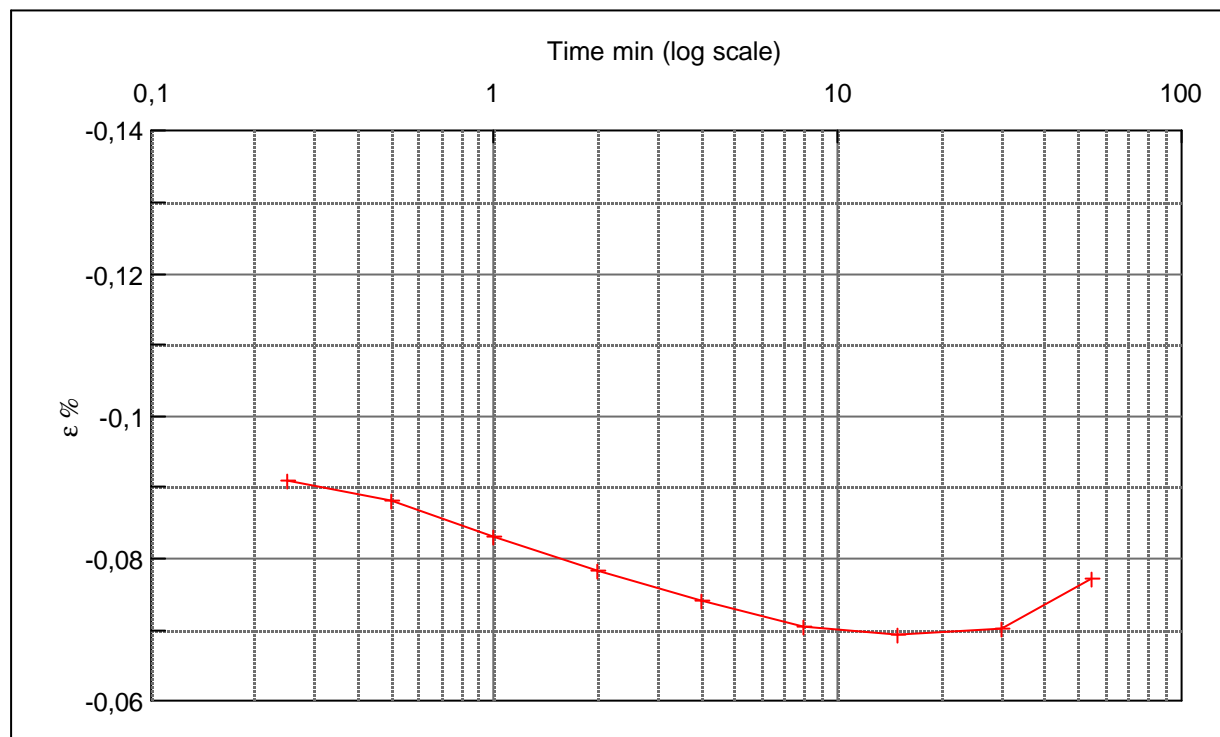
Step no 3	σ	kPa	ϵ	%	ϵ_i		tc in sec
	Before	19,8	ϵ_0	(0,099)	ϵ_c %	K i kPa	
	After	37,1	$\epsilon_{\#}$	(0,127)	ϵ_s	k10 m/sec	
					ϵ_{kryb}	ck10 m ² /sec	



Material:	Clay	Eemian	Glacial
Bor no :		Depth:	76.7 m.b.s
Lab. no:	P2	Insitu stress.	~780 kPa

Job:	Anholt	AAU
		Encl. No 3.5
Executed:	AMS/mj/gt	Check:
Approved:		

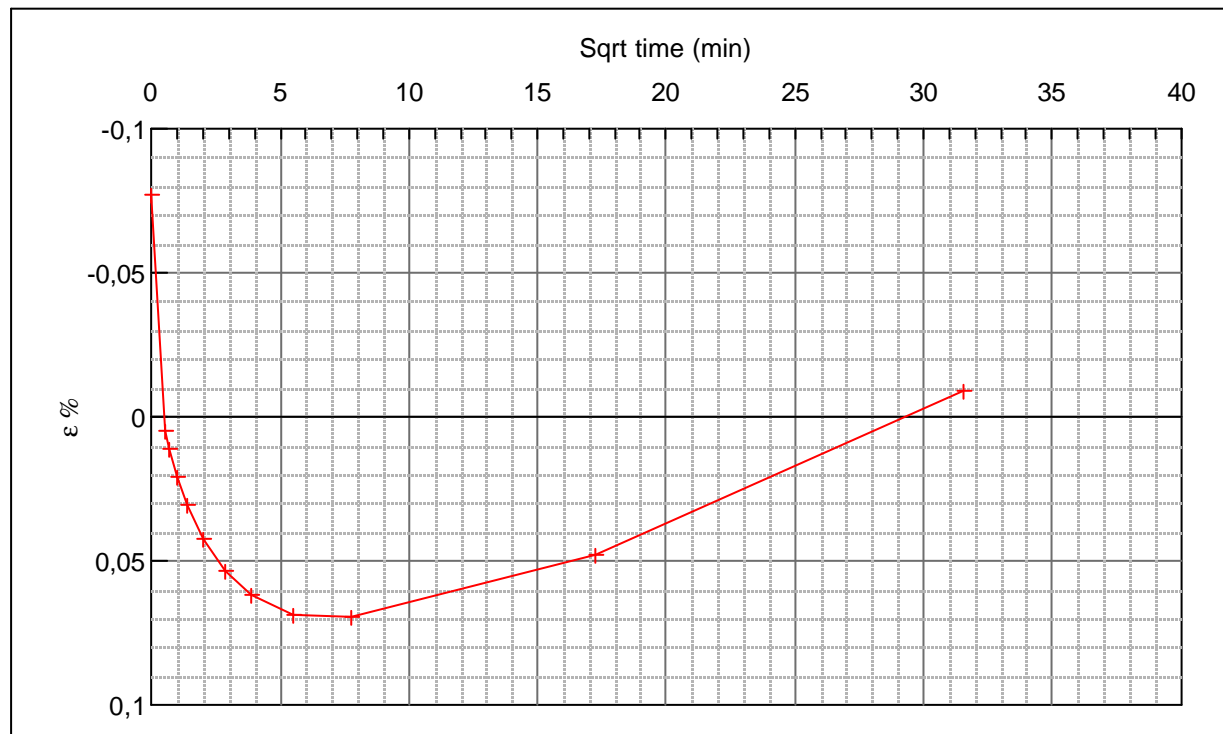
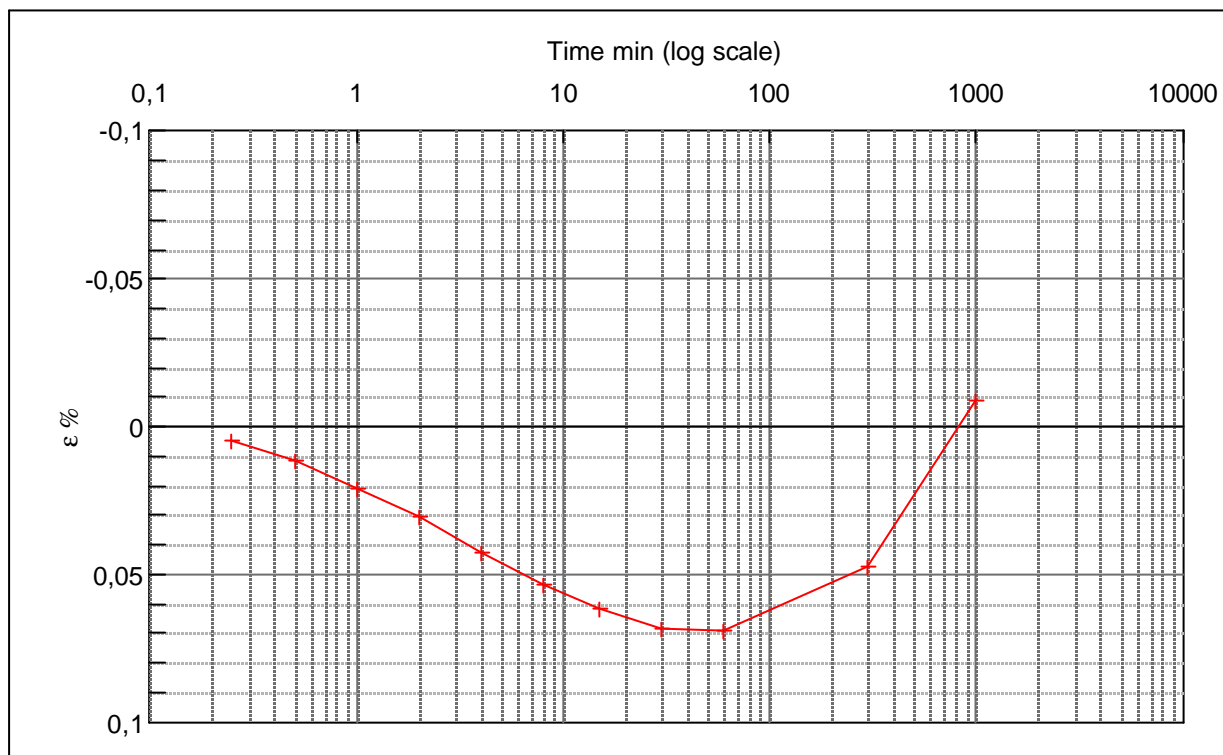
Step no 4	σ	kPa	ϵ	%	ϵ_i		tc in sec K i kPa k10 m/sec ck10 m ² /sec
	Before	37,1	ϵ_0	(0,127)	ϵ_c %	-0,07	
	After	71,8	$\epsilon_{\#}$	(0,077)	ϵ_s		ϵ_{kryb}



Material: Clay Eemian Glacial	
Bor no : Lab. no:	Depth: 76.7 m.b.s Insitu stress. ~780 kPa P2

Job: Executed: Approved:	Anholt AMS/mj/gt	AAU Encl. No 3.6 Check:

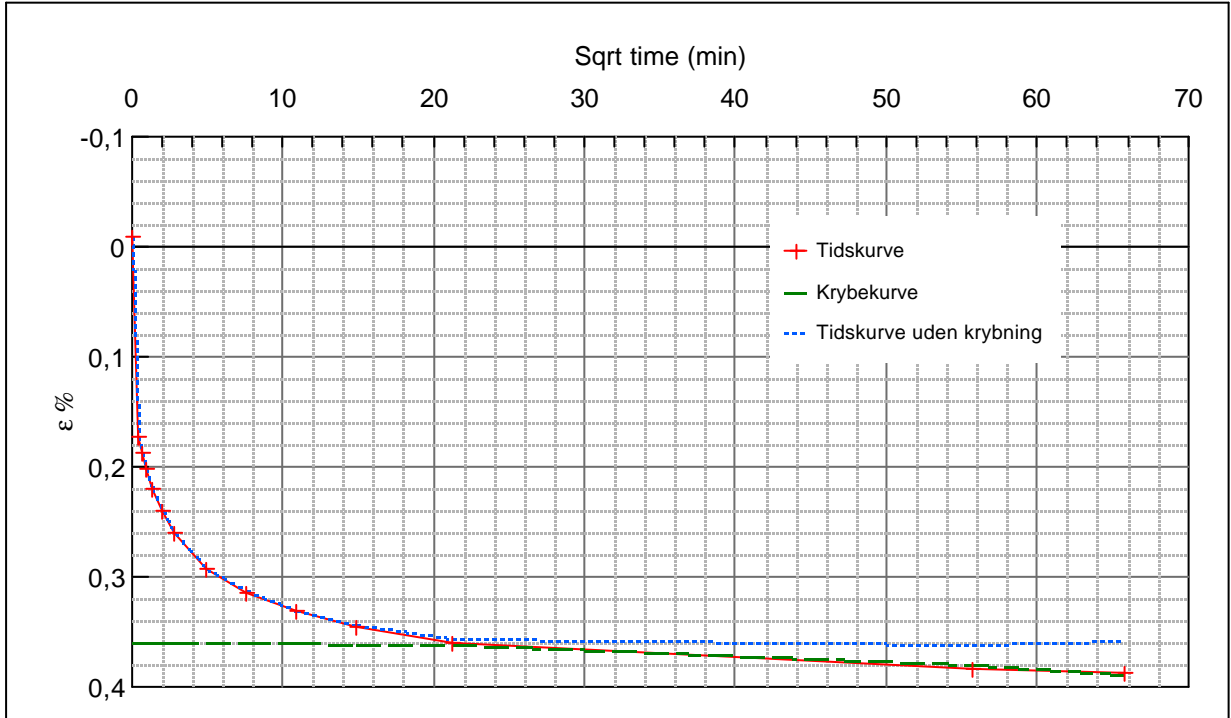
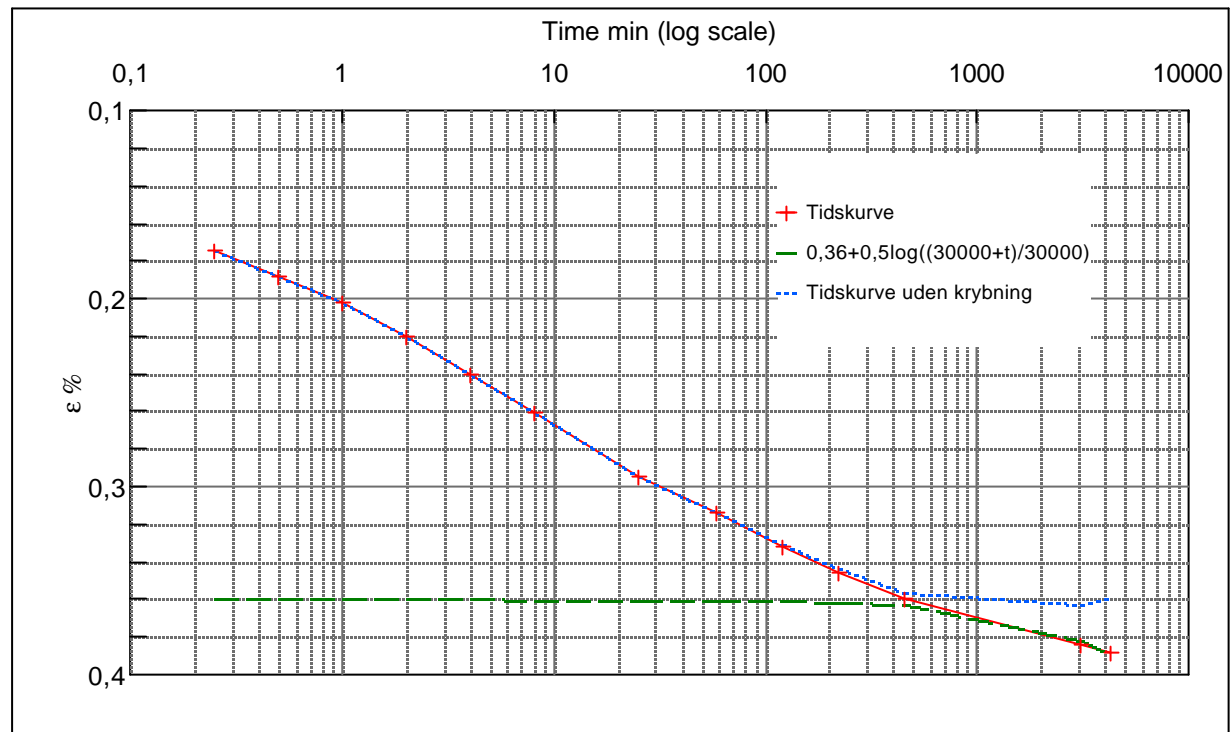
Step no 5	σ	kPa	ε	%	ε_i	tc in sec K i kPa k10 m/sec ε_{ky}	735
	Before	71,8	ε_0	(0,08)	$\varepsilon_c \%$	0,07	47.205
	After	141,2	$\varepsilon_{\#}$	(0,01)	ε_s		2,7E-10
						ck10 m ² /sec	1,32E-06



Material:	Clay	Eemian	Glacial
Bor no :		Depth:	76.7 m.b.s
Lab. no:	P2	Insitu stress.	~780 kPa

Job:	Anholt	AAU
		Encl. No 3.7
Executed:	AMS/mj/gt	Check:
Approved:		

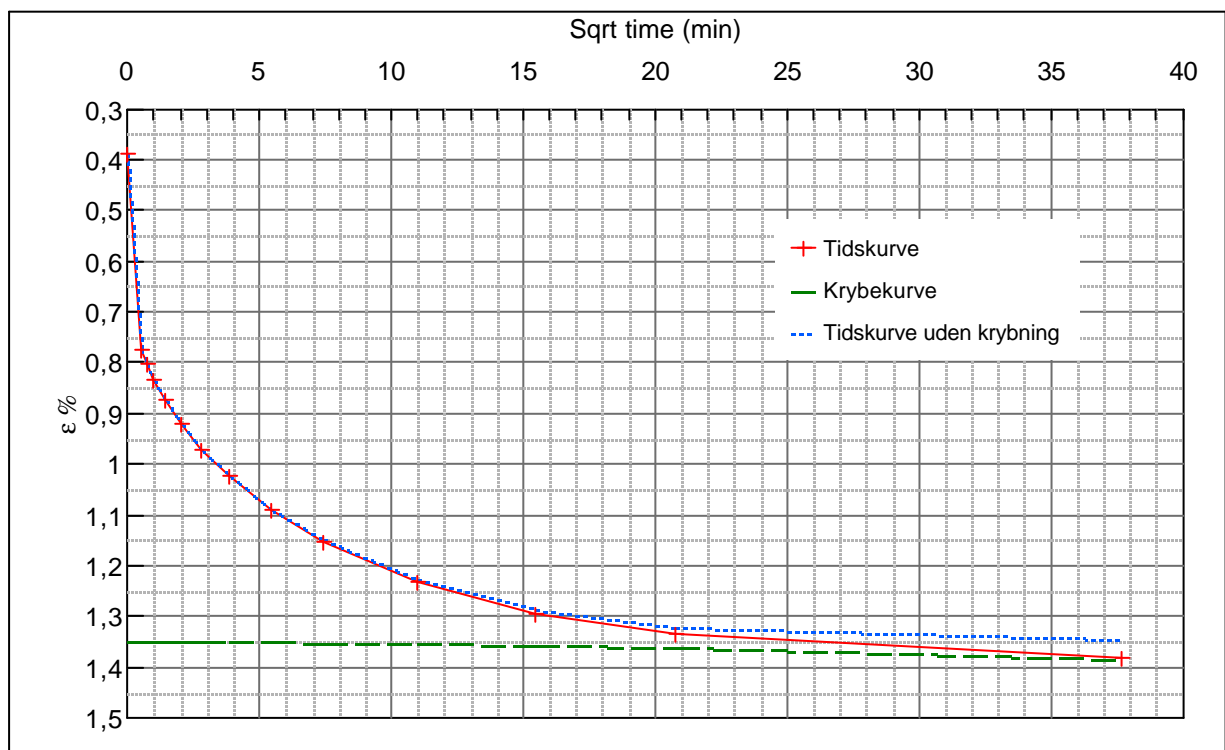
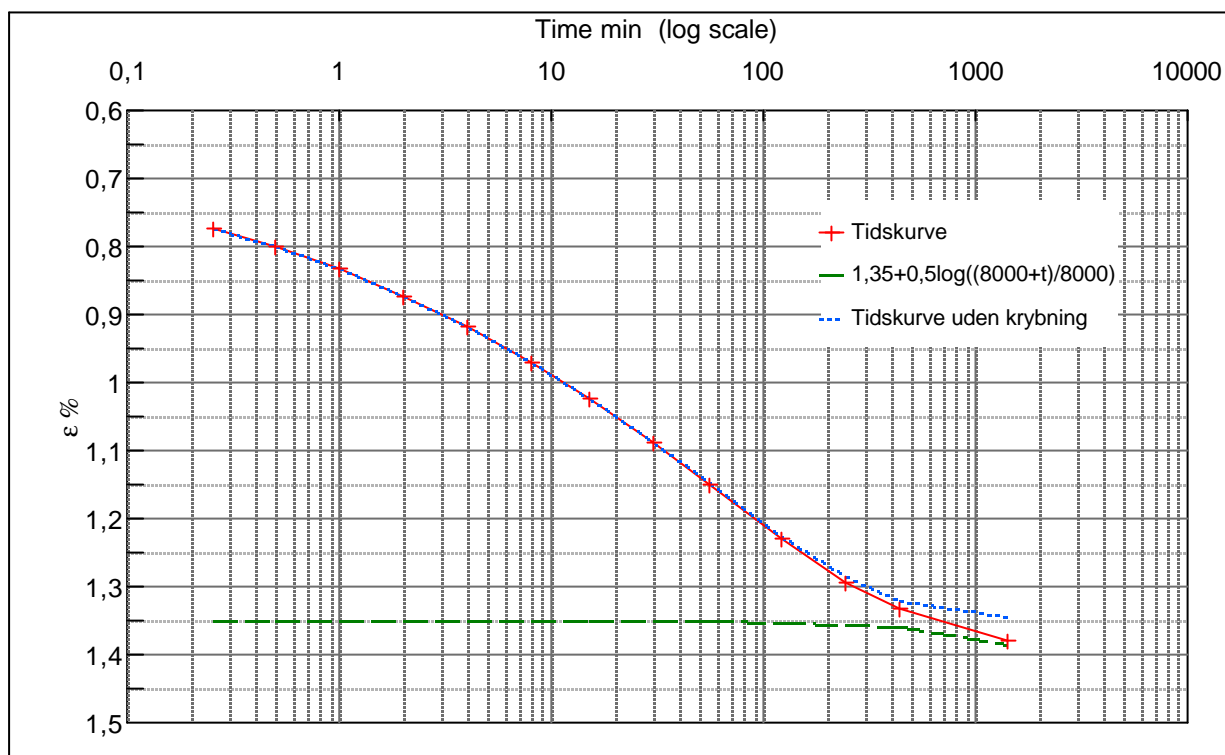
Step no 6	σ	kPa	ε	%	ε_i		tc in sec	1500
	Before	141,2	ε_0	(0,01)	ε_c %	0,36	K i kPa	47.013
	After	314,7	$\varepsilon_{\#}$	0,39	ε_s	0,028	k10 m/sec	1,3E-10
					ε_{kyb}	0,028	ck10 m ² /sec	6,47E-07



Material:	Clay	Eemian	Glacial
Bor no :		Depth:	76.7 m.b.s
Lab. no:	P2	Insitu stress:	~780 kPa

Job:	Anholt	AAU
		Encl. No 3.8
Executed:	AMS/mj/gt	Check:
Approved:		

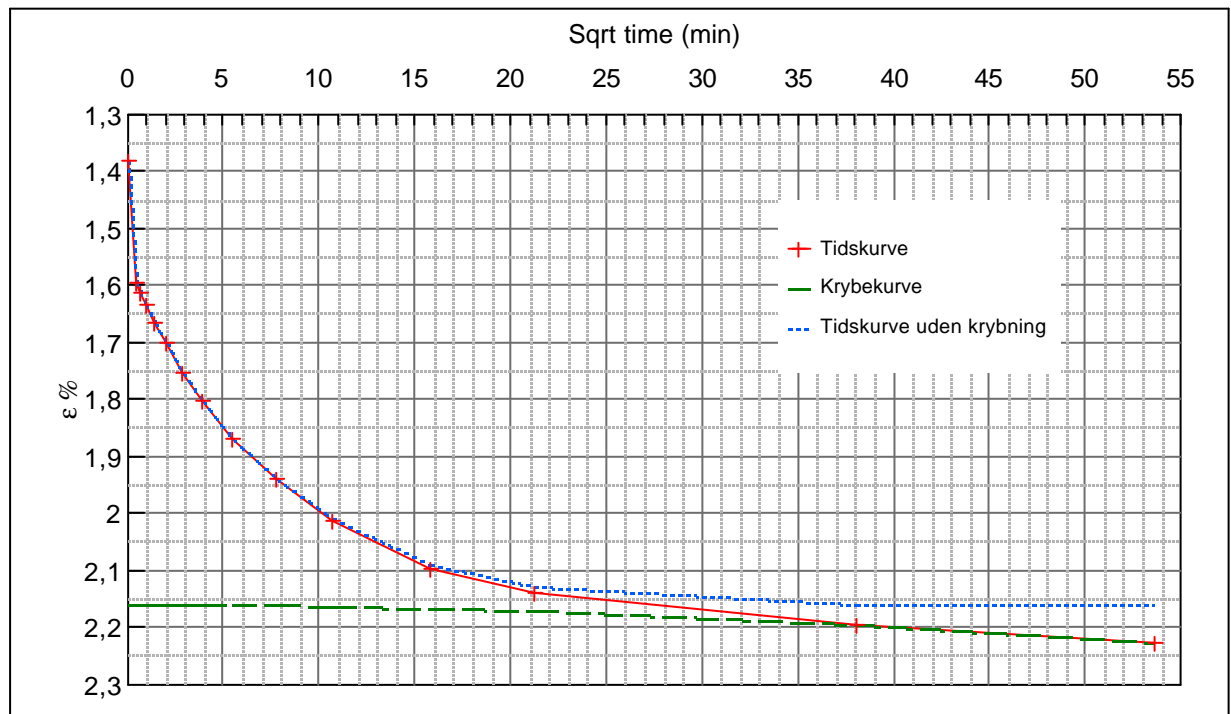
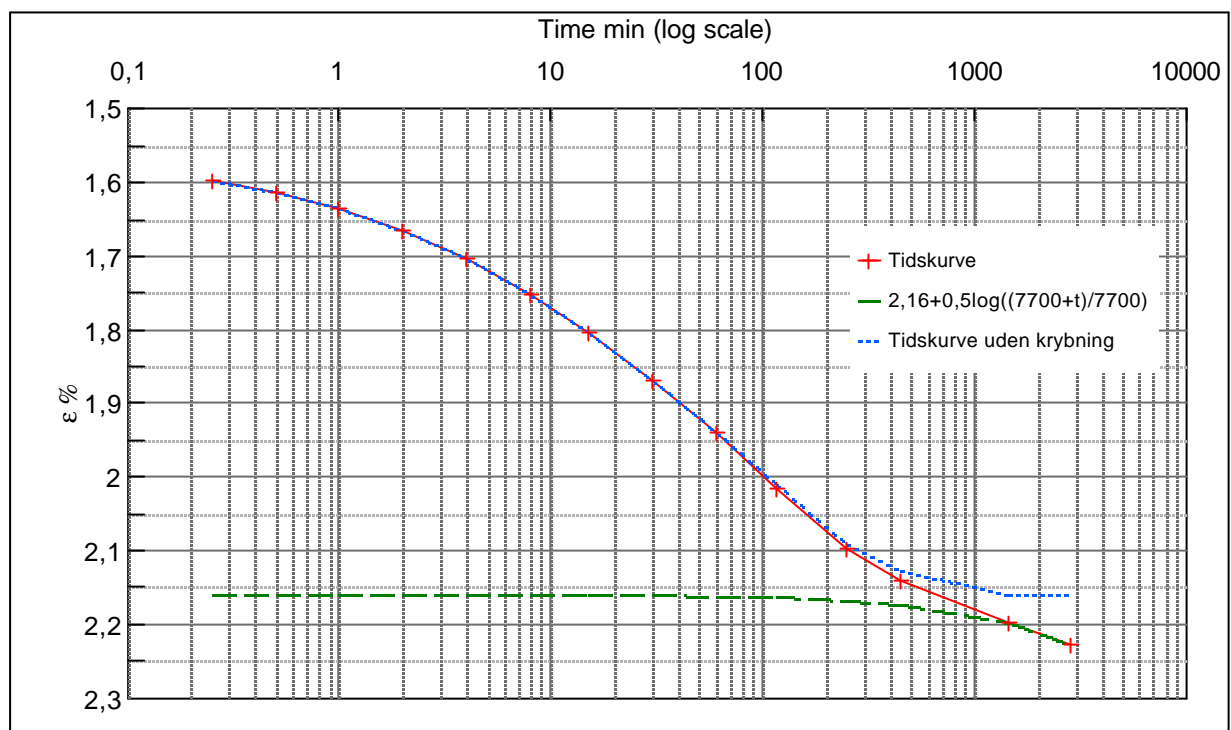
Step no 7	σ	kPa	ε	%	ε_i	tc in sec	3840	
	Before	314,7	ε_0	0,39	$\varepsilon_c \%$	1,35	K i kPa	36.060
	After	661,6	$\varepsilon_{\#}$	1,38	ε_s	0,08	k10 m/sec	6,9E-11
					ε_{kyb}	0,032	ck10 m ² /sec	2,52E-07



Material:	Clay	Eemian	Glacial
Bor no :		Depth:	76.7 m.b.s
Lab. no:	P2	Insitu stress:	~780 kPa

Job:	Anholt	AAU
		Encl. No 3.9
Executed:	AMS/mj/gt	Check:
Approved:		

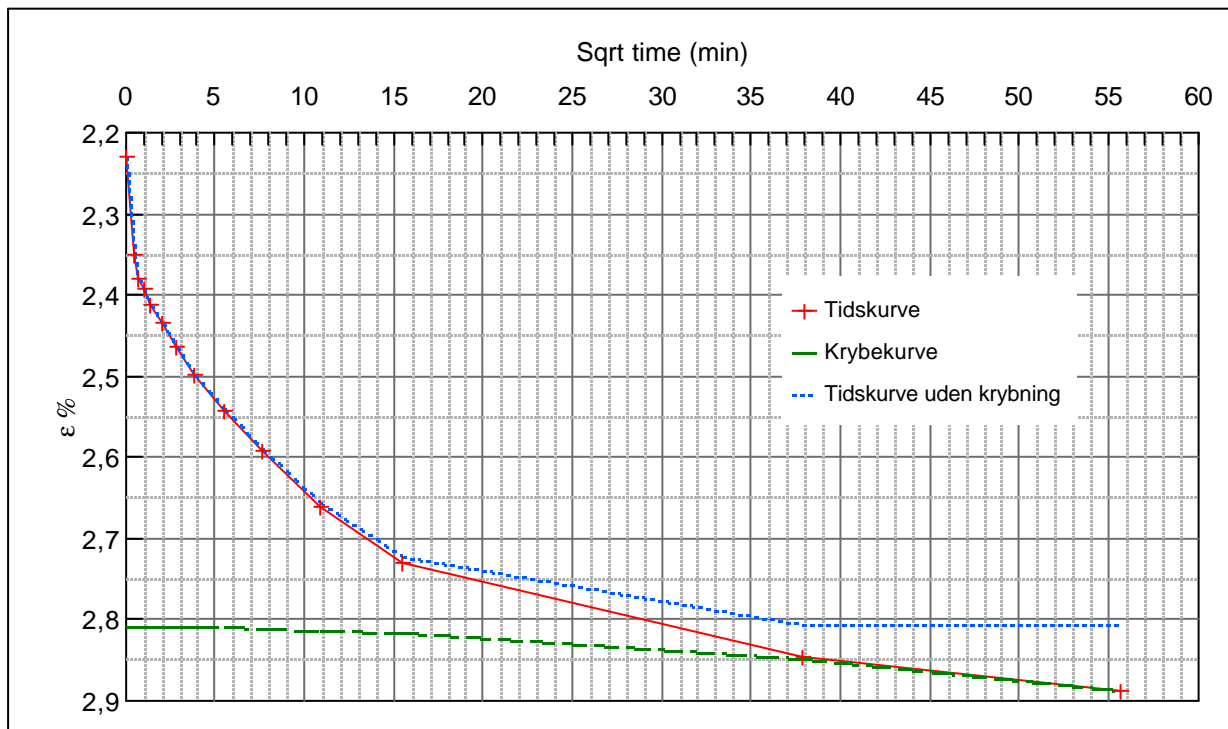
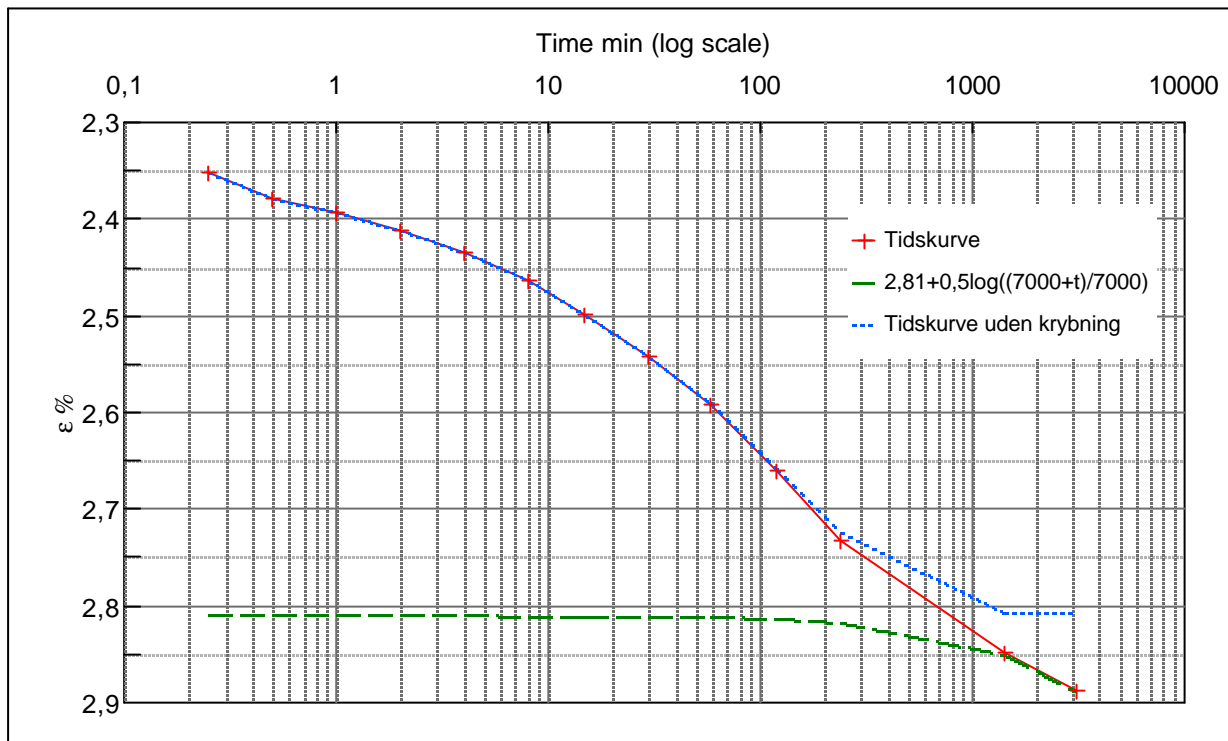
Step no 8	σ	kPa	ε	%	ε_i		tc in sec	6000
	Before	661,6	ε_0	1,38	$\varepsilon_c \%$	2,16	K i kPa	44.577
	After	1.008,6	$\varepsilon_{\#}$	2,23	ε_s	0,1	k10 m/sec	3,6E-11
					ε_{kyb}	0,069	ck10 m ² /sec	1,62E-07



Material:	Clay	Eemian	Glacial
Bor no :		Depth:	76.7 m.b.s
Lab. no:	P2	Insitu stress:	~780 kPa

Job:	Anholt	AAU
		Encl. No 3.10
Executed:	AMS/mj/gt	Check:
Approved:		

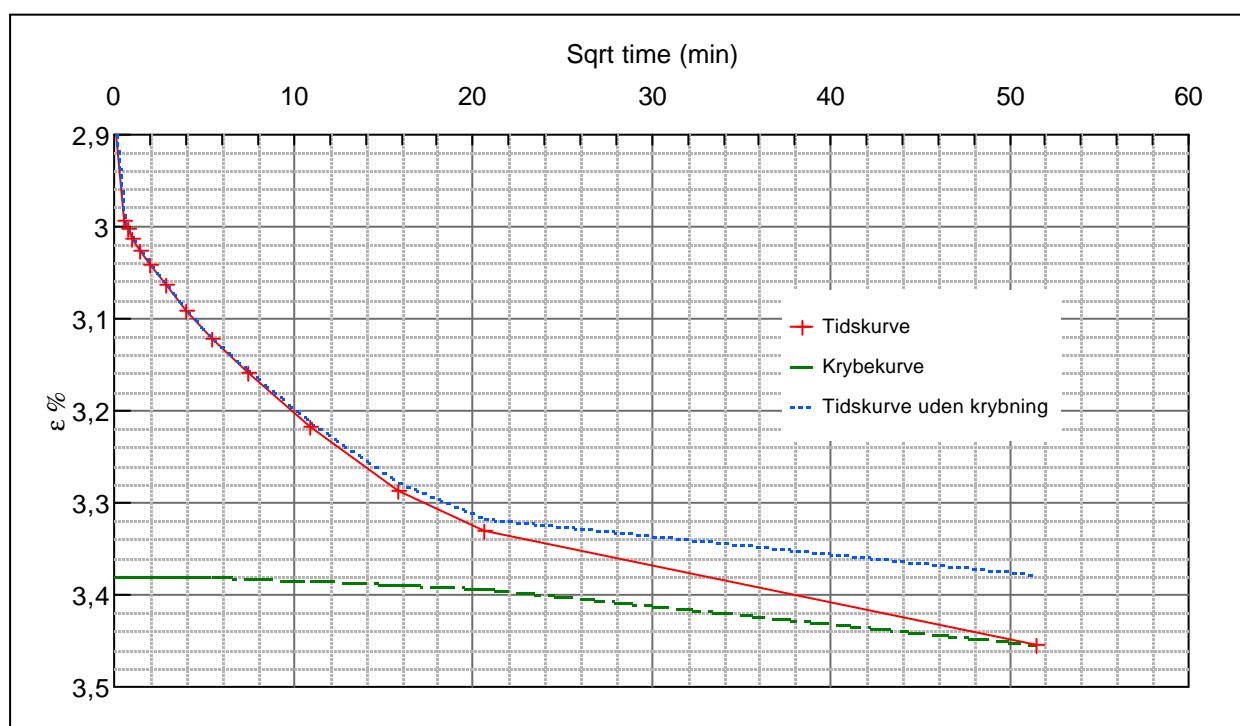
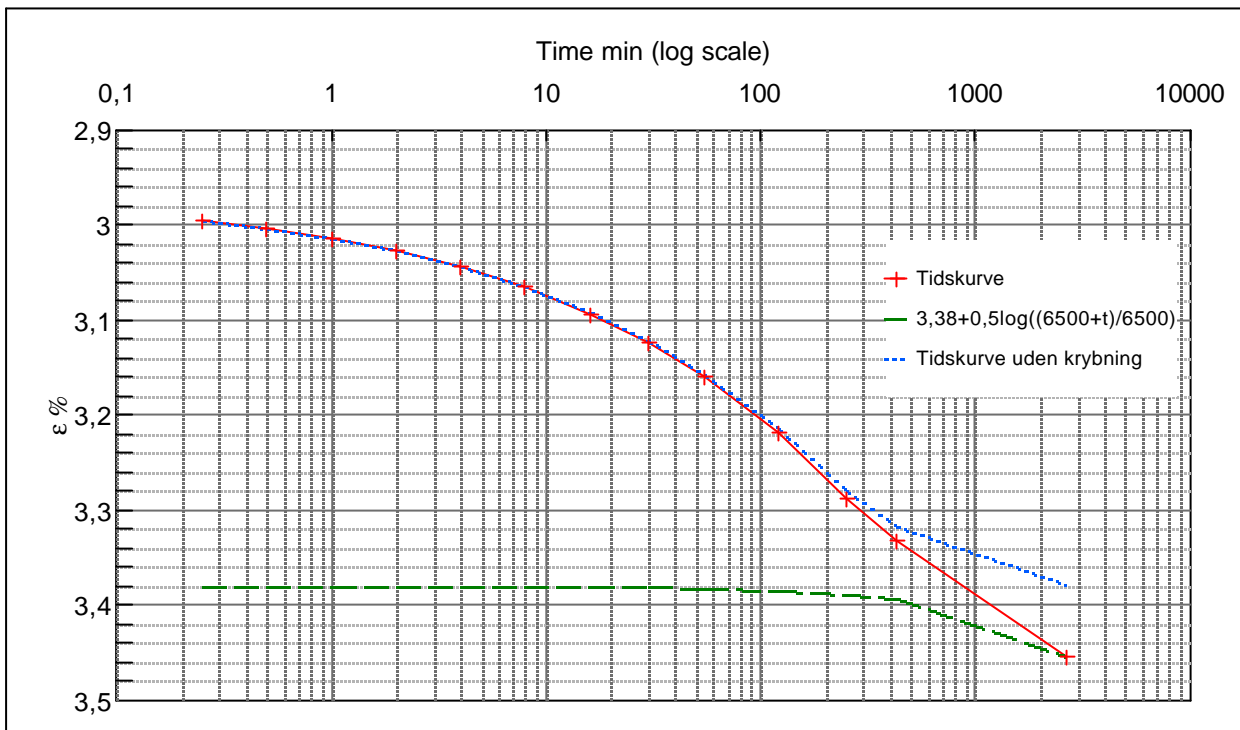
Step no 9	σ	kPa	ϵ	%	ϵ_i		tc in sec	11760
	Before	1.008,6	ϵ_0	2,23	$\epsilon_c \%$	2,81	K i kPa	59.666
	After	1.355,6	$\epsilon_{\#}$	2,89	ϵ_s	0,12	k10 m/sec	1,4E-11
					ϵ_{kryb}	0,078	ck10 m ² /sec	8,25E-08



Material: Clay Eemian Glacial	
Bor no : Depth: 76.7 m.b.s	Lab. no: P2

Job:	Anholt	AAU
	Encl. No 3.11	
Executed:	AMS/mj/gt	Check:
Approved:		

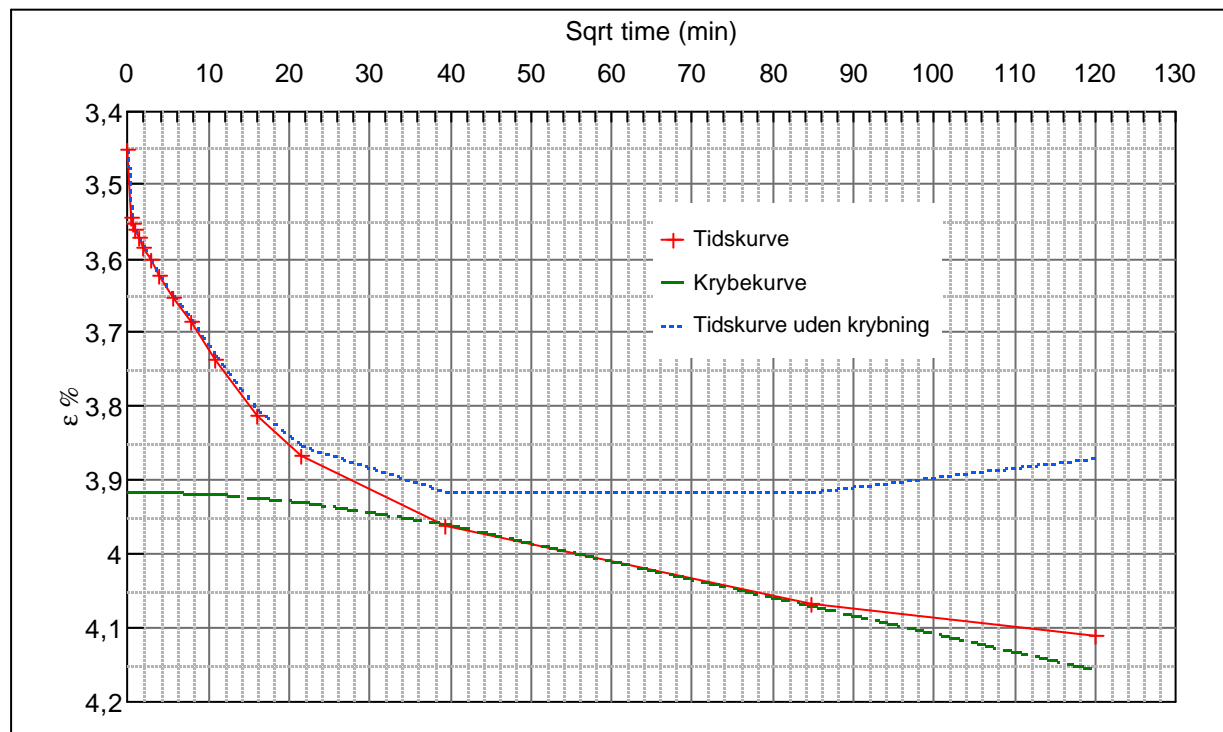
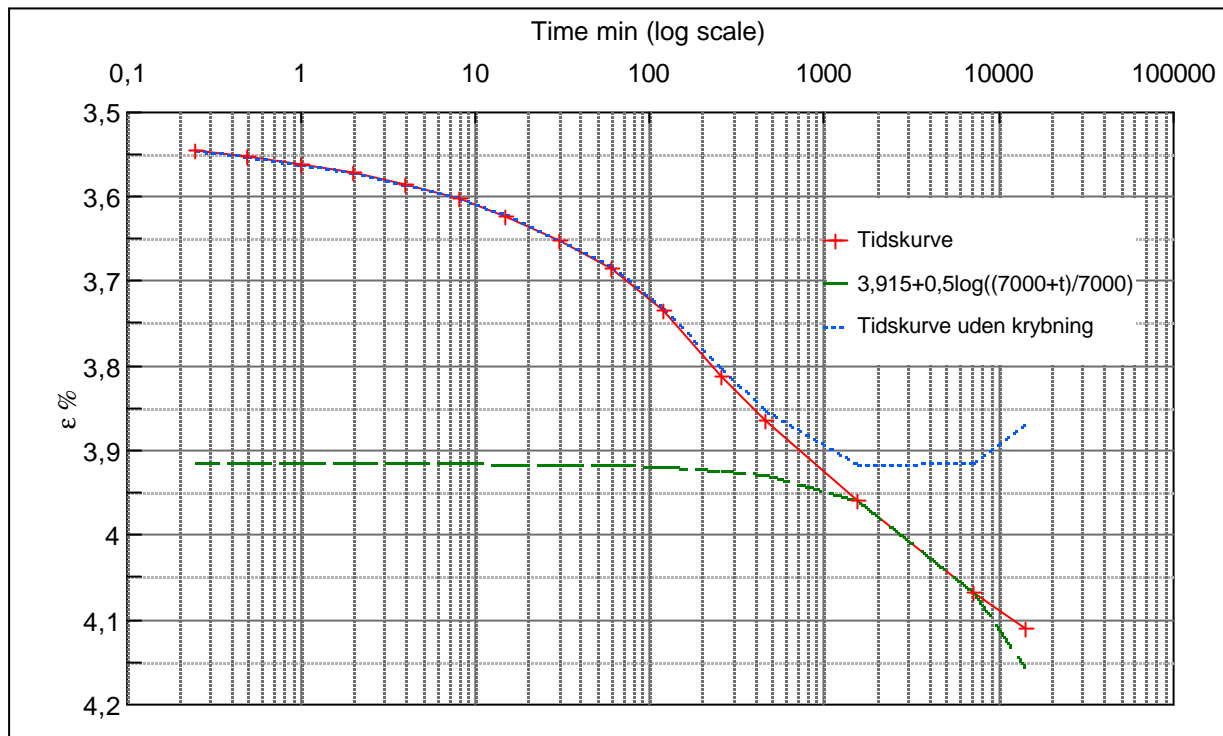
Step no 10	σ	kPa	ε	%	ε_i		tc in sec	17340
	Before	1.355,6	ε_0	2,89	$\varepsilon_c \%$	3,38	K i kPa	70.448
	After	1.702,5	$\varepsilon_{\#}$	3,45	ε_s	0,13	k10 m/sec	7,8E-12
					ε_{kyb}	0,073	ck10 m ² /sec	5,59E-08



Material:	Clay	Eemian	Glacial
Bor no :		Depth:	76.7 m.b.s
Lab. no:	P2	Insitu stress:	~780 kPa

Job:	Anholt	AAU
		Encl. No 3.12
Executed:	AMS/mj/gt	Check:
Approved:		

Step no 11	σ	kPa	ϵ	%	ϵ_i		tc in sec	29040
	Before	1.702,5	ϵ_0	3,45	ϵ_c %	3,92	K i kPa	75.126
	After	2.049,5	ϵ_{\sim} #	4,11	ϵ_s	0,15	k10 m/sec	4,4E-12
					ϵ_{kryb}	0,20	ck10 m ² /sec	3,34E-08



Material:	Clay	Eemian	Glacial
Bor no :		Depth:	76.7 m.b.s
Lab. no:	P2	Insitu stress:	~780 kPa

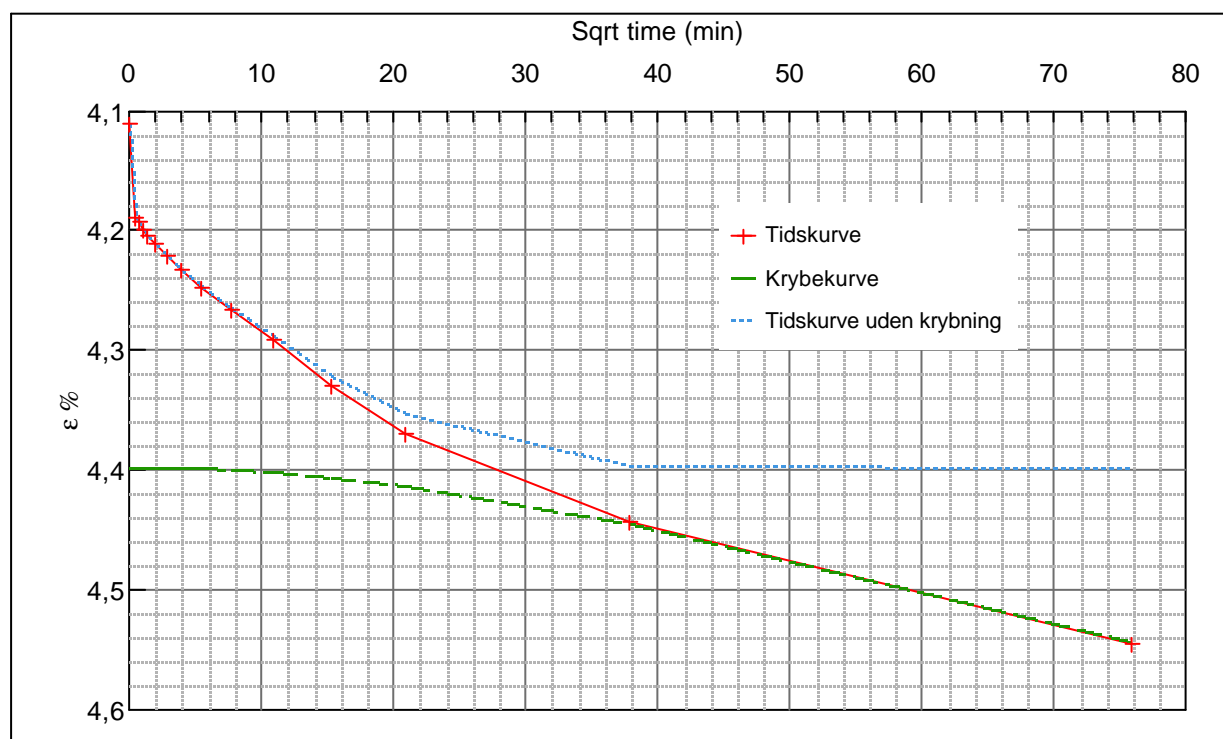
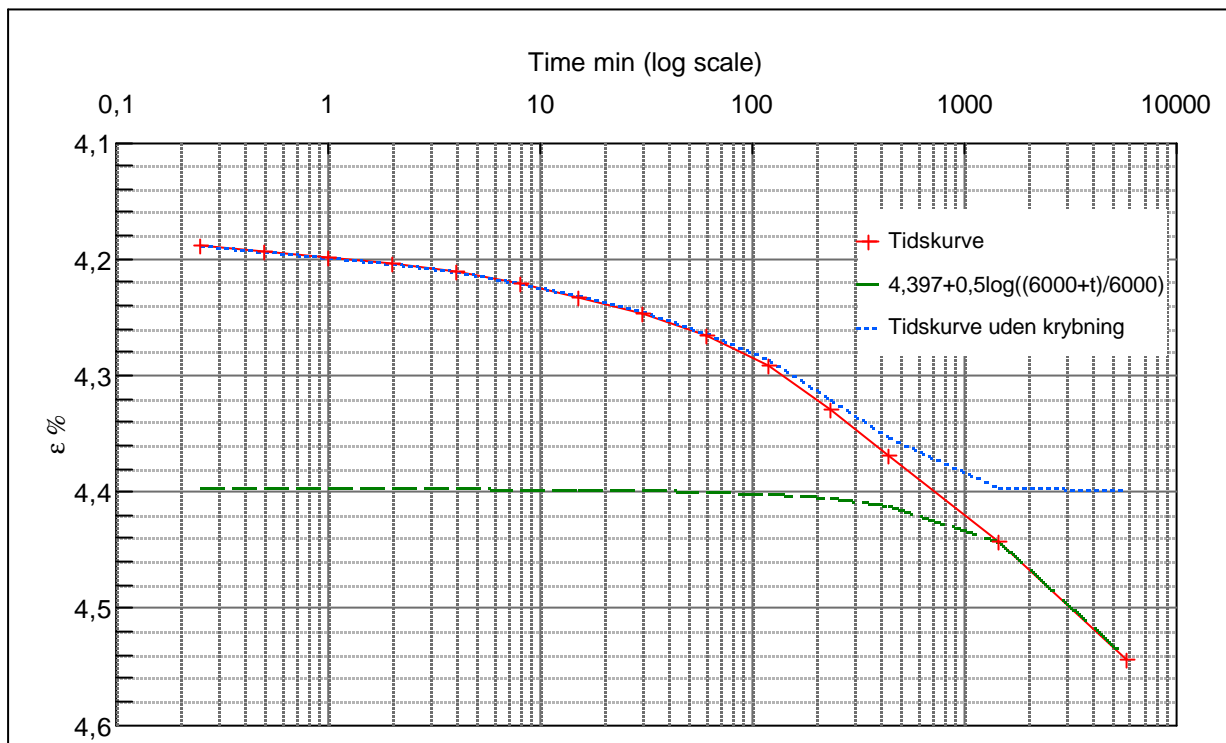
Job:	Anholt	AAU
	Encl. No	3.13
Executed:	AMS/mj/gt	Check:
Approved:		

Step no	σ	kPa	ε	%	ε_i		tc in sec	31740
12	Before	2.049,5	ε_0	4,11	$\varepsilon_c \%$	4,40	K i kPa	121.102
	After	2.396,4	$\varepsilon_{-#}$	4,54	ε_s	0,17	k10 m/sec	2,5E-12

ε_{kyb} 0,147

ck10 m²/sec

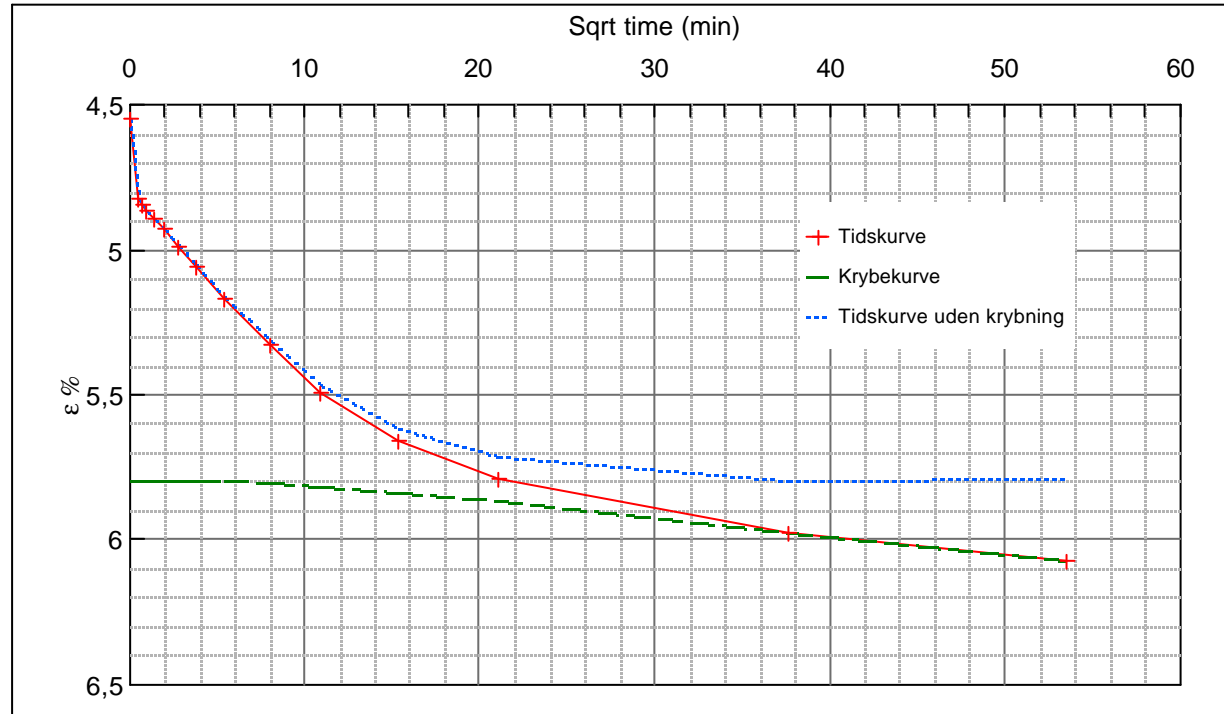
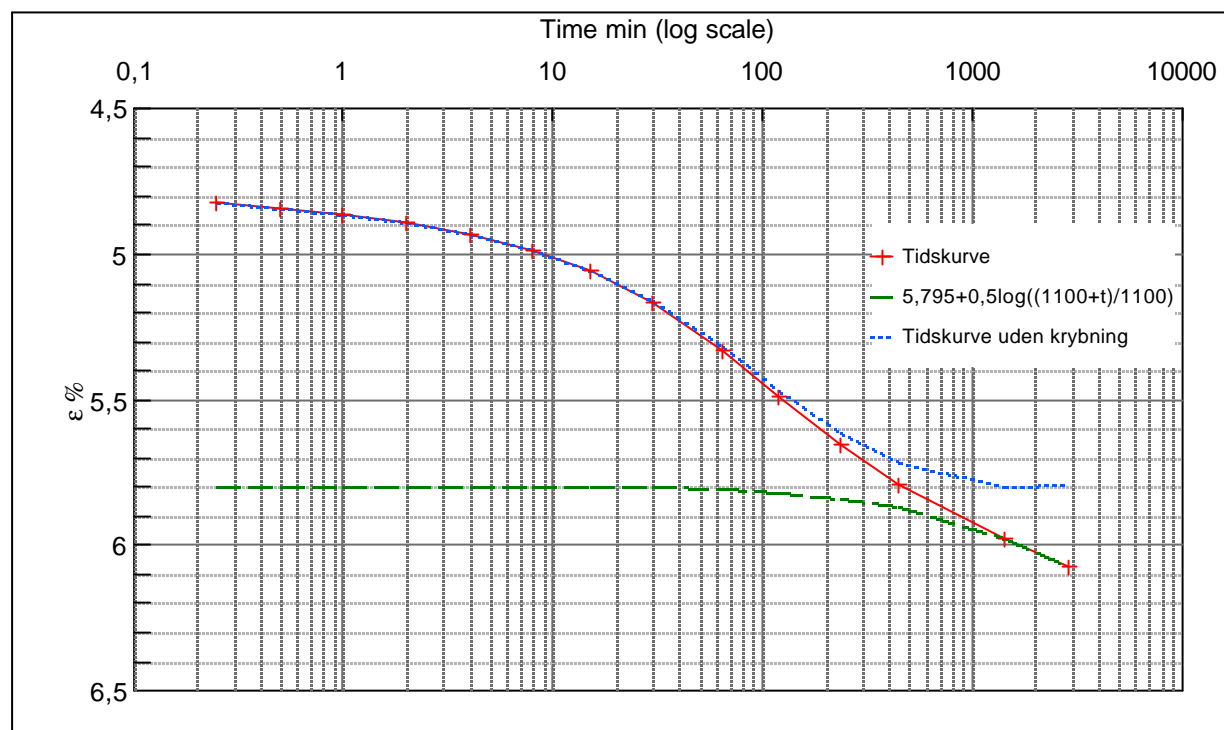
3,06E-08



Material:	Clay	Eemian	Glacial
Bor no :		Depth:	76.7 m.b.s
Lab. no:	P2	Insitu stress.	~780 kPa

Job:	Anholt	AAU
		Encl. No
		3.14
Executed:	AMS/mj/gt	Check:
Approved:		

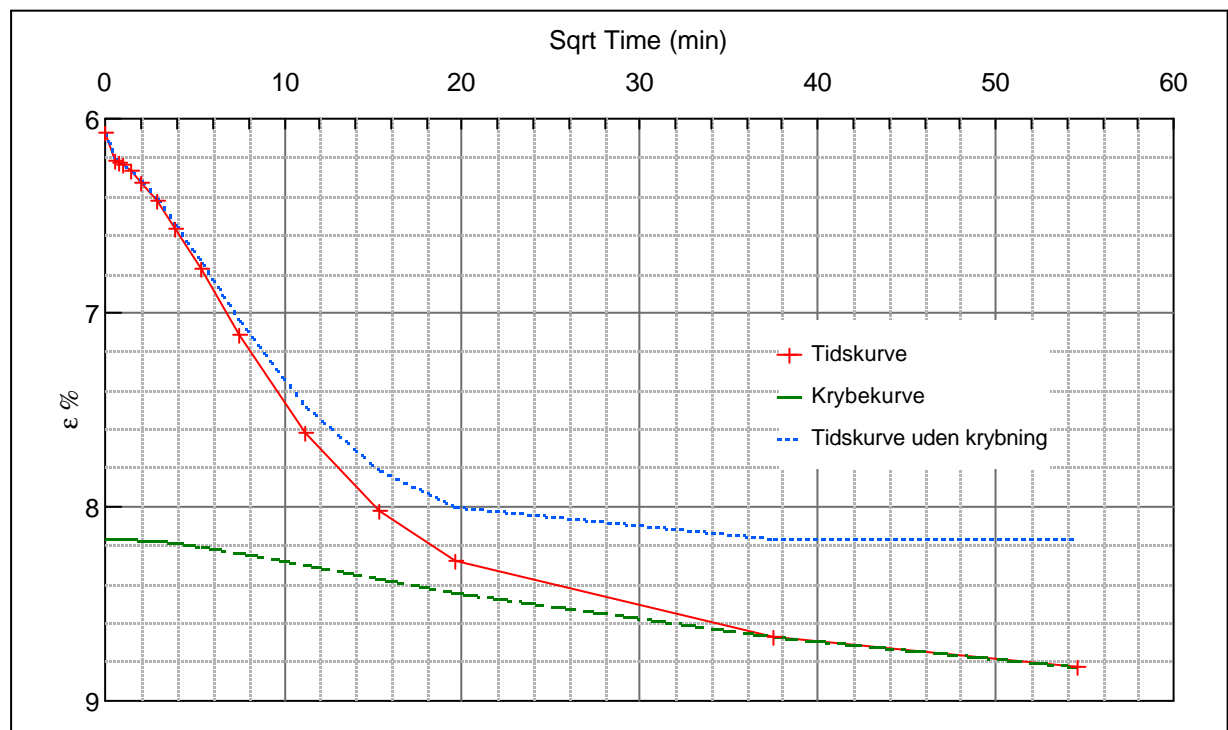
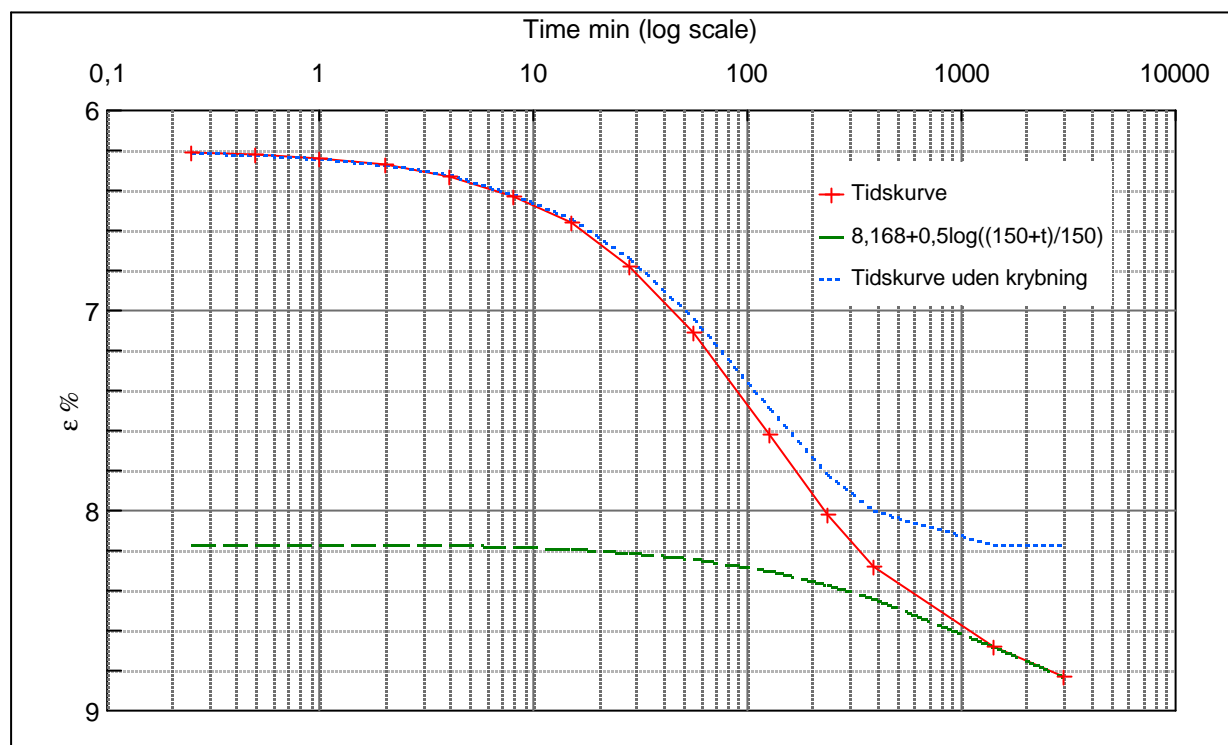
Step no 13	σ	kPa	ε	%	ε_i		tc in sec	13500
	Before	2.396,4	ε_0	4,54	$\varepsilon_c \%$	5,80	K i kPa	83.203
	After	3.437,3	$\varepsilon_{\#}$	6,07	ε_s	0,33	k10 m/sec	8,5E-12
					ε_{kyb}	0,28	ck10 m ² /sec	7,18E-08



Material:	Clay	Eemian	Glacial
Bor no :		Depth: 76.7 m.b.s	
Lab. no:	P2	Insitu stress ~780 kPa	

Job:	Anholt	AAU
		Encl. No 3.15
Executed:	AMS/mj/gt	Check:
Approved:		

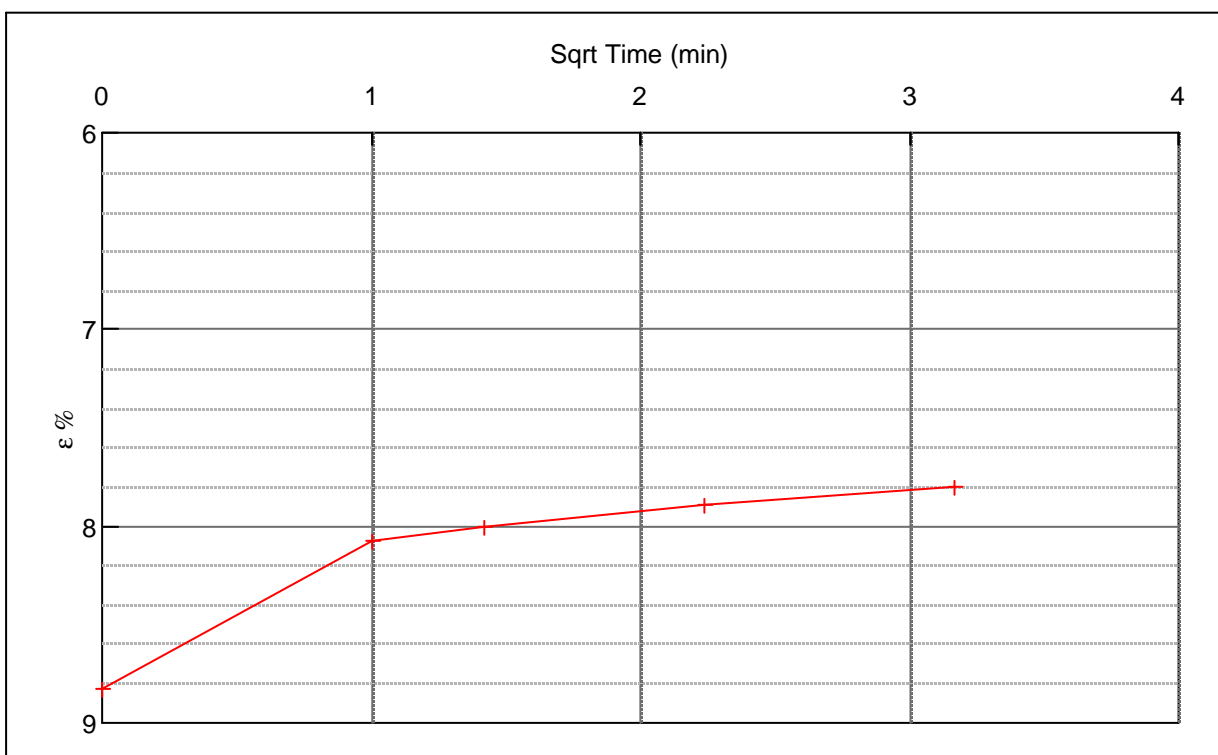
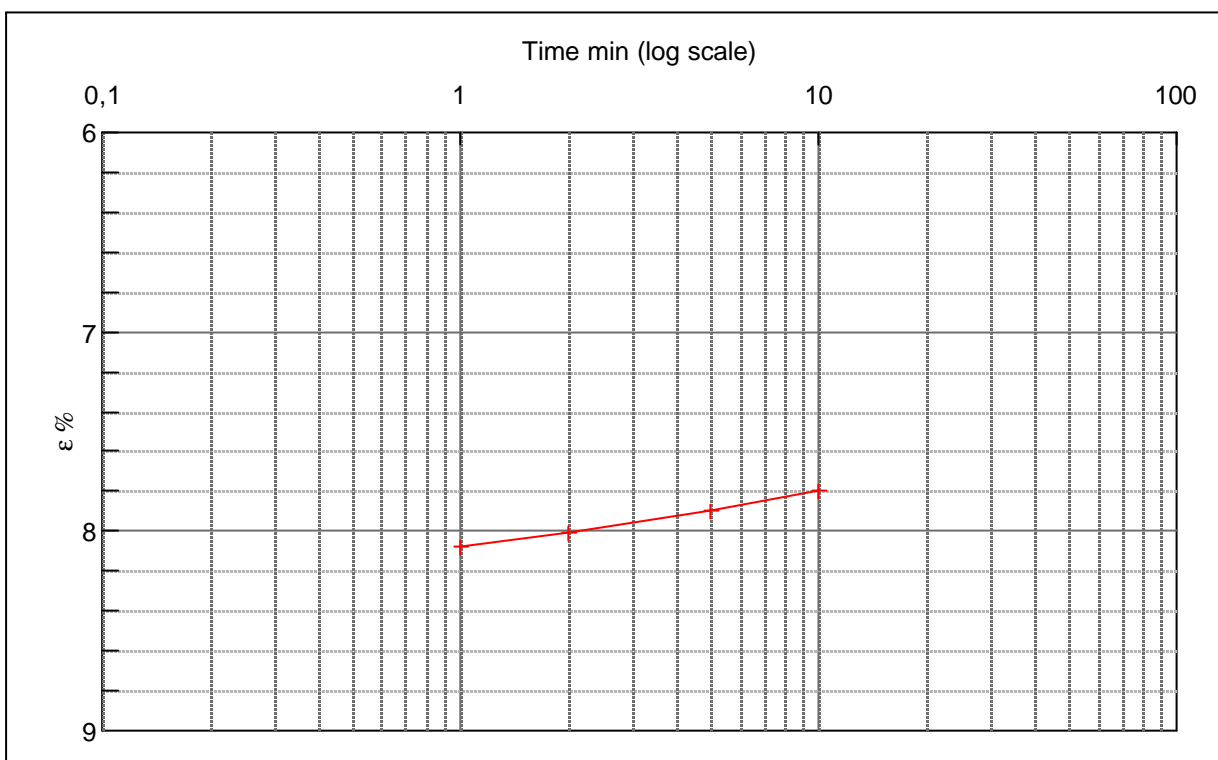
Step no 14	σ	kPa	ϵ	%	ϵ_i		tc in sec	11760
	Before	3.437,3	ϵ_0	6,07	ϵ_c %	8,17	K i kPa	99.320
	After	5.519,1	$\epsilon_{\#}$	8,83	ϵ_s	0,5	k10 m/sec	8,2E-12
					ϵ_{kryb}	0,659	ck10 m ² /sec	8,25E-08



Material: Clay Eemian Glacial	
Bor no : Lab. no:	Depth: 76.7 m.b.s Insitu stress. ~780 kPa P2

Job:	Anholt	AAU
		Encl. No 3.16
Executed:	AMS/mj/gt	Check:
Approved:		

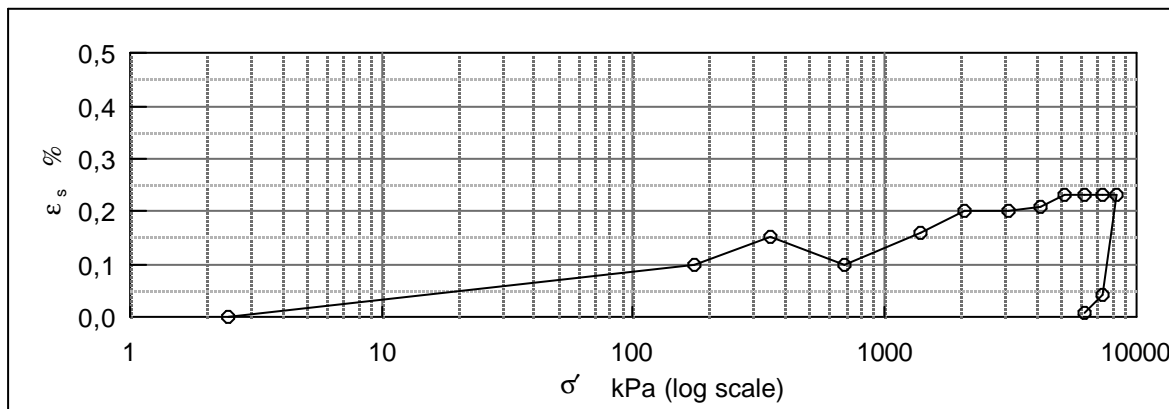
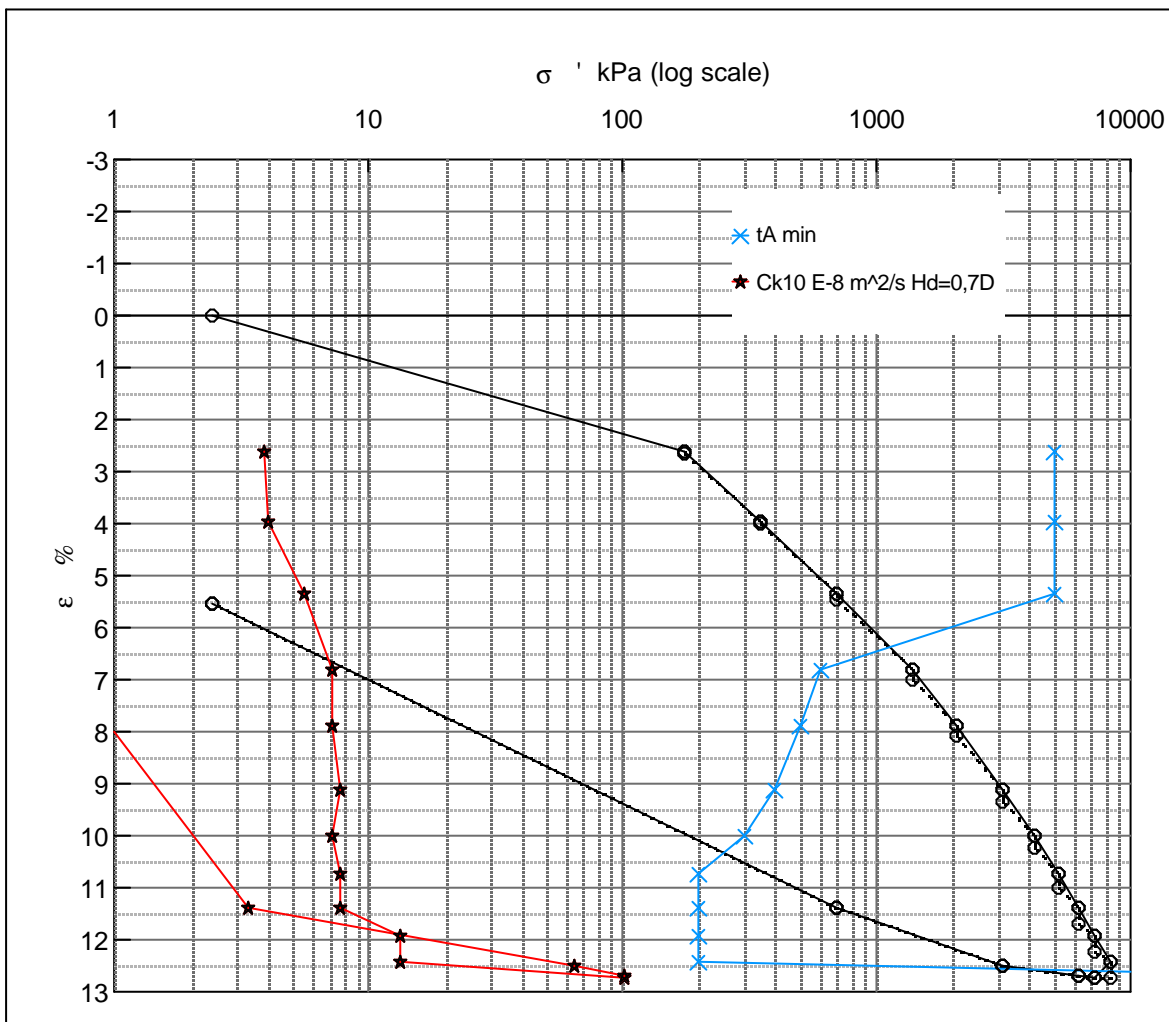
Step no	σ	kPa	ε	%	ε_i	tc in sec K _i kPa k ₁₀ m/sec c _{k10} m ² /sec	536.985
	Before	5.519	ε_0	8,83			
	After	2,43	$\varepsilon_{\#}$	7,80			
			ε	kyb			



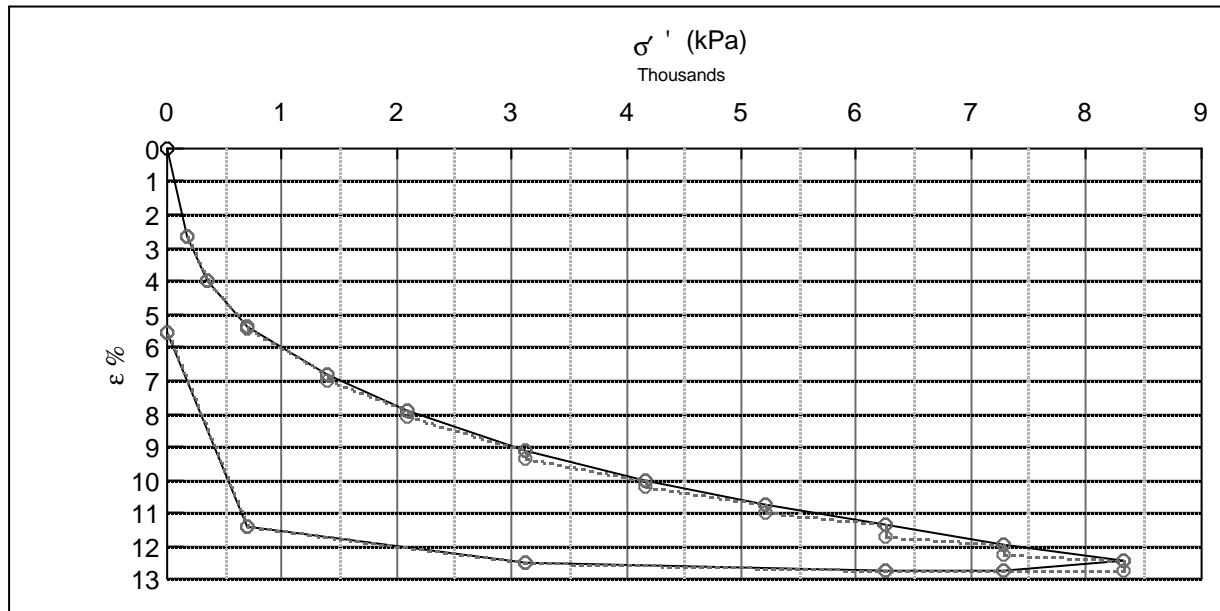
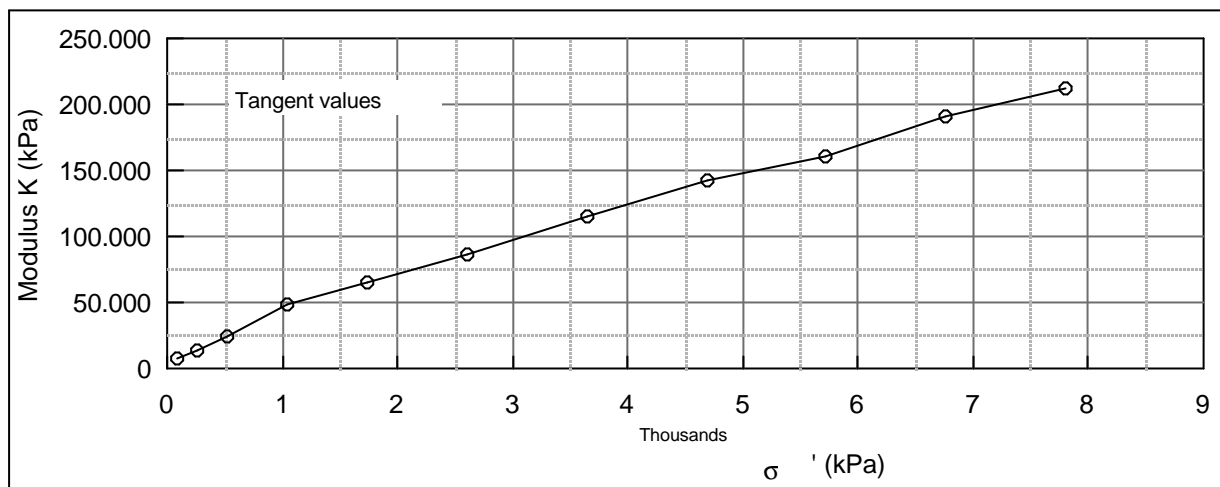
Material:	Clay	Eemian	Glacial
Bor no :		Depth:	76.7 m.b.s
Lab. no:	P2	Insitu stress:	~780 kPa

Job:	Anholt	AAU
		Encl. No 3.17
Executed:	AMS/mj/gt	Check:
Approved:		

Description of soil:			Water content %	Before	After
Clay	Eemian	Glacial	Bulk density Mg/m ³	17,8	15,5
Bor no :		Overburden pressure σ' o	~800 kPa	2,17	2,21
Lab. no:	k12	Vane strength c _v	kPa	~2,72	
Level :	78 m.b.s.	CPT - value q _c	MPa	0,48	0,42
			Dimension H x D mm	~96	~100
				30x60	28,8x60



Job: Anholt	AAU
Encl. No	4.1
Executed:	AMS/gt
Approved:	Check:



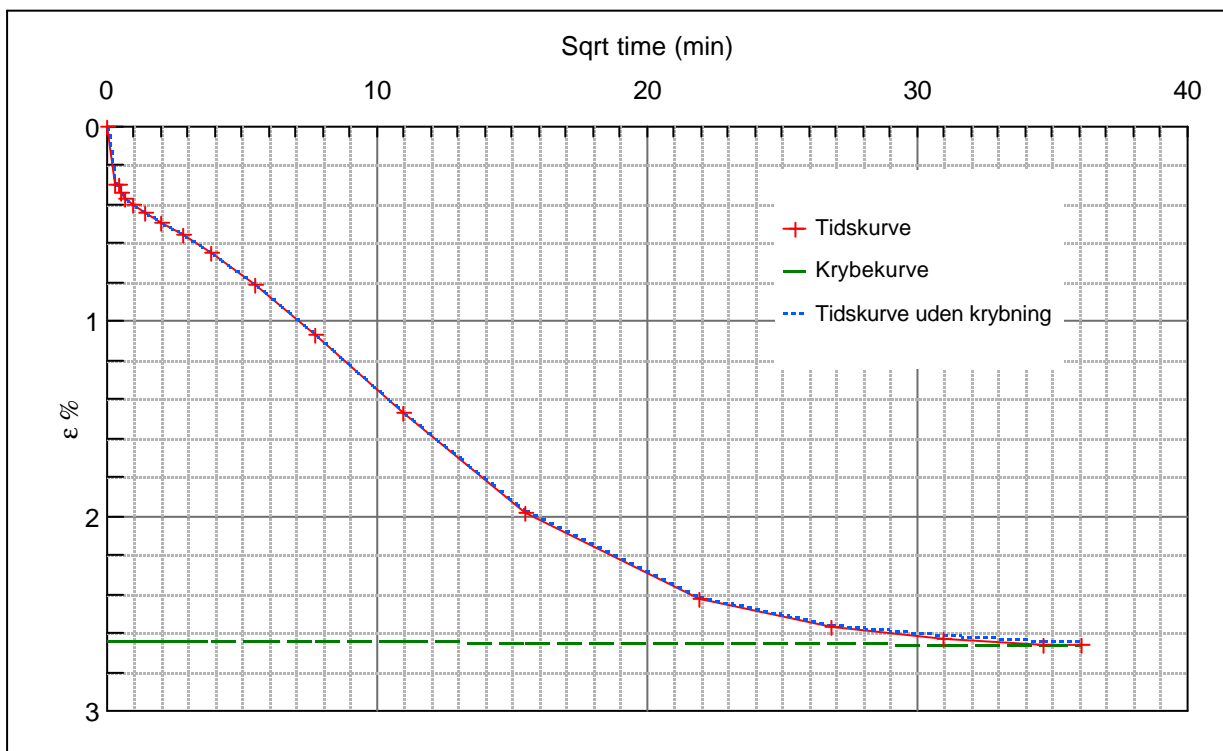
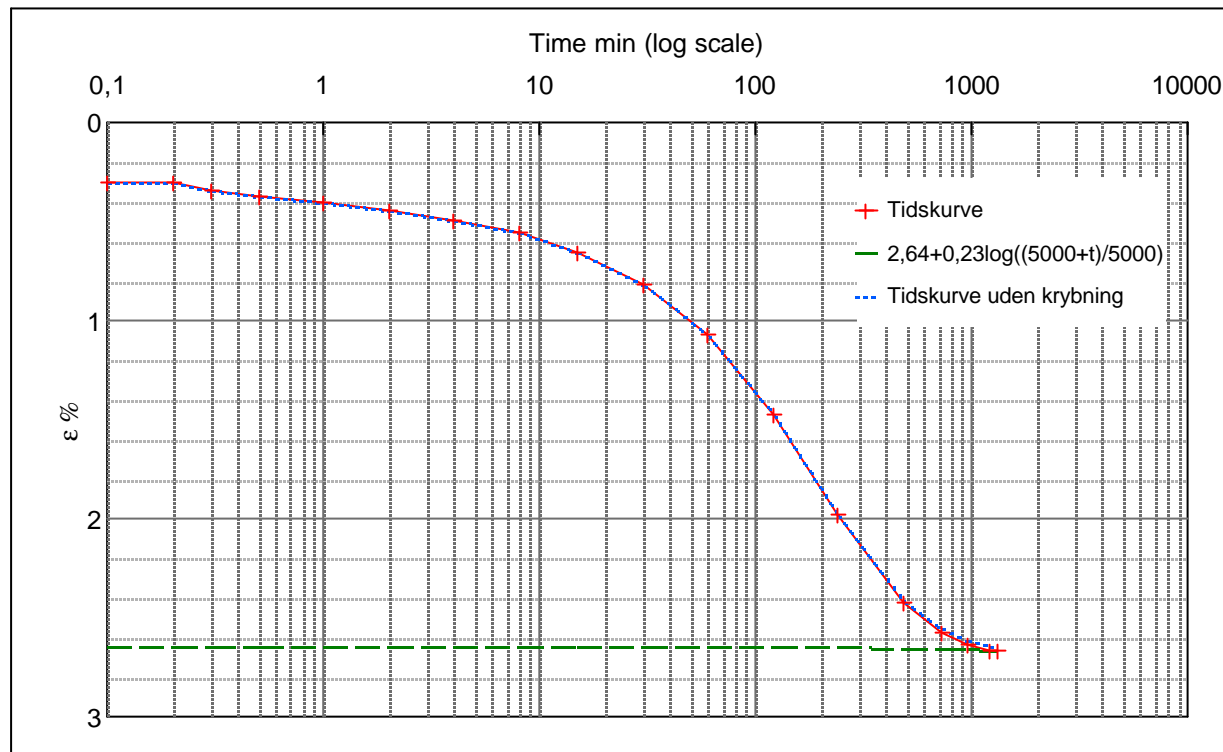
Test results	σ'	ϵ_c	ϵ_s	C_{k10}	σ'_m	K	w
	kPa	%	% / lct	m^2/s	kPa	kPa	%
Q ~8 %	2,4	0,00	0,00	-	-	-	18,5
Qs ~0.23 %	175,9	2,64	0,10	3,8E-08	89,2	6571,2	17,1
σ'_{pc} ~5000 kPa	349,4	3,96	0,15	4,0E-08	262,6	13142,3	16,4
	696,3	5,37	0,10	5,6E-08	522,9	24606,9	15,6
	1.390,3	6,82	0,16	7,2E-08	1.043,3	47856,2	14,8
	2.084,2	7,90	0,20	7,2E-08	1.737,2	64251,4	14,2
	3.125,0	9,10	0,20	7,7E-08	2.604,6	86739,4	13,6
	4.165,9	10,00	0,21	7,2E-08	3.645,5	115652,6	13,1
	5.206,8	10,73	0,23	7,7E-08	4.686,4	142585,4	12,7
	6.247,7	11,38	0,23	7,7E-08	5.727,2	161375,7	12,3
	7.288,5	11,92	0,23	1,3E-07	6.768,1	190985,9	12,0
	8.329,4	12,41	0,23	1,3E-07	7.809,0	212423,1	11,8
	7.288,5	12,73	0,04	1,0E-06	7.809,0	-328869,9	11,6
	6.247,7	12,71	0,01	1,0E-06	6.768,1	7178436,7	11,6
	3.125,0	12,51		6,5E-07	4.686,4	1530696,1	11,7
	696,3	11,40		3,3E-08	1.910,7	219593,5	12,3
	2,4	5,54		4,2E-09	349,4	11827,4	15,5

Remark:	Job: Anholt	AAU
		Encl. No 4.2
	Executed: AMS/gt	Check:
	Approved:	

Step no	σ	kPa	ε	%	ε_i		tc in sec	25215
1	Before	2,43	ε_0	0,00	$\varepsilon_c \%$	2,64	K i kPa	6.571
	After	175,9	$\varepsilon_{\#}$	2,66	ε_s	0,1	k10 m/sec	5,7E-11

ε_{kyb} 0,02

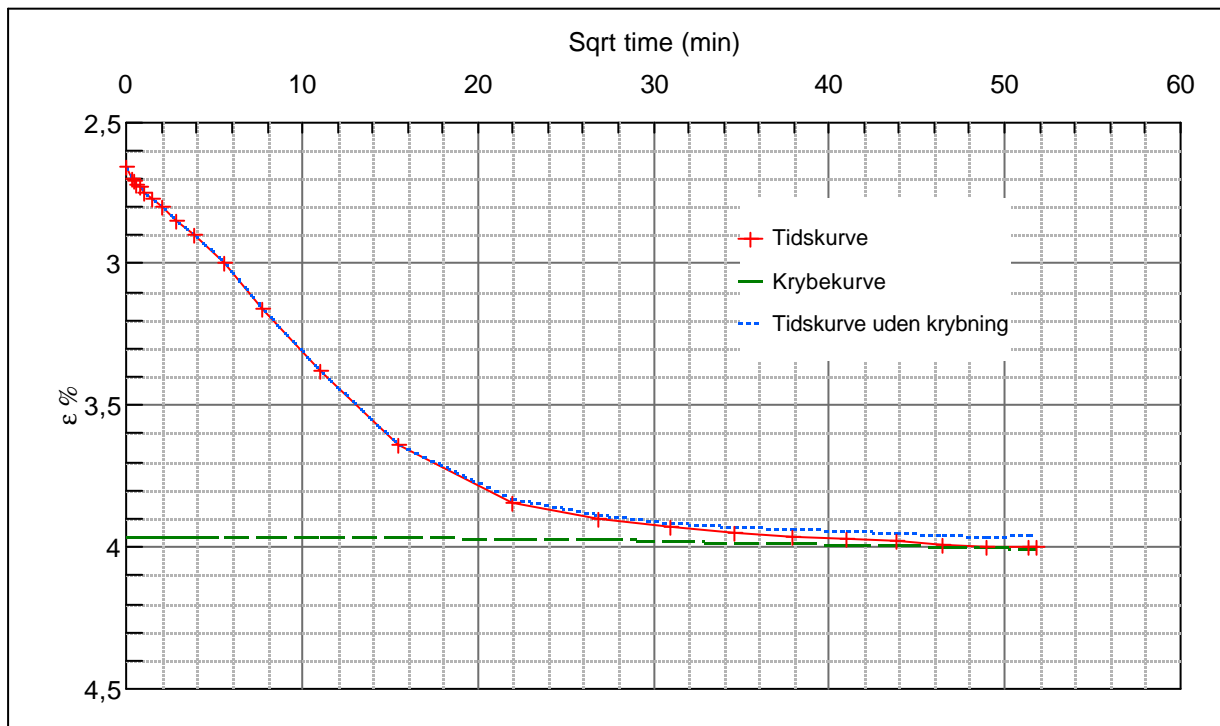
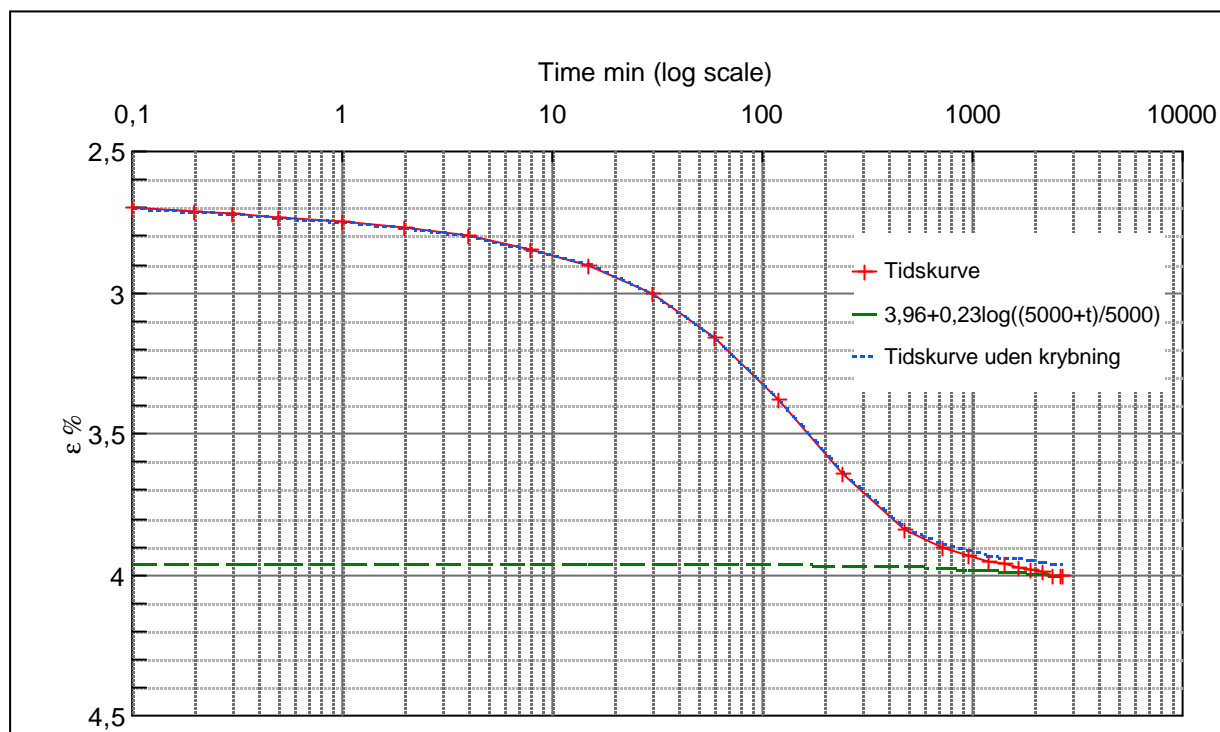
ck10 m²/sec 3,85E-08



Material:	Clay	Eemian	Glacial
Bor no :		Depth:	78 m.b.s.
Lab. no:	k12	Insitu stress:	~800 kPa

Job:	Anholt	AAU
		Encl. No
		4.3
Executed:	AMS/gt	Check:
Approved:		

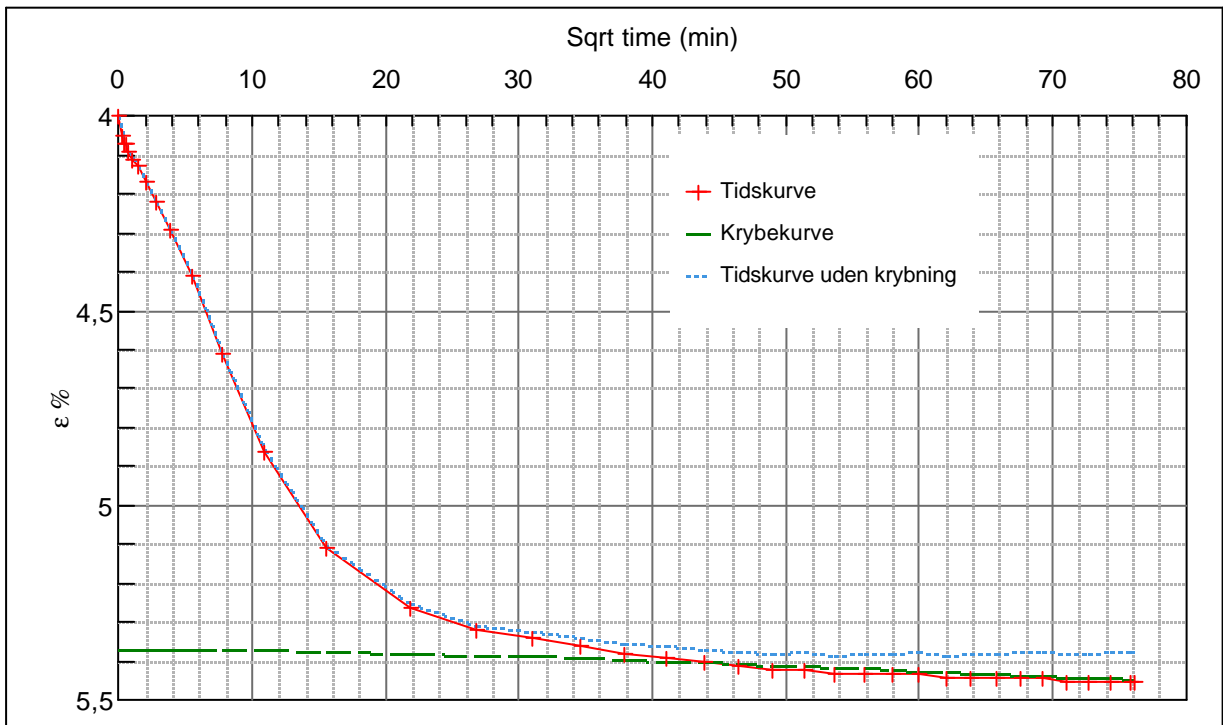
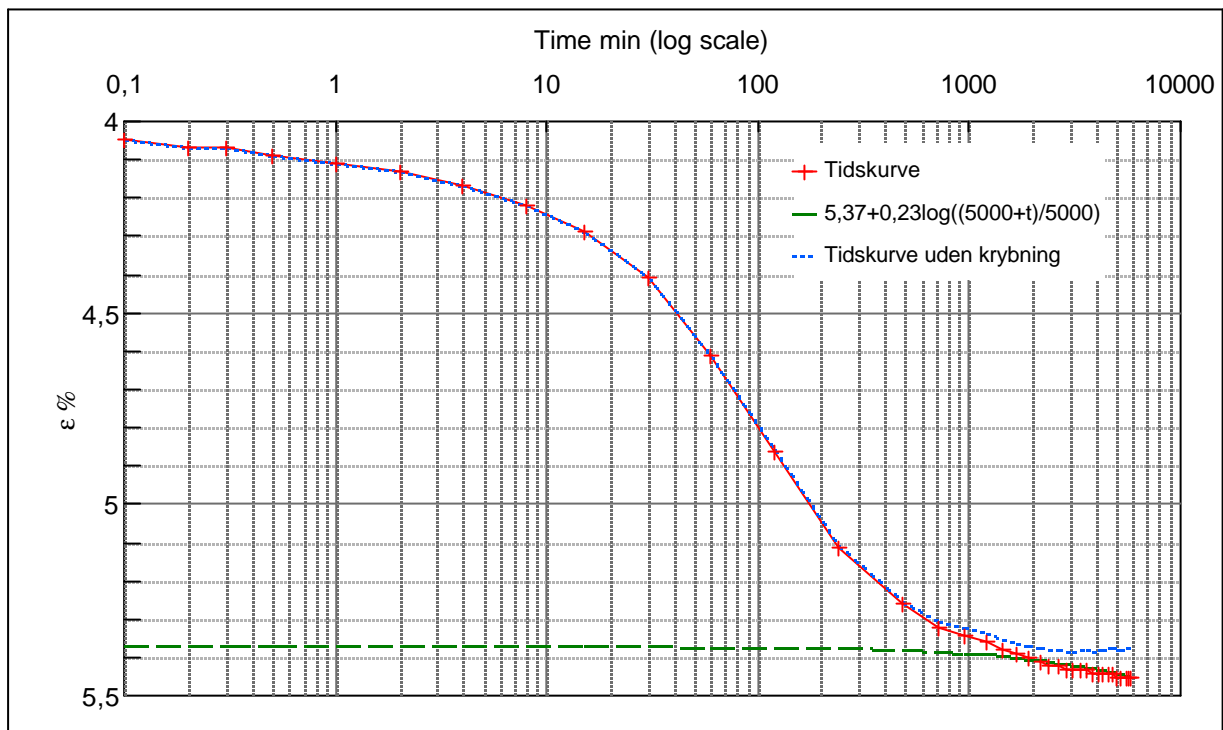
Step no 2	σ	kPa	ϵ	%	ϵ_i		tc in sec	24000
	Before	175,9	ϵ_0	2,66	$\epsilon_c \%$	3,96	K i kPa	13.345
	After	349,4	$\epsilon_{\#}$	4,00	ϵ_s	0,15	k10 m/sec	3.0E-11
					ϵ_{kryb}	0,04	ck10 m ² /sec	4,04E-08



Material:	Clay	Eemian	Glacial
Bor no :	Depth:	78 m.b.s.	
Lab. no:	k12	Insitu stress:	~800 kPa

Job:	Anholt	AAU
	Encl. No	4.4
Executed:	AMS/gt	Check:
Approved:		

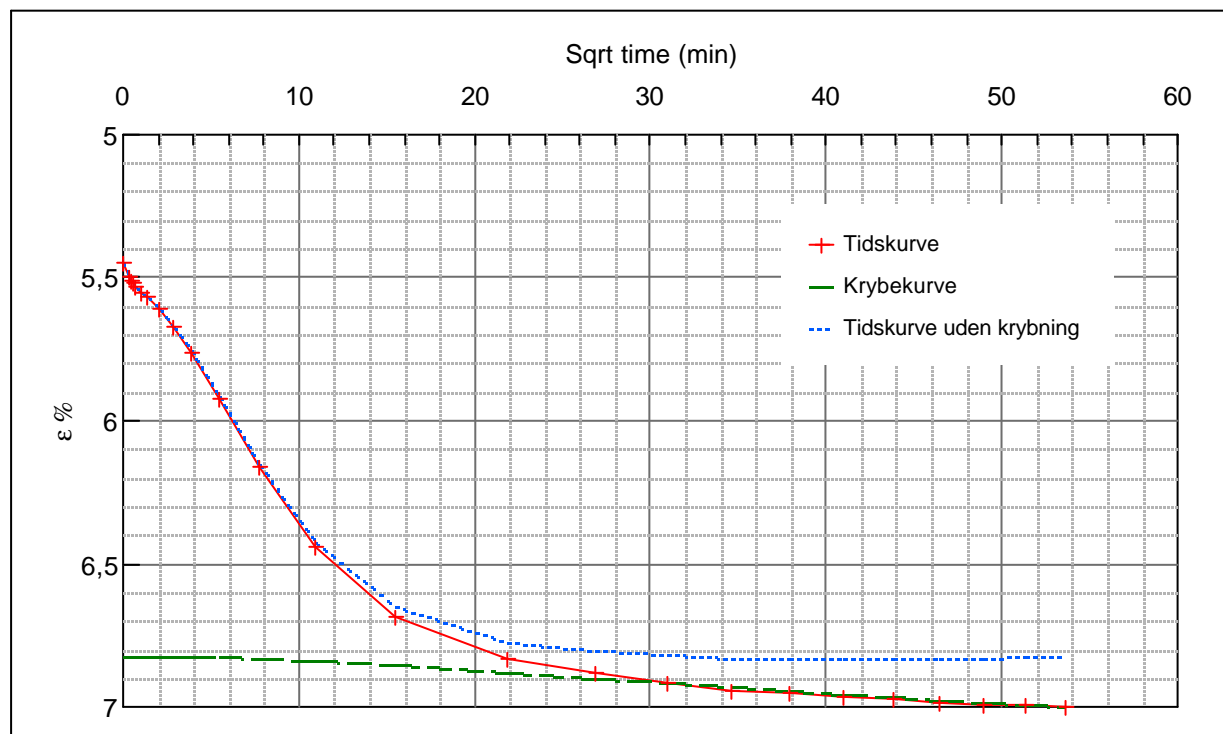
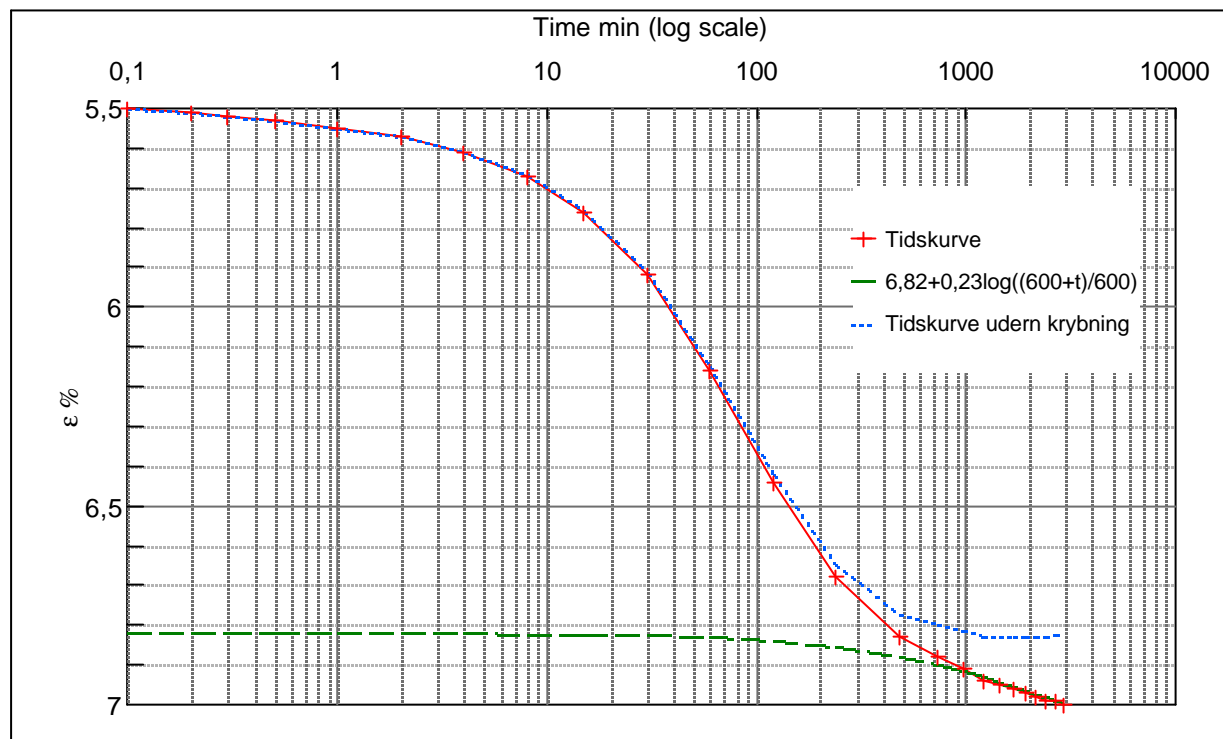
Step no 3	σ	kPa	ε	%	ε_i		tc in sec	17340
	Before	349,4	ε_0	4,00	$\varepsilon_c \%$	5,37	K i kPa	25.325
	After	696,3	$\varepsilon_{\#}$	5,45	ε_s	0,1	k10 m/sec	2,2E-11
					ε_{kyb}	0,08	ck10 m ² /sec	5,59E-08



Material:	Clay Eemian Glacial
Bor no :	Depth: 78 m.b.s.
Lab. no: k12	Insitu stress:~800 kPa

Job:	Anholt	AAU
	Encl. No 4.5	
Executed:	AMS/gt	Check:
Approved:		

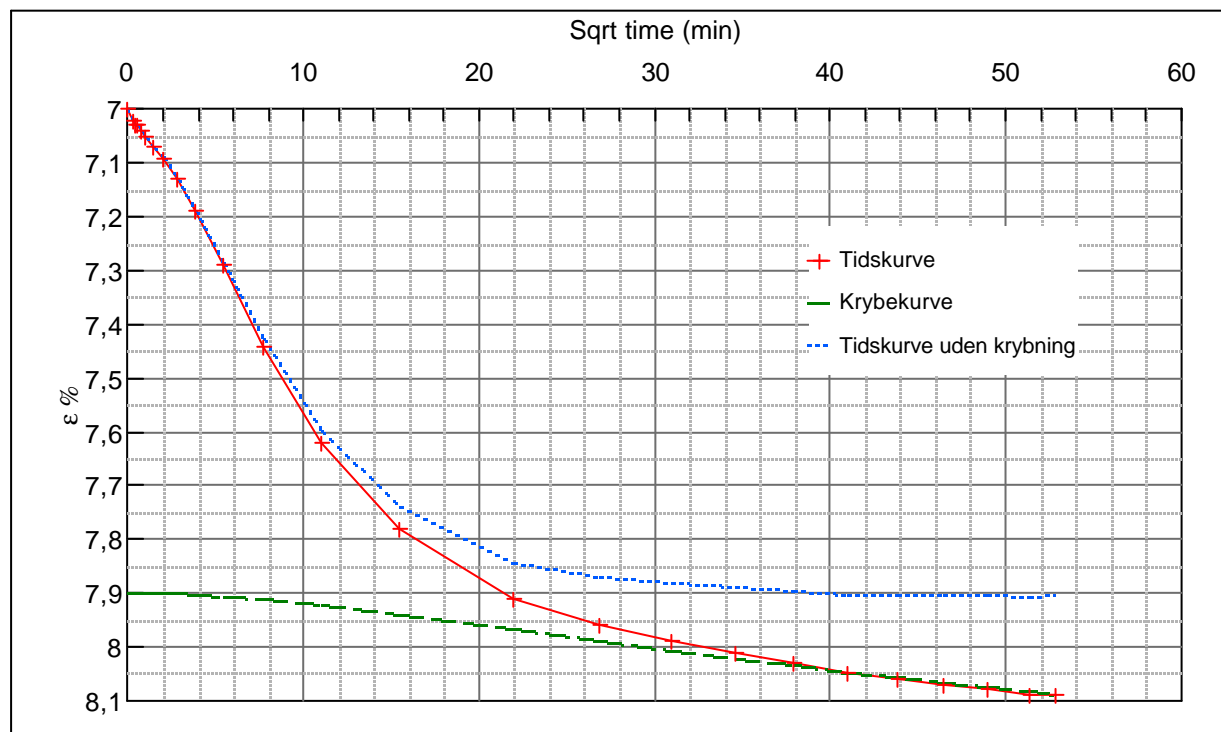
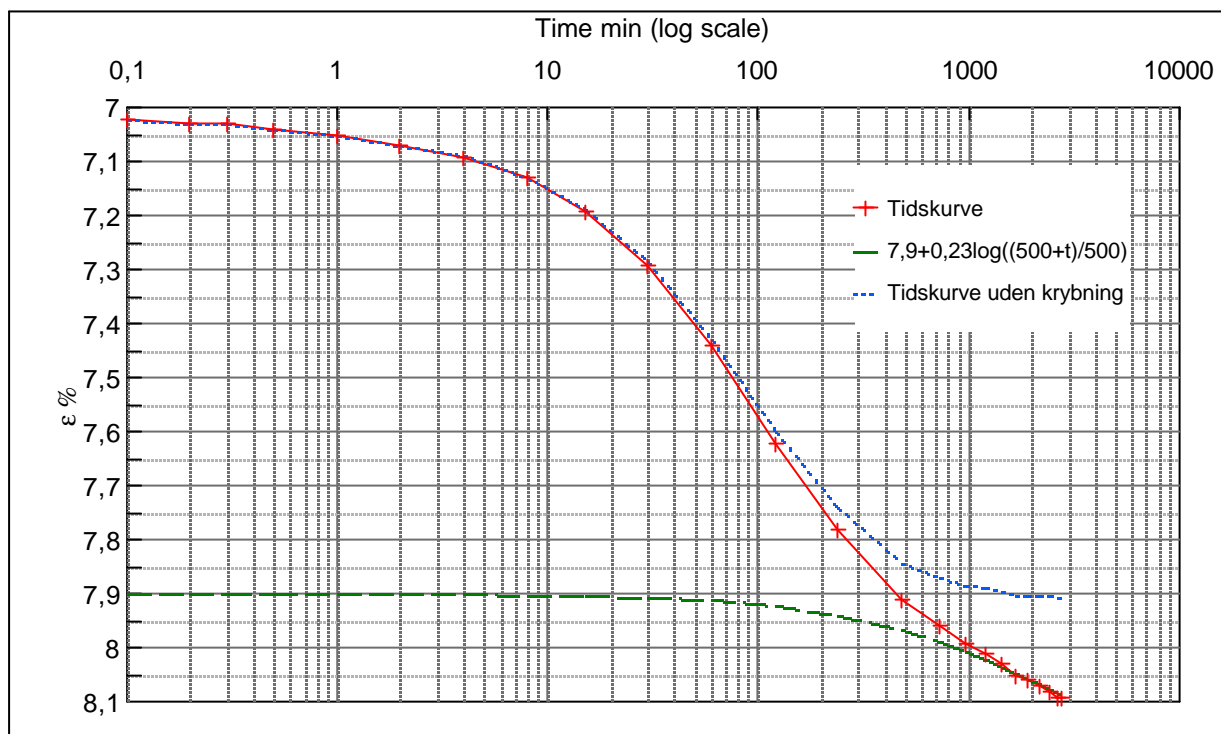
Step no 4	σ	kPa	ε	%	ε_i		tc in sec	13500
	Before	696,3	ε_0	5,450	ε_c %	6,82	K i kPa	50.651
	After	1.390,3	$\varepsilon_{\#}$	7,00	ε_s	0,16	k10 m/sec	1,4E-11
					ε_{kyb}	0,18	ck10 m ² /sec	7,18E-08



Material:	Clay Eemian Glacial
Bor no :	Depth: 78 m.b.s.
Lab. no: k12	Insitu stress:~800 kPa

Job:	Anholt	AAU
		Encl. No 4.6
Executed:	AMS/gt	Check:
Approved:		

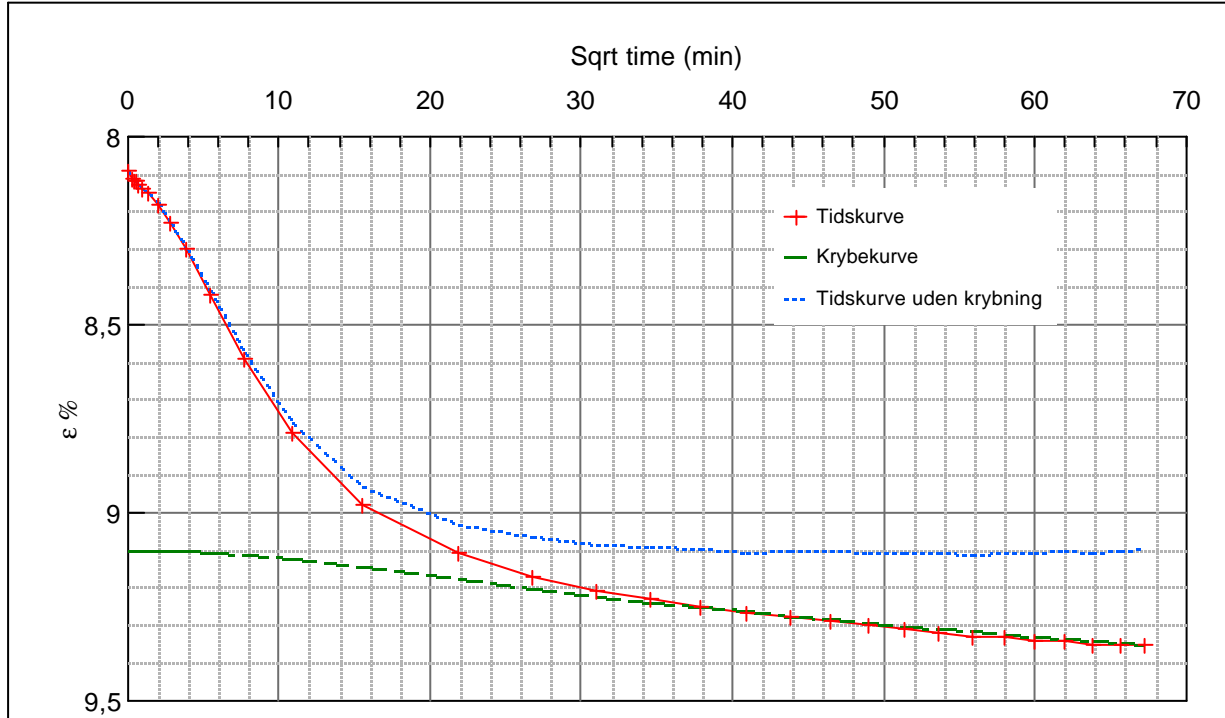
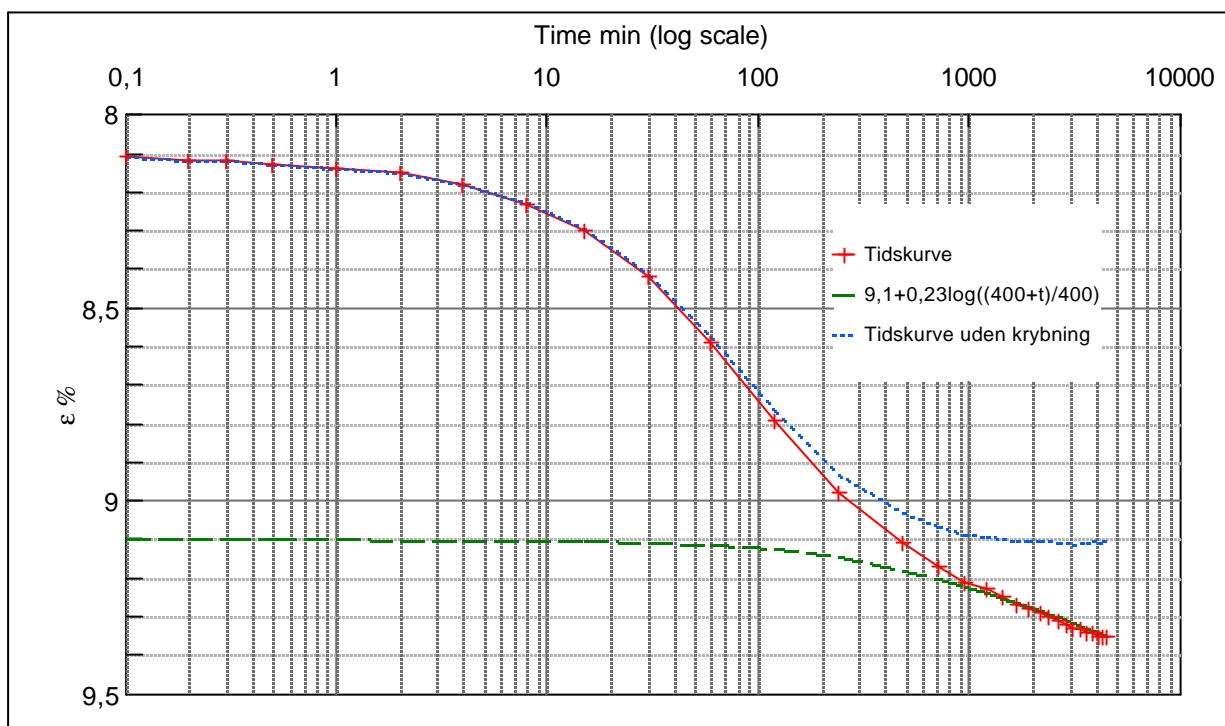
Step no 5	σ	kPa	ϵ	%	ϵ_i		t_c in sec K i kPa k10 m/sec ϵ_{kryb}	13500
	Before	1.390,3	ϵ_0	7,00	$\epsilon_c \%$	7,9		77.102
	After	2.084,2	$\epsilon_{\#}$	8,09	ϵ_s	0,2		9,1E-12
							ϵ_{kryb}	0,19
							ϵ_{kryb}	7,18E-08



Material:	Clay	Eemian	Glacial
Bor no :	Depth:	78 m.b.s.	
Lab. no:	k12	Insitu stress:	~800 kPa

Job:	Anholt	AAU
	Encl. No	4.7
Executed:	AMS/gt	Check:
Approved:		

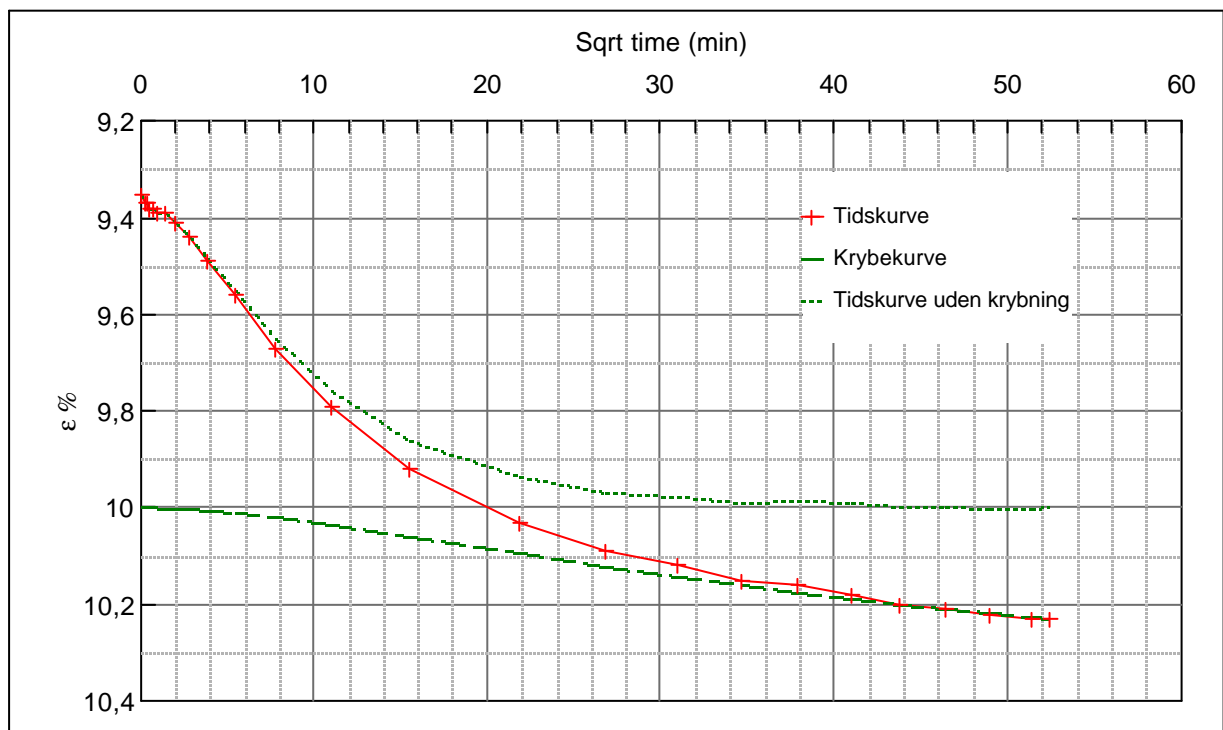
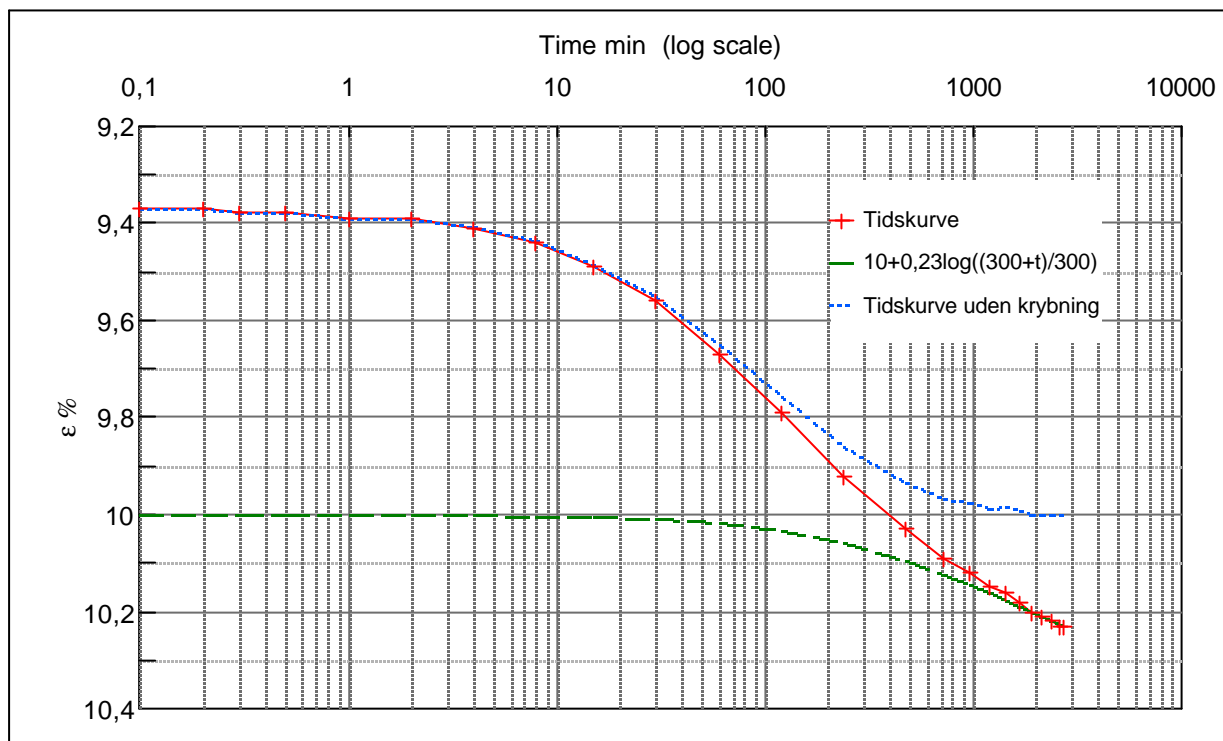
Step no 6	σ	kPa	ε	%	ε_i		tc in sec	12615
	Before	2.084,2	ε_0	8,09	$\varepsilon_c \%$	9,1	K i kPa	103.057
	After	3.125,0	$\varepsilon_{\#}$	9,35	ε_s	0,2	k10 m/sec	7,3E-12
					ε_{kyb}	0,25	ck10 m ² /sec	7,69E-08



Material:	Clay Eemian Glacial
Bor no : Lab. no:	Depth: 78 m.b.s. Insitu stress ~800 kPa

Job:	Anholt	AAU
		Encl. No 4.8
Executed:	AMS/gt	Check:
Approved:		

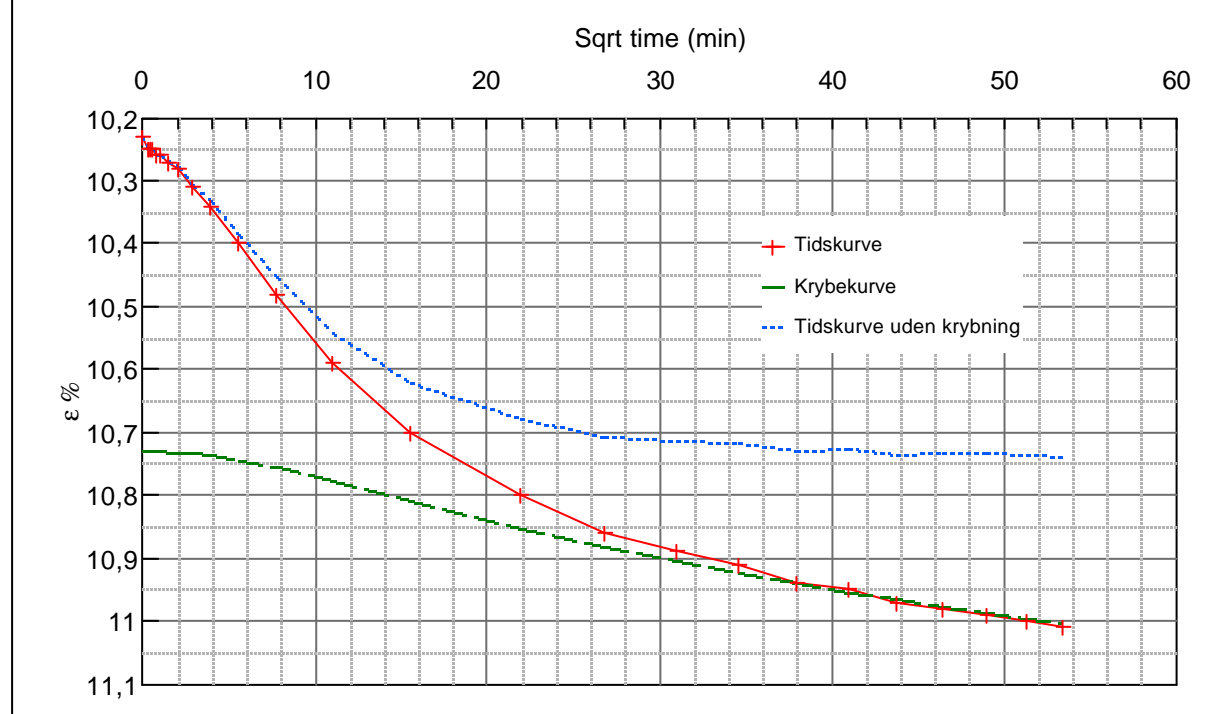
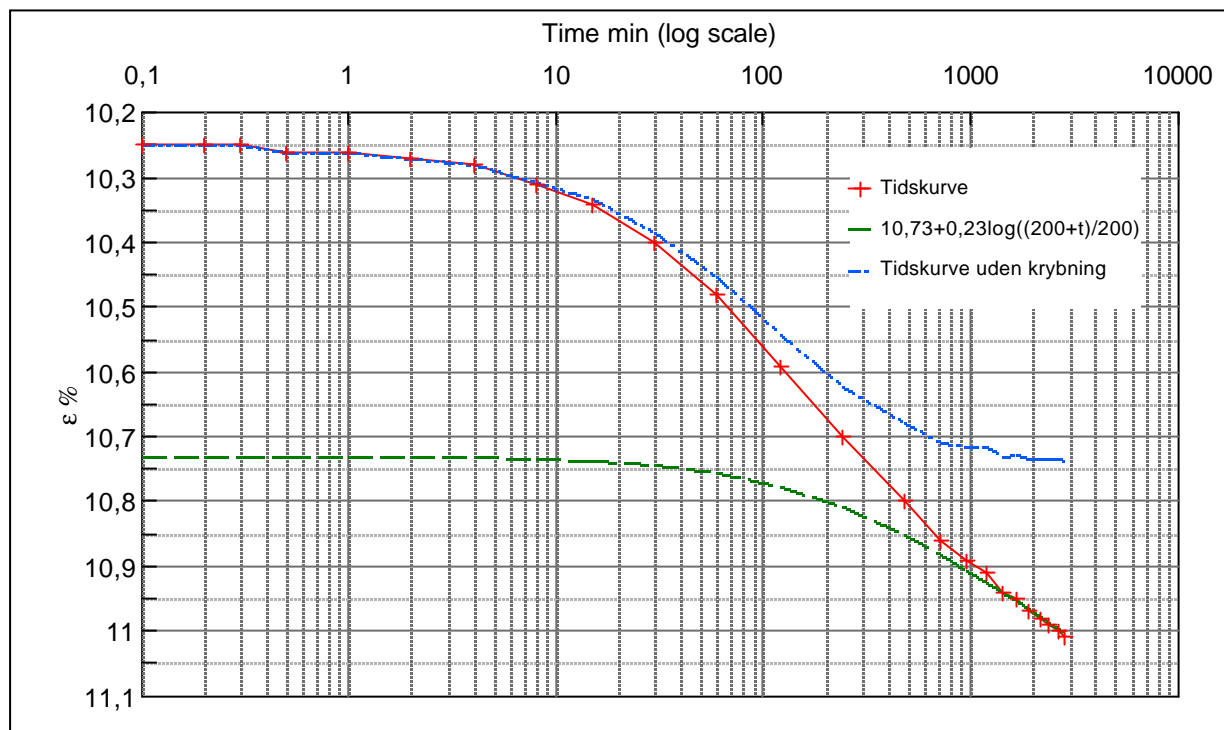
Step no 7	σ	kPa	ε	%	ε_i		tc in sec	13500
	Before	3.125,0	ε_0	9,35	$\varepsilon_c \%$	10	K i kPa	160.134
	After	4.165,9	$\varepsilon_{\#}$	10,23	ε_s	0,21	k10 m/sec	4,4E-12
					ε_{kryb}	0,23	ck10 m ² /sec	7,18E-08



Material:	Clay Eemian Glacial
Bor no :	Depth: 78 m.b.s.
Lab. no: k12	Insitu stress: ~800 kPa

Job:	Anholt	AAU
	Encl. No 4.9	
Executed:	AMS/gt	Check:
Approved:		

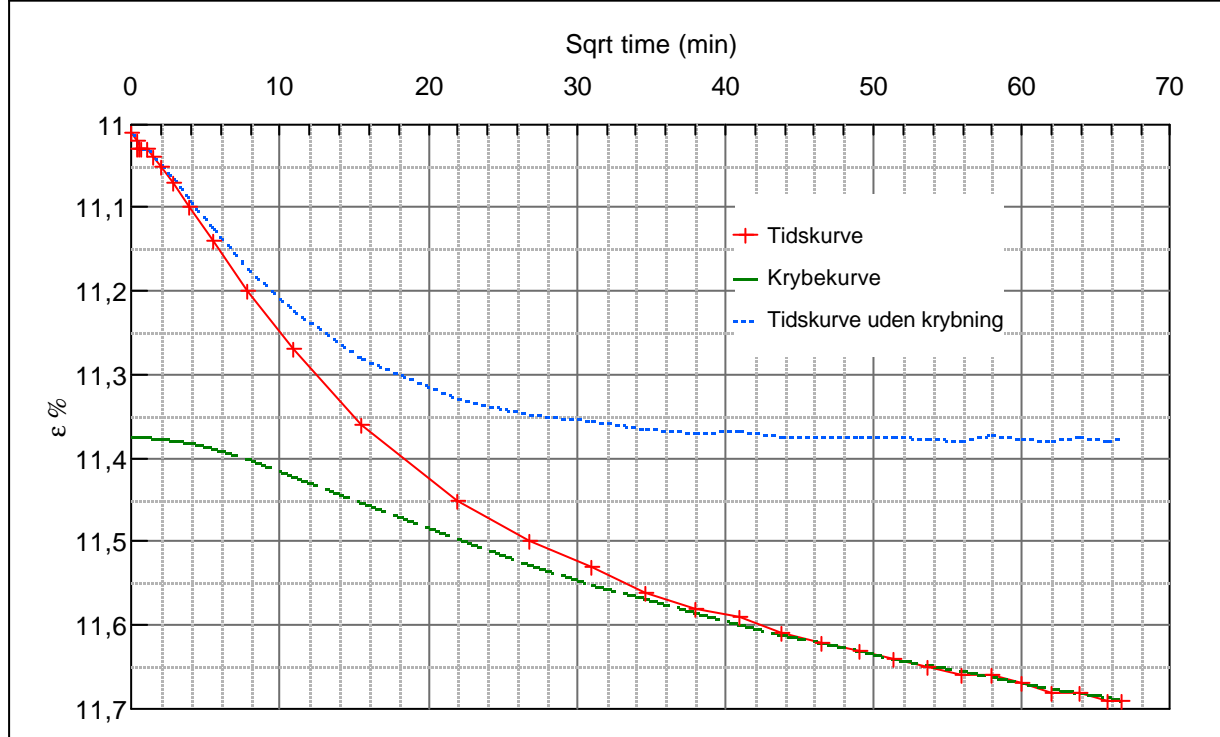
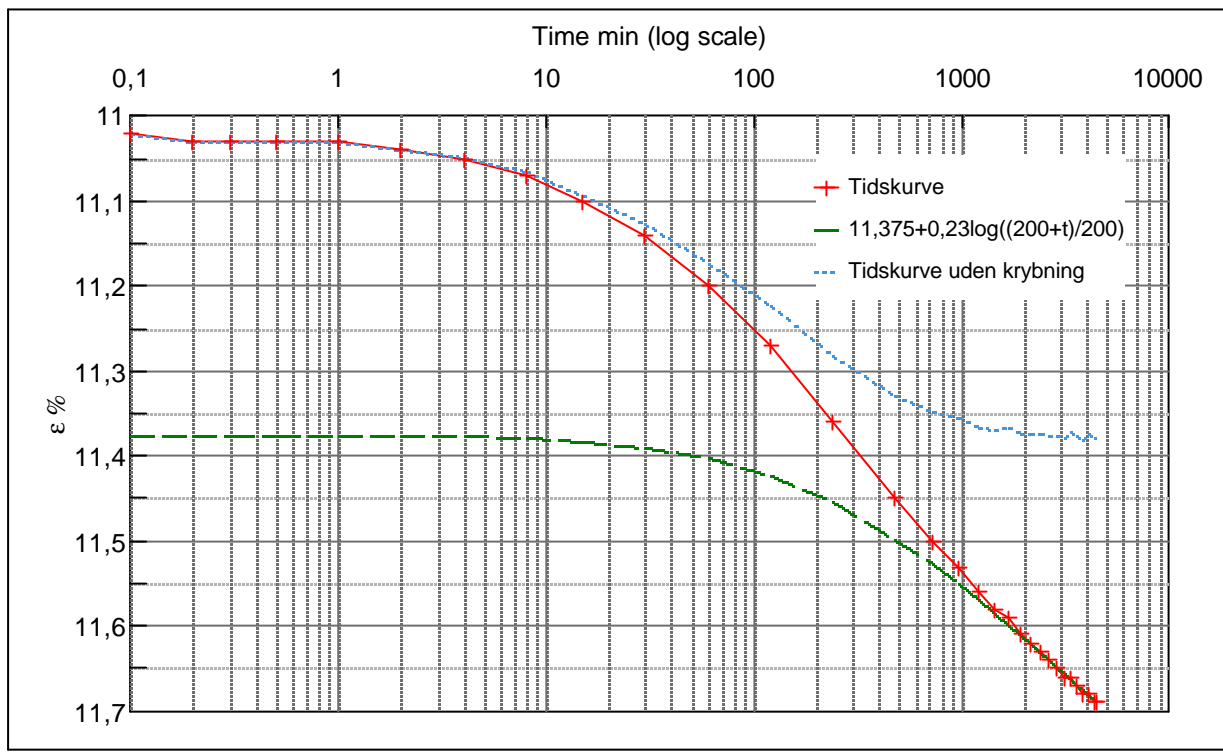
Step no 8	σ	kPa	ϵ	%	ϵ_i		tc in sec	12615
	Before	4.165,92	ϵ_0	10,23	$\epsilon_c \%$	10,73	K i kPa	208.175
	After	5.206,80	$\epsilon_{\#}$	11,01	ϵ_s	0,23	k10 m/sec	3,6E-12
					ϵ_{kyb}	0,28	ck10 m ² /sec	7,69E-08



Material:	Clay Eemian Glacial
Bor no : Lab. no:	Depth: 78 m.b.s. Insitu stress ~800 kPa

Job:	Anholt	AAU
	Encl. No 4.10	
Executed:	AMS/gt	Check:
Approved:		

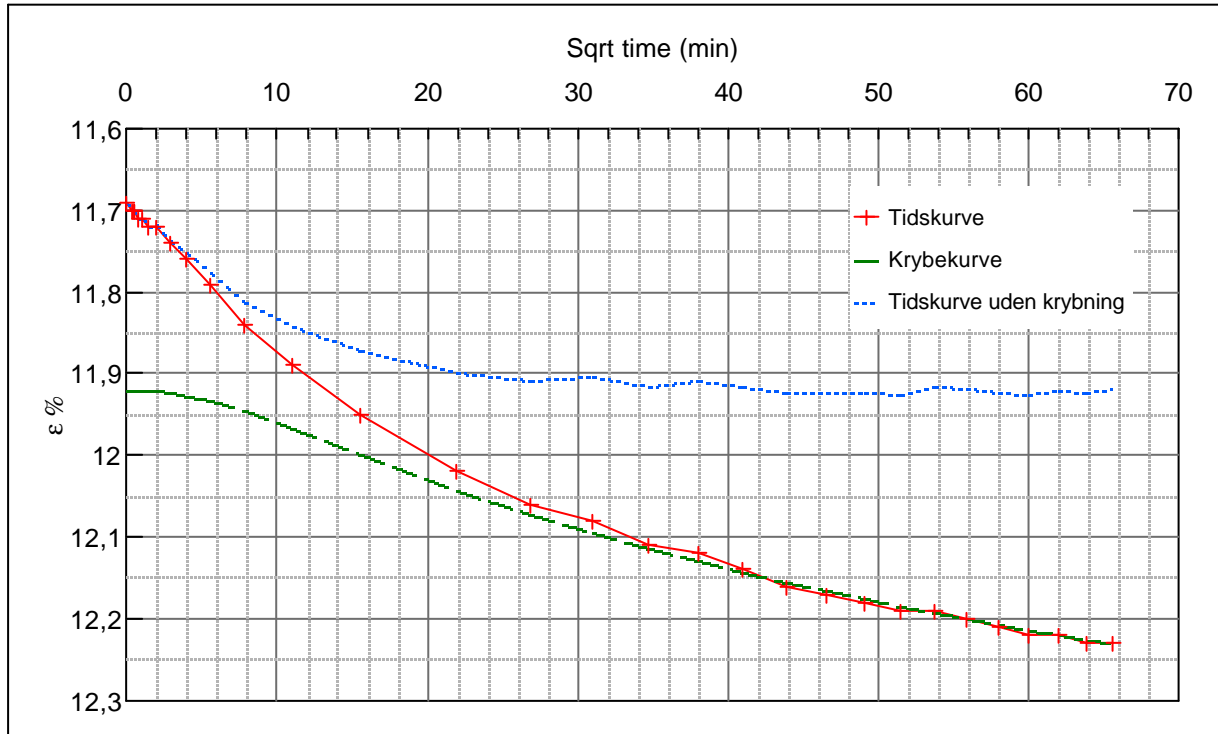
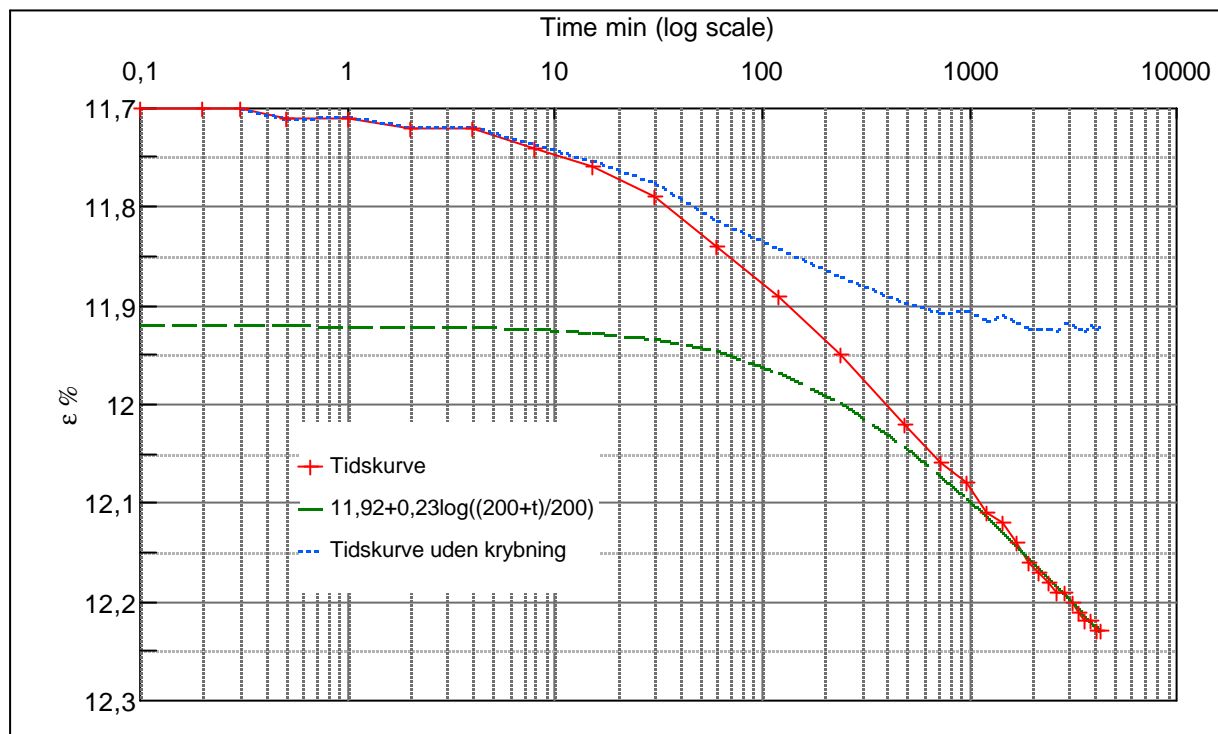
Step no 9	σ	kPa	ϵ	%	ϵ_i	tc in sec K i kPa k10 m/sec ck10 m^2/sec	12615
	Before	5.206,8	ϵ_0	11,01	$\epsilon_c \%$	11,38	285.171
	After	6.247,7	$\epsilon_{\#}$	11,69	ϵ_s	0,23	2,6E-12
			ϵ_{kyb}	0,315		7,69E-08	



Material:	Clay Eemian Glacial
Bor no : Lab. no:	Depth: 78 m.b.s. Insitu stress:~800 kPa

Job:	Anholt	AAU
		Encl. No 4.11
Executed:	AMS/gt	Check:
Approved:		

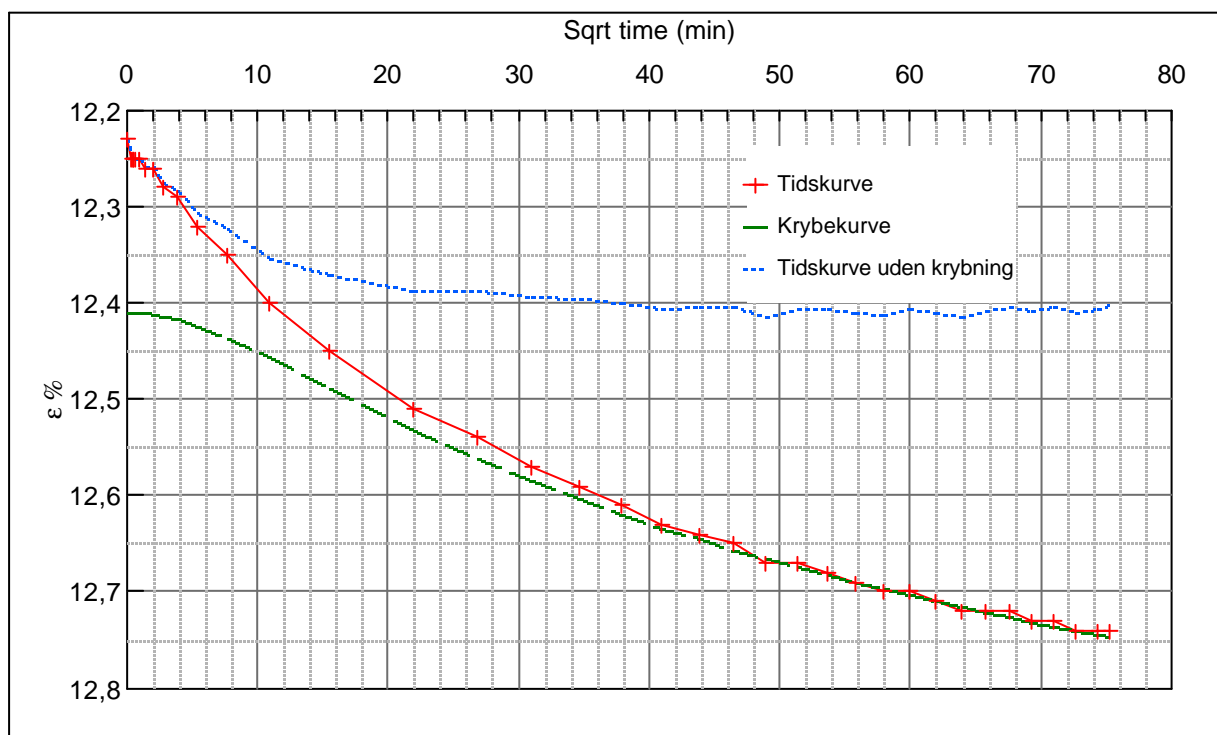
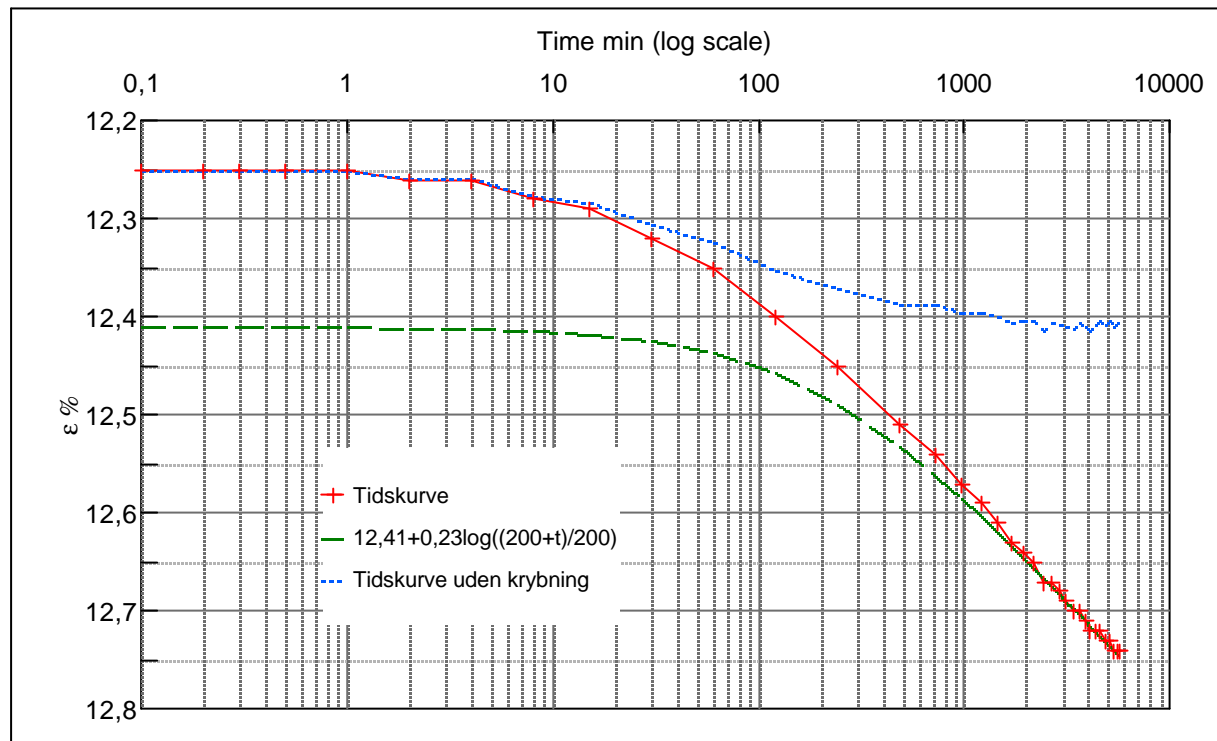
Step no 10	σ	kPa	ϵ	%	ϵ_i		tc in sec	7260
	Before	6.247,7	ϵ_0	11,69	$\epsilon_c \%$	11,92	K i kPa	452.554
	After	7.288,5	ϵ_{\sim}	12,23	ϵ_s	0,23	k10 m/sec	2,9E-12
					ϵ_{kryb}	0,31	ck10 m ² /sec	1,34E-07



Material:	Clay	Eemian	Glacial
Bor no :	Depth:	78 m.b.s.	
Lab. no:	k12	Insitu stress:~800 kPa	

Job:	Anholt	AAU
	Encl. No	4.12
Executed:	AMS/gt	Check:
Approved:		

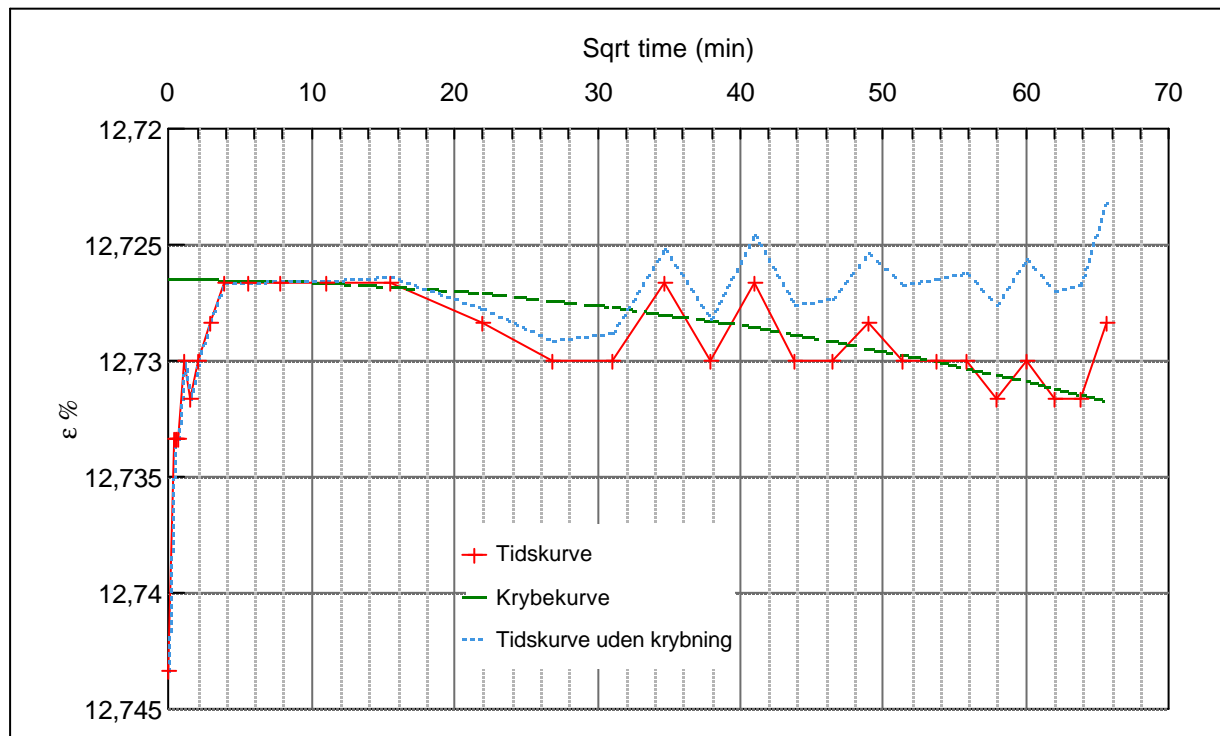
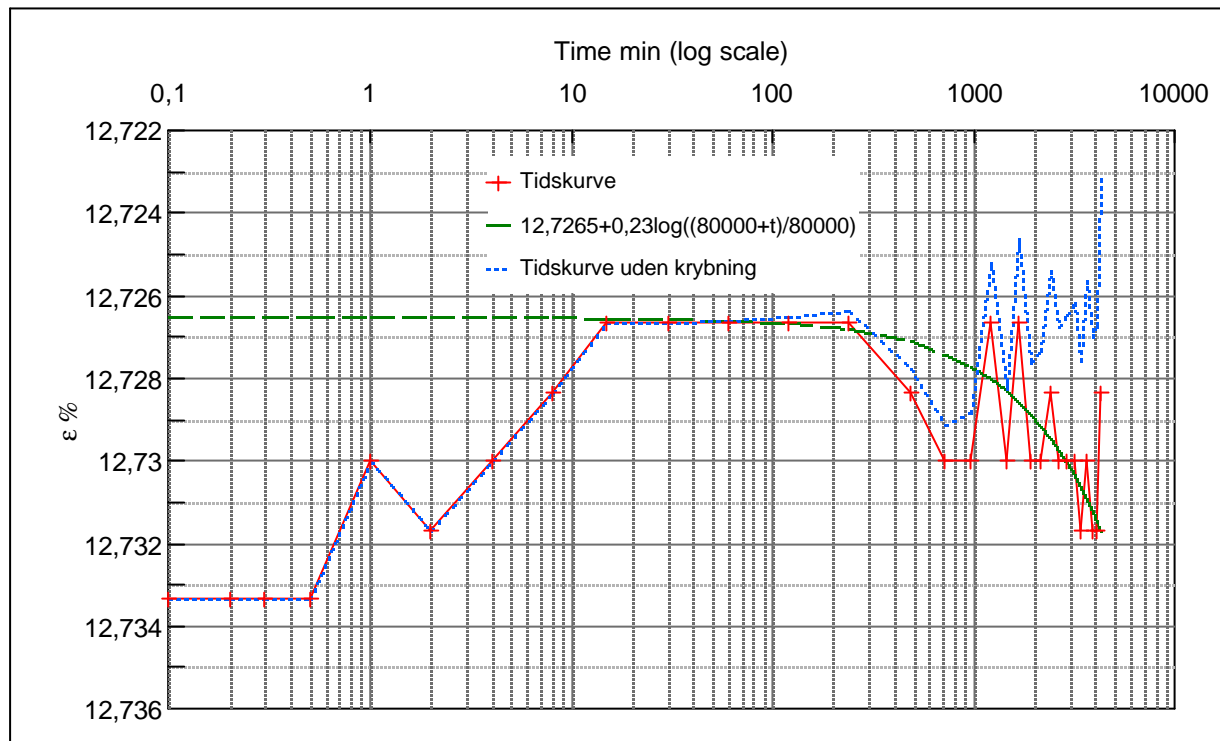
Step no 11	σ	kPa	ϵ	%	ϵ_i		tc in sec	7260
	Before	7.288,5	ϵ_0	12,23	ϵ_c %	12,41	K i kPa	578.263
	After	8.329,4	$\epsilon_{\#}$	12,74	ϵ_s	0,23	k10 m/sec	2,3E-12
					ϵ_{kryb}	0,33	ck10 m ² /sec	1,34E-07



Material:	Clay	Eemian	Glacial
Bor no :	Depth:	78 m.b.s.	
Lab. no:	k12	Insitu stress:~800 kPa	

Job:	Anholt	AAU
	Encl. No	4.13
Executed:	AMS/gt	Check:
Approved:		

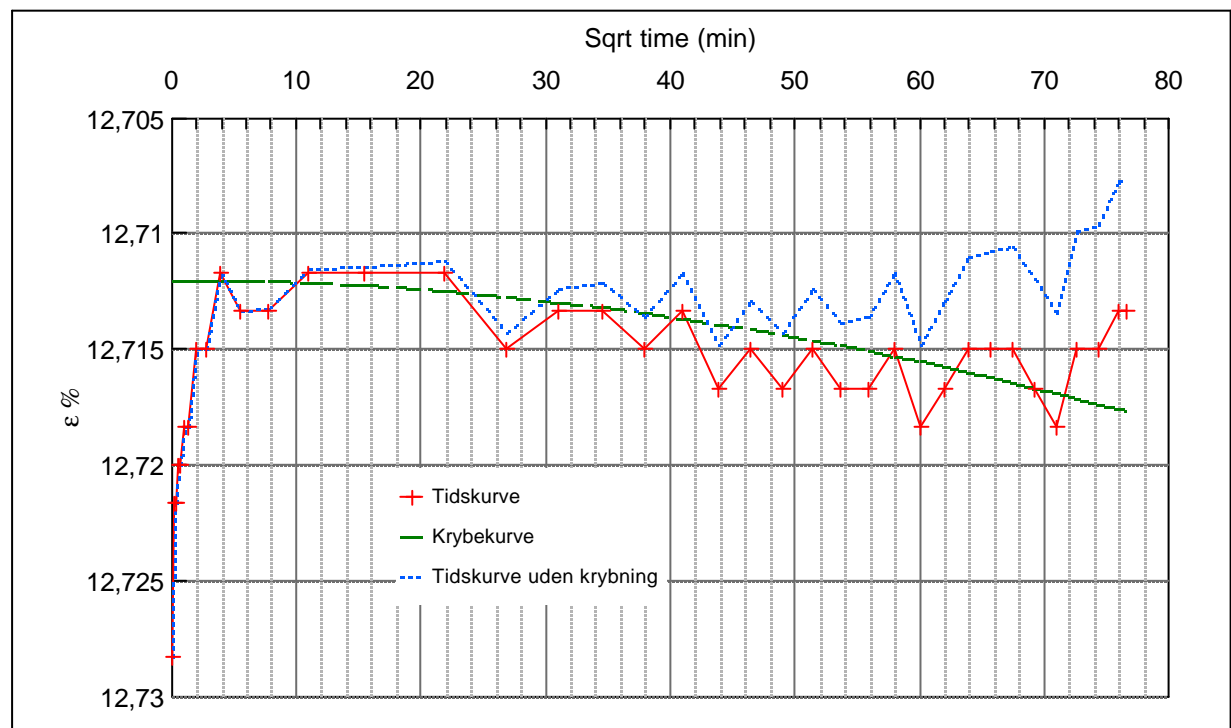
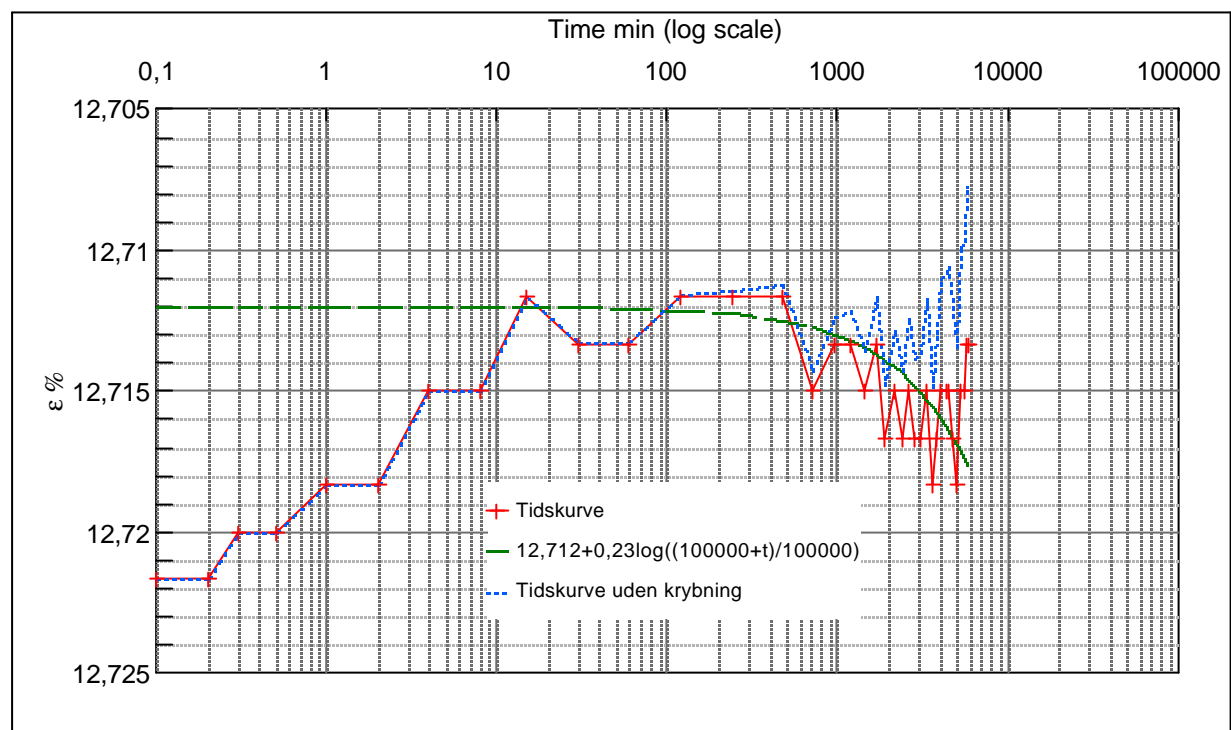
Step no 12	σ	kPa	ϵ	%	ϵ_i		tc in sec	960
	Before	8.329,4	ϵ_0	12,74	$\epsilon_c \%$	12,73	K i kPa	6.183.406
	After	7.288,5	$\epsilon_{\#}$	12,73	ϵ_s	0,04	k10 m/sec	1,6E-12
					ϵ_{kryb}	0,0015	ck10 m ² /sec	1,01E-06



Material:	Clay	Eemian	Glacial
Bor no :	Depth:	78 m.b.s.	
Lab. no:	k12	Insitu stress:~800 kPa	

Job:	Anholt	AAU
	Encl. No	4.14
Executed:	AMS/gt	Check:
Approved:		

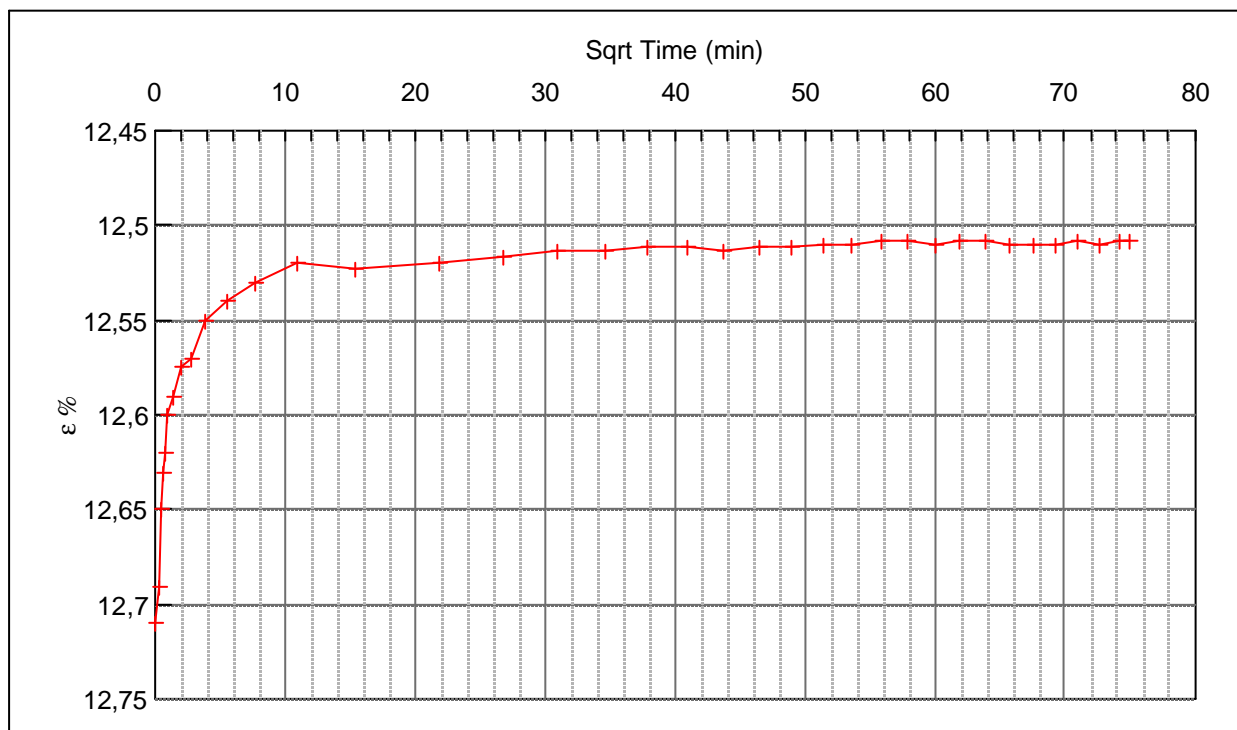
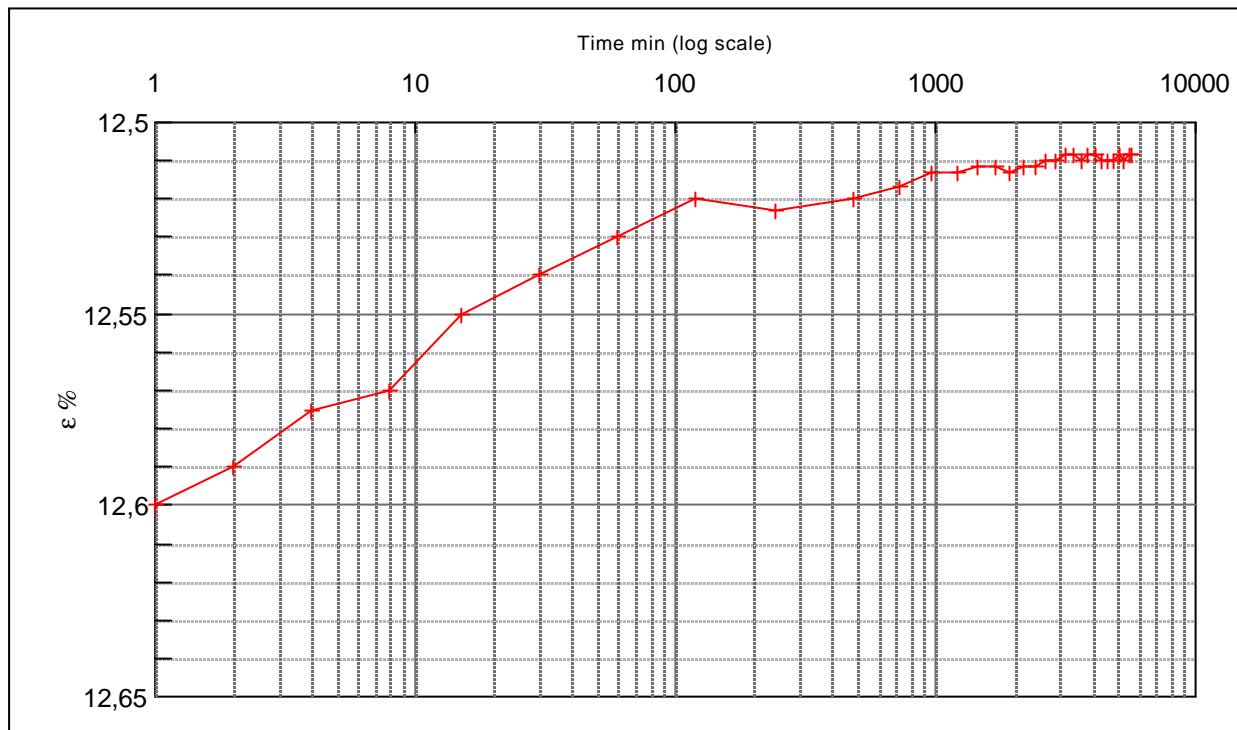
Step no 13	σ	kPa	ε	%	ε_i		tc in sec	960
	Before	7.288,5	ε_0	12,73	$\varepsilon_c \%$	12,71	K i kPa	6.372.694
	After	6.247,7	$\varepsilon_{-#}$	12,71	ε_s	0,006	k10 m/sec	1,6E-12
					ε_{kyb}	0,001	ck10 m ² /sec	1,01E-06



Material:	Clay Eemian Glacial
Bor no :	Depth: 78 m.b.s.
Lab. no: k12	Insitu stress: ~800 kPa

Job:	Anholt	AAU
		Encl. No 4.15
Executed:	AMS/gt	Check:
Approved:		

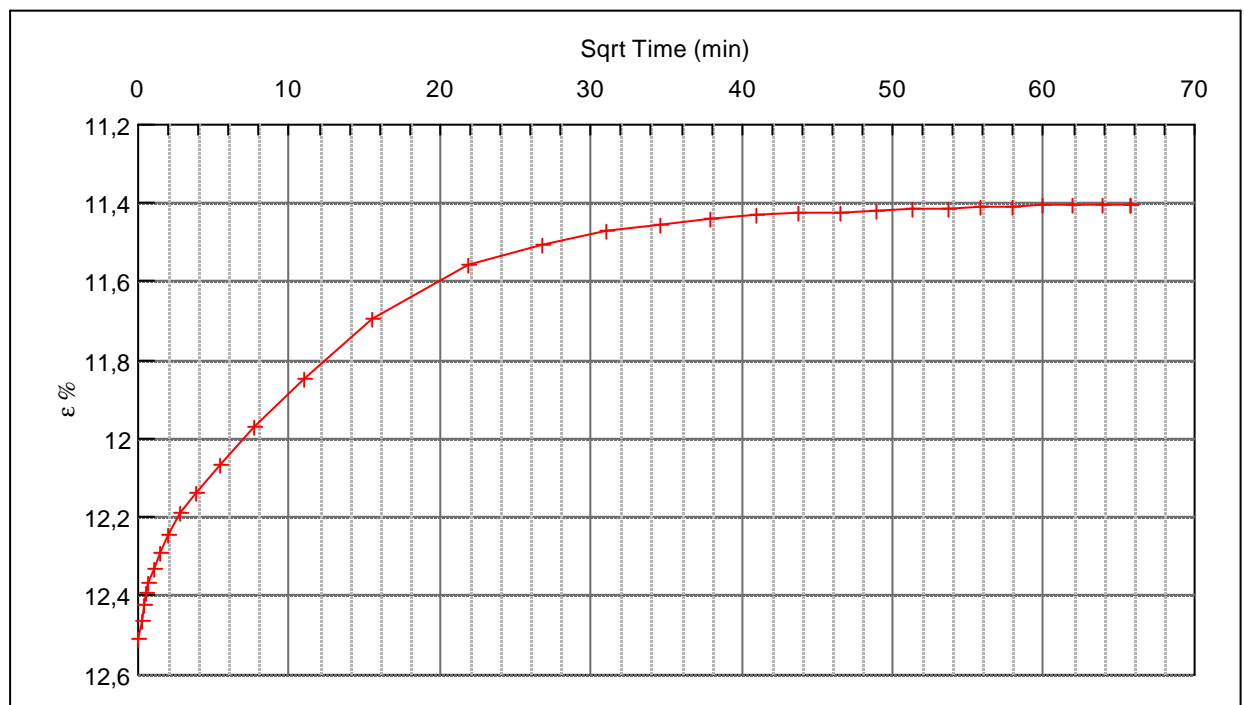
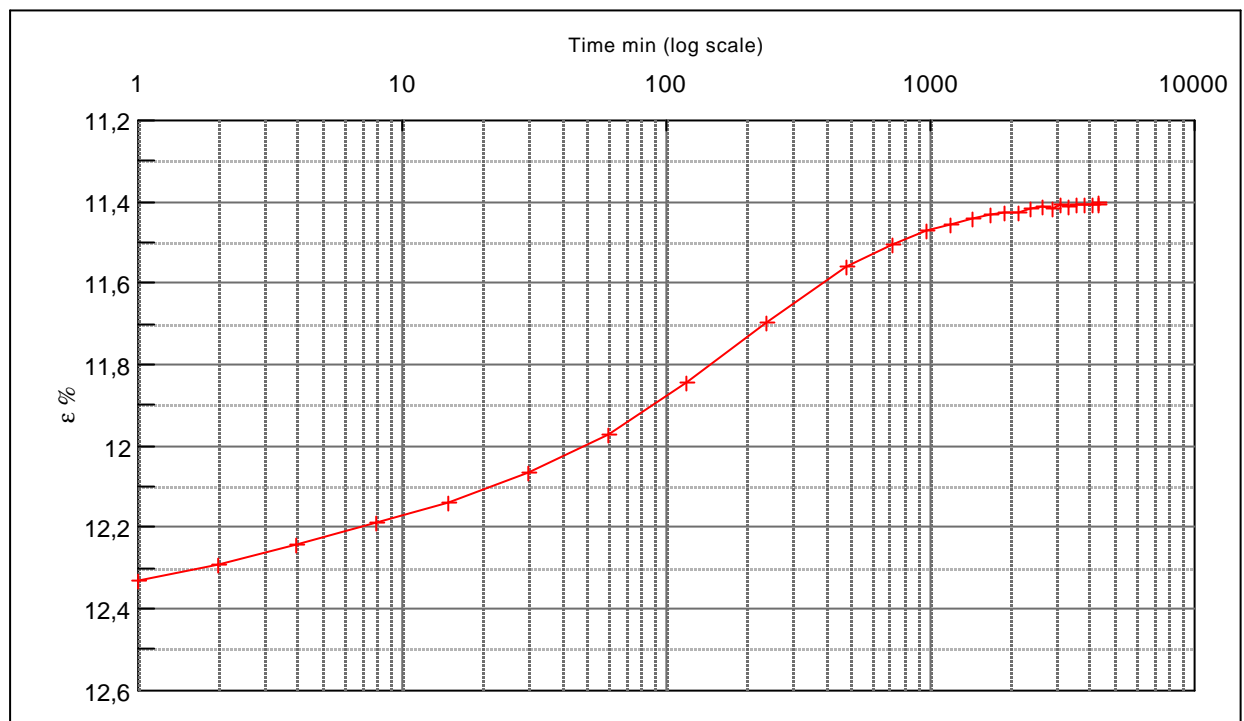
Step no 14	σ	kPa	ε	%	ε_i		tc in sec	1500
	Before	6.247,7	ε_0	12,71	$\varepsilon_c \%$	12,5	K i kPa	1.545.851
	After	3.125,0	$\varepsilon_{\#}$	12,51	ε_s		k10 m/sec	4,1E-12
					ε_{kyb}		ck10 m ² /sec	6,47E-07



Material:	Clay Eemian Glacial
Bor no :	Depth: 78 m.b.s.
Lab. no:	Insitu stress ~800 kPa

Job:	Anholt	AAU
	Encl. No	4.16
Executed:	AMS/gt	Check:
Approved:		

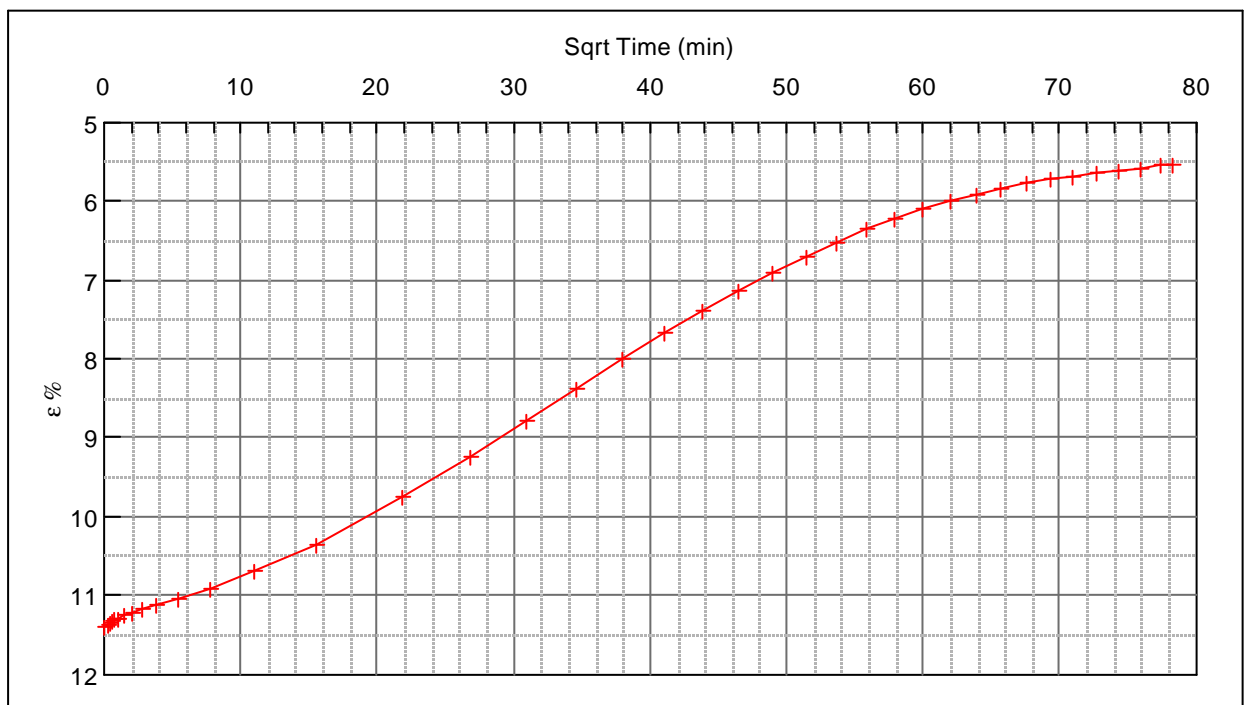
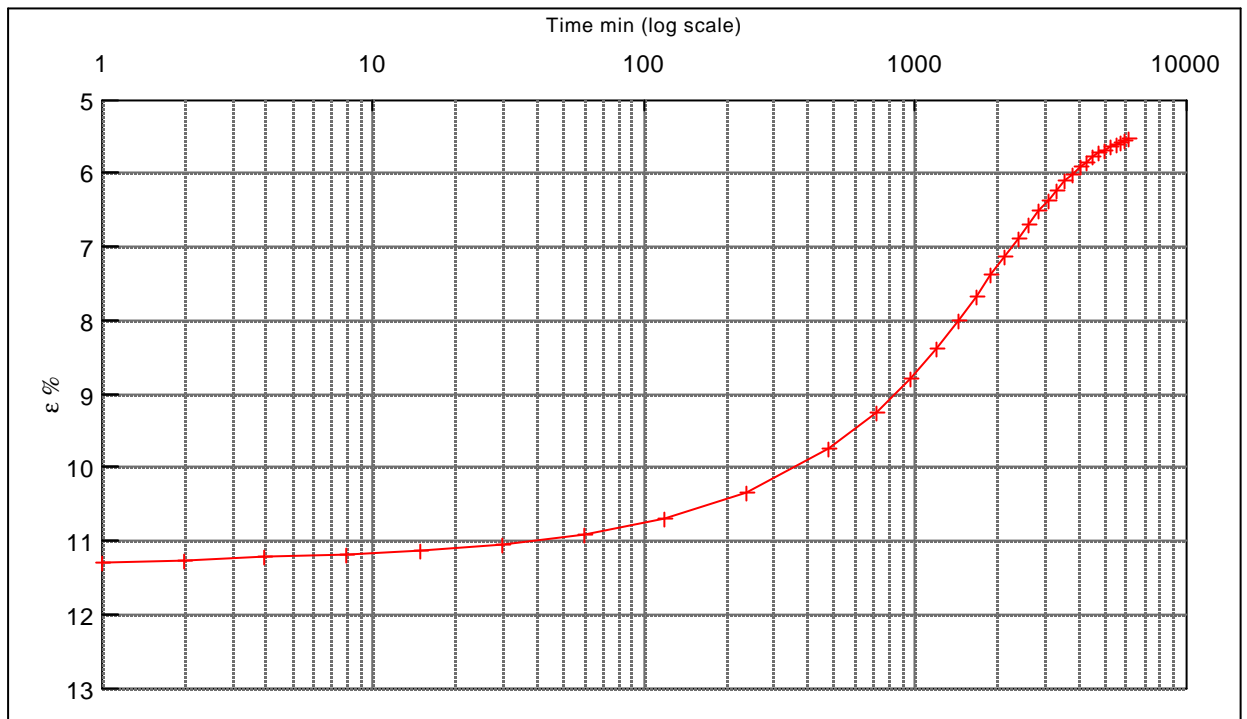
Step no 15	σ	kPa	ε	%	ε_i		tc in sec	29040
	Before	3.125,0	ε_0	12,51	ε_c %	11,4	K i kPa	219.527
	After	696,3	$\varepsilon_{\#}$	11,40	ε_s		k10 m/sec	1,5E-12
					ε_{kyb}		ck10 m ² /sec	3,34E-08



Material:	Clay	Eemian	Glacial
Bor no :		Depth:	78 m.b.s.
Lab. no:	k12	Insitu stress:	~800 kPa

Job:	Anholt	AAU
	Encl. No	4.17
Executed:	AMS/gt	Check:
Approved:		

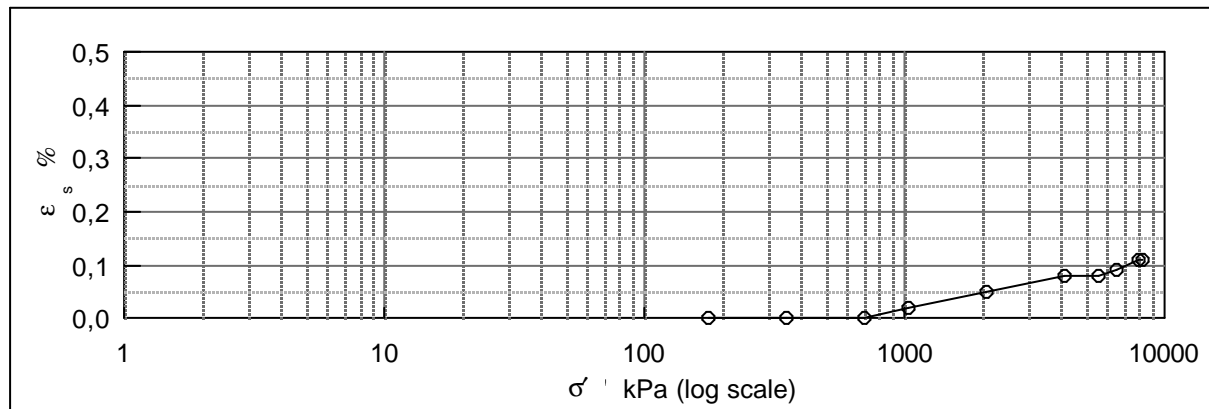
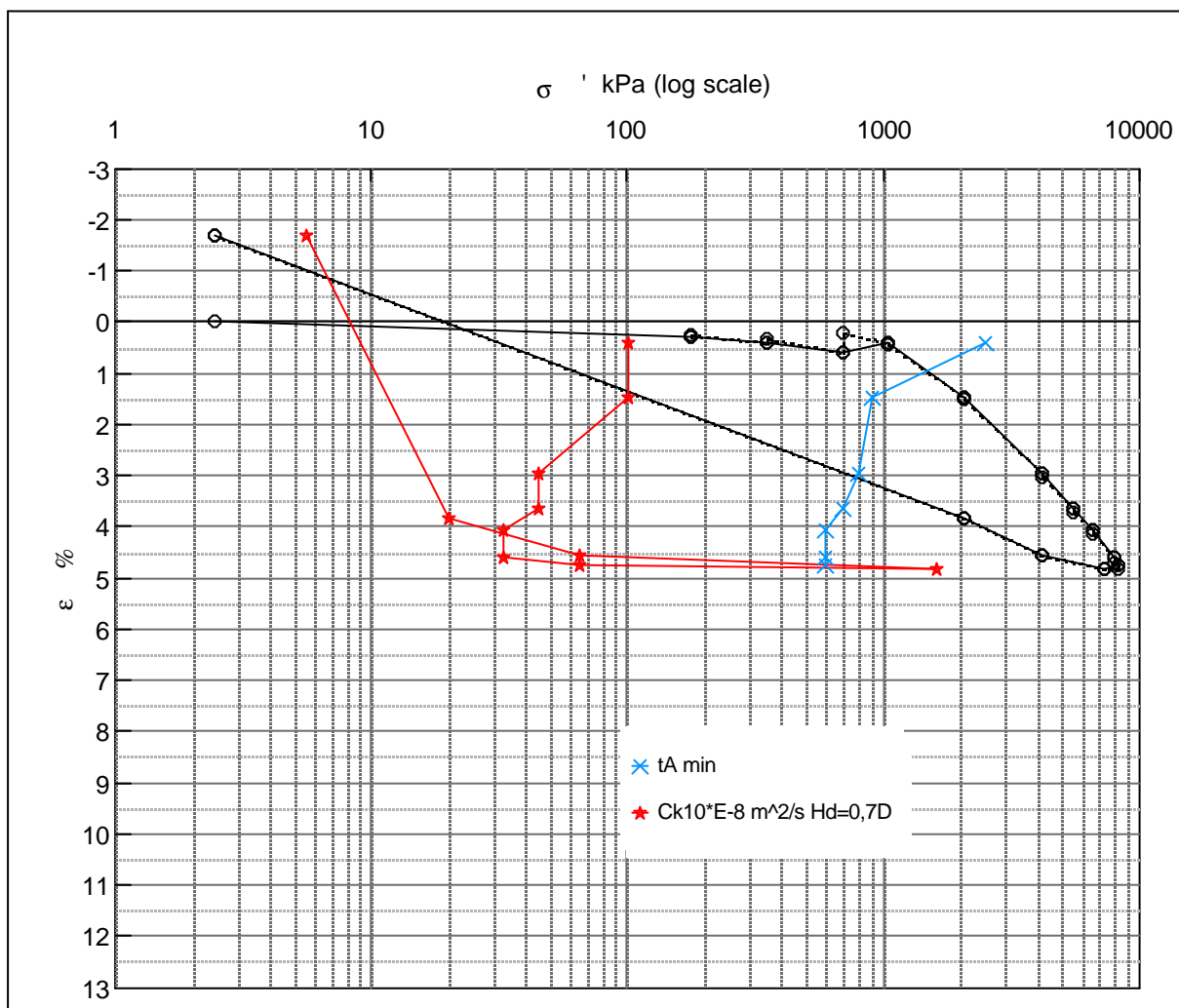
Step no 16	σ	kPa	ϵ	%	ϵ_i		tc in sec	230640
	Before	696,3	ϵ_0	11,40	$\epsilon_c \%$	5,54	K i kPa	11.831
	After	2,43	ϵ_{∞}	5,54	ϵ_s		k10 m/sec	3,5E-12
					ϵ_{kyb}		ck10 m ² /sec	4,20E-09



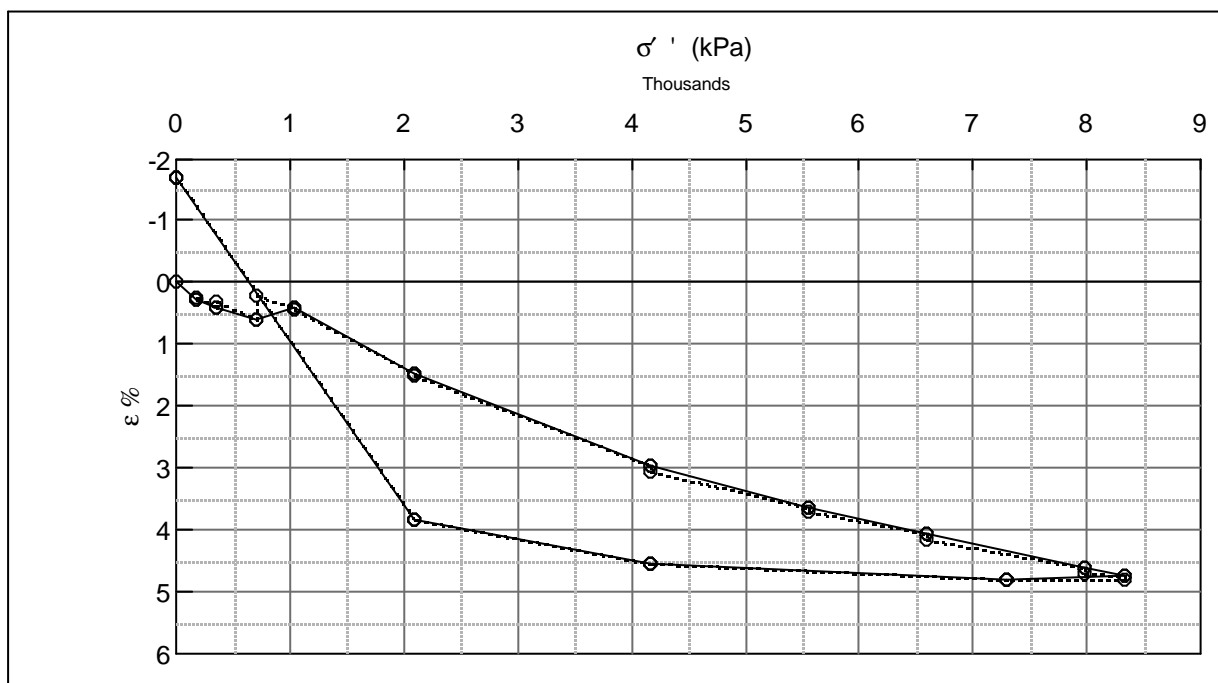
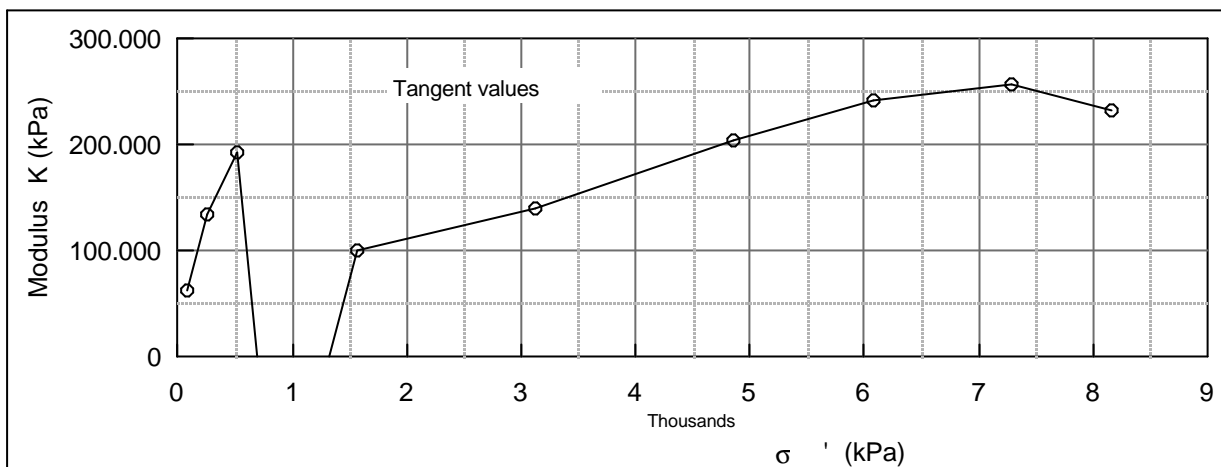
Material:	Clay	Eemian	Glacial
Bor no :	Depth:	78 m.b.s.	
Lab. no:	k12	Insitu stress:	~800 kPa

Job:	Anholt	AAU
		Encl. No 4.18
Executed:	AMS/gt	Check:
Approved:		

Description of soil:		Water content %	Before	After
Clay middle jura			12,3	18,4
Bor no :	A III	Overburden pressure σ'_{o}	~1620 kPa	2,07
Lab. no:	k 26	Vane strength c_v	kPa	~2,69
Level :	162 m.b.s	CPT - value q_c	MPa	0,47
			Degr. of Saturation %	75
			Dimension H x D mm	30x60
				30,5x60



Job: Anholt	AAU
Encl. No	5.1
Executed:	AMS/gt
	Check:

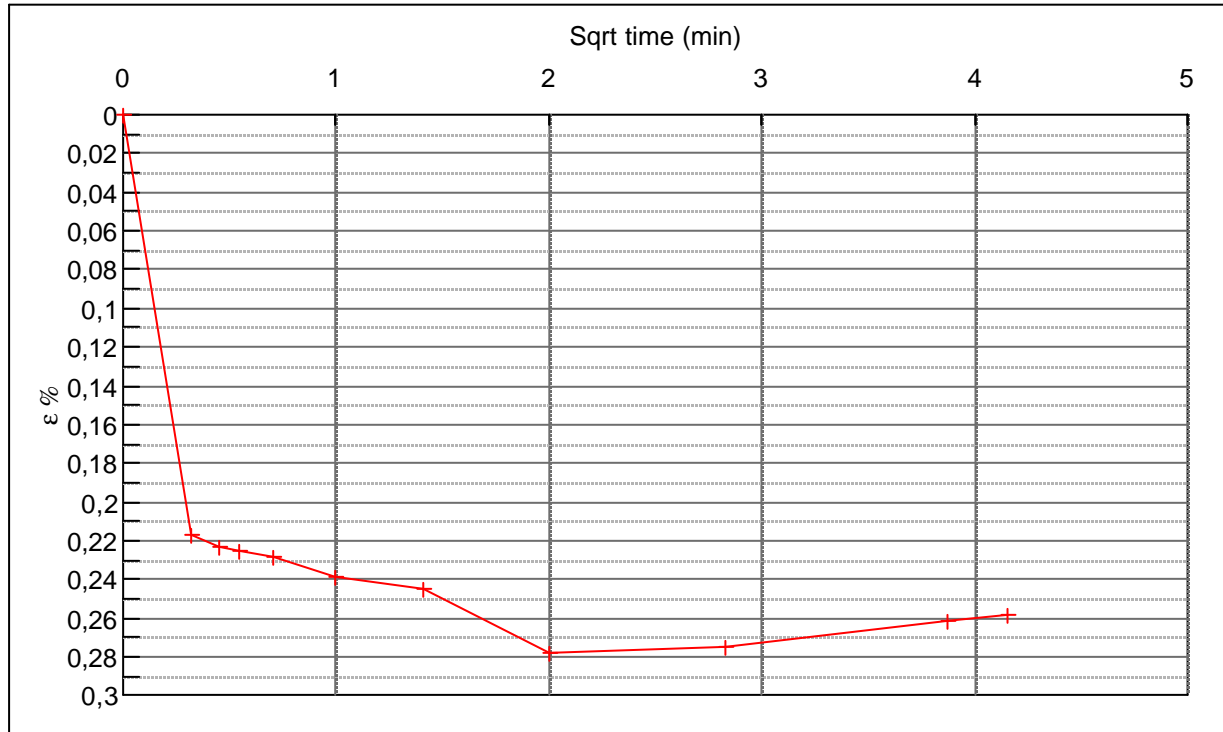
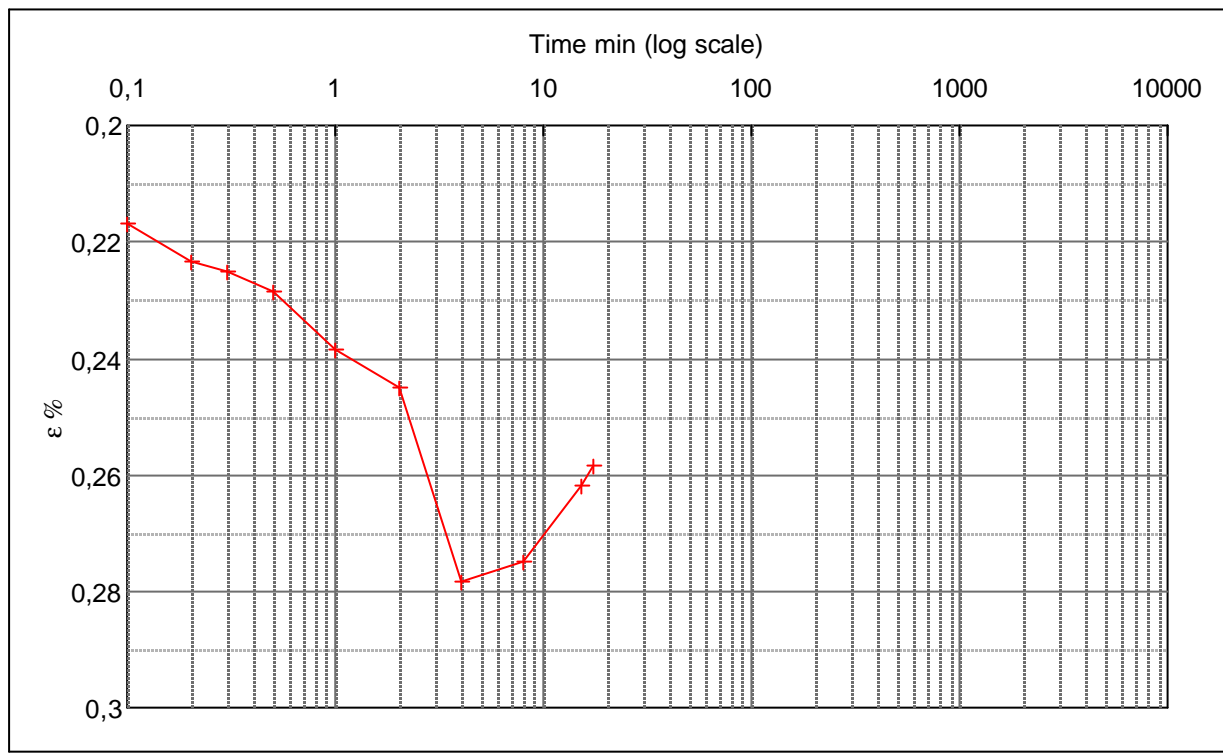


Test results	σ'	ϵ_c	ϵ_s	C_{k10}	σ'_m	K	w
	kPa	%	% / lct	m^2/s	kPa	kPa	%
$Q \sim 6\% ?$	2,4	0,00					17,5
$Q_s 0,11\%$	175,9	0,28			89,2	61956,7	17,3
$\sigma_{pc} \sim 8000\text{ kPa}$	349,4	0,41			262,6	133445,3	17,3
	696,3	0,59			522,9	192754,3	17,2
	1.043,3	0,41	0,02	1,0E-06	869,8	-187544,7	17,3
	2.084,2	1,46	0,05	1,0E-06	1.563,7	98661,0	16,7
	4.165,9	2,95	0,08	4,5E-07	3.125,0	139714,5	15,9
	5.553,8	3,63	0,08	4,5E-07	4.859,8	204092,8	15,5
	6.594,6	4,06	0,09	3,3E-07	6.074,2	242063,6	15,3
	7.982,5	4,60	0,11	3,3E-07	7.288,5	257005,8	15,0
	8.329,4	4,75	0,11	6,5E-07	8.155,9	231305,2	14,9
	7.288,5	4,81		1,6E-05	7.809,0	-1892497,0	14,9
	4.165,9	4,55		6,5E-07	5.727,2	1210317,8	15,0
	2.084,2	3,85		2,0E-07	3.125,0	296545,1	15,4
	2,4	(1,69)		5,6E-08	1.043,3	37590,2	18,4

Remark:
 "Genbelastningsgren"
 Normalkonsolideret tilstand næppe nået

Job: Anholt	AAU
Encl. No 5.2	
Executed: AMS/gt	Check:
Approved:	

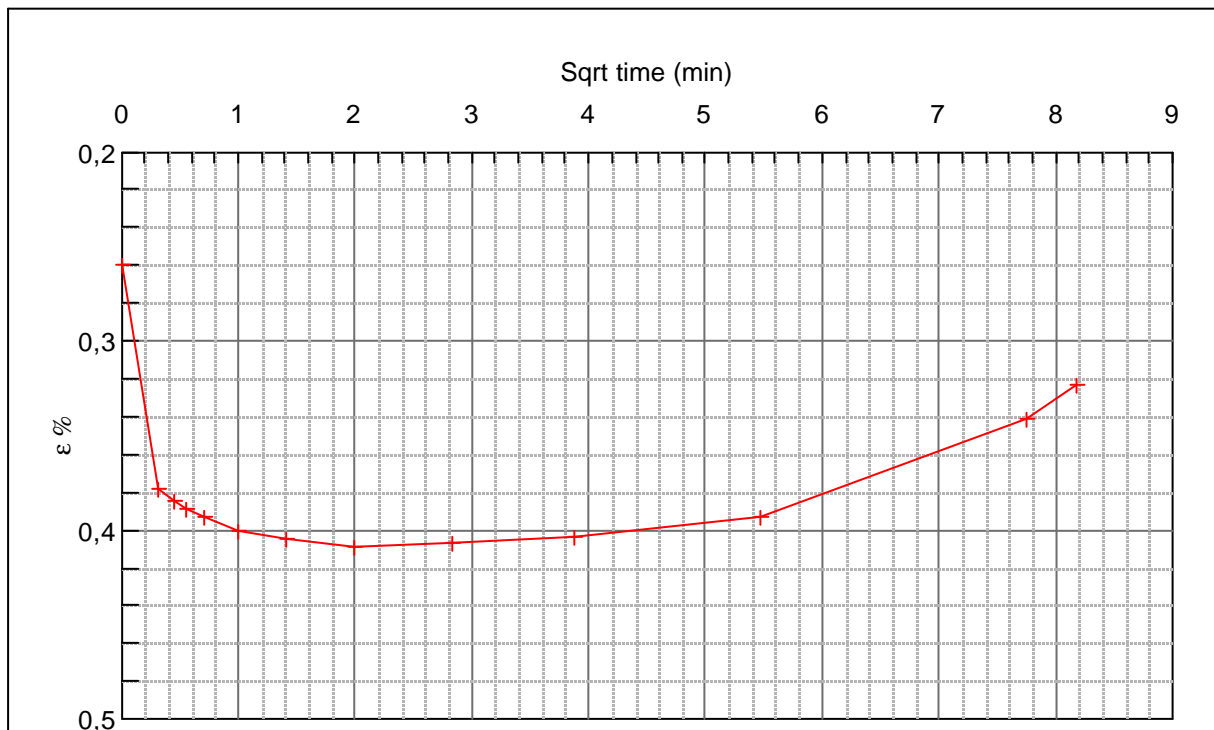
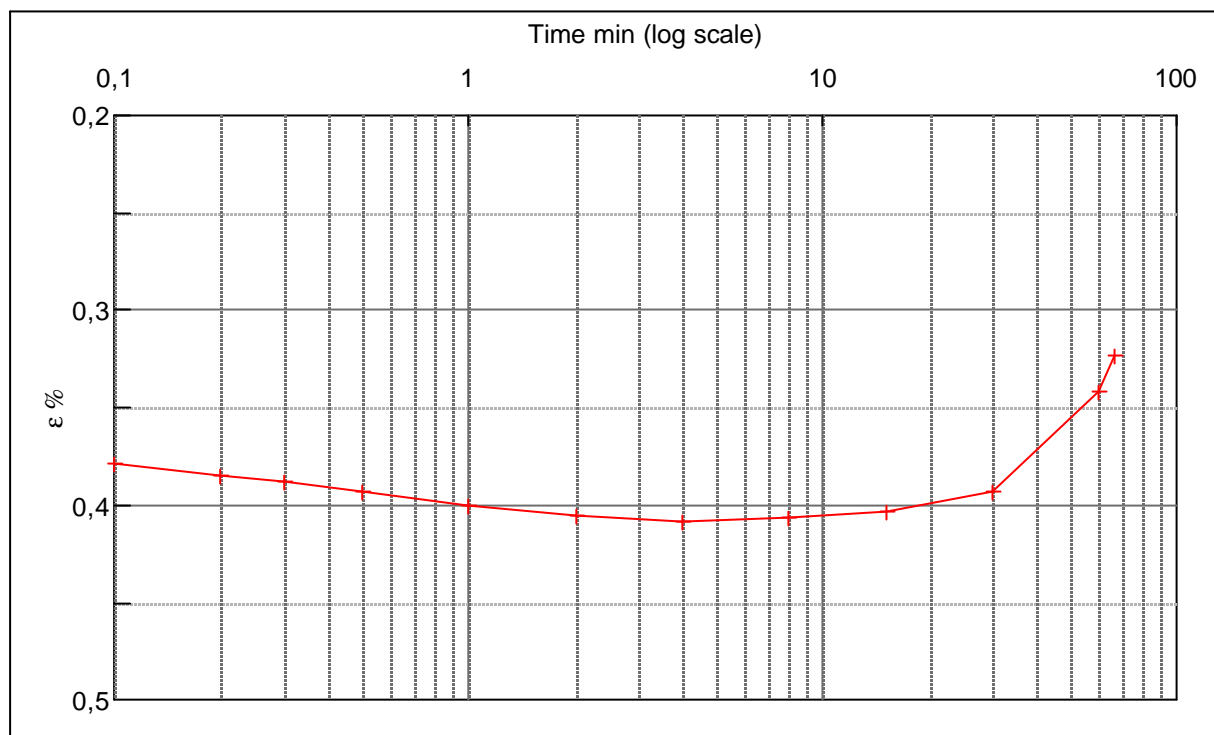
Step no	σ	kPa	ε	%	ε_i	tc in sec	K _i kPa	k ₁₀ m/sec	c _{k10} m ² /sec
	Before	2,43	ε_0	0,00	$\varepsilon_c \%$				
1	After	175,9	$\varepsilon_{-#}$	0,26	ε_s				
					ε_{kyb}				



Material:	Clay middle jura	
Bor no :	A III	Depth: 162 m.b.s
Lab. no:	k 26	Insitu stress: ~1620 kPa

Job:	Anholt	AAU
		Encl. No 5.3
Executed:	AMS/gt	Check:
Approved:		

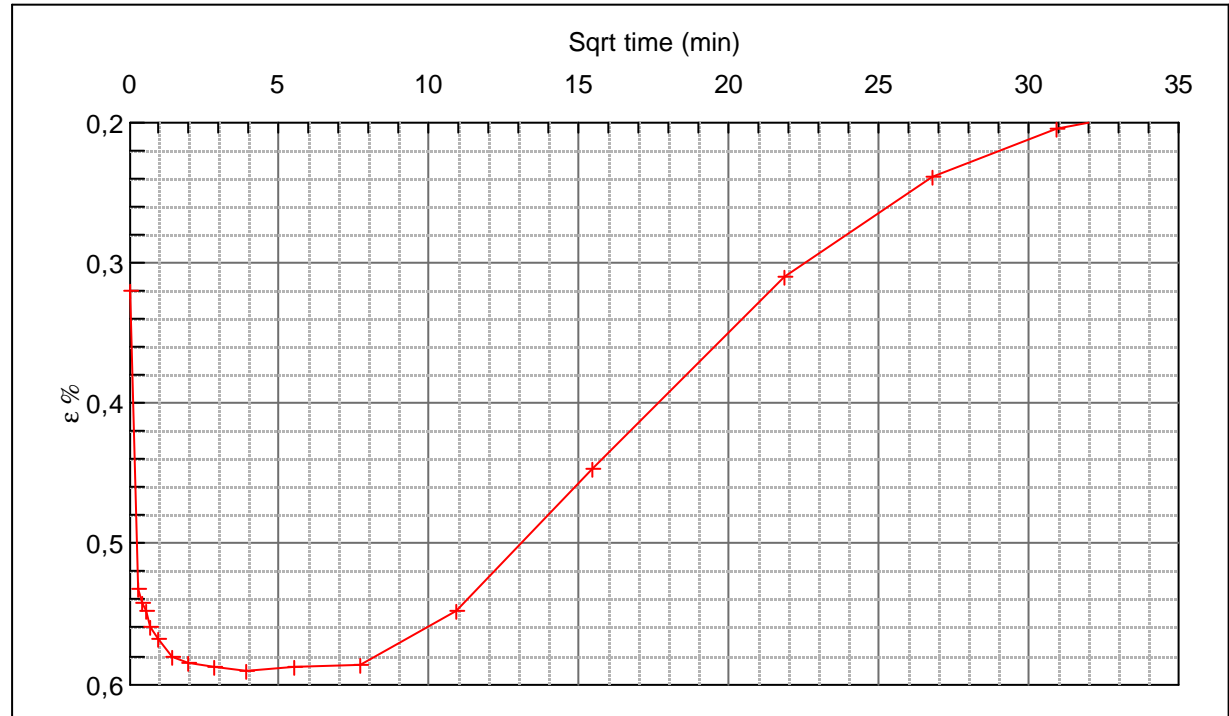
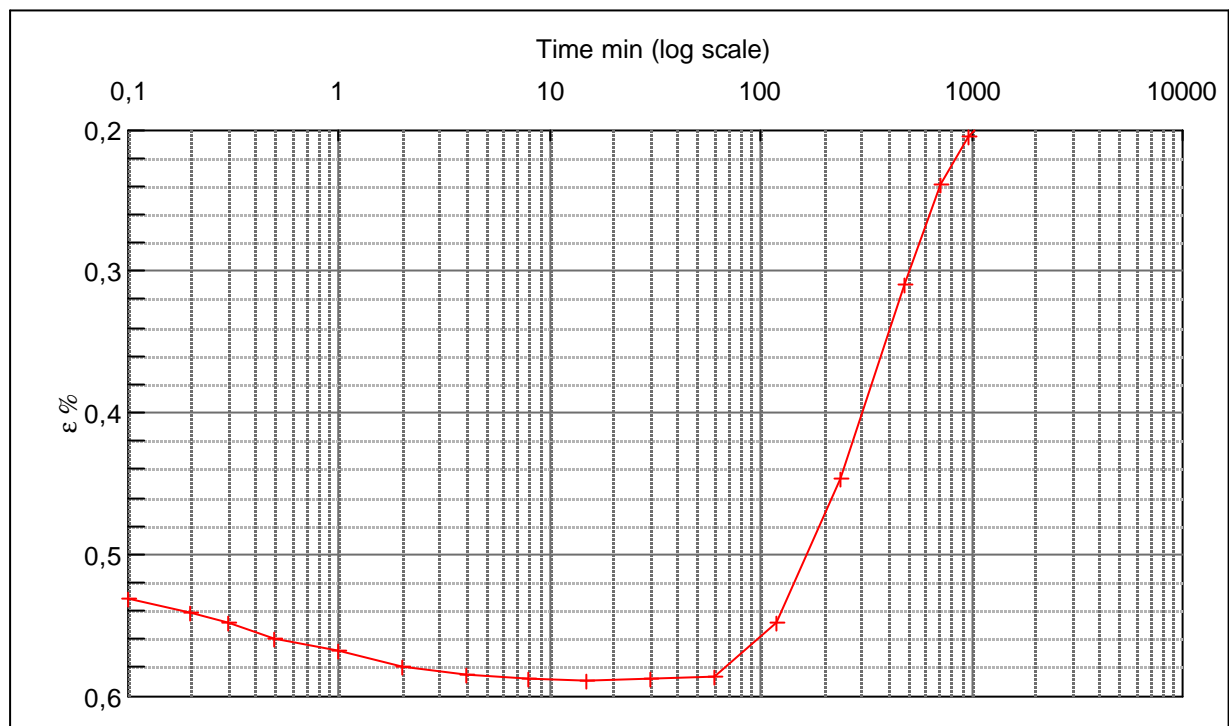
Step no 2	σ	kPa	ε	%	ε_i		tc in sec K i kPa k10 m/sec ck10 m ² /sec
	Before	175,9	ε_0	0,26	$\varepsilon_c \%$	0,41	
	After	349,4	$\varepsilon_{\#}$	0,32	ε_s		ε_{kyb}



Material: Clay middle jura
Bor no : A III
Lab. no: k 26
Depth: 162 m.b.s
Insitu stress: ~1620 kPa

Job: Anholt	AAU
	Encl. No 5.4
Executed: AMS/gt	Check:
Approved:	

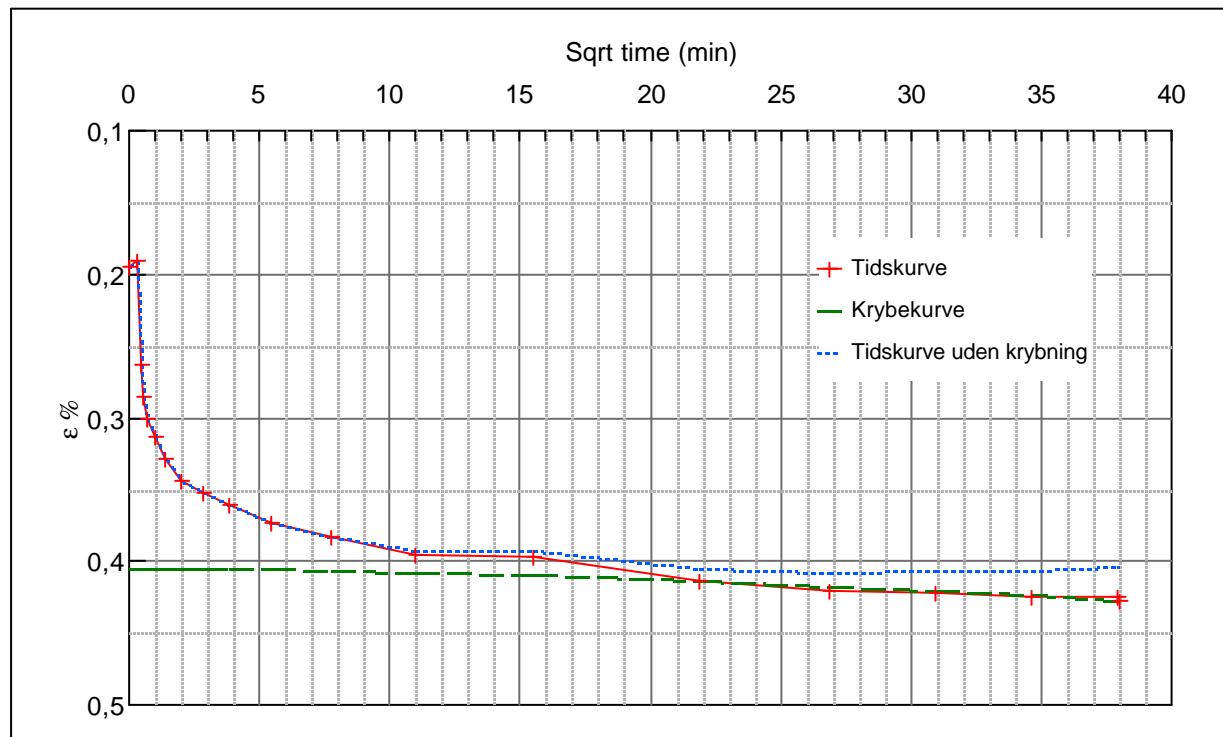
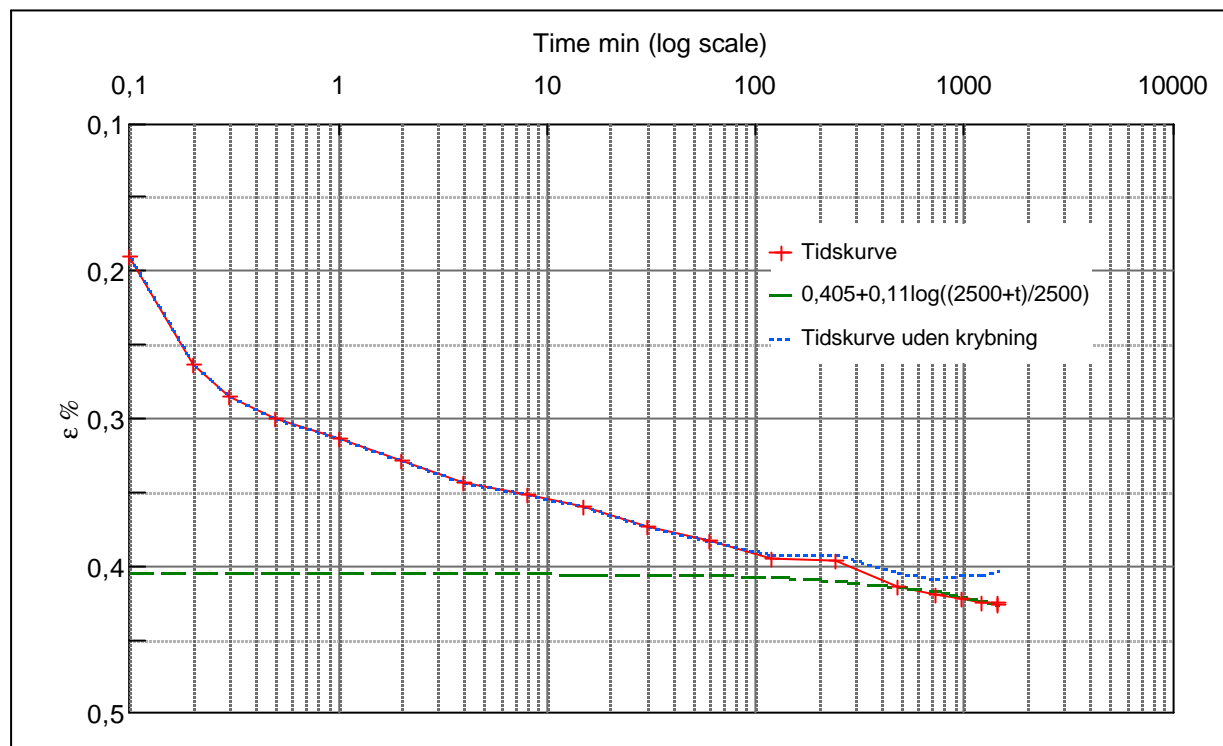
Step no 3	σ	kPa	ε	%	ε_i		tc in sec K i kPa k10 m/sec ck10 m ² /sec	ε_{kyb}
	Before	349,4	ε_0	0,32	$\varepsilon_c \%$	0,59		
	After	696,3	$\varepsilon_{\#}$	0,20	ε_s			



Material:	Clay middle jura
Bor no :	A III
Lab. no:	k 26
Depth:	162 m.b.s
Insitu stress:	~1620 kPa

Job:	Anholt	AAU
	Encl. No	5,5
Executed:	AMS/gt	Check:
Approved:		

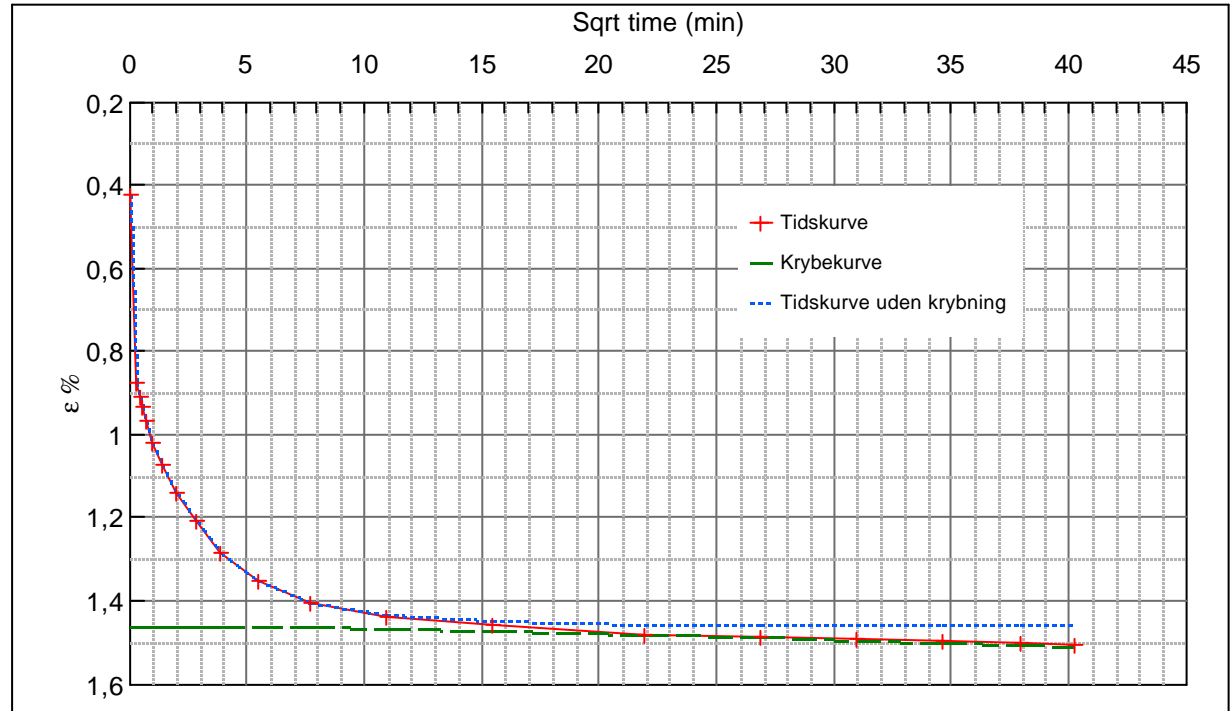
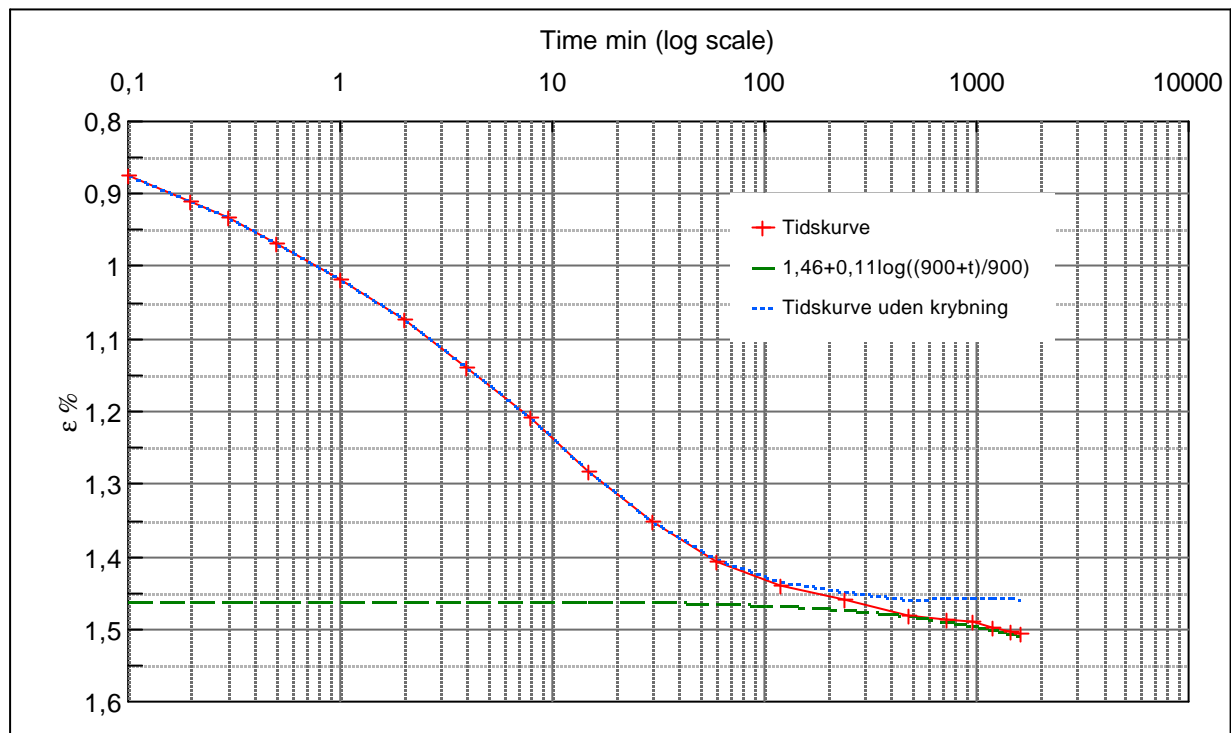
Step no 4	σ	kPa	ϵ	%	ϵ_i	tc in sec K i kPa k10 m/sec ϵ_{ky}	960
	Before	696,3	ϵ_0	0,195	$\epsilon_c \%$	0,405	165.218
	After	1.043,3	$\epsilon_{\#}$	0,427	ϵ_s	0,02	6,0E-11
					ϵ_{ky}	0,02	ck10 m ² /sec 1,01E-06



Material:	Clay middle jura	
Bor no :	A III	Depth: 162 m.b.s
Lab. no:	k 26	Insitu stress: ~1620 kPa

Job:	Anholt	AAU
		Encl. No 5.6
Executed:	AMS/gt	Check:
Approved:		

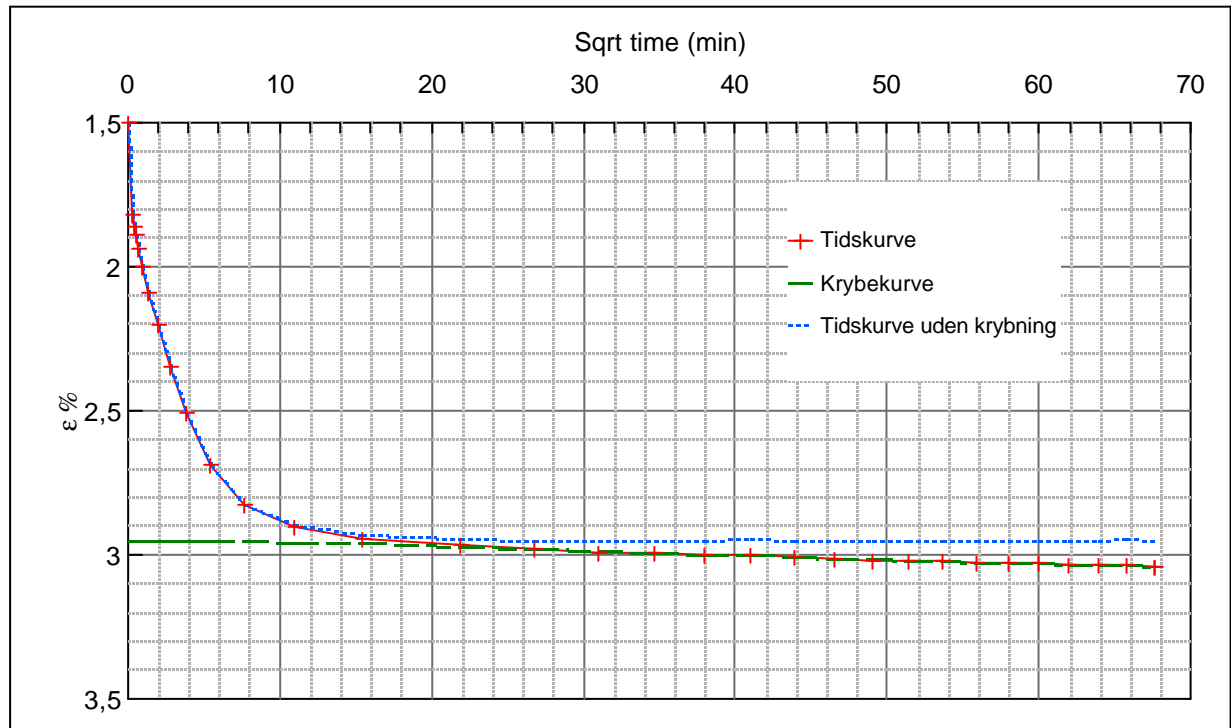
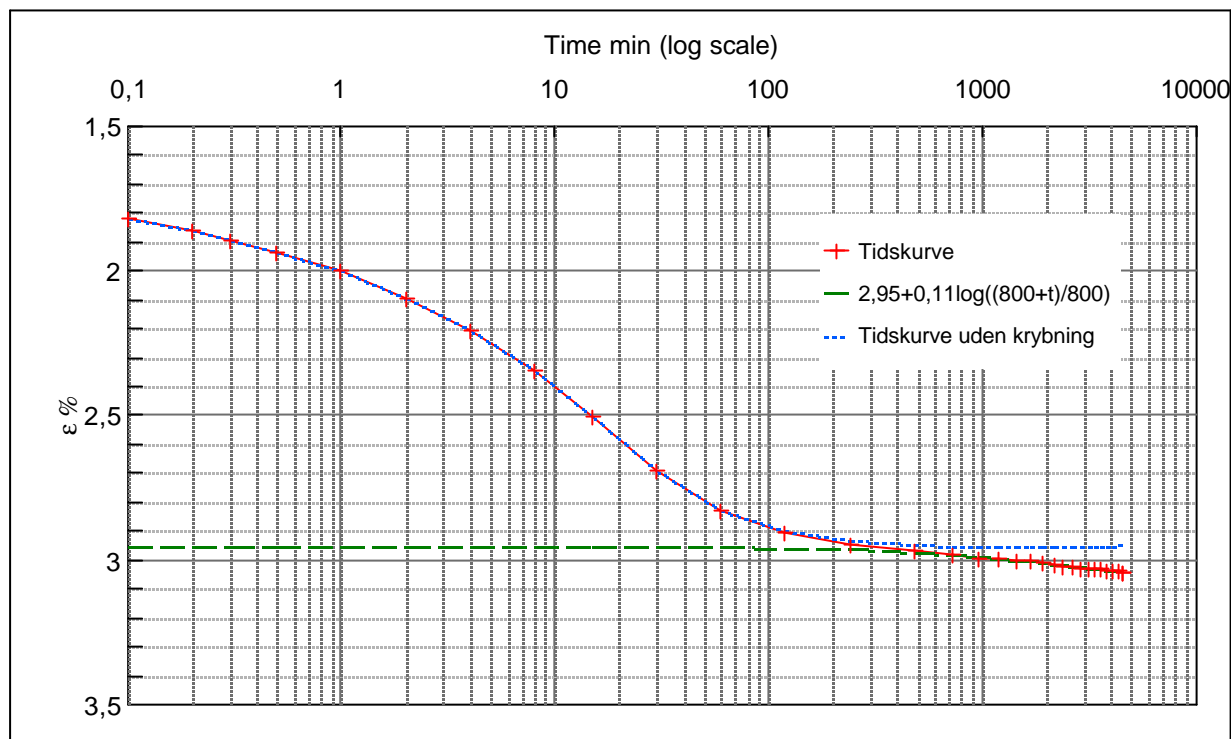
Step no 5	σ	kPa	ε	%	ε_i		tc in sec	960
	Before	1.043,3	ε_0	0,42	$\varepsilon_c \%$	1,46	K i kPa	100.406
	After	2.084,2	$\varepsilon_{\#}$	1,51	ε_s	0,05	k10 m/sec	9,9E-11
					ε_{kyb}	0,05	ck10 m ² /sec	1,01E-06



Material:	Clay middle jura	
Bor no :	A III	Depth: 162 m.b.s
Lab. no:	k 26	Insitu stress: ~1620 kPa

Job:	Anholt	AAU
		Encl. No 5.7
Executed:	AMS/gt	Check:
Approved:		

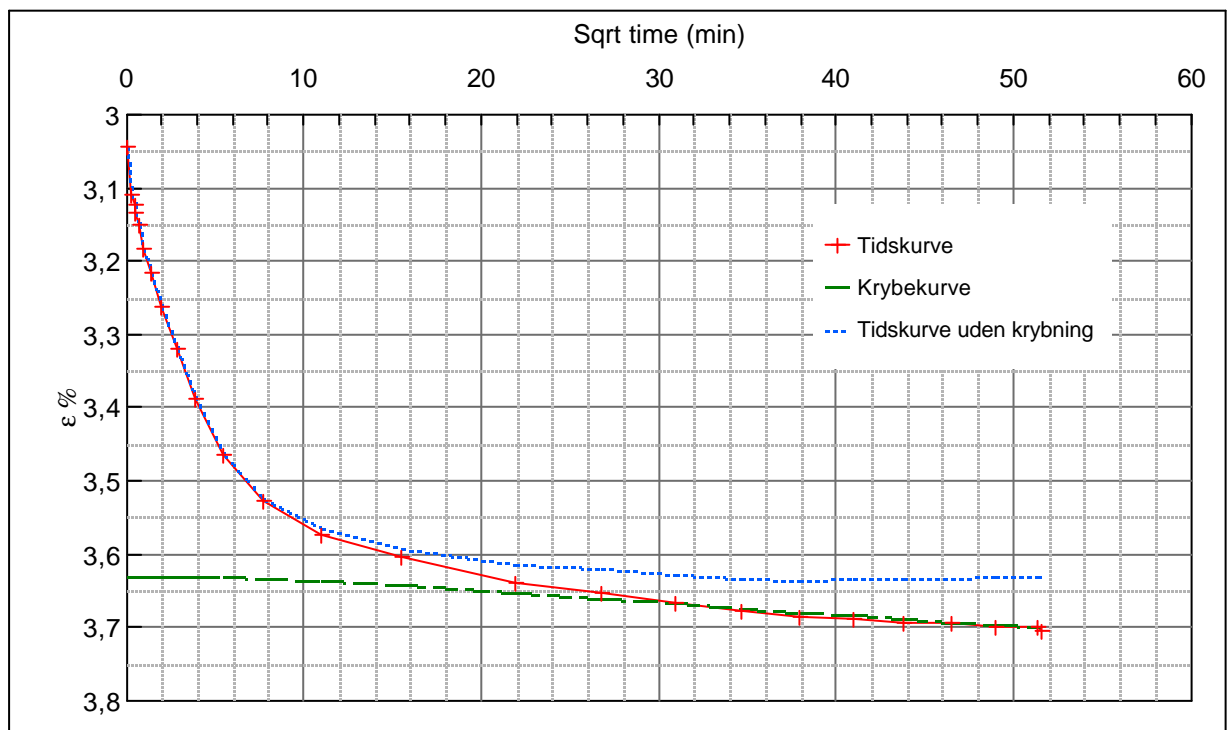
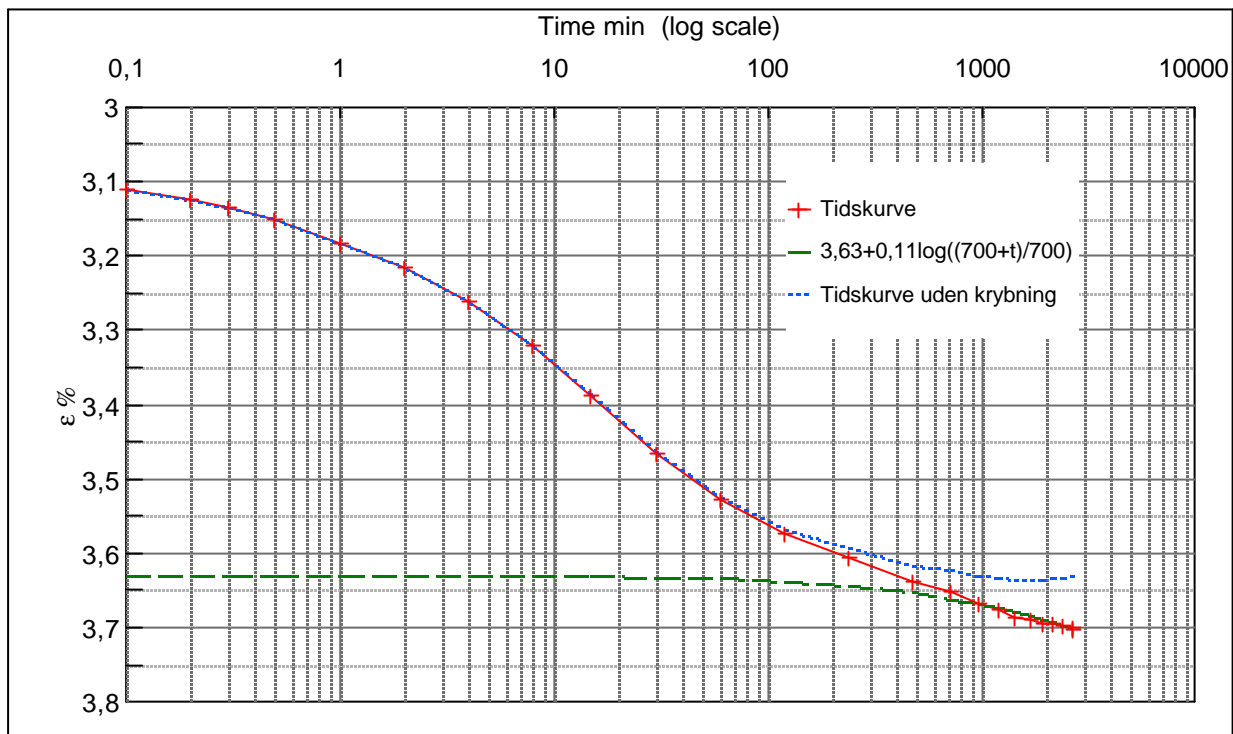
Step no 6	σ	kPa	ϵ	%	ϵ_i		tc in sec	2160
	Before	2.084,2	ϵ_0	1,50	$\epsilon_c \%$	2,95	K i kPa	143.900
	After	4.165,9	$\epsilon_{\#}$	3,04	ϵ_s	0,08	k10 m/sec	3,1E-11
					ϵ_{kyb}	0,09	ck10 m ² /sec	4,49E-07



Material:	Clay middle jura	
Bor no :	A III	Depth: 162 m.b.s
Lab. no:	k 26	Insitu stress: ~1620 kPa

Job:	Anholt	AAU
	Encl. No	5.8
Executed:	AMS/gt	Check:
Approved:		

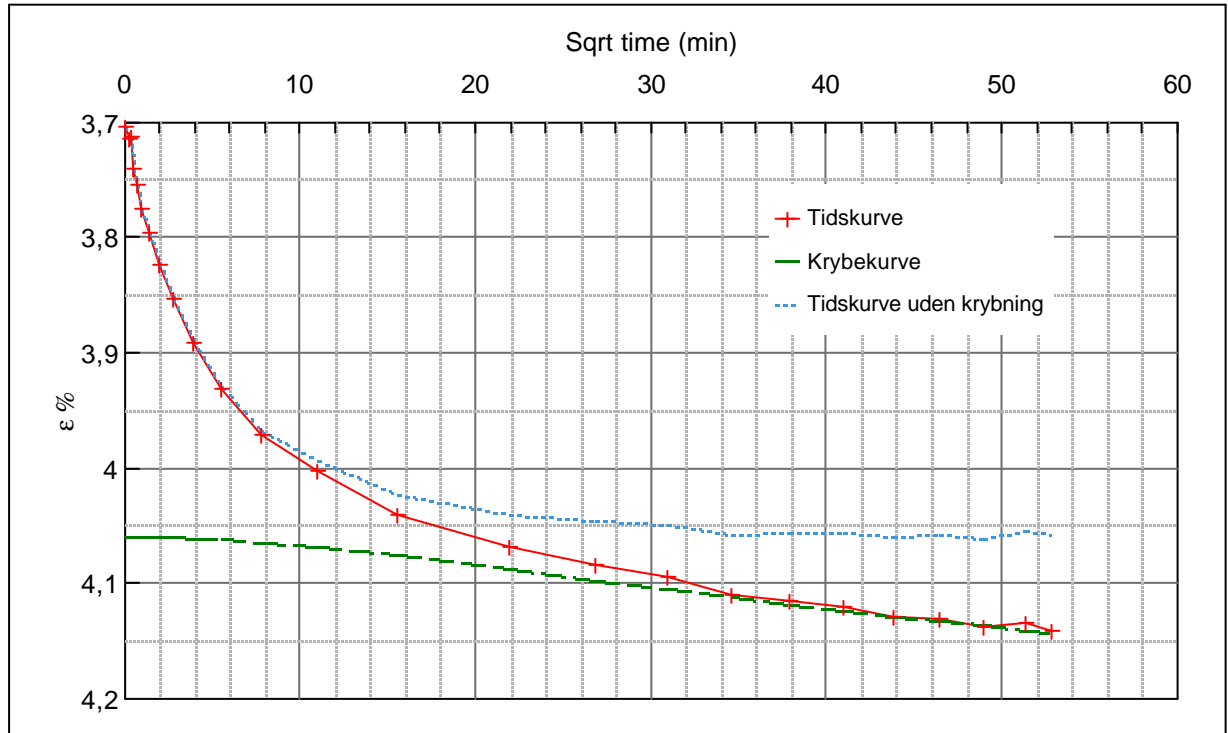
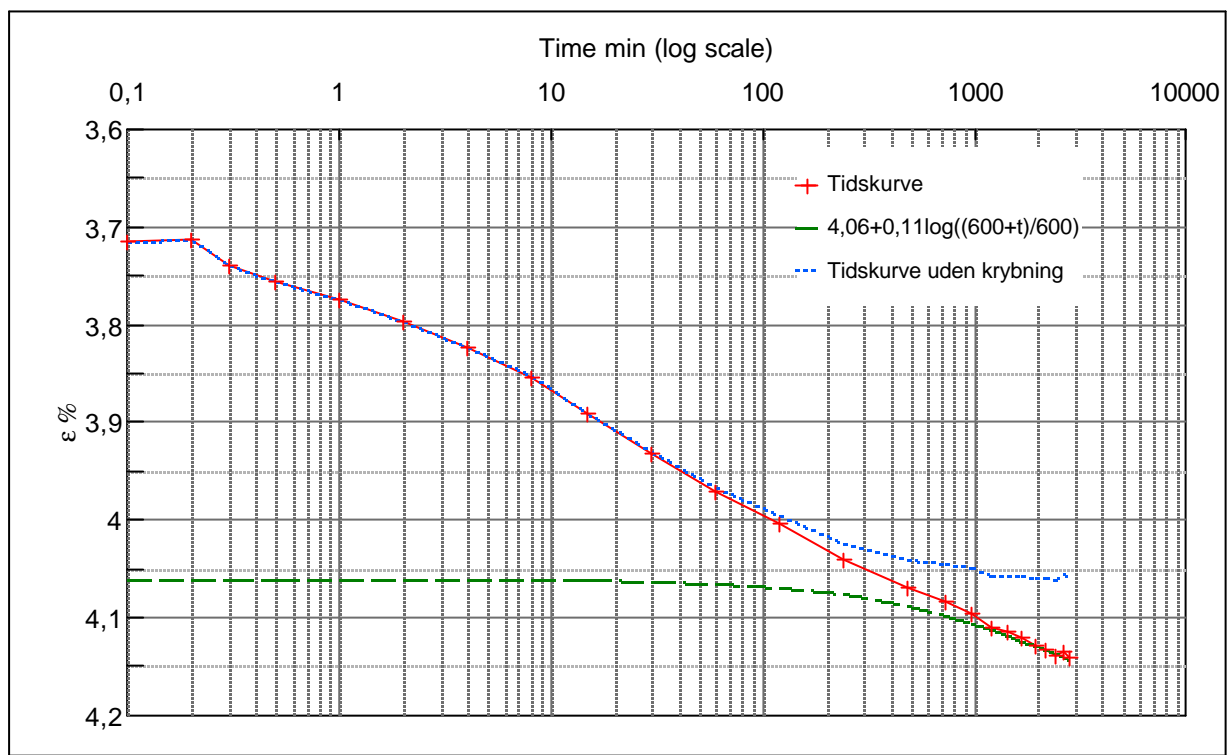
Step no 7	σ	kPa	ϵ	%	ϵ_i		tc in sec	2160
	Before	4.165,9	ϵ_0	3,04	$\epsilon_c \%$	3,63	K i kPa	236.562
	After	5.553,8	ϵ_{\sim}	3,70	ϵ_s	0,08	k10 m/sec	1,9E-11
					ϵ_{kryb}	0,07	ck10 m ² /sec	4,49E-07



Material:	Clay middle jura	
Bor no :	A III	Depth: 162 m.b.s
Lab. no:	k 26	Insitu stress: ~1620 kPa

Job:	Anholt	AAU
	Encl. No	5.9
Executed:	AMS/gt	Check:
Approved:		

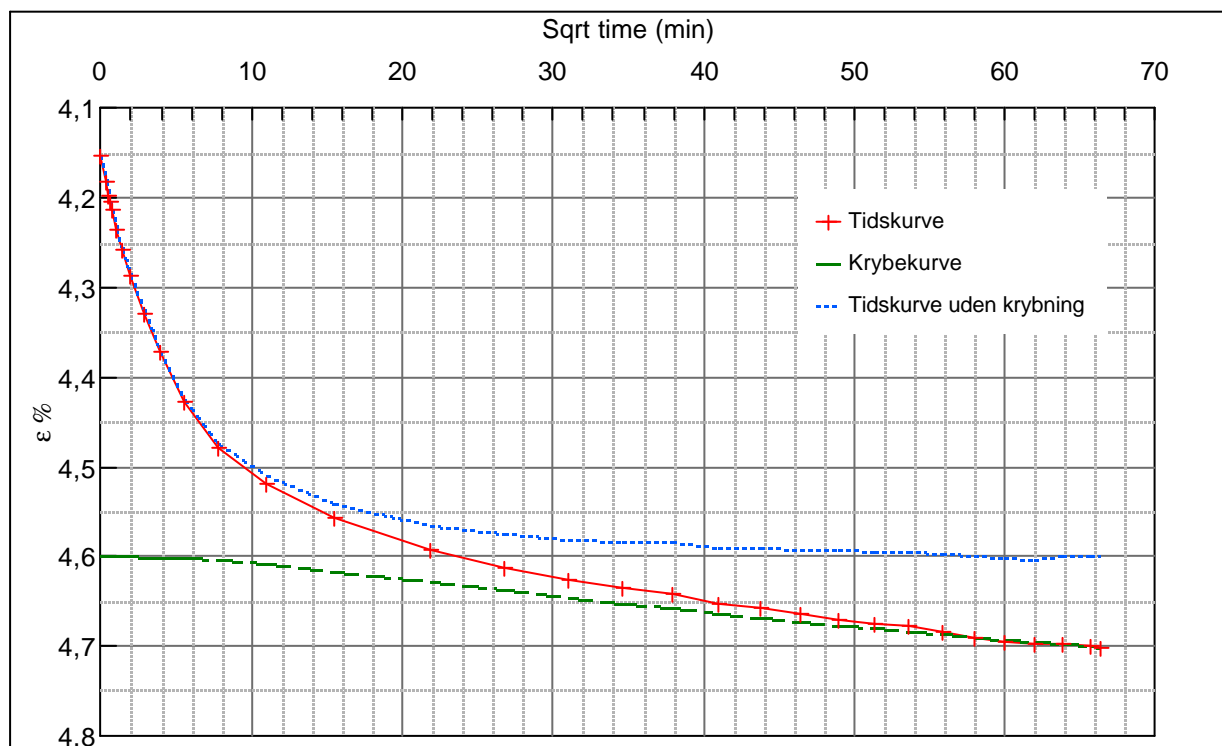
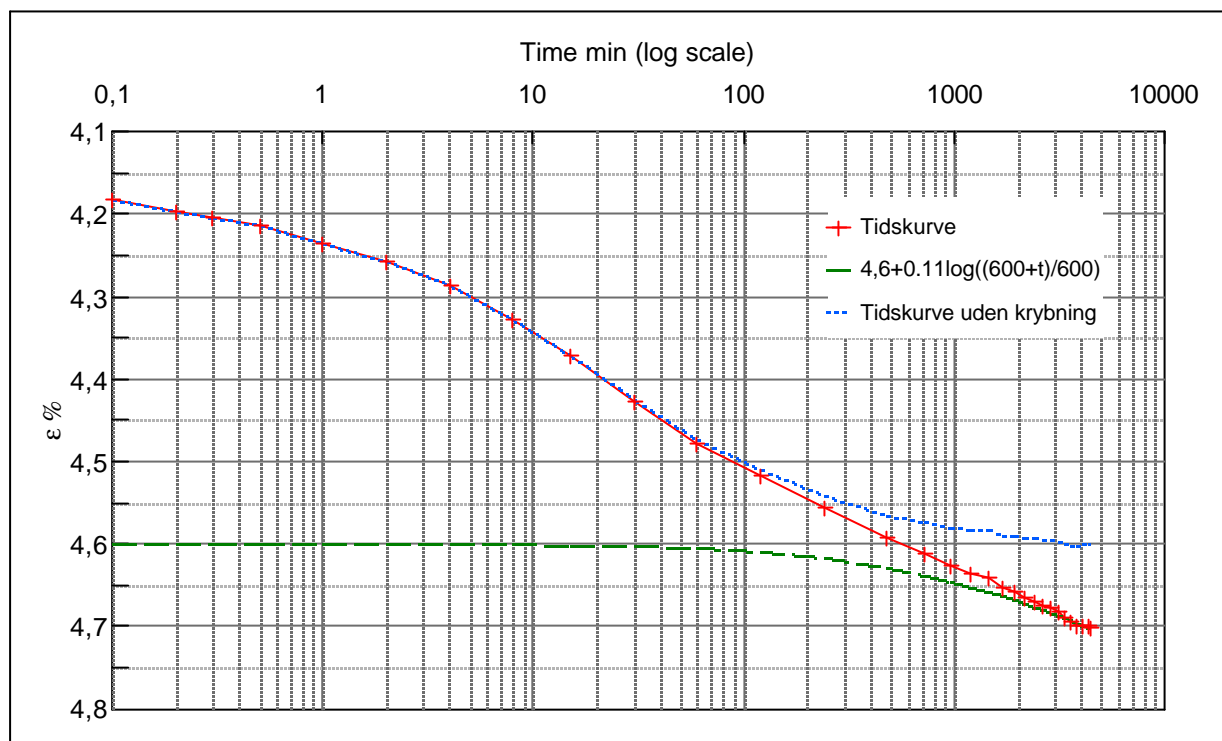
Step no 8	σ	kPa	ε	%	ε_i	tc in sec	2940	
	Before	5.553,8	ε_0	3,70	$\varepsilon_c \%$	4,06	K i kPa	291.834
	After	6.594,6	$\varepsilon_{\#}$	4,14	ε_s	0,09	k10 m/sec	1,1E-11
			ε_{kyb}	0,08		ck10 m ² /sec	3,30E-07	



Material:	Clay middle jura	
Bor no :	A III	Depth: 162 m.b.s
Lab. no:	k 26	Insitu stress: ~1620 kPa

Job:	Anholt	AAU
		Encl. No 5.10
Executed:	AMS/gt	Check:
Approved:		

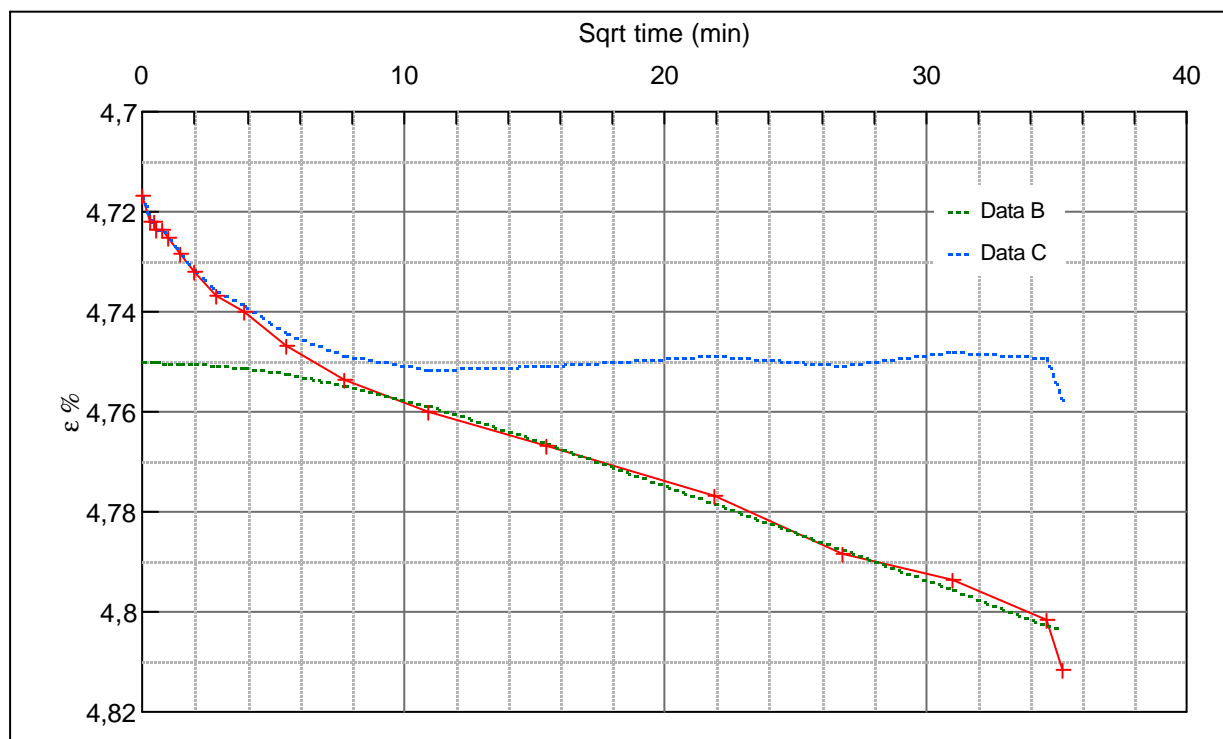
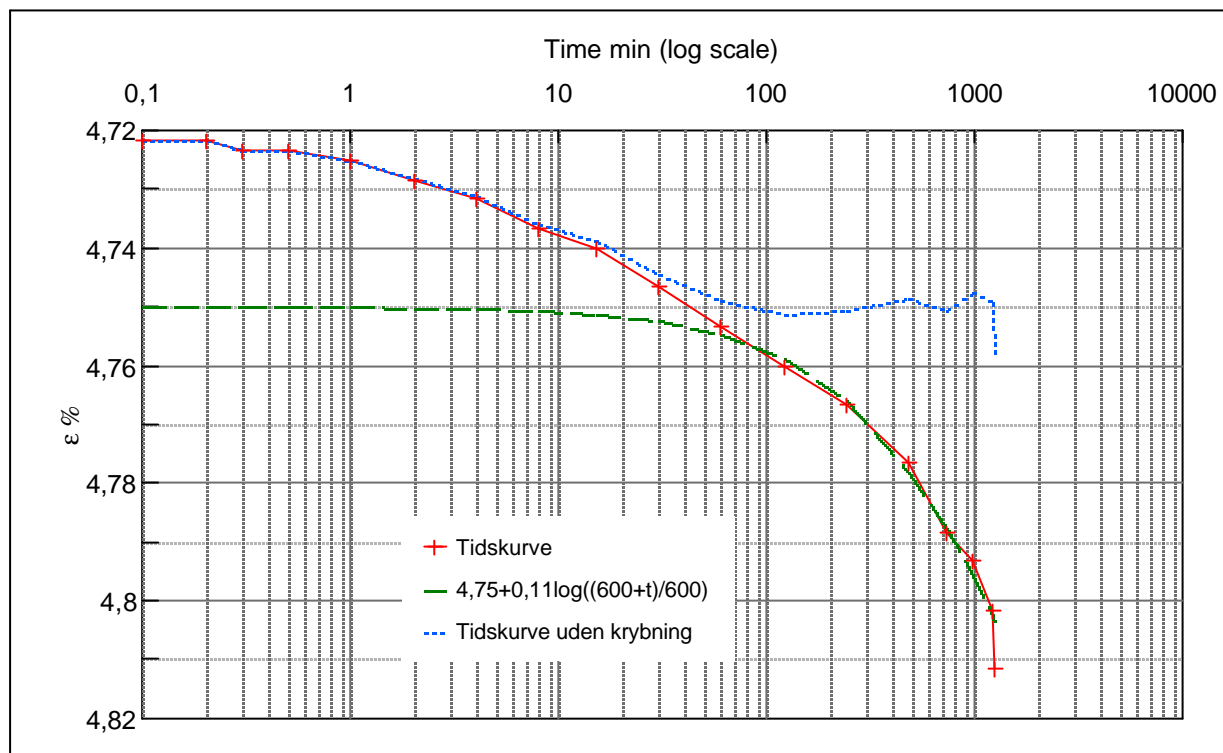
Step no 9	σ	kPa	ε	%	ε_i	tc in sec	2940	
	Before	6.594,6	ε_0	4,15	$\varepsilon_c \%$	4,6	K i kPa	310.708
	After	7.982,5	$\varepsilon_{\#}$	4,70	ε_s	0,11	k10 m/sec	1,0E-11
					ε_{kyb}	0,10	ck10 m ² /sec	3,30E-07



Material:	Clay middle jura	
Bor no :	A III	Depth: 162 m.b.s
Lab. no:	k 26	Insitu stress: ~1620 kPa

Job:	Anholt	AAU
		Encl. No
		5.11
Executed:	AMS/gt	Check:
Approved:		

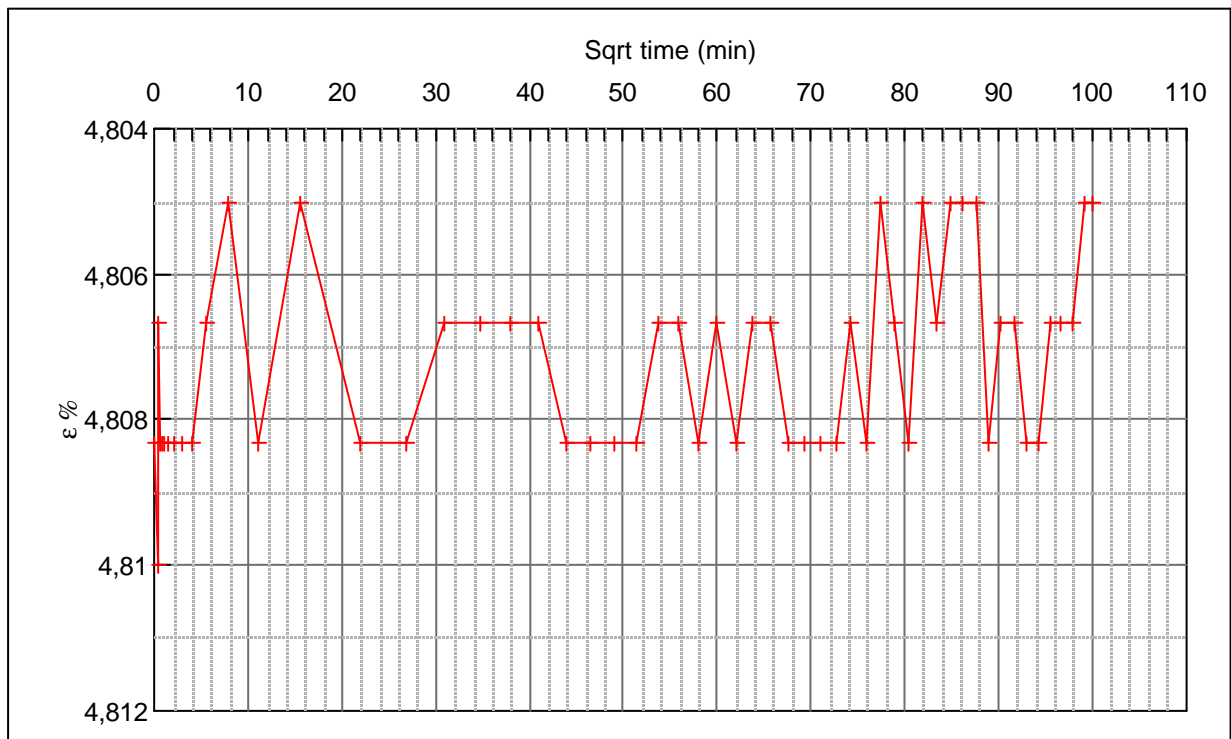
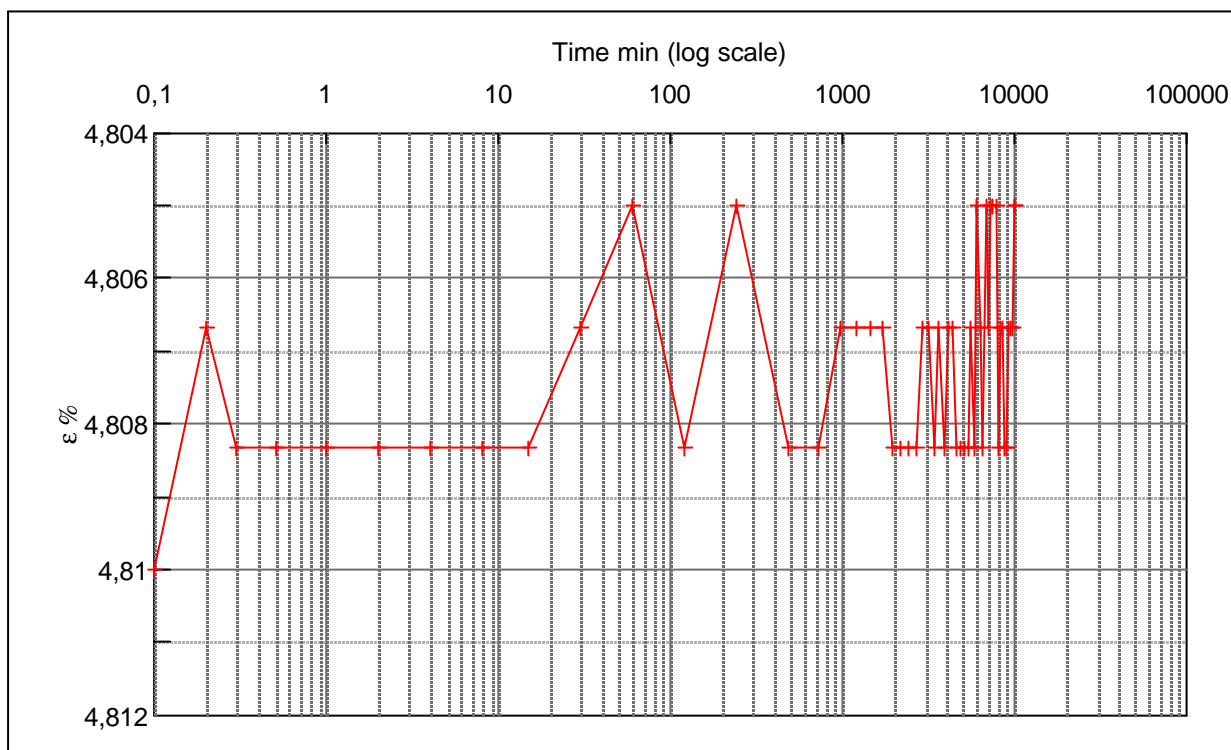
Step no	σ	kPa	ε	%	ε_i	tc in sec	1500	
	Before	7.982,5	ε_0	4,72	$\varepsilon_c \%$	4,75	K i kPa	1.040.873
	After	8.329,4	$\varepsilon_{\#}$	4,81	ε_s	0,11	k10 m/sec	6,1E-12
			ε_{kyb}	0,06	ck10 m ² /sec	6,47E-07		



Material:	Clay middle jura	
Bor no :	A III	Depth: 162 m.b.s
Lab. no:	k 26	Insitu stress: ~1620 kPa

Job:	Anholt	AAU
		Encl. No
		5.12
Executed:	AMS/gt	Check:
Approved:		

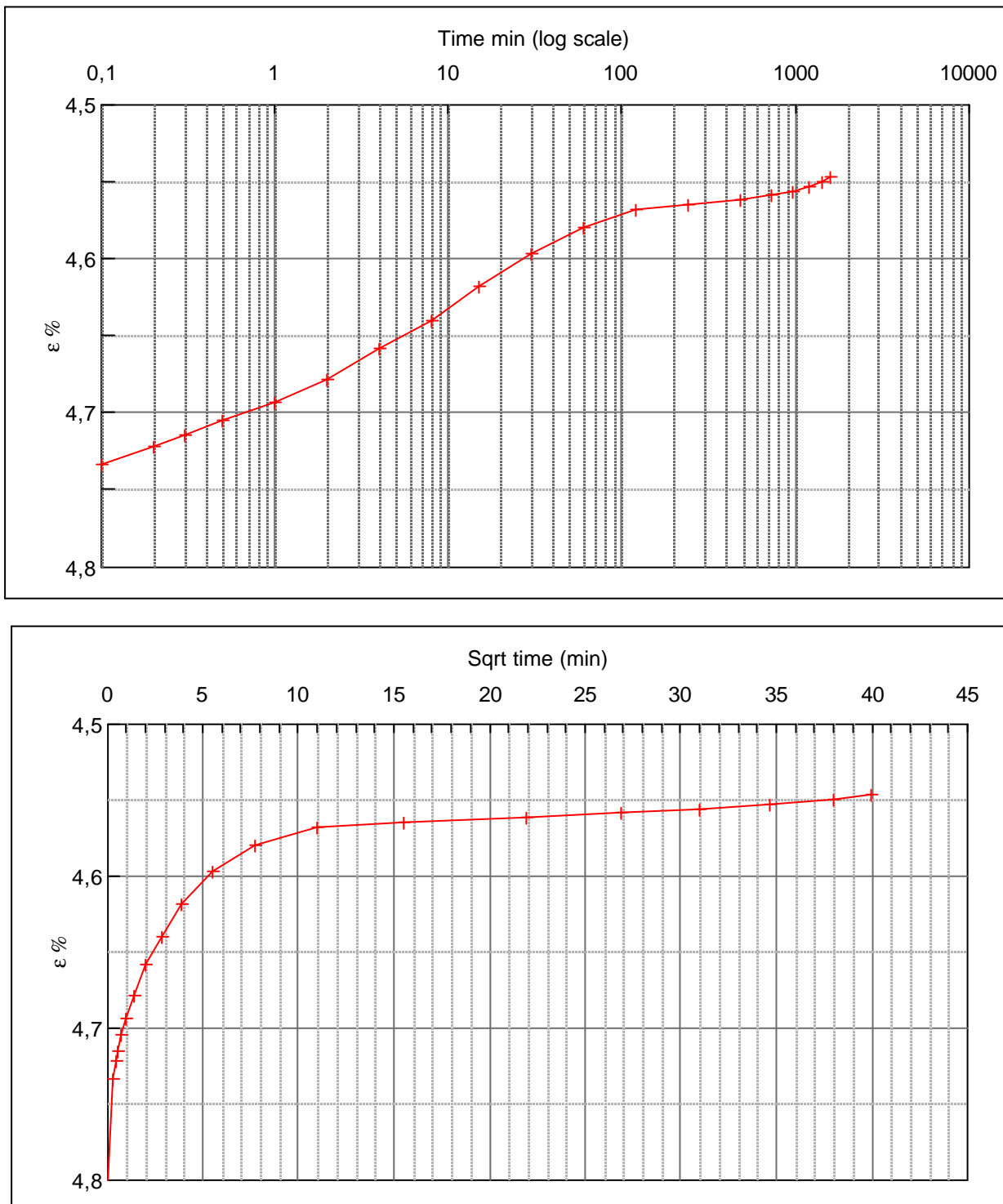
Step no 11	σ	kPa	ϵ	%	ϵ_i	tc in sec	60
	Before	8.329,4	ϵ_0	4,81	$\epsilon_c \%$	K i kPa	31.226.200
	After	7.288,5	$\epsilon_{\#}$	4,81	ϵ_s	k10 m/sec	5,1E-12
			ϵ_{kyb}		ck10 m ² /sec	1,62E-05	



Material:	Clay middle jura	
Bor no :	A III	Depth: 162 m.b.s
Lab. no:	k 26	Insitu stress: ~1620 kPa

Job:	Anholt	AAU
		Encl. No
		5.13
Executed:	AMS/gt	Check:
Approved:		

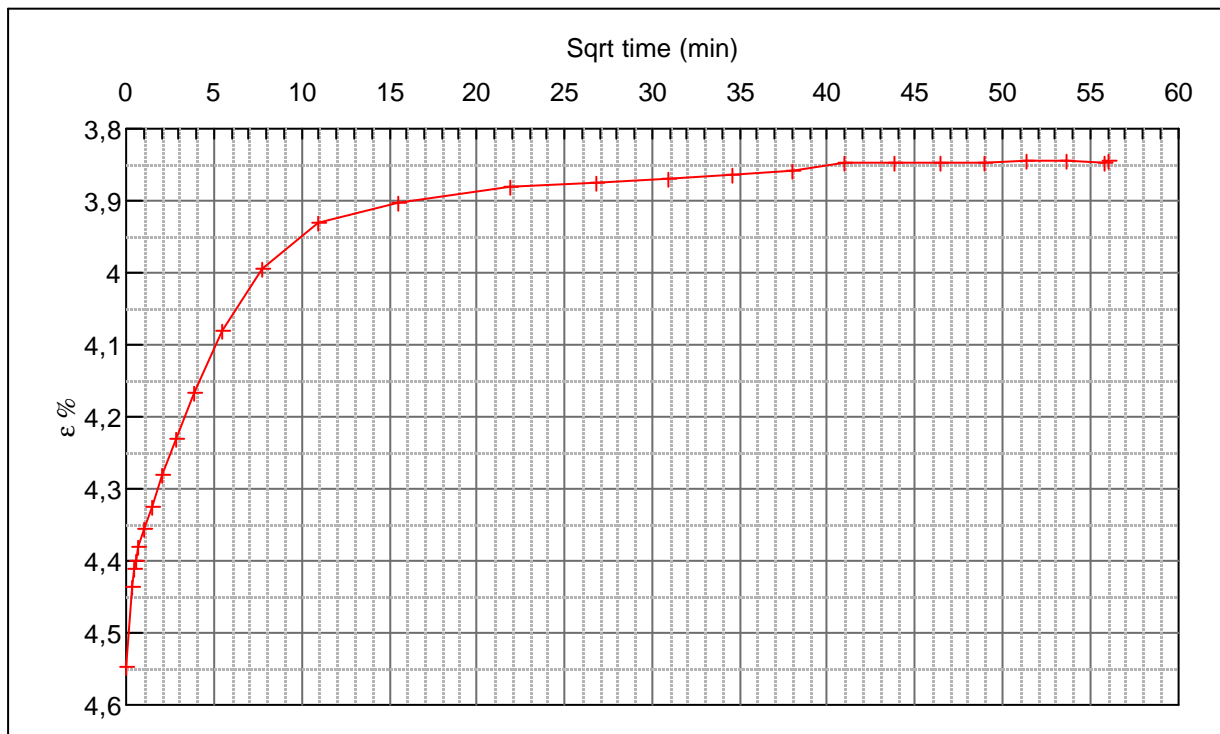
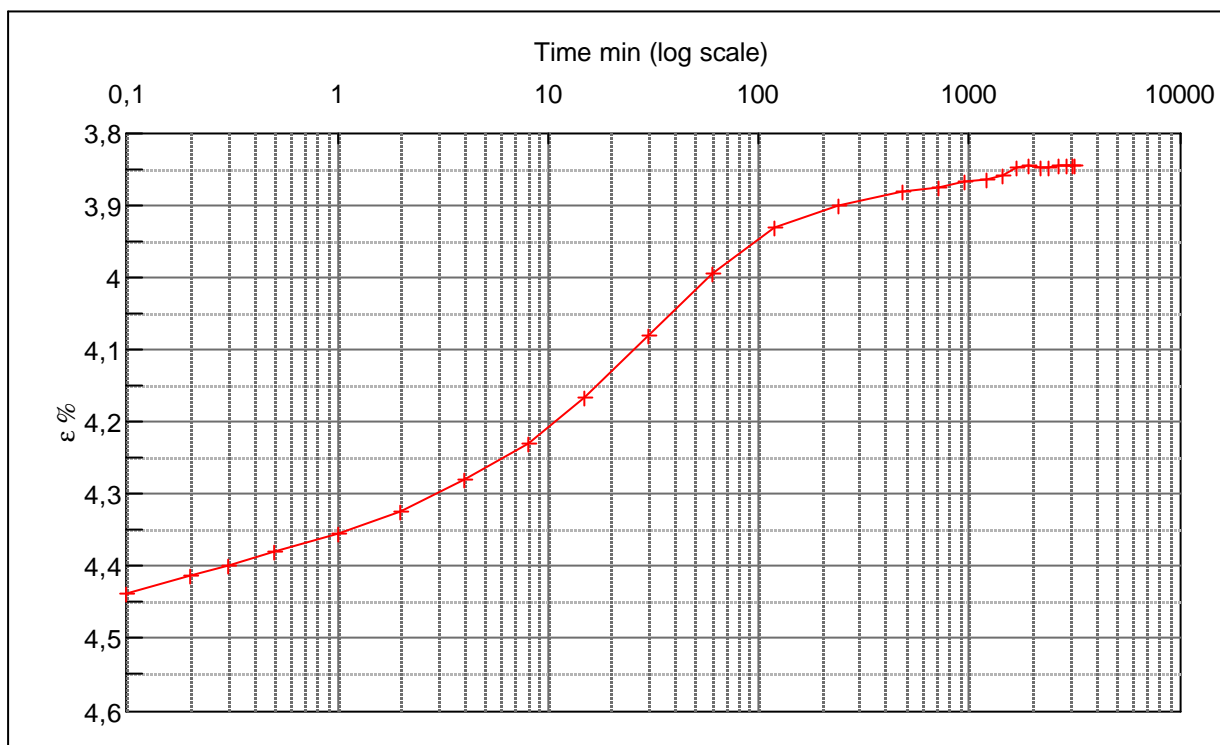
Step no 12	σ	kPa	ε	%	ε_i	ε_i ε_c % ε_s ε_{ky}	tc in sec	1500
	Before	7.288,5	ε_0	4,80	ε_i		K i kPa	1.218.187
	After	4.165,9	$\varepsilon_{\#}$	4,55	ε_c		k10 m/sec	5,2E-12
						ε_{ky}	ck10 m ² /sec	6,47E-07



Material:	Clay middle jura	
Bor no :	A III	Depth: 162 m.b.s
Lab. no:	k 26	Insitu stress: ~1620 kPa

Job:	Anholt	AAU
	Encl. No 5.14	
Executed:	AMS/gt	Check:
Approved:		

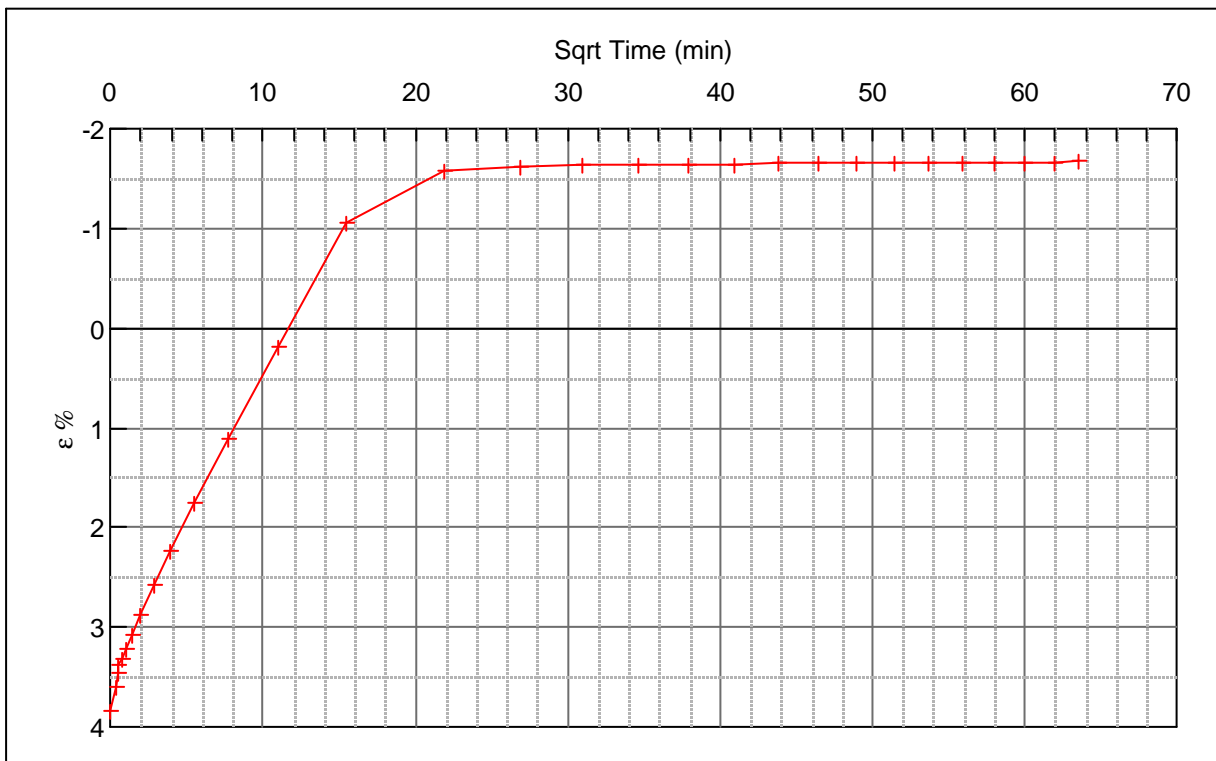
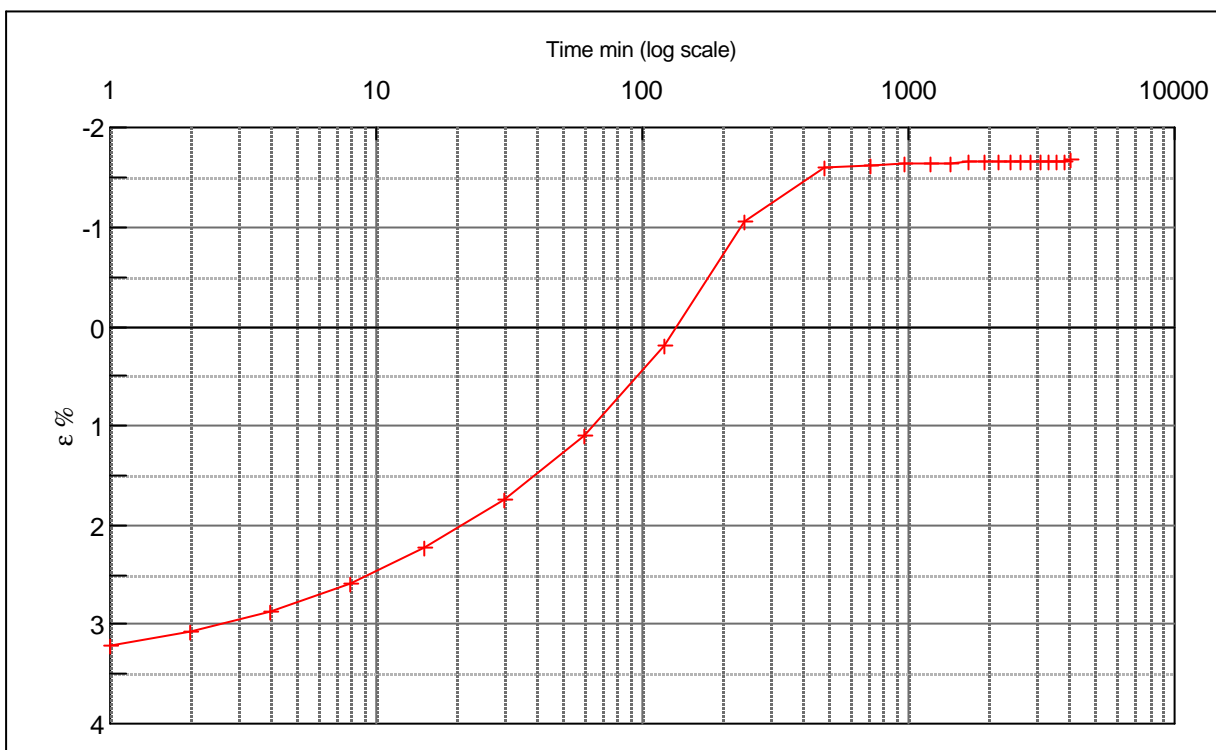
Step no 13	σ	kPa	ϵ	%	ϵ_i	tc in sec	4860	
	Before	4.165,9	ϵ_0	4,55	$\epsilon_c \%$	3,85	K i kPa	297.392
	After	2.084,2	$\epsilon_{-#}$	3,85	ϵ_s		k10 m/sec	6,6E-12
			ϵ_{kyb}			ck10 m ² /sec	2,00E-07	



Material:	Clay middle jura	
Bor no :	A III	Depth: 162 m.b.s
Lab. no:	k 26	Insitu stress: ~1620 kPa

Job:	Anholt	AAU
		Encl. No
		5.15
Executed:	AMS/gt	Check:
Approved:		

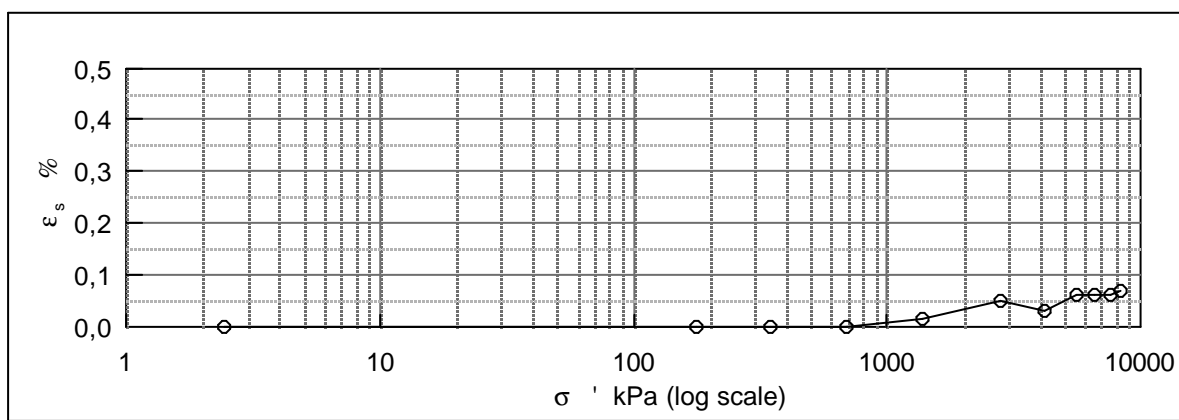
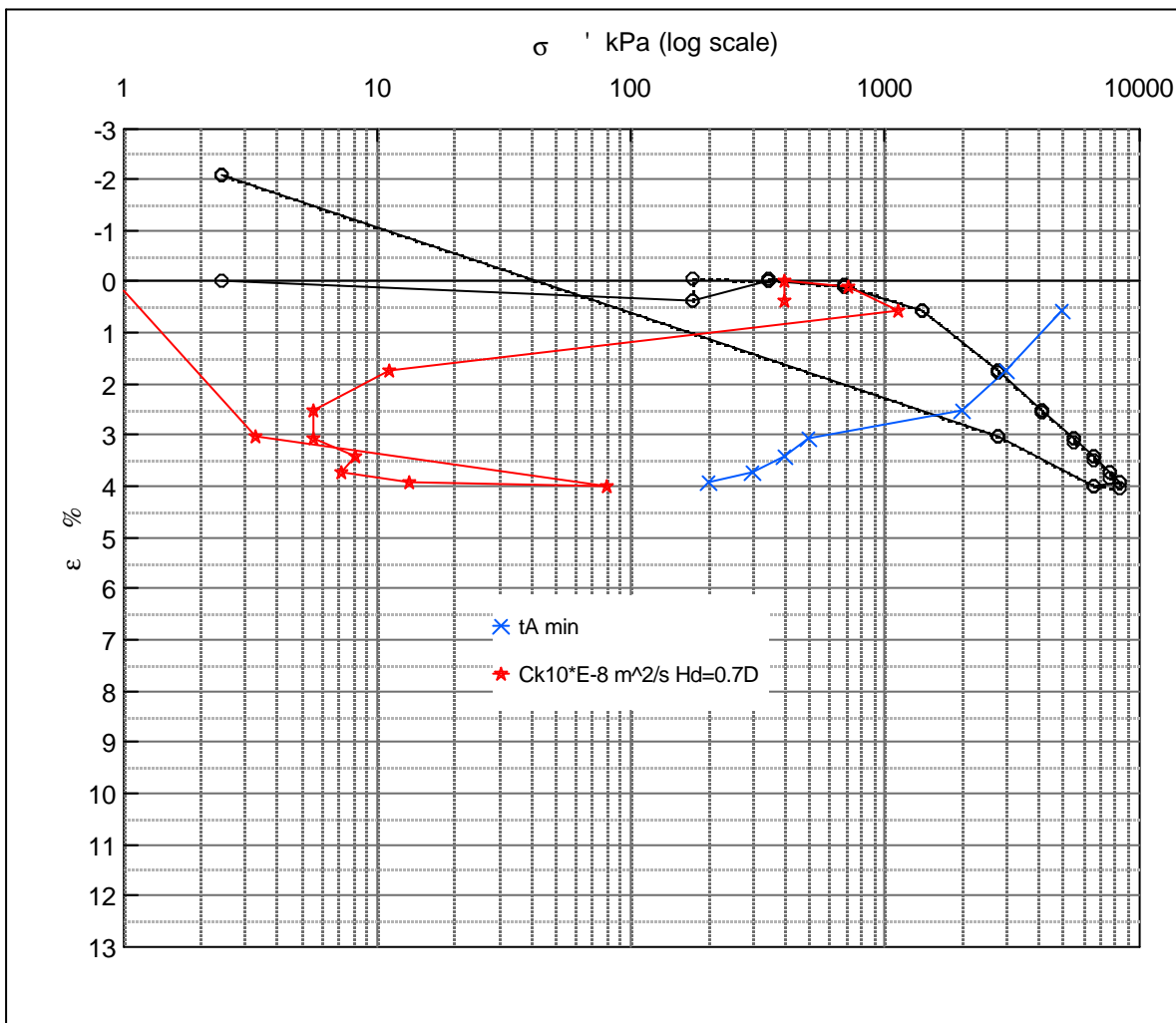
Step no	σ	kPa	ϵ	%	ϵ_i	tc in sec	17340		
	14	Before	2.084,2	ϵ_0	3,85	ϵ_c %	(1,69)	K i kPa	37.590
		After	2,43	$\epsilon_{\#}$	(1,69)	ϵ_s		k10 m/sec	1,5E-11
				ϵ_{kyb}		ck10 m ² /sec	5,59E-08		



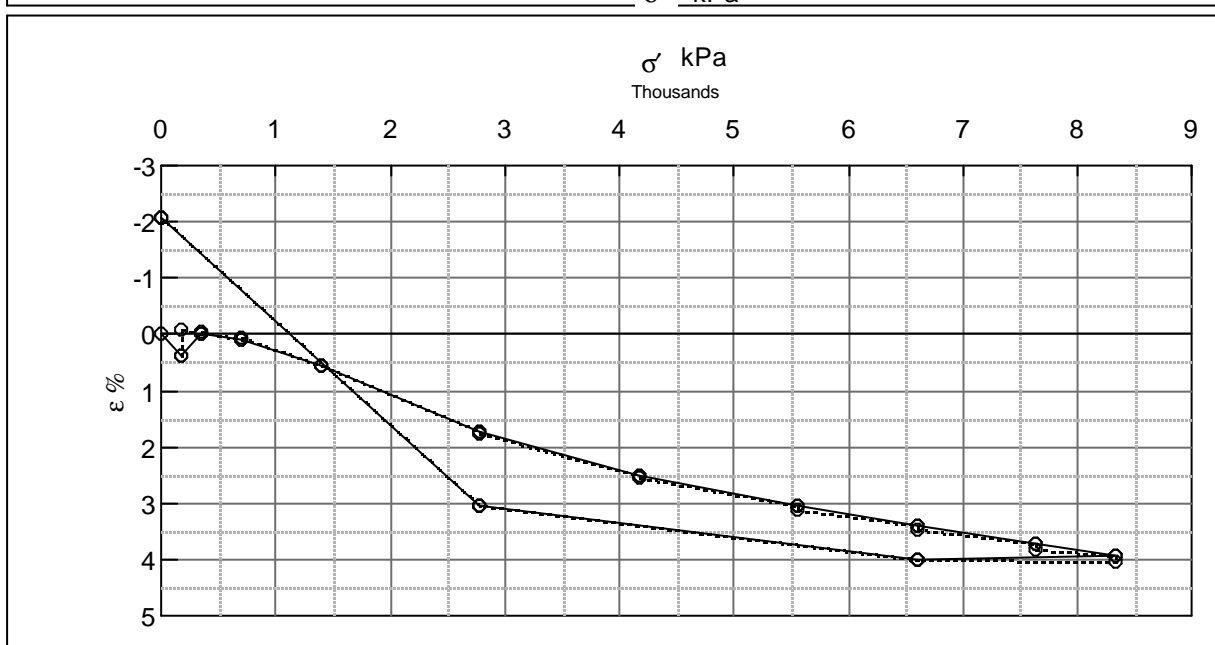
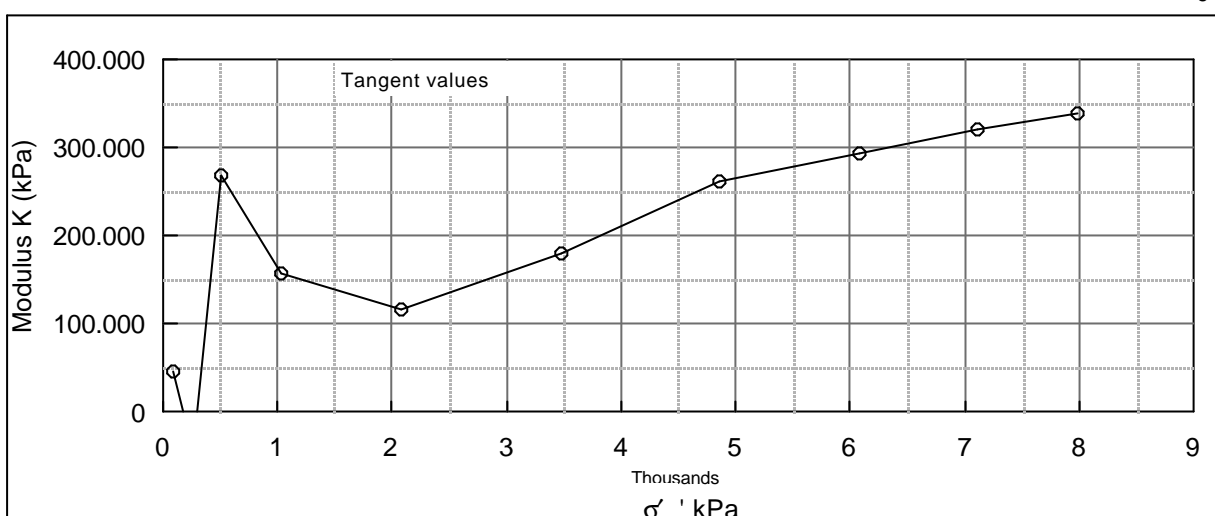
Material:	Clay middle jura	
Bor no :	A III	Depth: 162 m.b.s
Lab. no:	k 26	Insitu stress: ~1620 kPa

Job:	Anholt	AAU
		Encl. No
		5.16
Executed:	AMS/gt	Check:
Approved:		

Description of soil:				Water content %	Before	After
Clay, Lower Jura				Bulk density Mg / m ³	16,8	20,3
Bor no :	A IV	Overburden pressure σ' o	~3040 kPa	Grain density Mg / m ³	2,16	2,1
Lab. no:	k98	Vane strength c _v	kPa	Void ratio	~2,7	0,46
Level :	304 m.b.s	CPT - value q _c	MPa	Degr. of Saturation %	99	100
				Dimension H x D mm	30x60	30,1x60



Job: Anholt	AAU
Encl. No	6.1
Executed:	AMS/gt
Approved:	Check:

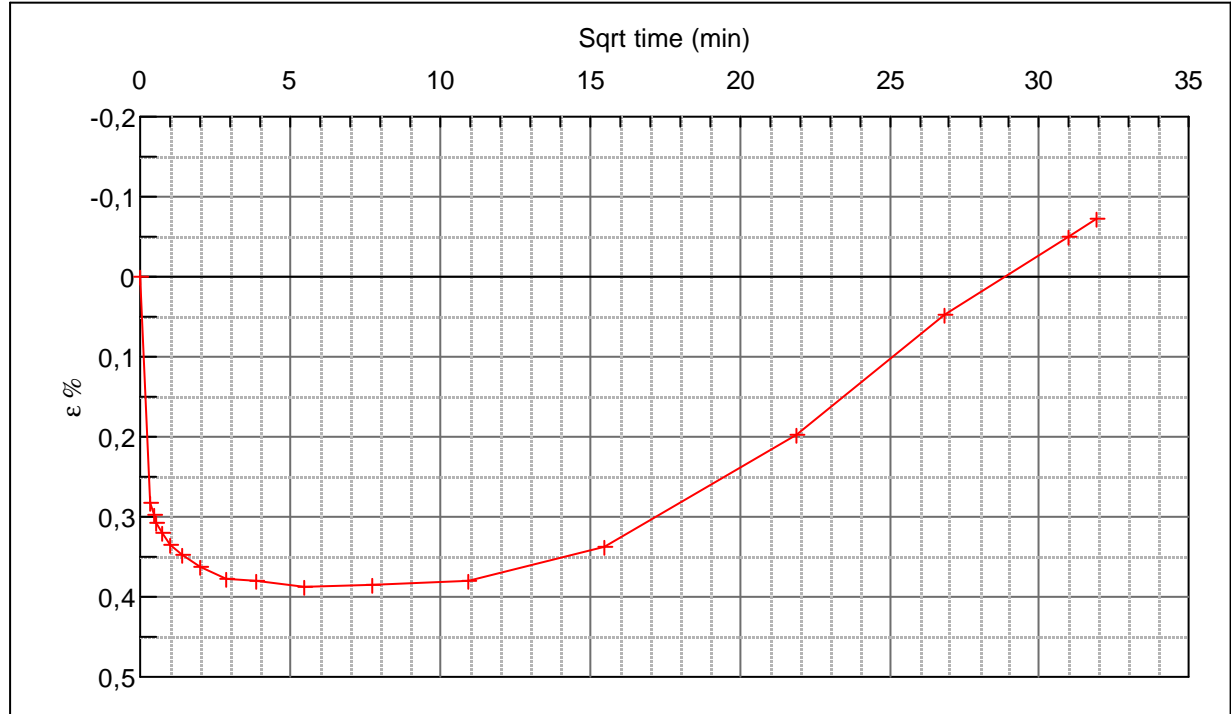
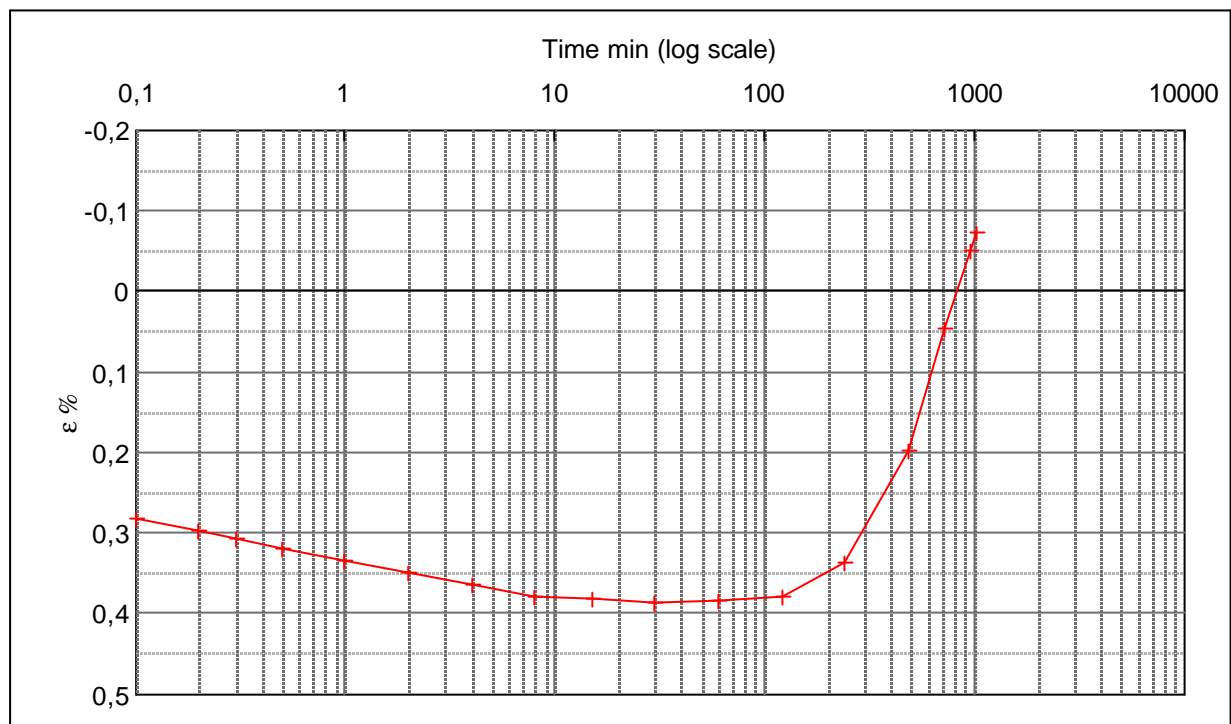


Test results	σ'	ϵ_c	ϵ_s	Ck10	σ'_m	K	w
	kPa	%	% / lct	m ² /s	kPa	kPa	%
Q ~5 %	2,4	0,00	0,00				16,8
Qs ~0.07 %	175,9	0,38	0,00	4,0E-06	89,2	45652,3	16,5
σ_{pc} >3000 kPa	349,4	(0,03)	0,00	4,0E-06	262,6	-42311,9	16,8
	696,3	0,10	0,00	7,2E-06	522,9	266890,6	16,7
	1.390,3	0,55	0,02	1,1E-05	1.043,3	155936,1	16,3
	2.778,1	1,74	0,05	1,1E-07	2.084,2	116136,5	15,3
	4.165,9	2,52	0,03	5,6E-08	3.472,0	177927,1	14,7
	5.553,8	3,05	0,06	5,6E-08	4.859,8	261854,9	14,2
	6.594,6	3,41	0,06	8,2E-08	6.074,2	293203,8	13,9
	7.635,5	3,73	0,06	7,2E-08	7.115,1	320268,7	13,6
	8.329,4	3,94	0,07	1,3E-07	7.982,5	336852,2	13,5
	6.594,6	3,99		8,0E-07	7.462,0	-3401546,8	13,4
	2.778,1	3,03		3,3E-08	4.686,4	399637,2	14,2
	2,4	(2,08)		3,8E-09	1.390,3	54265,1	18,6

Remark:
Sandsynligvis en genbelastningsgren
Den normalkonsoliderede tilstand er ikke nået

Job: Anholt	AAU
	Encl. No 6.2
Executed: AMS/gt	Check:
Approved:	

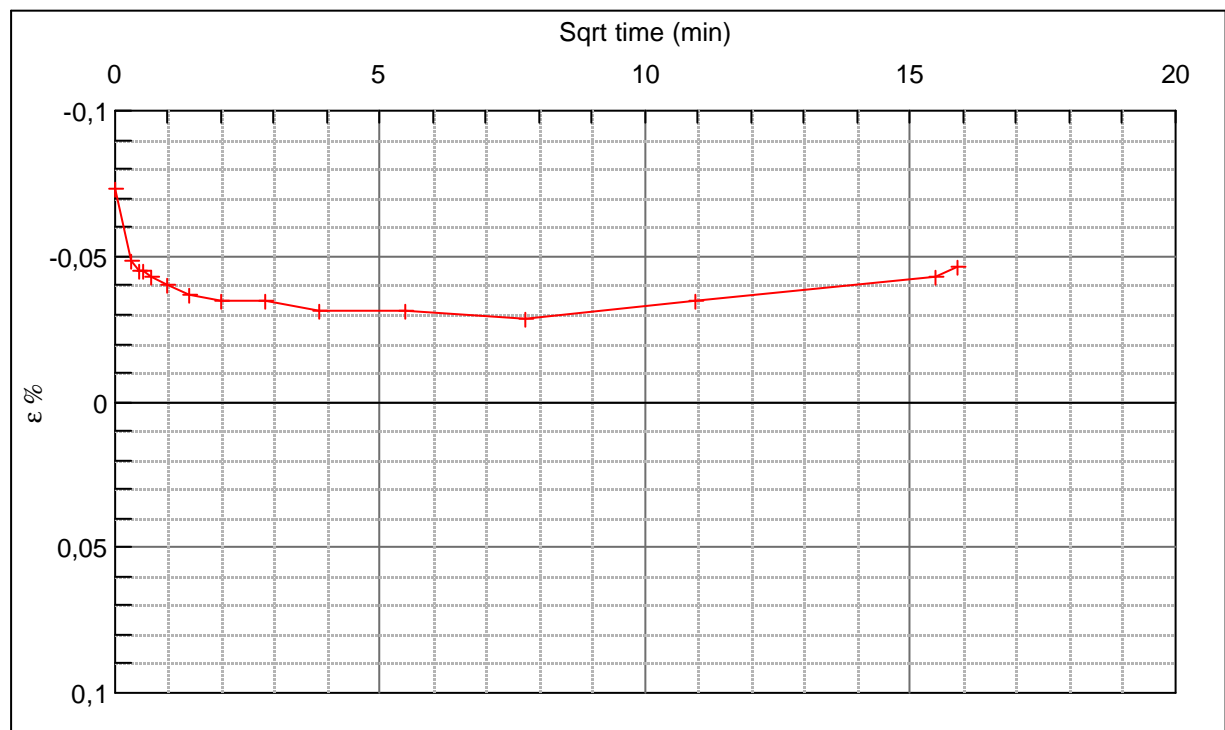
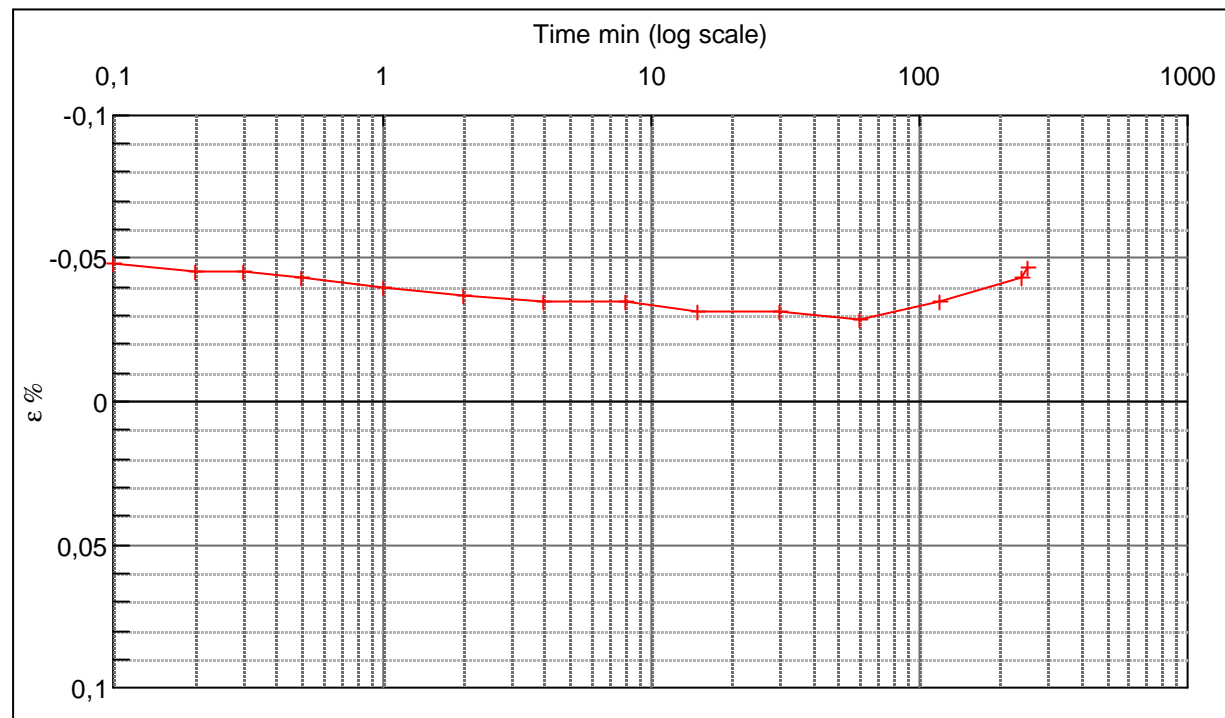
Step no 1	σ	kPa	ε	%	ε_i		tc in sec	240
	Before	2,43	ε_0	0,00	ε_c %	0,38	K i kPa	45.652
	After	175,9	$\varepsilon_{\#}$	(0,07)	ε_s		k10 m/sec	8,7E-10
					ε_{kyb}		ck10 m ² /sec	4,04E-06



Material:	Clay, Lower Jura	
Bor no :	A IV	Depth: 304 m.b.s
Lab. no:	k98	Insitu stress: ~3040 kPa

Job:	Anholt	AAU
		Encl. No 6.3
Executed:	AMS/gt	Check:
Approved:		

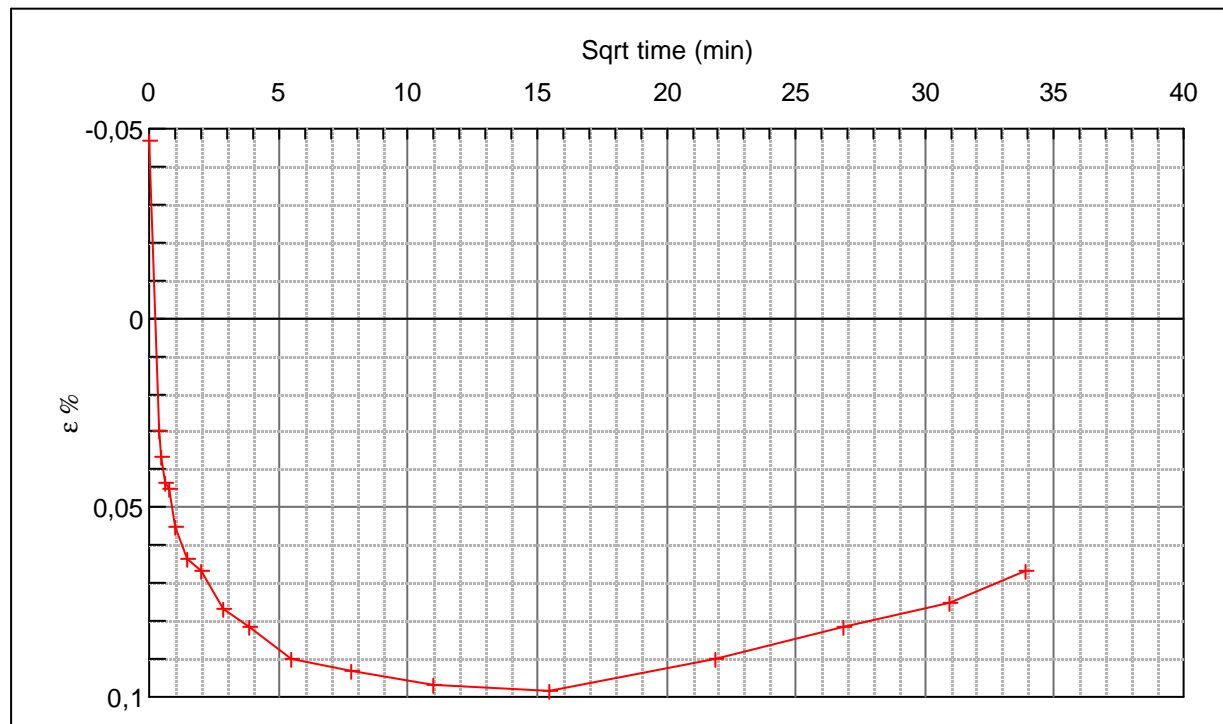
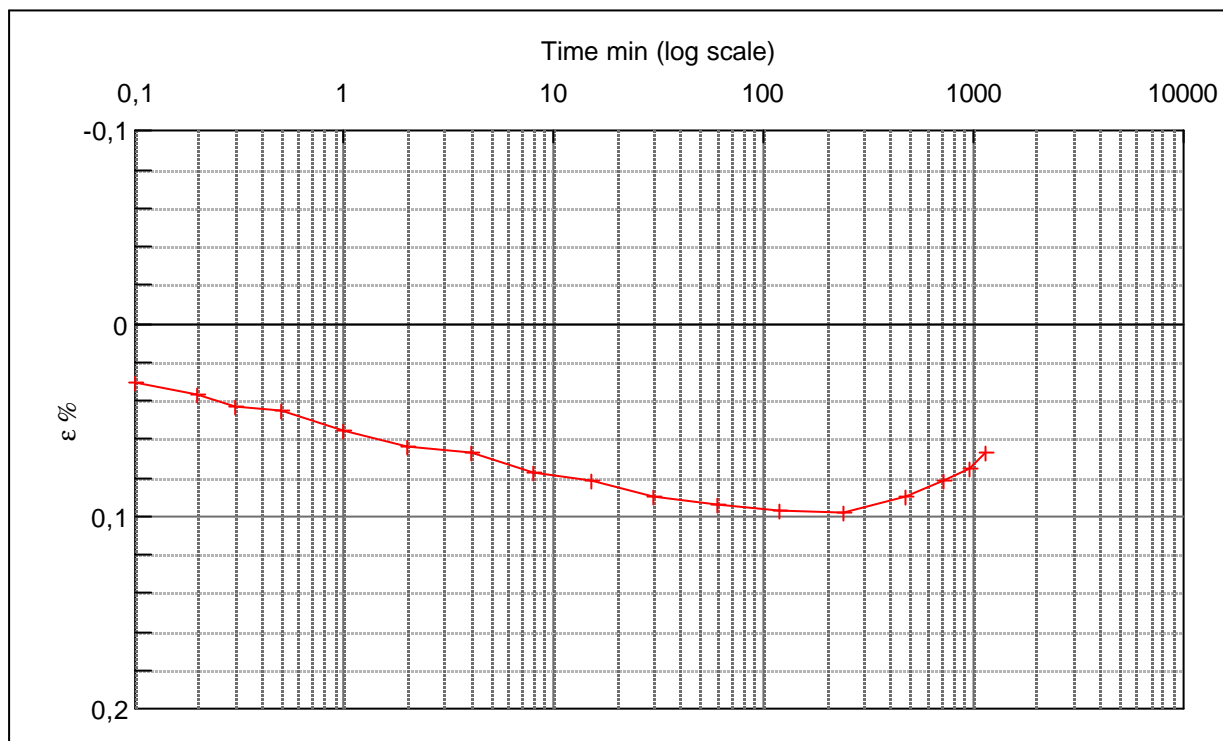
Step no 2	σ	kPa	ε	%	ε_i		tc in sec	240
	Before	175,9	ε_0	(0,07)	ε_c %	(0,03)	K i kPa	400.336
	After	349,4	$\varepsilon_{\#}$	(0,05)	ε_s		k10 m/sec	9,9E-11
					ε_{kyb}		ck10 m ² /sec	4,04E-06



Material:	Clay, Lower Jura	
Bor no :	A IV	Depth: 304 m.b.s
Lab. no:	k98	Insitu stress: ~3040 kPa

Job:	Anholt	AAU
		Encl. No 6,4
Executed:	AMS/gt	Check:
Approved:		

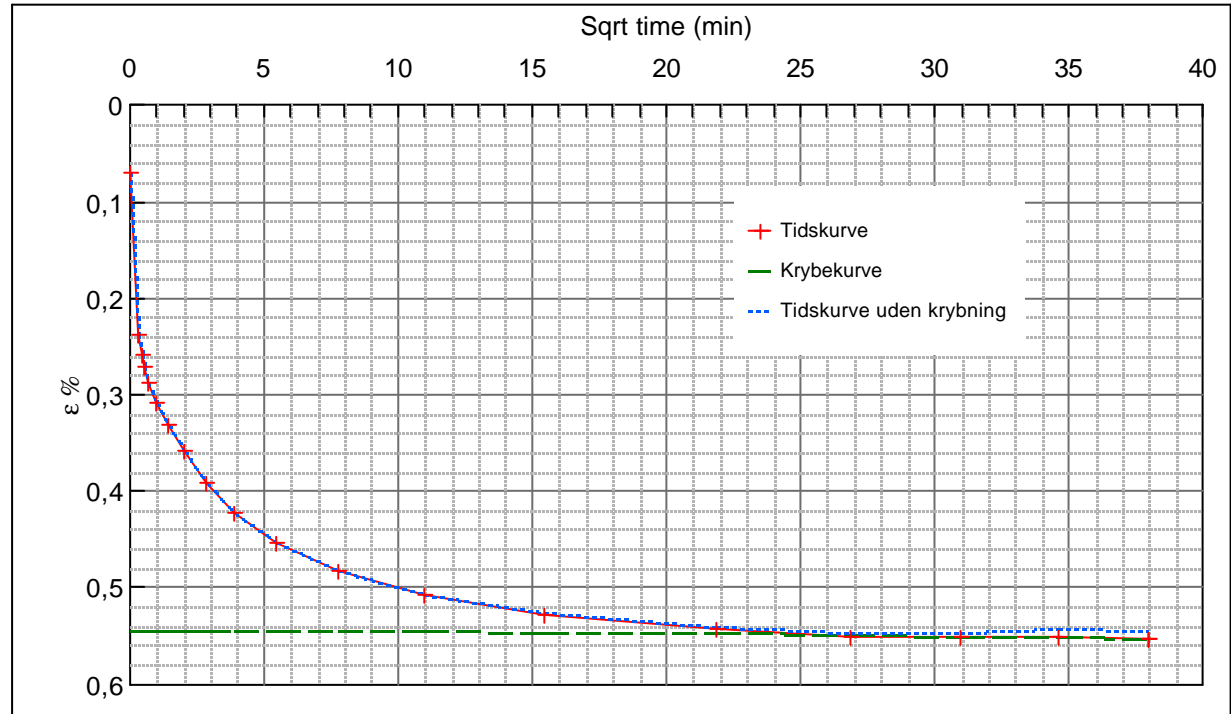
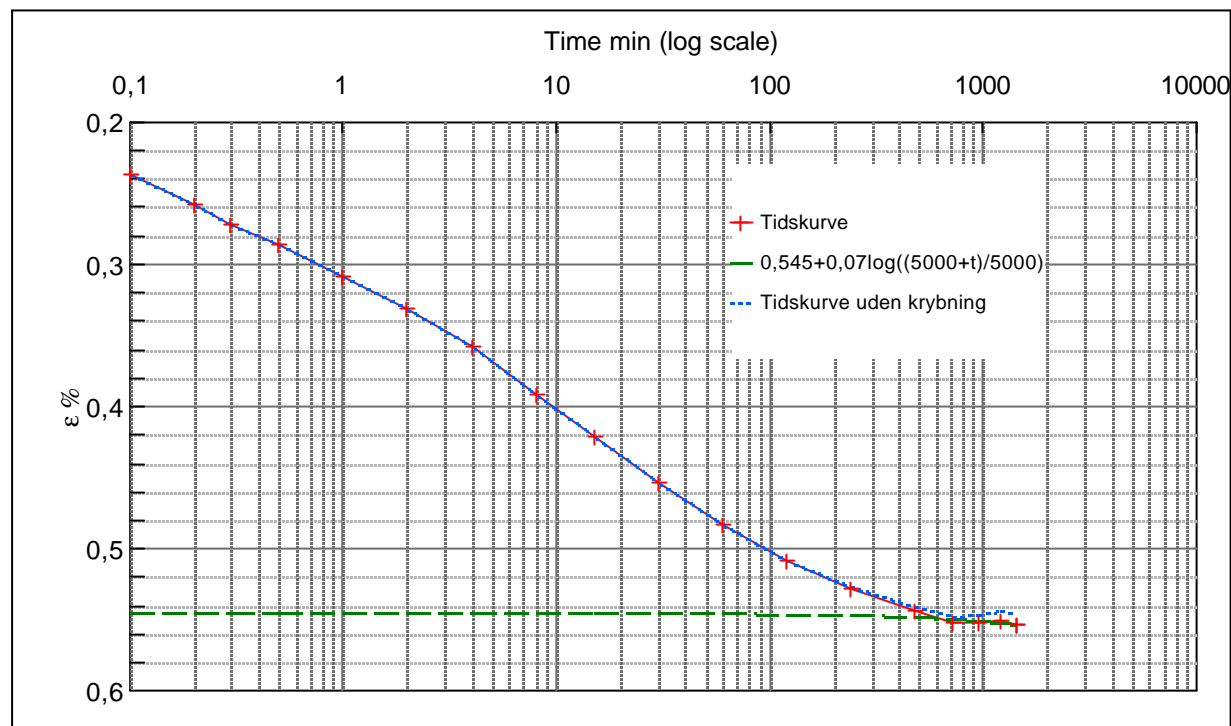
Step no 3	σ	kPa	ϵ	%	ϵ_i	tc in sec	135
	Before	349,4	ϵ_0	(0,05)	ϵ_c %	K i kPa	236.562
	After	696,3	$\epsilon_{\#}$	0,07	ϵ_s	k10 m/sec	3,0E-10
					ϵ_{kryb}	ck10 m ² /sec	7,18E-06



Material:	Clay, Lower Jura	
Bor no :	A IV	Depth: 304 m.b.s
Lab. no:	k98	Insitu stress: ~3040 kPa

Job:	Anholt	AAU
		Encl. No 6.5
Executed:	AMS/gt	Check:
Approved:		

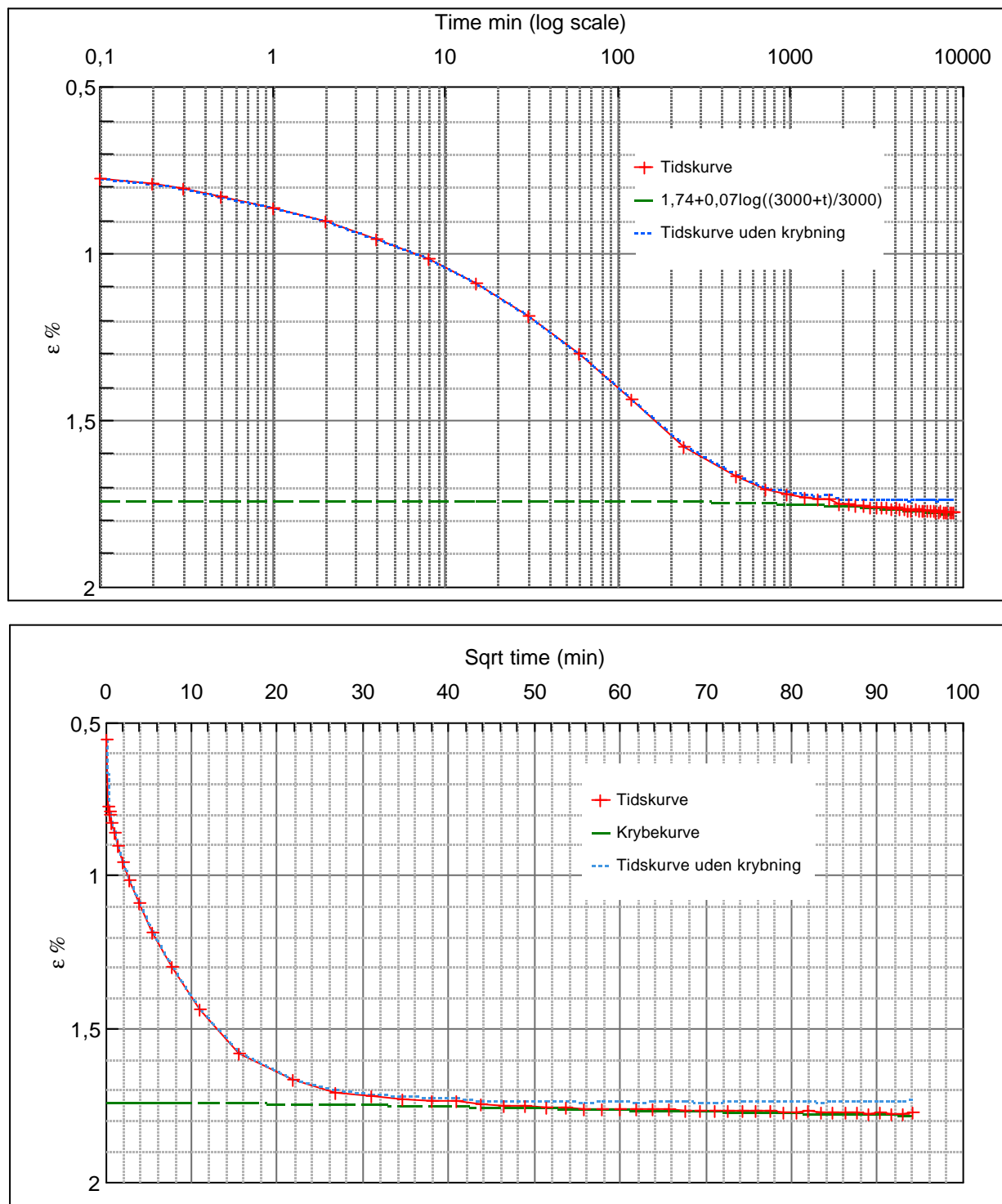
Step no 4	σ	kPa	ε	%	ε_i	tc in sec	86,4	
	Before	696,3	ε_0	0,07	$\varepsilon_c \%$	0,545	K i kPa	146.087
	After	1.390,3	$\varepsilon_{\#}$	0,55	ε_s	0,015	k10 m/sec	7,5E-10
					ε_{kyb}	0,01	ck10 m ² /sec	1,12E-05



Material:	Clay, Lower Jura	
Bor no :	A IV	Depth: 304 m.b.s
Lab. no:	k98	Insitu stress: ~3040 kPa

Job:	Anholt	AAU
		Encl. No 6.6
Executed:	AMS/gt	Check:
Approved:		

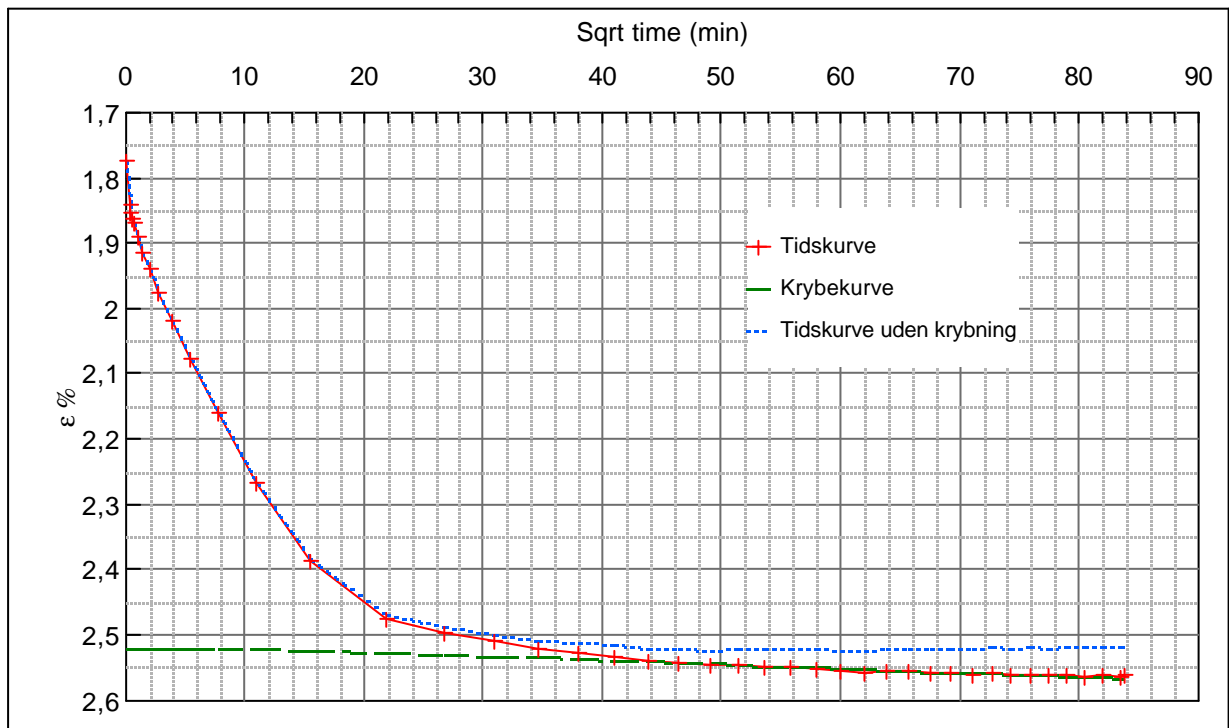
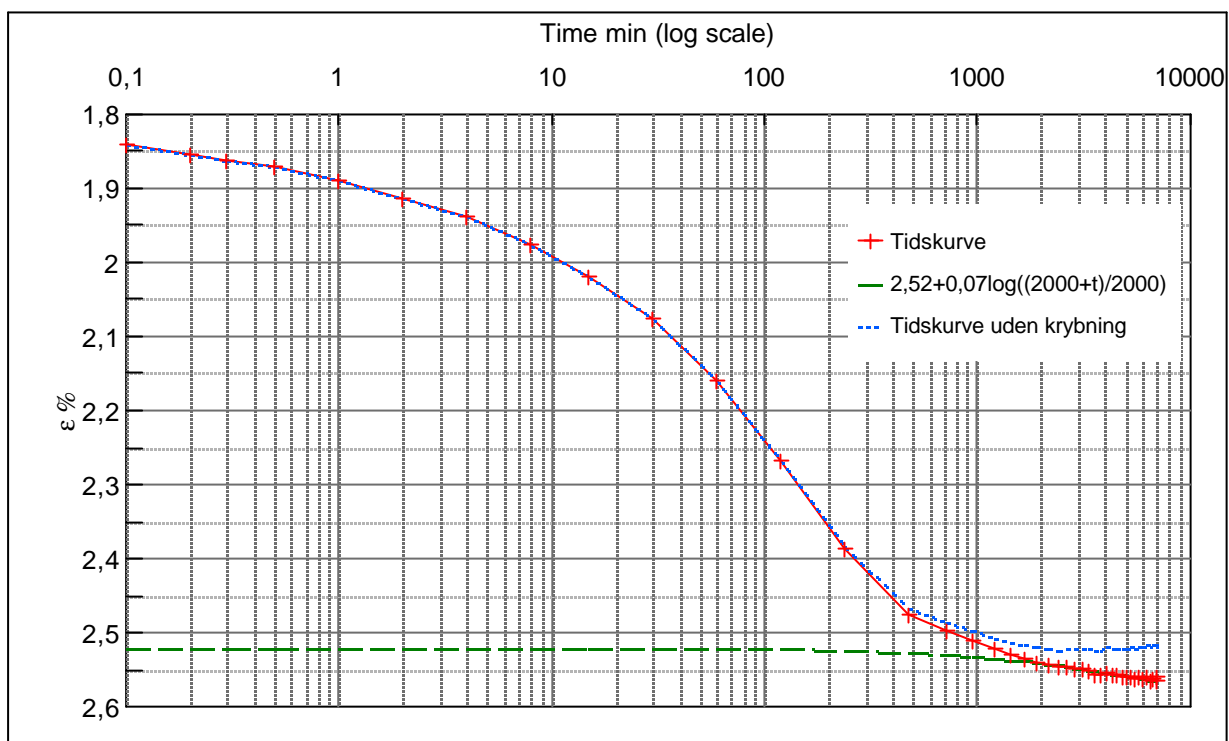
Step no 5	σ	kPa	ε	%	ε_i		tc in sec	8640
	Before	1.390,3	ε_0	0,56	$\varepsilon_c \%$	1,74	K i kPa	117.117
	After	2.778,1	$\varepsilon_{\#}$	1,77	ε_s	0,05	k10 m/sec	9,4E-12
					ε_{kyb}	0,03	ck10 m ² /sec	1,12E-07



Material:	Clay, Lower Jura	
Bor no :	A IV	Depth: 304 m.b.s
Lab. no:	k98	Insitu stress: ~3040 kPa

Job:	Anholt	AAU
		Encl. No 6.7
Executed:	AMS/gt	Check:
Approved:		

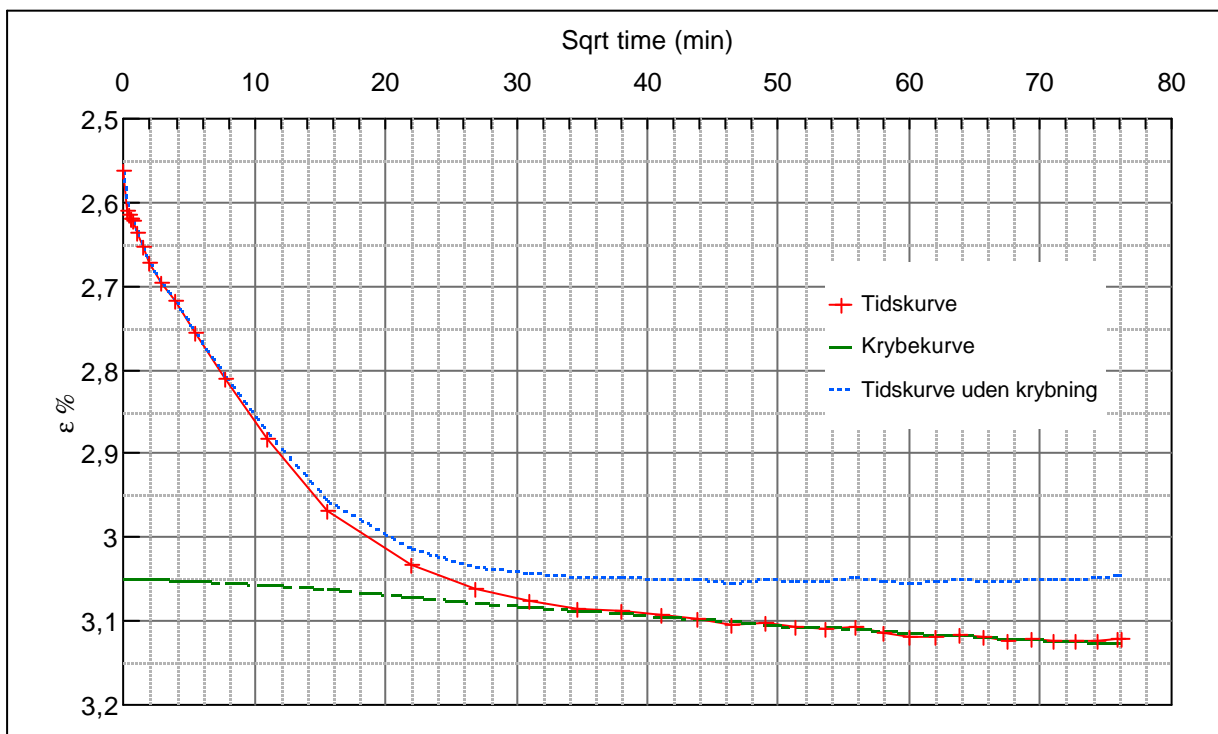
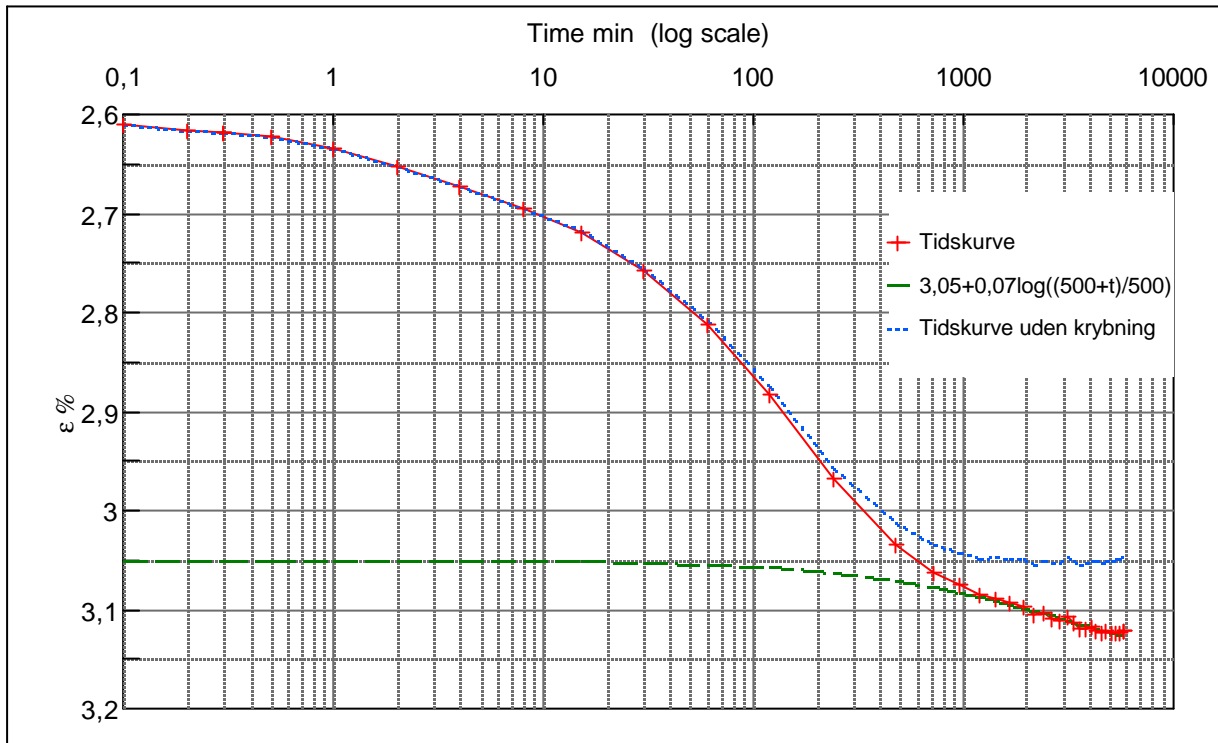
Step no 6	σ	kPa	ϵ	%	ϵ_i		tc in sec	17340
	Before	2.778,1	ϵ_0	1,78	$\epsilon_c \%$	2,52	K i kPa	186.286
	After	4.165,9	$\epsilon_{\#}$	2,56	ϵ_s	0,03	k10 m/sec	2,9E-12
					ϵ_{kryb}	0,04	ck10 m ² /sec	5,59E-08



Material:	Clay, Lower Jura	
Bor no :	A IV	Depth: 304 m.b.s
Lab. no:	k98	Insitu stress: ~3040 kPa

Job:	Anholt	AAU
		Encl. No 6.8
Executed:	AMS/gt	Check:
Approved:		

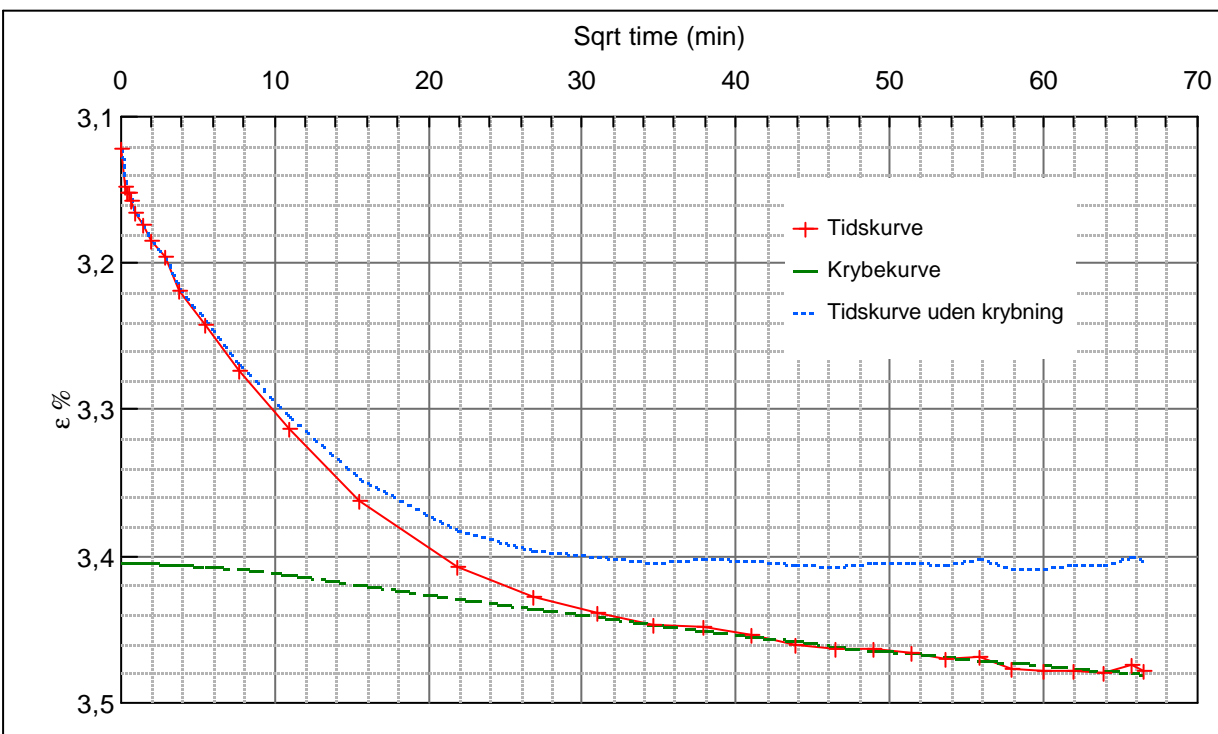
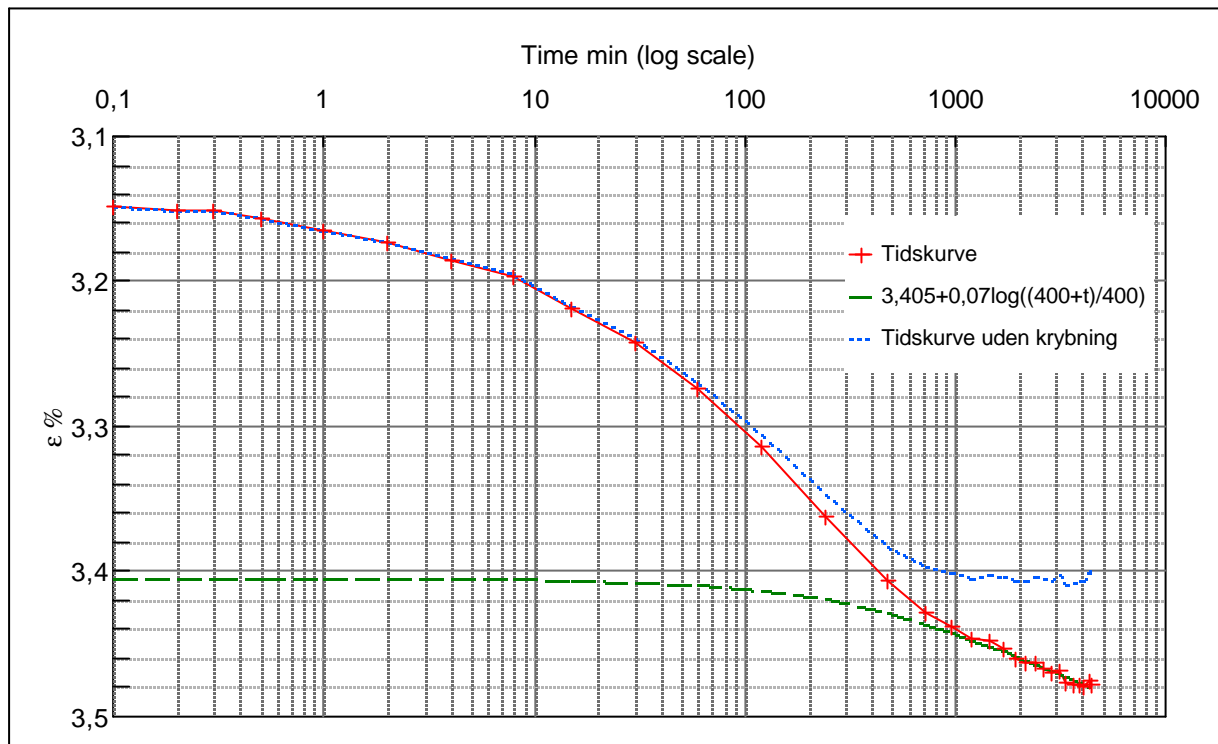
Step no 7	σ	kPa	ϵ	%	ϵ_i		tc in sec	17340
	Before	4.165,9	ϵ_0	2,56	$\epsilon_c \%$	3,05	K i kPa	284.197
	After	5.553,8	$\epsilon_{\#}$	3,12	ϵ_s	0,06	k10 m/sec	1,9E-12
					ϵ_{kryb}	0,07	ck10 m ² /sec	5,59E-08



Material:	Clay, Lower Jura	
Bor no :	A IV	Depth: 304 m.b.s
Lab. no:	k98	Insitu stress: ~3040 kPa

Job:	Anholt	AAU
	Encl. No	6.9
Executed:	AMS/gt	Check:
Approved:		

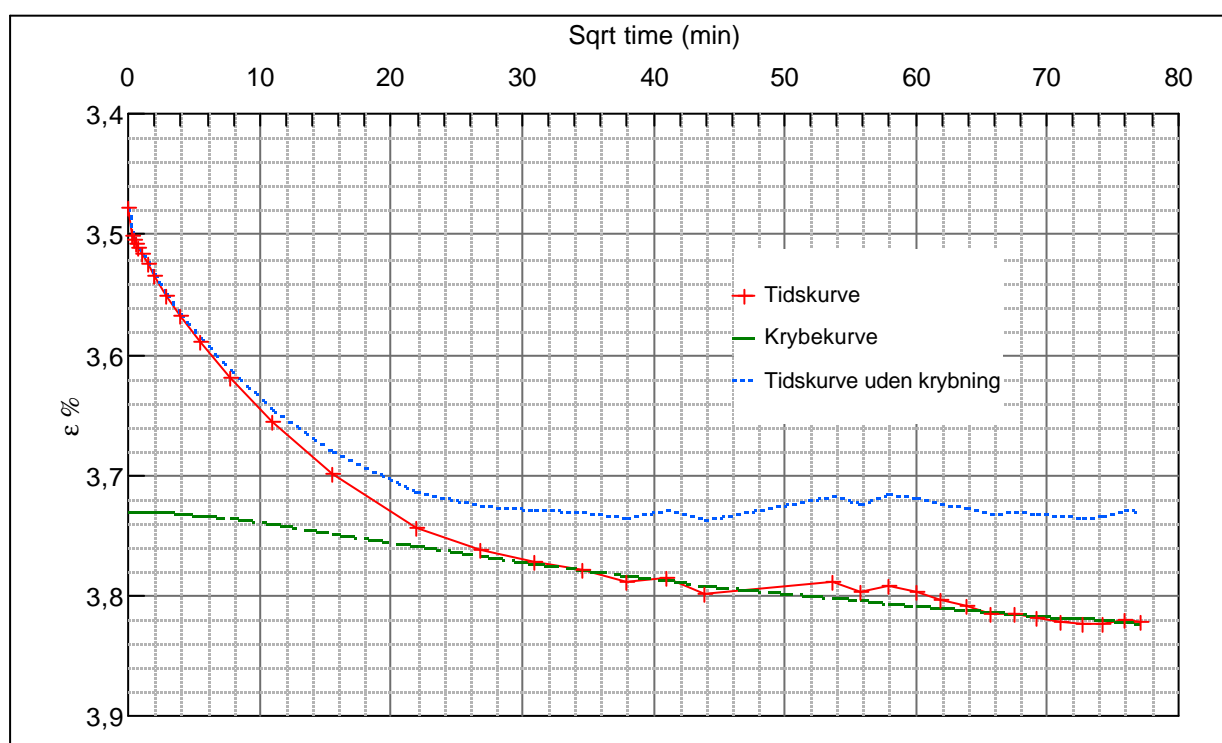
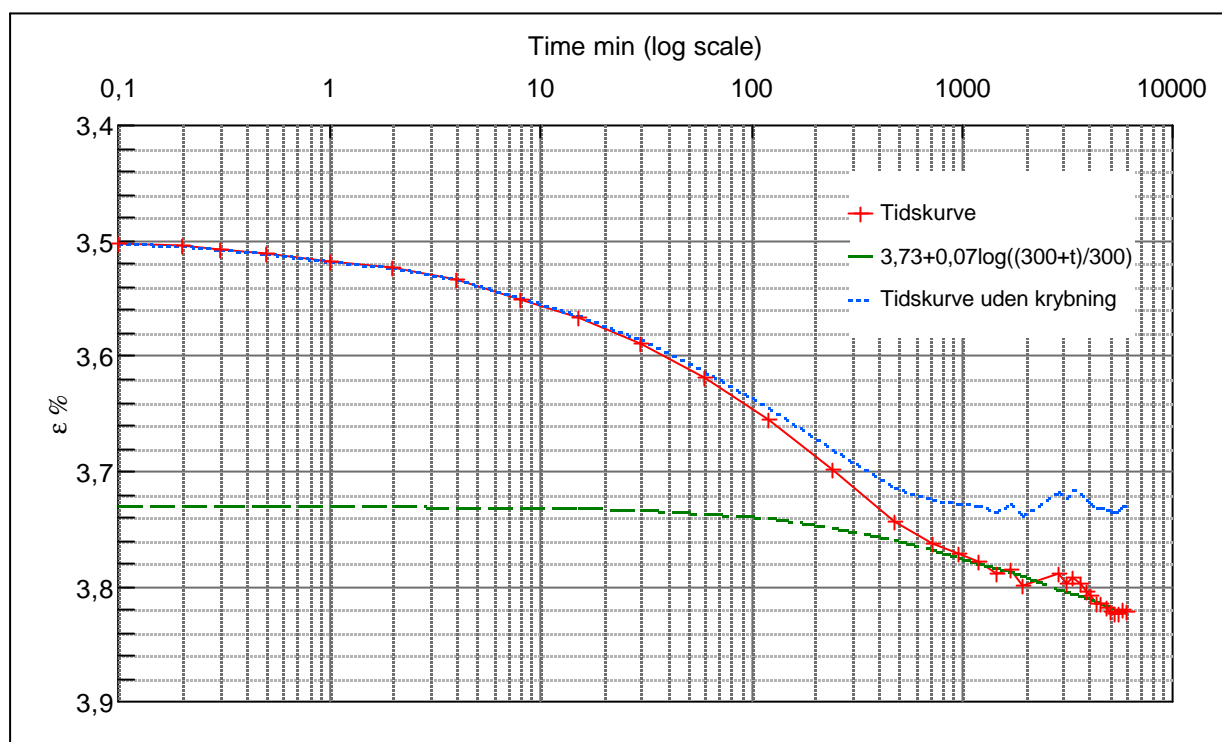
Step no 8	σ	kPa	ϵ	%	ϵ_i		tc in sec	11760
	Before	5.553,8	ϵ_0	3,12	ϵ_c %	3,405	K i kPa	367.367
	After	6.594,6	ϵ_{\sim} #	3,48	ϵ_s	0,06	k10 m/sec	2,2E-12
					ϵ_{kryb}	0,07	ck10 m ² /sec	8,25E-08



Material:	Clay, Lower Jura	
Bor no :	A IV	Depth: 304 m.b.s
Lab. no:	k98	Insitu stress: ~3040 kPa

Job:	Anholt	AAU
	Encl. No	6.10
Executed:	AMS/gt	Check:
Approved:		

Step no 9	σ	kPa	ε	%	ε_i	tc in sec	13500	
	Before	6.594,6	ε_0	3,48	$\varepsilon_c \%$	3,73	K i kPa	413.592
	After	7.635,5	$\varepsilon_{\#}$	3,82	ε_s	0,06	k10 m/sec	1,7E-12
					ε_{kyb}	0,09	ck10 m ² /sec	7,18E-08



Material:

Clay, Lower Jura

Bor no :

A IV

Depth:

304 m.b.s

Lab. no:

k98

Job:

Anholt

AAU

Encl. No

6.11

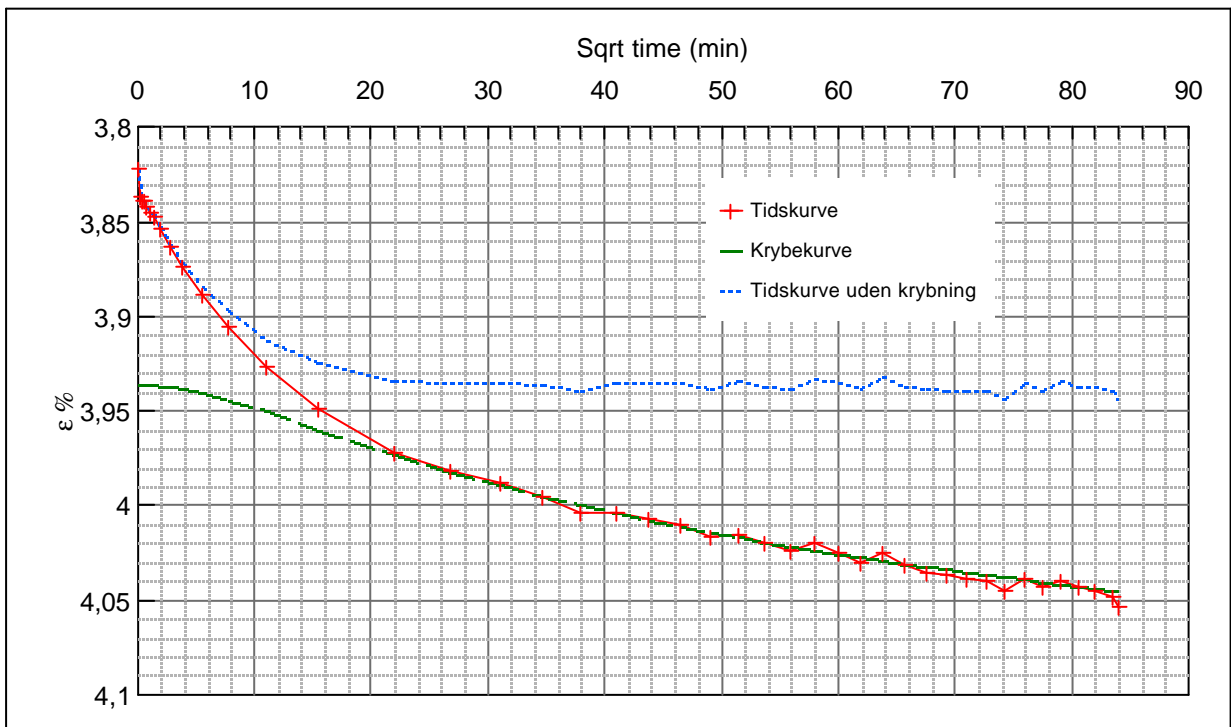
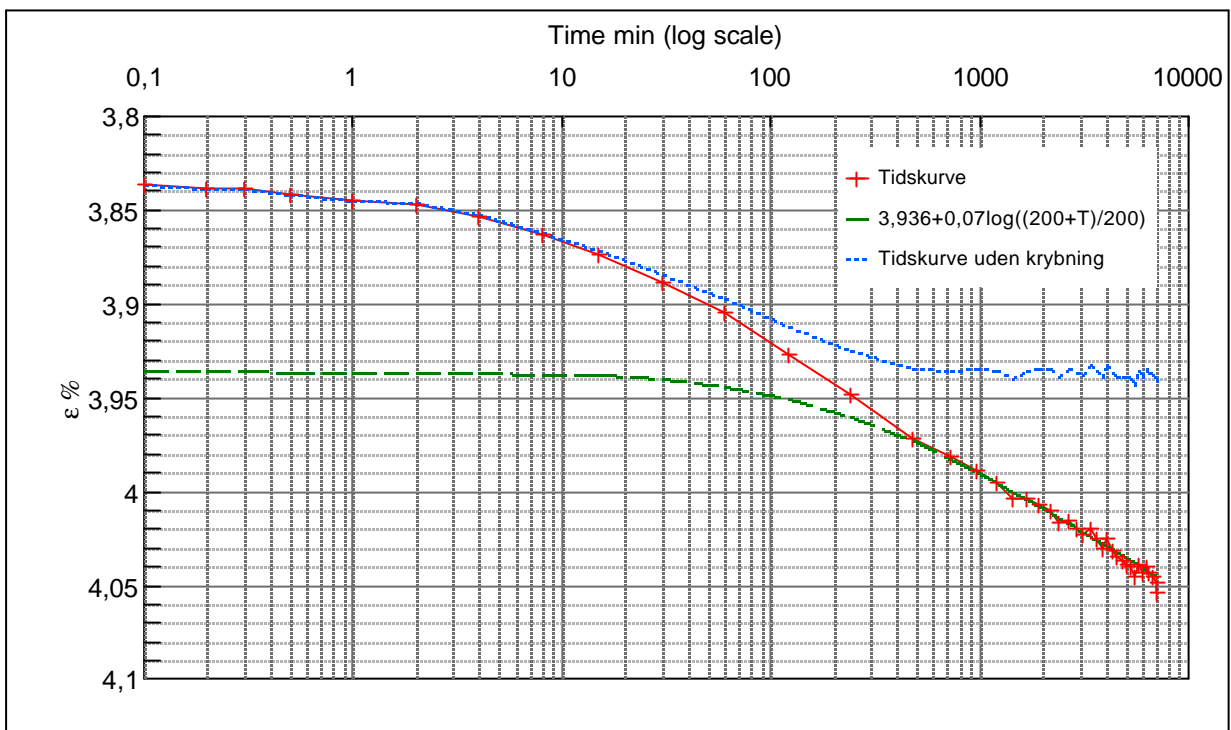
Executed:

AMS/gt

Check:

Approved:

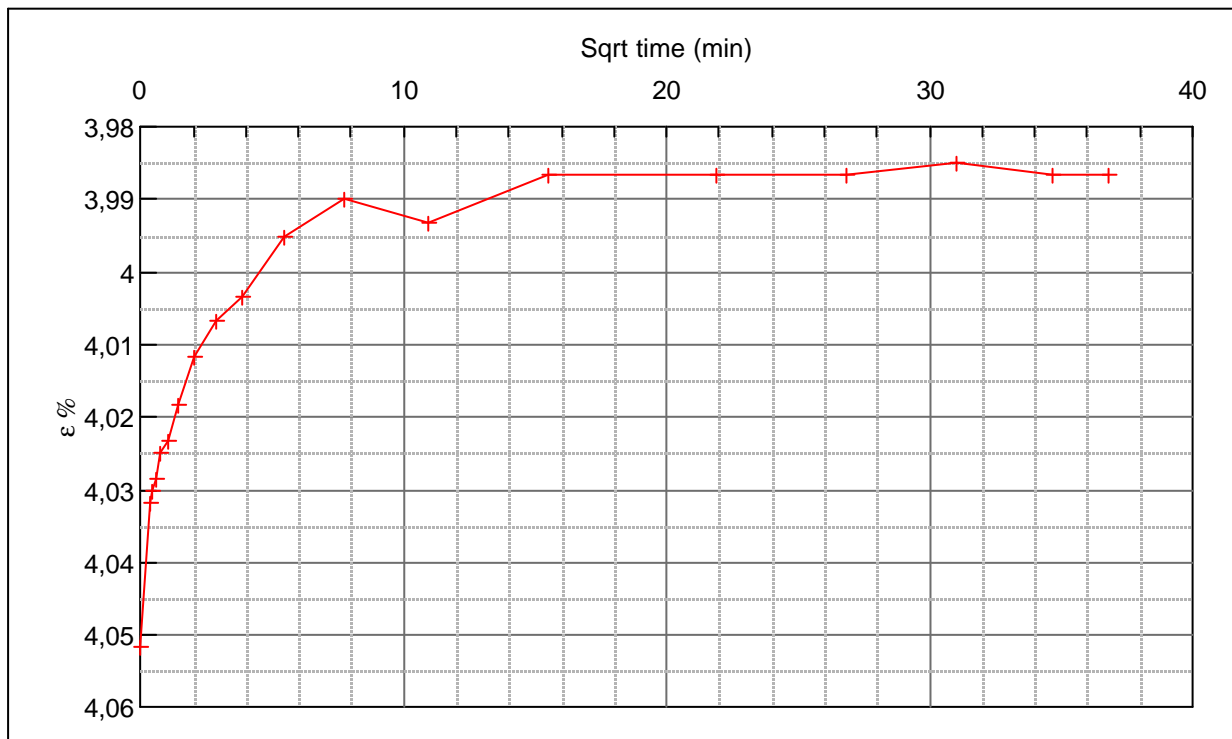
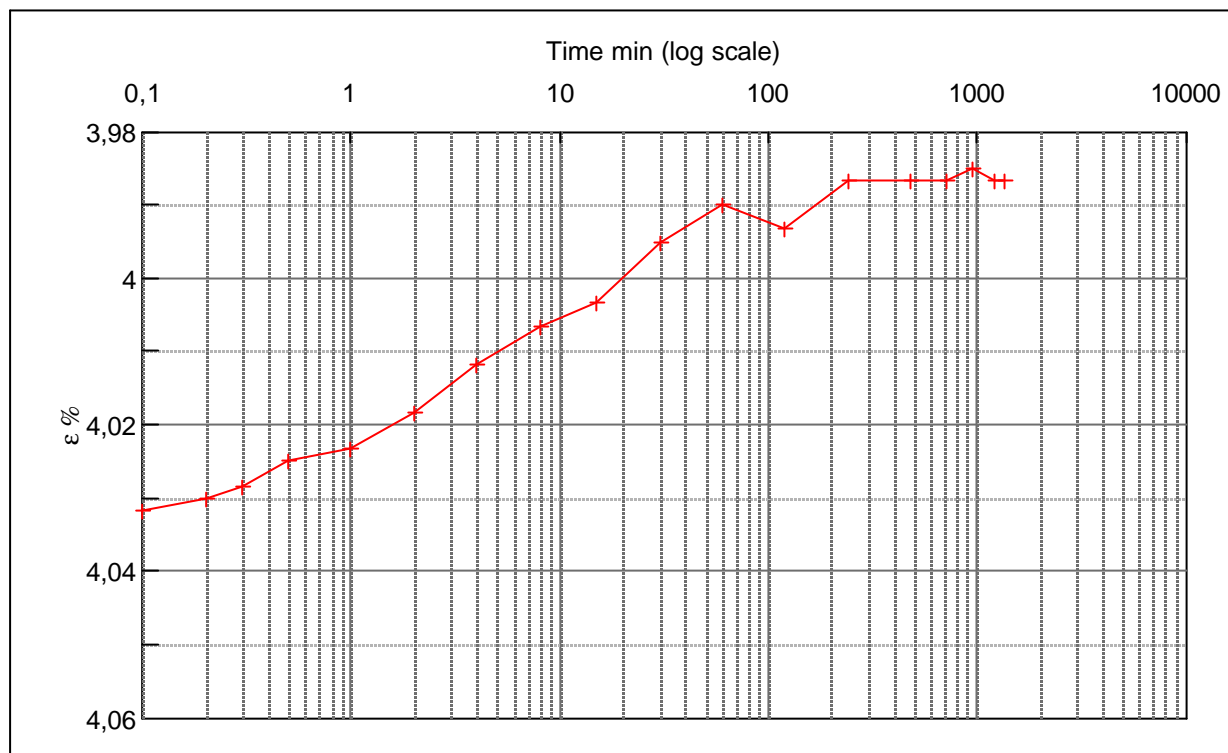
Step no 10	σ	kPa	ε	%	ε_i		tc in sec	7260
	Before	7.635,5	ε_0	3,82	$\varepsilon_c \%$	3,94	K i kPa	606.923
	After	8.329,4	$\varepsilon_{\#}$	4,05	ε_s	0,07	k10 m/sec	2,2E-12
					ε_{kyb}	0,12	ck10 m ² /sec	1,34E-07



Material:	Clay, Lower Jura	
Bor no :	A IV	Depth: 304 m.b.s
Lab. no:	k98	Insitu stress: ~3040 kPa

Job:	Anholt	AAU
		Encl. No 6.12
Executed:	AMS/gt	Check:
Approved:		

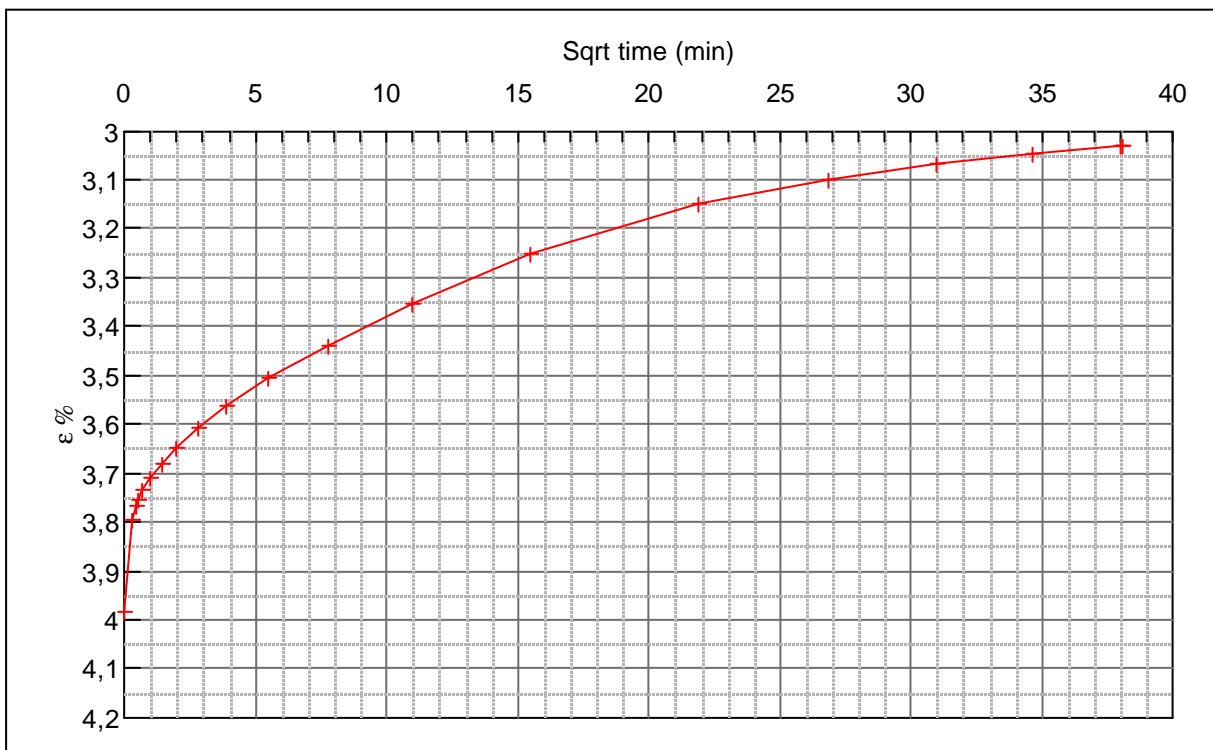
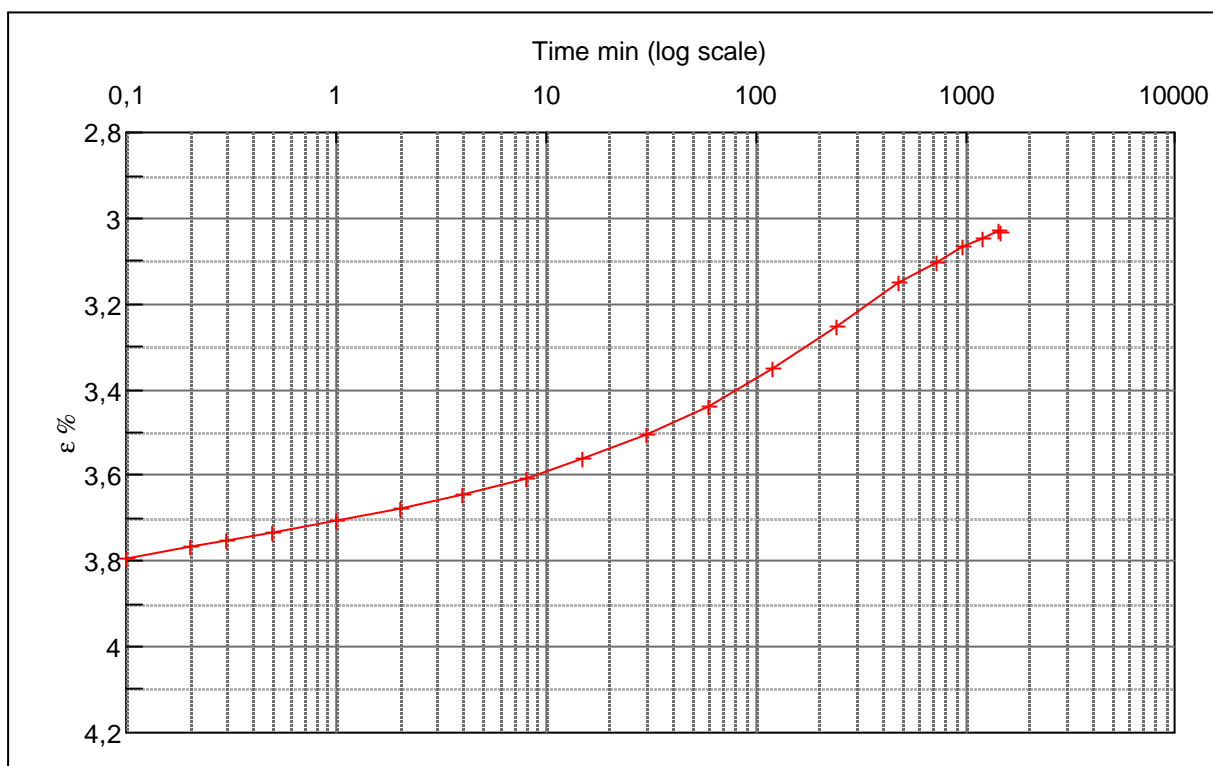
Step no 11	σ	kPa	ϵ	%	ϵ_i	tc in sec K i kPa k10 m/sec ϵ_{ky}	1215
	Before	8.329,4	ϵ_0	4,05	$\epsilon_c \%$	3,99	2.682.663
	After	6.594,6	$\epsilon_{\#}$	3,99 <th>ϵ_s</th> <td></td> <th>2,9E-12</th>	ϵ_s		2,9E-12
					ϵ_{ky}	ck10 m ² /sec	7,98E-07



Material:	Clay, Lower Jura	
Bor no :	A IV	Depth: 304 m.b.s
Lab. no:	k98	Insitu stress: ~3040 kPa

Job:	Anholt	AAU
	Encl. No	6.13
Executed:	AMS/gt	Check:
Approved:		

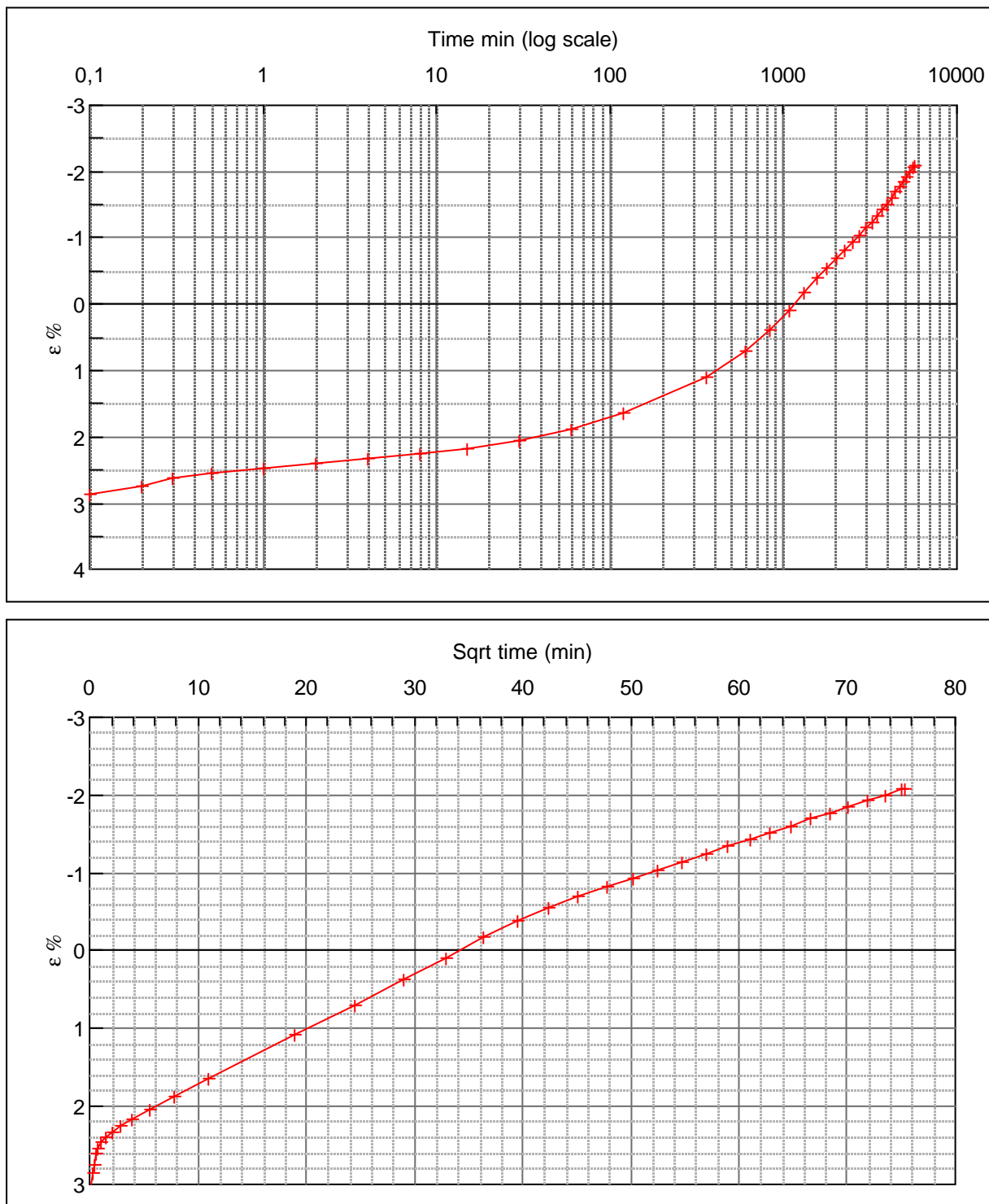
Step no 12	σ	kPa	ϵ	%	ϵ_i	tc in sec	29040
	Before	6.594,6	ϵ_0	3,98	$\epsilon_c \%$	K i kPa	401.178
	After	2.778,1	$\epsilon_{-#}$	3,03	ϵ_s	k10 m/sec	8,2E-13
					ϵ_{kyb}	ck10 m ² /sec	3,34E-08



Material:	Clay, Lower Jura	
Bor no :	A IV	Depth: 304 m.b.s
Lab. no:	k98	Insitu stress: ~3040 kPa

Job:	Anholt	AAU
		Encl. No 6.14
Executed:	AMS/gt	Check:
Approved:		

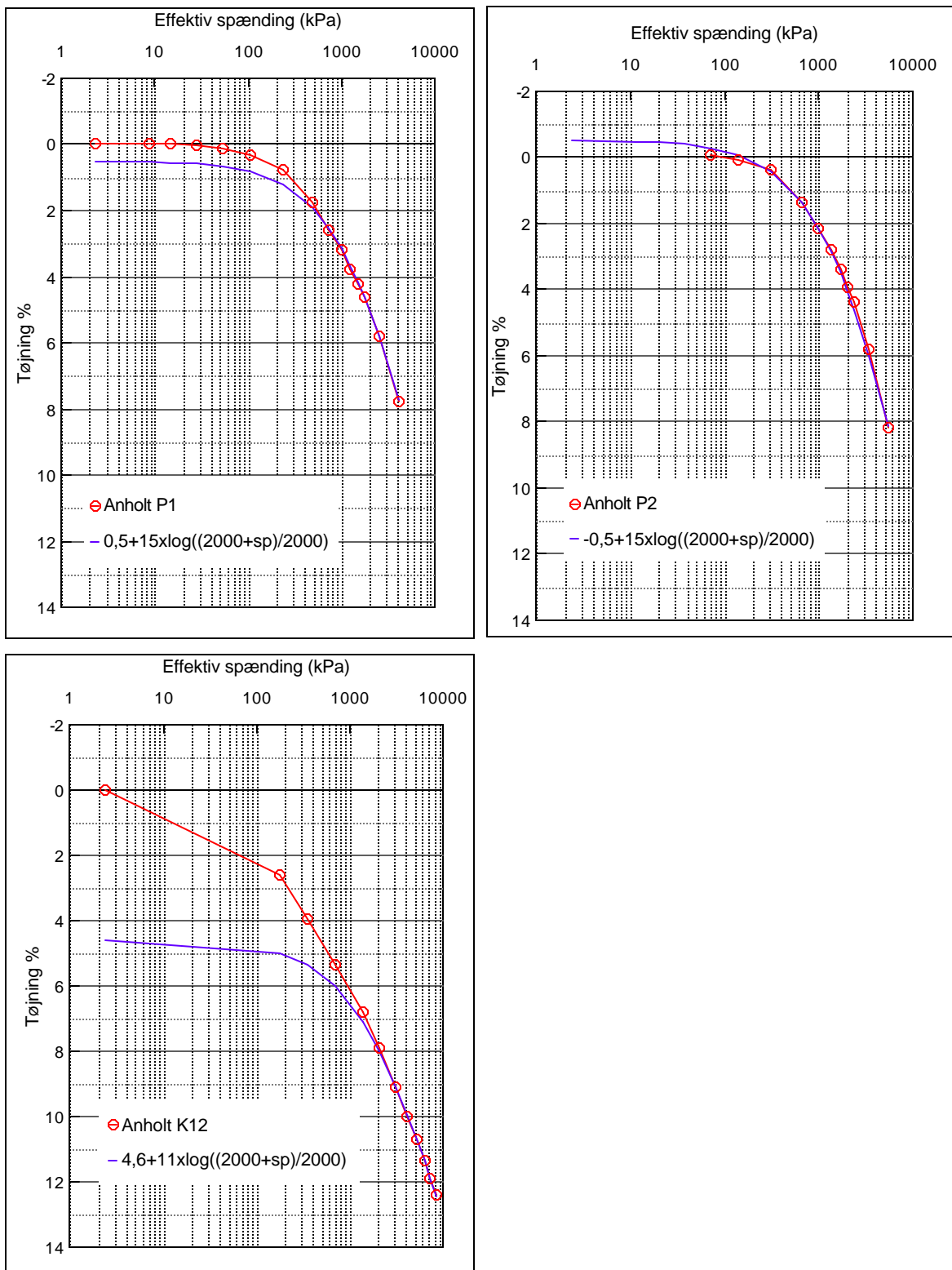
Step no 13	σ	kPa	ϵ	%	ϵ_i	tc in sec	253500	
	Before	2.778,1	ϵ_0	3,03	ϵ_c %	(2,08)	K i kPa	54.269
	After	2,43	$\epsilon_{\#}$	(2,08)	ϵ_s		k10 m/sec	6.9E-13
					ϵ_{kryb}	ck10 m ² /sec	3,83E-09	



Material:	Clay, Lower Jura	
Bor no :	A IV	Depth: 304 m.b.s
Lab. no:	k98	Insitu stress: ~3040 kPa

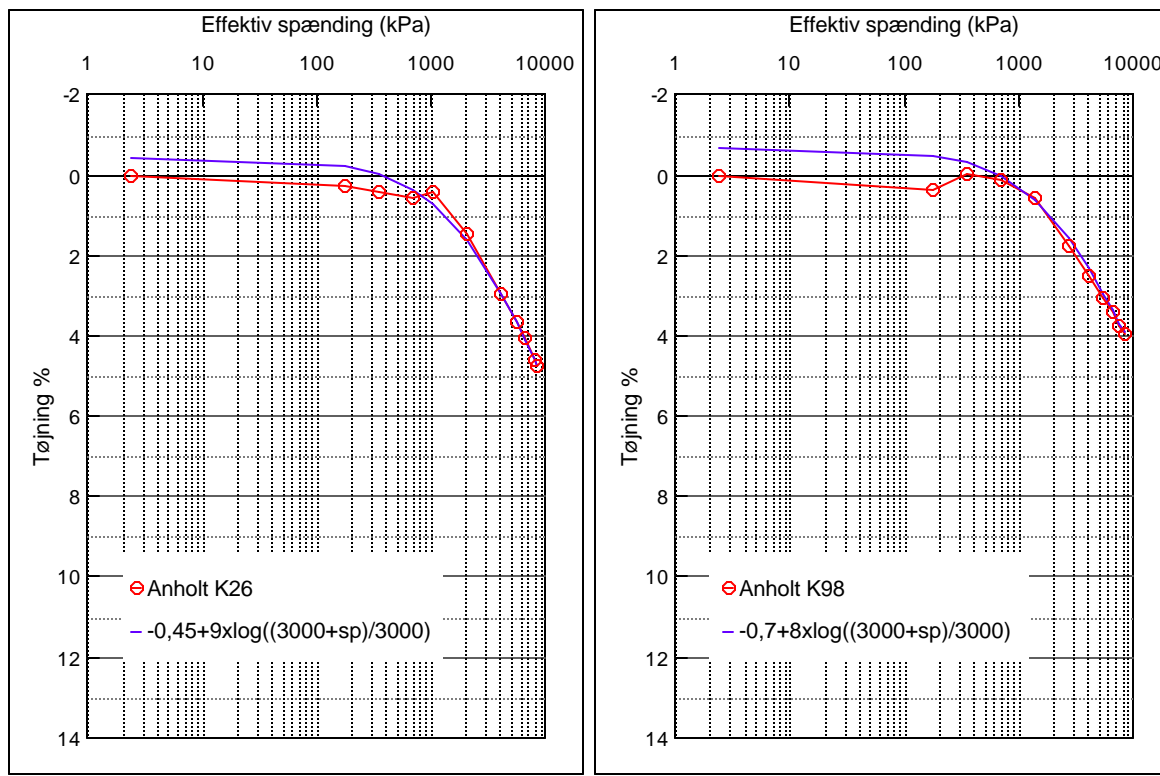
Job:	Anholt	AAU
		Encl. No 6.15
Executed:	AMS/gt	Check:
Approved:		

Eem. Arbejdskurver fra konsolideringsforsøg med tilpassede Terzaghi-kurver



Job: ANHOLT	AAU
Encl. No	7.1
Executed:	gt
Approved:	Check:

Jura. Arbejdskurver fra konsolideringsforsøg med tilpassede Terzaghi-kurver



Job: ANHOLT	AAU
Encl. No	7.2
Executed:	gt
Approved:	Check: